

عالم الذرة

مجلة هيئة الطاقة الذرية السورية



المدير المسؤول

الدكتور ابراهيم عثمان

المدير العام لهيئة الطاقة الذرية

هيئة التحرير

الدكتور عادل الحرفوش

الدكتور زياد القطب

94

السنة التاسعة عشرة / تشرين الثاني. كانون الأول /

2004

مجلة دورية تصدرت مرّات في السنة عن هيئة
الطاقة الذرية في الجمهورية العربية السورية
وتهدف إلى الإسهام في نشر المعرفة العلمية
باللغة العربية في الميدانين الذري والنووي
وفي كل ما يتعلق بهما من تطبيقات.

شروط الترجمة والتأليف للنشر في مجلة عالم الذرة

1. تُرسل نسختان من مادة النشر باللغة العربية مطبوعتان بالآلة أو مكتوبتان بالحبر بخط واضح، على وجه واحد من الورقة، ويفراغ مضاعف بين السطور.
2. يُكتب على ورقة مستقلة عنوان مادة النشر واسم الكاتب وصفته العلمية وعنوانه مع ملخصين لهما أحدهما بالعربية والآخر باللغة الإنكليزية حصراً، في حدود عشرة أسطر لكل منهما، ويُطلب من كل من المؤلف والمترجم كتابة اسمه كاملاً، باللغتين العربية والأجنبية، ولقبه العلمي وعنوان مراسلته.
3. يُقدم المؤلف أو المترجم في ورقة مستقلة قائمة بالعبارات التي تشكل الكلمات المفتاحية Key Words (والتي توضح أهم ما تضمنته المادة من حيث موضوعاتها وغايتها ونتائجها والطرق المستخدمة فيها) وبما لا يتجاوز عشر عبارات باللغتين العربية والإنكليزية.
4. إذا سبق نشر هذا المقال أو البحث في مجلة أجنبية، تُرسل الترجمة مع صورة واضحة عن هذه المادة المنشورة، ويُستحسن إرسال نسخة الأصل المطبوع والأشكال (الرسوم) الأصلية، إن وجدت، ولو على سبيل الإعارة.
5. إذا كانت المادة مؤلفة أو مجمعة من مصادر عدة، يذكر الكاتب ذلك تحت العنوان مباشرة كأن يقول «تأليف، جمع، إعداد، مراجعة...»، ويرفق المادة بقائمة مرقمة للمراجع التي استقاها منها.
6. إذا تضمنت المادة صوراً وأشكالاً، تُرسل الصورة الأصلية وكذلك الأشكال مخططة بالحبر الأسود على أوراق مستقلة، إلا إذا كانت موجودة في المادة المطبوعة بلغة أجنبية (كما جاء في الفقرة «4»، مرقمة حسب أماكن ورودها).
- 7- يُرسل مع المادة قائمة بالمصطلحات العلمية العربية المستخدمة فيها مع مقابلاتها الأجنبية إذا لم تكن واردة في معجم الهيئة للمصطلحات العلمية والتقنية في الطاقة الذرية، الذي تم نشره في أعداد المجلة (2 - 18).
- 8- تُكتب المصطلحات وكذلك أسماء الأعلام باللغتين العربية والأجنبية عند ورودها في النص أول مرة ومن ثم يُكتفى بإيراد المقابل العربي وحده سواء أكان هذا المقابل كاملاً أم مختزلاً. وتُستعمل في النص المؤلف أو المترجم الأرقام العربية 2013+ أينما وردت مع مراعاة كتابتها بالترتيب العربي من اليمين إلى اليسار. وإذا ورد في نص معادلة أو قانون أحرف أجنبية وأرقام فتكتب المعادلة أو القانون كما في الأصل الأجنبي.
- 9- يُشار إلى الحواشي، إن وجدت، بإشارات دالة (★, +, X, O, ...). في الصفحة ذاتها، كما يُشار في المتن إلى أرقام المصادر والمراجع المدرجة في الصفحة الأخيرة، وذلك بوضعها ضمن قوسين متوسطين [].
10. تُرقم مقاطع النص الأجنبي والنص العربي بترتيب واحد في حالة الترجمة.
11. يُرجى من السادة المترجمين مراعاة الأمانة التامة في الترجمة.
12. تخضع مادة النشر للتقييم ولا تُرد إلى أصحابها نشرت أم لم تنشر.
13. يُمنح ككل من الكاتبات أو المترجم أو المراجع مكافأة مالية وفق القواعد المقررة في الهيئة.
14. تُوجه المراسلات باسم رئيس مكتب الترجمة والتأليف والنشر إلى العنوان التالي:

الجمهورية العربية السورية . هيئة الطاقة الذرية . مكتب الترجمة والتأليف والنشر . مجلة عالم الذرة . دمشق . ص.ب: 6091

E-mail: aalam_al_zarra@aec.org.sy

رسوم الاشتراك

الاشتراك السنوي للطلاب (200) لس . الاشتراك السنوي للأفراد (300) لس . الاشتراك السنوي للمؤسسات (1000) لس
الاشتراك السنوي للأفراد من خارج القطر العربي السوري (30) دولاراً أمريكياً . للمؤسسات (60) دولاراً أمريكياً . تتضمن الاشتراكات أجور البريد.

بالنسبة للمشتريين من خارج القطر يُرسل رسم الاشتراك إلى العنوان التالي:

المصرف التجاري السوري فرع رقم 13

مزة . جبل . ص.ب 16005

رقم الحساب 2/3012

أو بشيك باسم هيئة الطاقة الذرية السورية

يمكن للمقيمين داخل القطر دفع قيمة الاشتراك بحوالة بريدية على العنوان التالي:

مجلة عالم الذرة . مكتب الترجمة والتأليف والنشر . هيئة الطاقة الذرية السورية . دمشق . ص.ب: 6091

مع بيان يوضح عنوان المراسلة المفضل

أو تدفع مباشرة إلى مكتب الترجمة والتأليف

والنشر في الهيئة . دمشق . شارع 17 نيسان

سعر العدد الواحد

سورية 50 لس /لبنان 3000 لس /الأردن 2 دينار / مصر 3 جنيه / الجزائر 100 دينار / السعودية 10 ريالات و 6 دولارات في البلدان الأخرى.

تود مجلة عالم الذرة إعلام الشركات والمؤسسات العاملة في قطاع التجهيزات العلمية والمخبرية كافة والصناعات المتعلقة بها عن فتح باب الإعلان التجاري فيها.

للمزيد من الاستفسار حول رغبتكم بنشر إعلاناتكم التجارية الكتابة إلينا على العنوان التالي:

هيئة الطاقة الذرية السورية . مكتب الترجمة والتأليف والنشر

دمشق ص.ب 6091 . الجمهورية العربية السورية

أو الاتصال على رقم الهاتف 6111926/2132580 - فاكس 6112289

- 7 ك. رافيليو
ترجمة هيئة الطاقة الذرية
- 12 ج. بوريت، ش. درابر، ر. سيمرلي
ترجمة هيئة الطاقة الذرية
- 17 إ. روبنسون
ترجمة هيئة الطاقة الذرية
- 22 ج. ديفيز، إ. لينفيلد
ترجمة هيئة الطاقة الذرية
- 28 لي. لو، وآخرون
ترجمة هيئة الطاقة الذرية
- الأيام الأربعة التي هزت العالم
■ الفعل الغذائي للبيتين في عصبونات الوطاء التي تنظم الأكل
■ إعادة تعريف الكيلوغرام
■ صنع ليزرات تتردم هوة التراهيرتز
■ المتانة فوق العالية والناقلية الكهربائية العالية في النحاس
ترجمة هيئة الطاقة الذرية

أخبار علمية

- 35 لعبة الانتظار
37 التحكم بالسبين غير موضعي وقابل للتوليف في جملة نقط كمومية مقترنة
39 ارفع درجة الحرارة
41 الجسم يحمل كهرباء
45 تشريح اليأس
49 الزئبق
■ لعبة الانتظار
■ التحكم بالسبين غير موضعي وقابل للتوليف في جملة نقط كمومية مقترنة
■ ارفع درجة الحرارة
■ الجسم يحمل كهرباء
■ تشريح اليأس
■ الزئبق

ورقات البحوث (أعمال باحثي الهيئة المنشورة في المجلات العالمية)

- 53 د. فواز كرد علي، فريد العين
وتشكّل العقد الجذرية وكفاءة تثبيت الآزوت الجوي في نبات السيسبان وعلى
نمو نبات عباد الشمس باستخدام تقانة ^{15}N
- 61 د. رياض شويكاني، وآخرون
إمكانية استعمال الكواشف البلاستيكية CR-39 كمقياس جرعة
للأشعة فوق البنفسجية
- 66 د. وليد الفارس، وآخرون
دراسة بنية وخصائص الوسط الكارستي لمنطقة اللامالو
(مقاطعة إيرو - فرنسا) باستخدام الرادار الجيولوجي
- 74 د. صلاح الدين تكريتي، وآخرون
تأثير نسبة الرمل إلى الإسمنت في انبثاق غاز الرادون من الخلطات الإسمنتية
المحتوية على الراديوم ^{226}Ra

التقارير العلمية

(أعمال باحثي الهيئة غير المنشورة)

- 81 د. علي حنون، وآخرون
 ■ تصميم واجهة التحكم COBRET في بيئة النوافذ لإجراء المعالجة البدئية
 واللاحقة للبرنامجين PARET , COBRA-RERTR
- 81 د. معين سعد، عمار قسيس
 ■ تحليل أسباب الخسارة في عامل الامتلاء في الخلايا الشمسية ZnO/CdS/CuGaSe₂ ...
- 82 د. محمد العودات، د. يوسف مسلماني
 ■ مستويات الضجيج في مدينة دمشق
- 83 د. زكي عجي
 ■ تحضير مبادلات أيونية من بولي غول الفينيل المطعم بمحضر الليمون
 ومحضر السكسينيك بواسطة الإشعاع
- 83 د. محمد عادل باكير، وآخرون
 ■ الكشف عن السرطان وتديبه باستعمال تقانة الـRIA
- 84 د. فواز كرد علي، وآخرون
 ■ تقويم الأداء التعايشي لبعض السلالات الطافرة من فول الصويا
 الملحقة بسلالتين من بكتريا Bradyrhizobium Jabonicum
- 85 د. بسام الصفدي،
 د. محمد عماد الدين عرابي
 ■ إحدات وعزل وانتخاب طفرات بطاطا مقاومة لمرض اللفحة المتأخرة
- 85 د. عبد الرحمن الشريدة
 ■ الخصائص الهدروكيميائية والنظائرية للحوامل المائية الجوفية العميقة
 في منطقة جبل الحص من (حوض حلب)

كتب حديثة مختارة

- 88 (تأليف: إ. غفيري)
 ■ التَّبصُّ اليومي للحياة
- 90 (تأليف: ب. غوندهيلكار)
 (عرض وتحليل: ج. غوندلاش)
 ■ قبضة الثقالة: مسألة فهم قوانين الحركة والتناقل
- 100 ملخصات باللغة الإنكليزية عن الموضوعات المنشورة في هذا العدد

يُسمح بالنسخ والنقل عن هذه المجلة للاستخدام الشخصي بشرط الإشارة إلى المرجع،
 أما النسخ والنقل لأهداف تجارية فغير مسموح به إلا بموافقة خطية مسبقة من الهيئة.

المقالة



الأيام الأربعة التي هزت العالم*

ك. رافيليو

كاتبة تكتب مقالات علمية وهي تقيم في أكسفورد

ملخص

ما إن تظن أن الغبار قد حلّ سبب انقراض الدينوصورات حتى يفاجئك نمط جديد من الكوارث يثير الأمر من جديد. فإذا أغفلنا النيازك والبراكين الضخمة، تمثل مقذوفات فيرن Verneshots المتهم الرئيسي حسبما تقول كيت رافيليو.

الكلمات المفتاحية: دينوصورات، نيزك، براكين عملاقة، مقذوفات فيرن، الغلاف الجوي، قشرة الكرة الأرضية، معطف، بركنة عملاقة، بازلت فيضاني قارّي، انقراضات جماعية، الانقراض الفرانسني - الفامييني، البرمي، الترياسي، الحدود كريتاسي - الحقب الثالث، تصادم، لايات، مصاطب الديكان، فوهة التصادم، بصمات، الكوارتز المصدوم، القطرات اللزجة، المكورات المكروية، إيريديوم، فلرينات، كراتون، أركي، تكتونية الصفائح، سحابة معظفية، المهل، وادي الانهدام، انفطار، ستراتوسفيري فائق، مقذوفة فيرن المكروية، مخاريط الكسرات.

الفضائي القارّي وتصادمات النيازك كليهما، في حين أن احتمالات هذا الحدث المتواتر هي ضئيلة حتى حدود العدم.

لقد حدثت في الأربعمئة مليون سنة الماضية أربعة انقراضات جماعية رئيسية: فقبل 380 مليون وحتى 364 مليون سنة مَحَت نبضات الانقراض الفرانسني - الفامييني Frasnian-Famminian (الديفوني الأعلى) 60% من الحياة البحرية، وتبع ذلك أكبر الانقراضات جميعها حينما اختفى 96% من الأنواع الحية في عالم نهاية الدور البرمي Permian قبل 251 مليون سنة. كما وقد حدث انقراض ضخم آخر في نهاية الدور الترياسي قبل 201 مليون سنة. وأخيراً، قبل 66 مليون سنة، لاقت الدينوصورات ومجموعات متعددة أخرى حتفها عند الحدود الفاصلة بين الكريتاسي والحقب الثالث.

لقد ترافق كل حدث من هذه الأحداث باجتماع تصادم نيزكيّ مع بازلت فيضانيّ قارّيّ في آن معاً. (انظر الرسم البياني). وبالرغم من أن مثل هذا النحس المزدوج لا يُحتمل حدوثه إلى أبعد الحدود، يبرز التساؤل التالي: هل يمكن أن يكون ذلك قد حدث حقاً أربع مرّات؟ ويُعتقد في هذا الصدد أن حدوث تصادمات للأرض مع نيازك كبيرة بقوة تكفي للتسبب بانقراض جماعي يتمّ مرة واحدة على الأقل في كل 100 مليون سنة، في حين تحدث اندلاقات البازلت الفيضاني القارّي مرة تقريباً في كل 30-50 مليون سنة وتدوم نحو مليون سنة. ويكشف حساب تقريبي سريع أن احتمال حدوث تصادم في نفس وقت حدوث البازلت الفيضاني القارّي خلال الأربعمئة مليون سنة المنصرمة يبلغ ما نسبته 8/1. وهذا ما أشار إليه جيسون فيبس

انفجرت الأرض تحت أقدام الدينوصورات، وانبعثت غازات سامة في الغلاف الجوي دارت بسرعة حول الكرة الأرضية. لقد اهتزت الأرض بمئات من الزلازل الهائلة وعصفت في السماء 20 جيغا طن من قشرة الكرة الأرضية ومعطفها قبل أن تنهمر عائدة إلى السطح من جديد. لقد كان يوماً مخيفاً لم تَصْحُ من هَوْلِهِ الدينوصورات إلى الأبد.

هل يشكّل هذا في نهاية المطاف وصفاً حقيقياً لما حدث قبل 66 مليون سنة؟ لقد احتدم الجدلّ مدة تزيد عن 25 عاماً حول السبب الذي أهلك الدينوصورات، وتركز السياق في معسكرين متضادين: تصادم نيزك أو نوية مديدة من بركنة ضخمة mega-volcanism أطلق عليها اسم بازلت فيضاني قارّيّ continental flood basalt.

بيد أن فريقاً من جيومار Geomar، وهو معهد لعلوم الأرض في جامعة كييل/ألمانيا، خرج علينا الآن بنمط جديد تماماً من الكوارث الجيولوجية يفسّر هلاك الدينوصورات مثلما يفسّر ثلاثة انقراضات جماعية سبقته. وإذا صحّ رأي هذا الفريق، فلن يكون المتهم في الهلاك المعنيّ نيزكاً أو فيضانا بازلتياً، بل كان انفجاراً عميقاً تحت الأرض أطلق عليه اسم مقذوفة فيرن.

صحيح أن هذه الفكرة ما تزال في المهد حتى اليوم (انظر Earth and Planetary Science Letters, vol. 217, p. 236) لكن فرضية فيرنشوت Verneshot هذه تتمتع بميزة كبيرة واحدة على جميع ما يناقشها. فهي تفسّر غموضاً ينتاب الحوار حول الانقراضات الجماعية، ويتساءل لماذا تبدو الانقراضات متوافقة مع البازلت

* نُشر هذا المقال في مجلة NewsScientist - 8 May, 2004، وتمت ترجمته في هيئة الطاقة الذرية السورية.

صلب. وبثخانة تبلغ 240 كيلومتراً تشكّل هذه اليابسة القاريّة عائقاً مهماً في وجه تقدّم أعمدة الحمم المعطفية صعوداً نحو الأعلى. ولكن إذا ما اخترق العمود هذه اليابسة القارية فإنه يسبّب ثورات بركانية مديدة ومُهَلِكَة. وعلى الرغم من عنفها، لم يستطع الجيولوجيون أن يُظهِروا أن هذه الثورات البركانية قد تسبّب جميع علامات التصادم النيزكي.

غير أنّ فييس مورغان يعتقد أنّه يوجد نمط مُهْمَل من بارلت فيضاني قاريّ يمكنه أن يحدث كل بصمات التصادم النيزكي، ويتساءل ماذا يحصل لو أنّ عموداً معطفاً انفجر تحت أحد الرواسخ cratons؟ وهذه هي أجزاء قديمة من القارة استقرت قبل نحو 2.5 بليون سنة، في الحقب الأركي Archean ولم تتعرّض منذئذٍ إلى تشويه ما بتكتونية الصفائح plate tectonics. ونتيجة لذلك فهي متينة إلى أبعد الحدود ومستقرة وعميقة، وتمتد أحياناً على عمق 300 كيلومتر تحت سطح الكرة الأرضية.

يعتقد فييس مورغان أنّ العمود المعطفي لن يقوى على تقب الغلاف الصخري الثخين للراسخ (الكراتون) بل يسبّب ضمنه تراكمًا من غازات انفجارية ذات قدرة هائلة. ويشير إلى أنّ ثنائي أكسيد الكربون وثنائي أكسيد الكبريت يتراكمان من نزع الغازات من المهل magma الصاعد ويتكدّسان على عمق نحو 80 كيلومتراً. وقد تؤدي الحرارة المنبعثة من العمود المعطفي إلى صهر الصخور الغنية بالكربون، مؤدية بذلك إلى زيادة التخزين التراكمي للغازات. (انظر المخطط في الأسفل).

وفي هذه الأثناء يمكن أن يبتعد عمود معطفي باتجاه جانبي ويتراكم تحت جزء أرقّ من الغلاف الصخري المجاور. وفي نهاية المطاف، سينسفع بعضه على السطح كبارلت فيضاني قاريّ. أما في الأسفل، فيبقى العمود المعطفي يحتضن الراسخ والغازات المخزّنة المتراكمة.

أما الشرط الحاسم لجعل العمود ينفجر بتمامه فيتمثّل في شروع الراسخ بالانسحاب والانفطار rifting وهذا النوع من التشطر القاريّ يحدث كل 100 مليون سنة تقريباً أو نحو ذلك كجزء من دورة ويلسون Wilson التي تخلق أو تبيد محيطات العالم. وفي الوقت الحاضر فإنّ ذلك يحدث على طول وادي الانهدام rift valley في شرق أفريقيا؛ وتوجد، بصورة حاسمة، براهين على أنّ الانفطار كان يتواصل أثناء الانقراضات الثلاثة الجماعية الأكثر قرباً.

قد يكون هذا الانفطار كافياً بالضبط لتحرير الضغط داخل الراسخ فينبج انفجاراً غازياً كارثياً. ويتوقّع فييس مورغان أنّ الغازات قد تندفع بسرعة كبيرة نحو الأعلى من خلال كسر صغير في القشرة الأرضية وتنفجر عند السطح، مسمّمة الغلاف الجوي ومسبّبة إجهاداً بيئياً شديداً حول العالم. وقد يكون الانفجار بحد ذاته مخرباً. ففي حساب أجراه فييس مورغان، تبين أن هذا الانفجار قد يسبّب زلزالاً قدره magnitude 11، أي 100 مرة أقوى

مورغان J. P. Morgan الذي قاد فريق جيومار حين قال: "غير أن هذا غير محتمل وربما يقع في إطار سوء حظ الأرض". أما نسبة احتمال حدوث أربع من هذه المصادفات خلال الأربعمئة مليون سنة الأخيرة فهي 3500/1.

وفيما تزداد الأدلة على حدوث هذا التوافق، تزداد كذلك الحاجة إلى أسلوب لتفسير كيفية حدوثه. وهكذا شرع مورغان واثان من زملائه في جيومار (تيم رستون وسيزار رانيرو) بالبحث عن أسلوب ما للتفسير. فكانت النتيجة فرضية فيرنشوت (مقدوفة فيرن) Verneshot وبداية معركة جديدة شرسة في حرب الانقراضات الجماعية.

أما الفكرة الأولى التي درسها فريق جيومار فقد تناولت ما إذا كانت التصادمات تستطيع بطريقة ما أن تسبّب انصبابات بارلتية فيضانية قاريّة. وهذا ما تم اقتراحه عدة مرات كان آخرها في عام 2002 حينما اقترح أدريان جونز A. Jones من جامعة كولج لندن أن تصادماً كبيراً استطاع اختراق قشرة الكرة الأرضية واستهل انصباباً هائلاً للحمم (اللابة) lava (انظر مجلة 14، NewScientist كانون الأول 2002، الصفحة 16). بيد أن فريق فييس مورغان نبذ هذه الفكرة مقررًا أنه لا يمكن لنيزك من الناحية الفيزيائية أن يسبّب انصهاراً مستداماً يصحبه بارلت فيضاني. وأكثر من ذلك، فإن جيولوجية الحدّ الفاصل بين الكرييتاسي والحقب الثالث لا تؤيد الفكرة التي ترى بأن تصادماً نيزكياً قد فجر انصباب صخور بارلتية فيضانية. فالفوهة البركانية الموجودة في تشيكسولوب تقع في جانب العالم المقابل للبارلت الفيضاني الذي عاصرها في مصاطب ديكان البارلتية Deccan Traps في الهند، كما أن التأريخ الجيوكيميائي geochemical dating يوحي بأن البركنة قد بدأت قبل وقت طويل من ضربة النيزك.

وهكذا قرّر علماء جيومار قلب الجدل رأساً على عقب. فربما يكون البارلت الفيضاني القاريّ قد أوجد على نحو ما بصمات تصادم نيزكي. وإذا كان هذا الأمر ممكناً، فإنّ من الممكن استبعاد التصادمات لكونها زائفة. وهذه ليست خطأ جديداً في التفكير، إذ كان الجيولوجيون يتابعونه منذ بداية الستينيات من القرن المنصرم. بيد أنه ما من أحد توصل إلى آلية مقنعة لتفسير إمكان محاكاة البارلت الفيضاني لجميع الإشارات الجيولوجية للتصادم، التي تعتبر الفوهة البركانية أوضحها وأندرها. وهناك بصمات مهمة أخرى تشمل بلورات الكوارتز المصدوم التي توشحها بشكل متصالب كسور بالغة الصغر، وتراكم مرتفعة من عنصر الإيريديوم النادر، وتبقّعات صغيرة من صخر مصهور تدعى الكريات المكروية، وكذلك الفولرنات fullerenes.

يعتقد بصورة واسعة أنّ البارلت الفيضاني القاريّ يحدث حينما تندفع جداول أعمدة الحمم المعطفية الصاعدة من أعماق الأرض ضد اليابسة القاريّة المؤلفة من القشرة وطبقة سميكة من معطف

مدفع جول فيرن الفضائي

ذكرت هذه الآلية فييس مورغان بكتاب كان قد قرأه وهو طفل بعنوان "Jules Verne's From the Earth to the Moon" الذي يحكي عن مدفع ضخّم تقريباً يُطلق أجساماً إلى الفضاء. فقد قال: "إننا قرّرنا تسمية آليتنا باسم مدفع جول فيرن الفضائي". ومنه جاءت كلمة فيرنشوت (مقدوفة فيرن).

يمكن جمال هذه الفكرة في أنها تعلّل كل بصمات التصادم التي صاحبت الانقراضات الجماعية. فالبركنة المعطية العميقة المنشأ قد تجلب الإيريديوم إلى السطح في حين يولّد الانفجار والتصادمات الكوارتز المصدوم وفوهات التصادم. وأثناء انهيار قناة مقدوفة فيرن قد تنطلق نُتف من الصحارة بقوة إلى الخارج وبعضها يحتفظ بشكل كريات مكروية. وفي هذه الأثناء يشجّع تخلخل ضغط الغاز والانفجار المتبع للأكسجين تشكيل الفلرينات.

قد تُفسّر آلية مقدوفة فيرن عدم التناظر lopsided في فوهة التصادم الذي يتركه الجسم الذي تحطم في فوهة "تشيك كسولب". فقد استخلص مصممو النماذج أنّ الجسم الصادم أتى من الداخل من الجنوب الشرقي بزاوية 20 درجة تقريباً. وهذا لا يستثني فقط النيزك وإنما يتوافق أيضاً مع حطام مقدوفة فيرن المنقذفة من "ديكان ترابس".

إنّ طاقة الانفجار قد تكون معادلة إلى 120 بليون طن من TNT، أو 7 مليون قنبلة هيروشيما، وهي طاقة كافية لتذف 20 جيغا طن من الصخور في الستراتوسفير.

يمكن أن تكون هذه الفكرة مقنعة ولكن هل يوجد أي برهان؟ حسب فييس مورغان "يصعب جداً البرهنة عليها لأنه يصعب التمييز بين تصادم نيزك و"مقدوفة فيرن" وإننا نحتاج إلى البحث عن إشارات لانطلاق الغاز من القناة". فهو يعتقد أنّ بقايا أية قناة ستكون قد دفنت تحت كيلومترات متعددة من صخور انسكبت إلى الخارج بالبالزالت الفيضاني، ولكن يجب أن تظهر علي الصور السيسمية والمسوح الثقالية. ويتابع فييس مورغان قائلاً: "إنني أتوقع أن يكشف المسح السيسمي، بين عمق 80 كيلومتراً والسطح، عن منطقة مضطربة في الغلاف الصخري، تكون مملوءة بصهارات بازلتية. وقد توجد أيضاً شذوذات ثقالية ترتبط بصخور بازلتية من كثافات مختلفة".

ومع أنه ما من أحد أجرى حتى الآن مسوحات سيسمية مفصّلة لمناطق ذات صلة بالبالزالت الفيضاني، فإن نتائج المسح الثقالي جديرة بالاهتمام. فقد تمّ تسجيل شذوذات ثقالية شبه دائرية تحت "ديكان ترابس" على مقربة من ساحل فريتاون، في سيراليون. وهذا هو جزء من سنترال مغماتيك بروفانس Central Magmatic Provence وهو بازالت فيضاني ترافق مع انقراض جماعي في نهاية الدور الترياسي. وفي غضون ذلك وجد الجيولوجيون جزءاً من فوهة تصادم تُعرف باسم غريت تانغوستا ديبيريشين Great

من الزلزال الذي ضرب تشيلي عام 1960 وبلغ الرقم 9، وهو الزلزال الأقوى الذي جرى تسجيله حتى الآن.

ولكن قد يحصل ما هو أسوأ. فبعد الانفجار مباشرة قد ينخفض الضغط فجأة في القناة pipe التي تحمل الغازات مسبباً لها تفريغاً من الأسفل إلى الأعلى. ويشير فييس مورغان إلى أنّ هذا الانهيار سيتحرّك نحو الأعلى بسرعات فوق صوتية ويؤدي إلى نسف صخور وقذفها من قمة القناة إلى أية نقطة من سطح الكرة الأرضية. وربما تعادل الطاقة المنطلقة ما قدره 120 بليون طن من مادة الديناميت TNT، أو 7 مليون قنبلة هيروشيما، وهذه هي تقديرات فريق جيومار. وإذا جرى هذا التحرير مفاجئاً بصورة كافية فإنه يمكن أن يقذف كمية قدرها 20 جيغا طن من الصخور في مسار ستراتوسفيري فائق super-stratospheric (أي من الجزء الأعلى من الغلاف الجوي).

أم كل الانفجارات

1- ترتفع سحابة معطفية تحت فوهة التصادم



2- تراكم الغازات



3- مقدوفة فيرن Verneshot



والحل الواضح الآخر لحدث الفيرنشوت يمكن أن نجده في بقايا الأجزاء المتصادمة داخل فوهة التصادم. عادة ما يؤدي الاقتراب السريع جدا لنيزك إلى تبخره عندما يضرب الكرة الأرضية. أما حطام "مقدوفة فيرن" من ناحية أخرى فقد لا ينتقل بمثل هذه السرعة ويجب أن تترك بعض البقايا عند موقع الصدمة. فإذا استطاع العلماء أن يأخذوا بصمات شقف الصخور من الناحية الجيوكيميائية عند



الفوهات هي الدليل الأوضح ولكنه الأندر لأحد التصادمات، ولذلك على الجيولوجيين أن يعتمدوا على حلول أخرى.

فوهة "تشيك كسولب" مثلاً وأن يُبينوا أنها نشأت من منطقة "دكان ترابس" في الهند، سيكون ذلك برهاناً قوياً على آلية "الفيرنشوت". لقد أحرزت نظرية "الفيرنشوت" حتى الآن قبولاً متناقضاً إلى أبعد الحدود. ومن بين المؤيدين بول هوفمان P. Hoffman من جامعة هارفارد، ومفسر نظرية "سنيوبول إرث" Snowball earth. "فهو يعتقد أن هذه الفرضية تُعد اقتراحاً مهماً". "فهي طريقة خلاقاً لمشكلة حقيقية. ومن خلال ذلك يذكر فانسان كورتيلو V. Courtillot، من جامعة دنيس ديدرو وأحد المحررين في مجلة Earth and Planetary Science Letters ومؤيد مهم للبركنة كسبب للانقراضات الجماعية، أن هذه الفكرة تجعل الناس يقيمون الدليل مجدداً. "فهو يعتقد أنها فكرة بارعة وأنه كان مسروراً لنشرها، ولكنه لم يكن متأكداً تماماً أنها صحيحة من الناحية الفيزيائية.

أما كلود جوبار C. Jaupart من جامعة دنيس ديدرو فهو يشكك أيضاً بشأن هذه الآلية. فهو يذكر "أنها لم تقم على مبادئ فيزيائية دقيقة". غير أنه حتى الآن لا يمكن أن يُصرف النظر عن الفكرة بغير تحفظ بسبب اعتماد البرهان على فرضيات.

هذا، وقد أتى النقد الأقوى من الجيولوجيين الذين يحبذون فكرة أن النيزك هو الذي قتل الدينوصورات. ويزعم إيان سميث I. Smith، من جامعة فري في أمستردام في هولندا، أن تحديد أعمار التصادمات والبارزات الفيضاني غير دقيق بصورة كافية للتأكد بأنها بالفعل مترافقة. ومهما يكن من أمر فهو يذكر أنه لا يوجد أي برهان لحادثات من "مقدوفات فيرن". ويشير فيليب كلايس P. Claeys، من جامعة فري في بروكسل (VUB) في بلجيكا، إلى أن الحادثة الوحيدة من الانقراضات الجماعية الأربعة التي لها برهان واضح على تصادم نيزكي هي حادثة الحدّ الفاصل (الكرياسي - الحقب الثالث). فهو يعتقد أن على فيبس مورغان أن يعتبر الخيار الأبسط يتمثل بأن بصمات التصادم عند الحدود الفاصلة، ما عدا الحدّ الفاصل (كرياسي - الحقب الثالث)، هي بصمات مشكوك في أمرها. وإذا كانت تلك هي الحالة، فإننا لا نحتاج إلى أية فرضية بركانية عملاقة وغير قابلة للبرهان لحل المشكلة.

Tangusta Depression تحت "سيبيريان ترابس" Siberian Traps، حيث ترافق البارزات الفيضاني مع الانقراض الجماعي في الدور البرمي. وتتمتع فوهة التصادم هذه بكل السمات المميزة للتصادم بما في ذلك الكوارتز المصدوم. فهل تكون هذه الفوهة موقعاً لقناة انطلاق إحدى مقذوفات فيرن؟

ويتمثل الشيء الغريب في أن هذه الفوهة كانت أيضاً موقعاً لحادثة تانغوستا في عام 1908، حيث تحطمت مساحة حوالي 2000 كم² من الغابات بانفجار غامض. أشار شاهد عيان إلى أنه رأى كرة نارية وهذا ما قاد العلماء إلى تصنيفه كتصادم نيزكي. والآن لدى فيبس مورغان تفسير آخر تحت اسم مقذوفة نيرن المكروية micro-Verneshot. فهو يدعي أنه "إذا كان غريت تانغوسكا ديريشن Great Tunguska Depression هو بقية من بقايا موقع انطلاق مقذوفة فيرن، فعندئذ من المحتمل أن القناة الأصلية لم تمح بكاملها من الوجود وأنها ستستخدم مرة ثانية لأحداث انطلاق لغازات أقل شأنًا بكثير. ويقوم فيبس مورغان حالياً بتشكيل فريق مع علماء آخرين لاختبار نظرية فيرنشوت". فهو يقوم برفقة جيولوجيين من المعهد الجيوفيزيائي الوطني في حيدرآباد في الهند بالتحري عن وجود شذوذات دائرية في "ديكان ترابس"، وهو يأمل في استكشاف "غريت تانغوسكا ديريشن" للبرهنة على وجود قناة شاقولية عميقة. وبالإضافة إلى ذلك فهو يرغب في البحث عن أجزاء لدليلين آخرين: مخاريط الحطام shatter cones وبقايا أجزاء من مقذوفات فيرن المتصادمة impactors.

أما مخاريط الحطام فهي قطع من الصخر تتمتع بنمط متميز من الكسور الشعاعية radial حدثت عندما تكسرت الصخور تحت قوة تصادم ما. فهي (أي الكسور) تميل لأن تتجه نحو مركز موقع التصادم ويأمل فيبس مورغان أن تكشف مسوحات أكثر تفصيلاً من حيث التوجيه عن الاتجاه الذي أتى منه التصادم. فهو يذكر أن "مخاريط الحطام قد تكون قادرة أن تبين لنا فيما إذا كان مصدر الصدمة قد أتى من داخل الكرة الأرضية - أي من مقذوفة فيرن - أو من الأعلى - أي من نيزك.

أمصادفة؟

تحدث معاً انقراضات جماعية ويازلت فيضاني وإشارات إلى التصادم أكثر تكراراً ممّا يمكن توقعه بالمصادفة ● شذوذات إيريديوم ● كوارتز مصدوم ومكورات مكروية ● فوهة التصادم ● فئريينات

ومع ذلك كان فييس مورغان سعيداً بأن يُسلّم بأنّ السبب المحتمل للانقراض الجماعي على الحد الفاصل الكرييتاسي - الحقب الثالث كان مصادفة مشؤومة. إذ يذكر أنّ فوهة تشيك كسولب هي بعيدة كل البعد عن "ديكان ترابس" وأنها لا تتناسب إلى أبعد الحدود مع حادثة "مقذوفة فيرن" لتقذف قطعة من القشرة الأرضية إلى تلك المسافة، وبصورة خاصة دون أن تتجزأ وتؤدي إلى تصادمات متزامنة أصغر على الكرة الأرضية في الوقت نفسه.



ولكن إذا كانت فرضية "مقذوفة فيرن" صحيحة، عند ذلك نحتاج إلى أن نراقب بعناية المكان الذي يمكن أن يتم فيه التحضير إلى الحادثة التالية. ويبين فييس مورغان أنّ ذلك مجرد تخمين تام، ولكن يعتقد أن الكراتون السيبيري هو أكثر الأمكنة احتمالاً. فأوراسيا الشمالية تبدأ حالياً بالانفطار، ويظهر أنّها تملك الشروط المسبقة لانفجار سحابة plume معطفية انفجارية عبرها" فخذوا حذرکم، إن الطريق أمامنا صعبة جداً.

ولقد حاز منطق جدل كلايس قبول فييس مورغان، ولكنّه أشار إلى أنّه يوجد "شبه إجماع" على أنّ إشارات التصادم هي أدلة حقيقية على صدمة رئيسية". فإذا كان كلايس على صواب فهذا قد يعني أيضاً أنّه يجب على مؤيدي التصادم الاعتراف أنّ البازلت الفيضاني القاري كان السبب في ثلاثة على الأقل من الانقراضات الجماعية الأربعة الأحدث.

* * *

★ الفعل الغذائي لليبتين في عصبونات الوطاء التي تنظم الأكل

ج. بوريت - ش. درابر - ر. سيمرلي

قسم علم الأعصاب، مركز أوريغون للبحث الوطني وجامعة أوريغون للصحة والعلوم، بيفرتون، الولايات المتحدة الأمريكية

ملخص

يؤثر هرمون الليبتين leptin المشتق من الخلايا الشحمية على الدماغ في الثدييات البالغة بشكل يقلل مدخول الطعام food intake، وذلك عبر تنظيم نشاط العصبونات الموجودة في النواة المقوسة arcuate nucleus الوطائية (ARH). ونذكر هنا أن مسارات الارتسام projections العصبية الصادرة عن هذه النواة تعطل بشكل مستديم عند الفئران المصابة بعوز الليبتين (والتي يرمز لها بـ Lep^{ob}/Lep^{ob}). ولا تلغى المعالجة بهذا الهرمون لدى الأفراد البالغة ذلك الإخلل التشريحي العصبي. أما معالجة فئران Lep^{ob}/Lep^{ob} حديثة الولادة بهرمون الليبتين الخارجي المنشأ، فإنها لا تعطل نماء مسارات ارتسام النواة المقوسة الوطائية، كما يعزز الليبتين نشوء محاور axons عصبية صادرة عن عصبونات النواة المقوسة الوطائية في المختبر (في الزجاج in vitro). وتوحي هذه النتائج بأن هرمون الليبتين يلعب دوراً مغذياً عصبياً أثناء تنامي الوطاء hypothalamus، وأن هذه الفعالية تقتصر على الفترة الوليدية neonatal الحرجة التي تسبق التنظيم الليبتيني المرهف لمُدخول الطعام لدى البالغين.

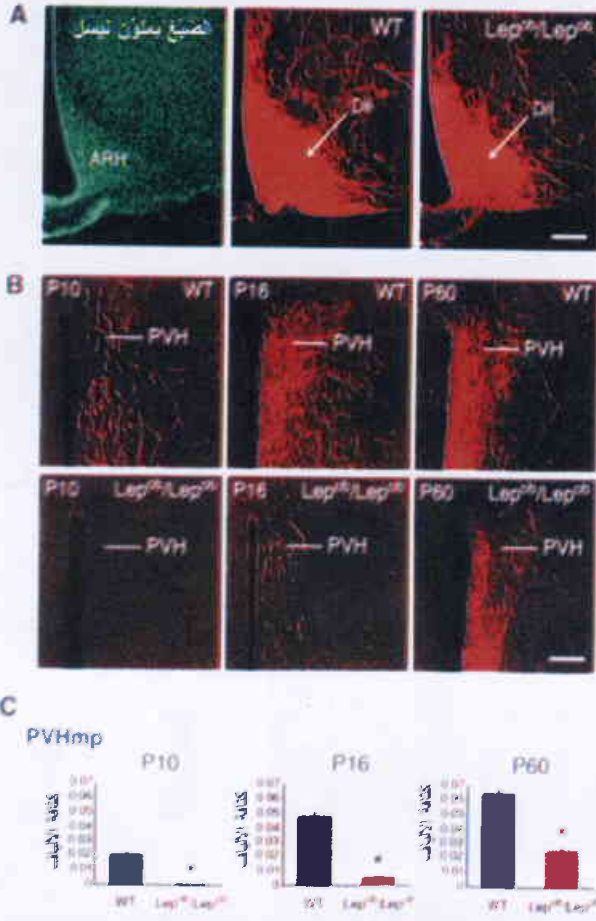
الكلمات المفتاحية: هرمون الليبتين المشتق من الخلايا الشحمية، النواة القوسية الوطائية، الببتيد المقهم.

توفّر النواة المقوسة الوطائية في الفئران البالغة مسارات ارتسامية كثيفة نحو ثلاث نوى ووطائية أخرى مَعْنِيَةً بمدخول الطعام، وهي: النواة الوطائية جانب البطينية (PVH) والنواة الوطائية المتوسطة الظهرية (DMH) والباحة الوطائية الجانبية (الوحشية) (LHA) [15]. وفي الفئران الوحشية من النمط C57BL/6 تتشكّل هذه الارتسامات بشكل أساسي أثناء الأسبوع الثاني بعد الولادة ثم تعصّب جميع المستهدفات الوطائية hypothalamic targets في أزمّة مختلفة [16]. فالارتسامات الصادرة من النواة المقوسة الوطائية نحو النواة الوطائية جانب البطينية (PVH) تتشكل متأخرة نسبياً في الحياة بعد الولادة (من اليوم الثامن حتى اليوم العاشر بعد الولادة)، ثم تأخذ النمط الناضج للتعصيب في حوالي اليوم السادس عشر بعد الولادة (الشكل 1). أما الارتسامات الصادرة عن النواة المقوسة الوطائية نحو النواة الوطائية المقوسة الظهرية (DMH) فإنها تتأسس ما بين اليومين الخامس والسادس بعد الولادة ثم تحقق النموذج البالغ بحلول اليوم الثاني عشر (الشكل A و B و S1). أما الارتسامات نحو الباحة الوطائية الجانبية (LHA) فيبدو بأنها تتأسس في حوالي اليوم الثاني عشر بعد الولادة ولكن كثافتها تستمر بالازدياد حتى اليوم السادس عشر (الشكل C و D و S1).

ويسبب وجوب زيادة مدخول الطعام إلى أقصى حدّ ممكن بغية دعم النمو أثناء التشكّل والتنامي المبكر، وكذلك وجوب دعم وظائف

لقد عُرف منذ عقود أن الهرمونات الجوّالة في الدم (مثل الستيروئيدات الادرينالية والستيروئيدات الجنسية وهرمون الدرق) تمارس تأثيرات واسعة في تنامي الدماغ. فالمسارات العصبونية في المناطق الحوفيّة limbic regions من الدماغ الأمامي (وكذلك في الوطاء)، تكون حسّاسة بشكل خاص للتأثيرات النمائية للهرمونات أثناء الحياة حول الولادة perinatal life حسبما يتبيّن من التغيّرات المعتمدة على الهرمون في عدد الخلايا وفي التعصيب innervation والكيمياء العصبية، تلك التغيّرات التي تمّ توثيقها بالنسبة لتشكيلة منوّعة من المناطق [1-5]. وقد أدّى اكتشاف هرمون الليبتين المشتق من الخلية الشحمية إلى ثورة في فهم الآليات البيولوجية العصبية المنظمة للبدانة [6-9]. ففي الحيوانات البالغة، ينشّط الليبتين عصبونات النواة المقوسة الوطائية التي تحتوي على الببتيد المقهم anorexigenic المسمّى "الهرمون المنشط للخلية الميلانينية ألفا (α-MSH)، كما يتّبط العصبونات المشاركة في "تفصيح coexpress الببتيد العصبي المولد للشهية (NPY) والبروتين الشبهي (AgRP) [10] اللذين يحملان هذه المعلومات إلى أجزاء أخرى من الوطاء، من ضمنها الأجزاء المعنية في تنظيم مدخول الطعام وصرف الطاقة [11-13]. ولكن بالرغم من الدليل المقنع بأن عوز الليبتين يسهم في السمّة المبكرة [14]، فإننا وبصراحة لا نعرف إلا القليل عن تشكّل وتنامي الدارات المركزية التي تنظم موضوع الأكل وميزان الطاقة.

★ نُشر هذا المقال في مجلة Science - 2 April, Vol.304, 2004 وتمت ترجمته في هيئة الطاقة الذرية السورية.



الشكل 1. يُفسد عوز الليبتين النموذج النمائي السوي للارتسامات الصادرة عن النواة المقوسة الوطائية نحو النواة الوطائية جانب البطينية. (A)، بلورات من المقاطع اللاحق (Dil) تم وضعها في النواة المقوسة الوطائية لفئران Lep^{ob}/Lep^{ob} وفي نظيرتها عند فئران النمط الوحشي (WT). (B)، ألياف موسومة بـ (Dil) في النواة الوطائية جانب البطينية في اليوم العاشر واليوم السادس عشر واليوم الستين عند فئران النمط الوحشي وتمعد Lep^{ob}/Lep^{ob}. (C)، تعيين مقدار كثافة ألياف النواة المقوسة الوطائية الموسومة بـ (Dil) التي تعصب المكون الخلوي الفسيح الأوسط من النواة جانب البطينية (PVHmp) لدى فئران النمط الوحشي وتمعد Lep^{ob}/Lep^{ob} في اليوم العاشر (n = 3) للمجموعة الواحدة). لقد انقص عوز الليبتين وبشكل شديد، كثافة الألياف المقوسة التي تعصب كل جزء من النواة الوطائية جانب البطينية. ونشير إلى أن القيم الظاهرة في الشكل هي متوسطات (+SEM). وأن P تكون أصغر من 0.001 بين فئران Lep^{ob}/Lep^{ob} وفئران النمط الوحشي. خطوط القياس تعادل 60µm في (A) و 190µm في (B).

الظهيرية بحلول اليوم السادس بالنسبة للفئران Lep^{ob}/Lep^{ob}، وأنه بحلول اليوم الثاني عشر بقيت كثافة الألياف الموسومة أقل بخمس مرات من نظيرتها لدى الفئران ذات النمط الوحشي (الشكل B و A، S1). وهكذا يظهر أن عوز الليبتين يعطل نشوء الارتسامات الصادرة من النواة المقوسة الوطائية نحو حقولها الانتهائية الرئيسية.

وكيما نقرّر ما إذا كان الليبتين يعزّز تشكّل ونماء مسارات أخرى حساسة لهذا الهرمون (أي الليبتين)، فقد قمنا بفحص تنامي الارتسامات من النواة الوطائية المتوسطة الظهرية نحو النواة الوطائية جانب البطينية (الشكل S2, A) [23]. ولكن هذه الارتسامات

الليبتين عند الأفراد البالغة بغية كبت مدخول الطعام لديها، فإن أمر حدوث هذه الاندفاع الواضحة في سوية الليبتين خلال الأسبوع الأول من الحياة يثير الدهشة [17]. فهذه الاندفاع الكبيرة في إفراز الليبتين لا يجاريها انخفاض مقابل في مدخول الطعام لدى الفئران الحديثة الولادة، الأمر الذي فسّر بشكل مبدئي على أنه دلالة على أن الدماغ لدى حديثي الولادة يكون غير حسّاس نسبياً لهرمون الليبتين [18]. وثمّة رأي بديل يرى أن اندفاع الليبتين لدى حديثي الولادة تقوم بدور إشارة نمائية فقط [19-21].

وكيما ندرس دور الليبتين في تشكّل ونماء ارتسامات النواة المقوسة الوطائية، قمنا بغرس بلورات من (1) ديوكتاديسيل - 3,3',3'',3''' - تتراميتيل إندوكاربوسيانين بيركلورات (Dil)، الذي يعتبر قائفاً tracer محبباً للشحوم يسمّ الارتسامات المحوارية axon projections الموجودة في الأنسجة المثبتة [22]، داخل النواة المقوسة الوطائية لفئران Lep^{ob}/Lep^{ob} وفئران من النمط الوحشي ذات أعمار مختلفة [23] (الشكل 1A)، فأظهرت النتائج أن عوز الليبتين قد سبّب أعطالاً عميقة في نماء ارتسامات النواة المقوسة الوطائية. أما بالنسبة للنواة الوطائية جانب البطينية لفئران Lep^{ob}/Lep^{ob} البالغة من العمر 10 أيام، فقد كانت الألياف الموسومة أقل بعشر مرات بالقياس إلى عددها في نظيراتها من صغار الفئران ذات النمط الوحشي، (الشكل 1B و C). ونذكر هنا أن معدّل الكثافات الليفية في النواة الوطائية جانب البطينية ازداد في فئران Lep^{ob}/Lep^{ob} وفئران النمط الوحشي كليهما في اليوم السادس عشر، ولكن بقيت الكثافة الليفية لدى الفئران Lep^{ob}/Lep^{ob} أقل بكثير منها لدى الأخرى. ويبدو أن تعطل ارتسامات النواة المقوسة الوطائية هو تعطل مستديم لأن كثافة الألياف في المكون الخلوي الفسيح الأوسط medial parvocellular component من هذه النواة بقيت عند الفأر البالغ ذي النمط الوحشي (عمره 60 يوماً) أكثر بثلاث إلى أربع مرات من نظيرتها عند الفئران Lep^{ob}/Lep^{ob} (الشكل 1B و C). أما نمط توزّع الألياف الموسومة في النواة الوطائية جانب البطينية فقد تشابه لدى الفئران Lep^{ob}/Lep^{ob} ونظيراتها الفئران ذات النمط الوحشي مما يوحي بأن عوز الليبتين يغيّر في الكثافة وليس في نمط التعصيب.

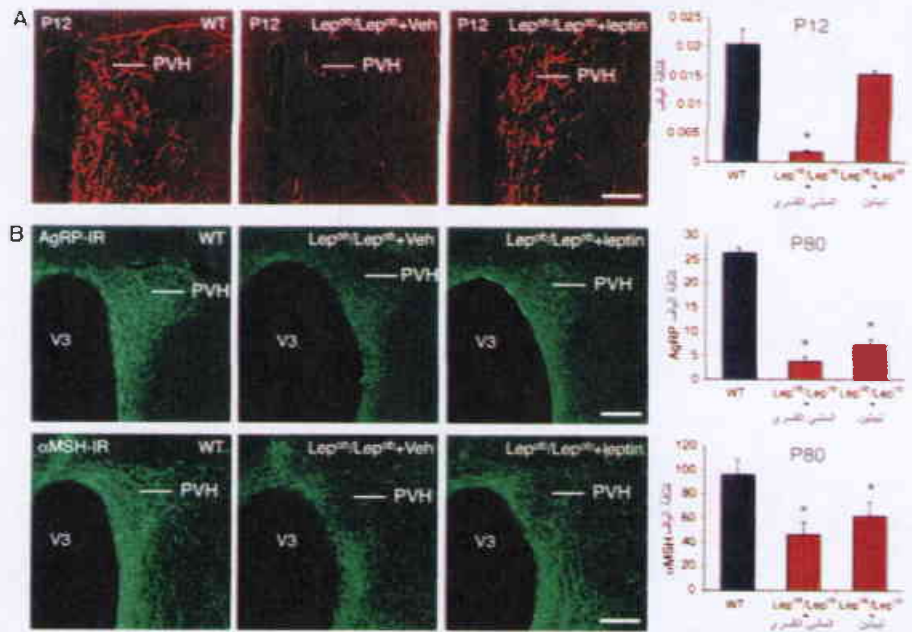
لقد لوحظ نقصان مشابه في كثافة ألياف (Dil) في النواة الوطائية المتوسطة الظهرية (DMH) وفي الباحة الوطائية الجانبية (LHA) وكذلك في حقول انتهائية أخرى من الفئران Lep^{ob}/Lep^{ob} التي تلقت مركّب (Dil) داخل النواة المقوسة الوطائية، مما يشير إلى أن عوز الليبتين يسبّب تعطيلاً واسعاً للارتسامات المقوسة الوطائية. فمثلاً، كشف تحليل المواد الموسومة بالمركّب (Dil) أن المحاويز الصادرة من النواة المقوسة الوطائية ينذر أن تصل إلى النواة الوطائية المتوسطة

من النواة الوطائية جانب البطينية إلى مستويات تضاهي نظائرها عند فتران النمط الوحشي (الشكل 2A). يضاف إلى ذلك أن معالجة حديثي الولادة بهرمون الليبتين قللت مدخول الطعام (البالغ 4.5 غرام/في اليوم) لدى فتران Lep^{ob}/Lep^{ob} في اليوم الثاني والثلاثين إلى مستويات تتوسط بين مدخولات الفتران ذات النمط الوحشي (البالغ 3.9 غرام/في اليوم) ومدخولات فتران Lep^{ob}/Lep^{ob} التي خضعت للمشي فوق شريط نقال والبالغة 5.4 غرام/في اليوم (الشكل 3S). ولكوننا لاحظنا نقصاناً جوهرياً في ارتسامات النواة المقوسّة الوطائية المتّجهة نحو كل واحدة من النوى المستهدفة، قمنا باختبار فرضية أن يكون الليبتين مؤثراً على النواة المقوسّة الوطائية بشكل مباشر. وتضمّن الاختبار أخذ مستنبتات منعزلة (مزروعة شرائحياً slice explant cultures بعد أخذها من فتران حديثة الولادة) وتعرضها إلى هرمون الليبتين 231. ففي الساعة 72 بعد إضافة الليبتين (بتركيز 100 نانوغرام/للكل ملتر) إلى الوسط الاستنباتي، حدث تحريض مهم للمحاور العصبية المنبعثة من غراس النواة المقوسّة الوطائية بالمقارنة مع المستنبتات الشاهدة control cultures مما يوحي بأن الليبتين يحث العصبونات المقوسّة الوطائية على تعزيز تظاول المحاور وتفرّعها (الشكل 3).

إن الإشارات الهرمونية، التي تنظم التشكل والنماء، تميل هنا للعمل خلال فترات حديّة محدودة حول الولادة. وكما نختبر فعالية الليبتين على ارتسامات النواة المقوسّة الوطائية لدى فتران Lep^{ob}/Lep^{ob} البالغة، فقد استخدمنا تقنية الوسم الكيميائي النسيجي المناعي للبروتين الشبهيمي AgRP [23]. ولما كان من المعروف أن إفصاح (تعبير) هذا البروتين AgRP expression في القوارض البالغة يقتصر على العصبونات الحاوية على الببتيد العصبي المولد للشهية (NPY) في النواة المقوسّة الوطائية، فإن ألياف AgRP ذات التفاعل المناعي تمثّل ارتسامات هذه العصبونات. وحسبما يلاحظ في دراسات الوسم المحوري، فإن كثافة ألياف AgRP ذات التفاعل المناعي تقل

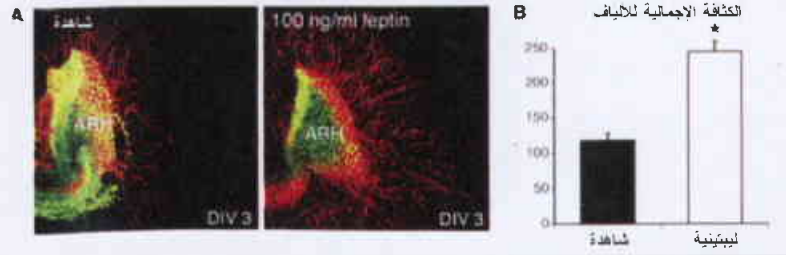
بدرت عادية (الشكل B و C و S2). وكذلك فحصنا تتامية مسار حوّفي وطائي limbic-hypothalamic pathway يُظنّ أنّه غير حساس لهرمون الليبتين (الشكل D و S2). وهنا أيضاً تبين أن هذا المسار لا يتأثر بعوز الليبتين (الشكل E و F و S2). فإذا أخذنا بالحسبان مجموع ما تقدّم، نجد أن هذه الملاحظات توحي بأن عوز الليبتين لا يسبّب تعطيلاً واسعاً في الدارية الوطائية بل يؤثر بشكل نوعي في تشكل ونماء الارتسامات المقوسّة الوطائية تحديداً.

وكما نحدّد ما إذا كان الليبتين يقوى على أن يلغي العطل الحاصل في ارتسامات النواة المقوسّة الوطائية والمشاهد عند الفتران التي يعوزها الليبتين، فقد عمدنا إلى معالجة فتران حديثة الولادة من النمط Lep^{ob}/Lep^{ob} بهرمون ليبتين مؤثّب recombinant leptin (عبر الحقن تحت البريتوان بمقدار 10 ملغ/لكل كيلوغرام يومياً) بدءاً من اليوم الرابع حتى غاية اليوم الثاني عشر. وهنا أدت المعالجة الليبتينية إلى زيادة كثافة الألياف الموسومة في المكوّن الخلوي الفسيح الأوسط



الشكل 2. تتفاى معالجة فتران Lep^{ob}/Lep^{ob} حديثة الولادة بالليبتين الارتسامات الصادرة عن النواة المقوسّة الوطائية نحو النواة الوطائية جانب البطينية. أما معالجة الفتران البالغة بهذا الهرمون فلا تتفاى هذه الارتسامات. (A) تقضي معالجة فتران Lep^{ob}/Lep^{ob} حديثة الولادة بحقنات يومية داخل البريتوان من الليبتين المؤثّب (10 مليغرامات لكل كيلو غرام) في الفترة ما بين اليوم الرابع واليوم الثاني عشر إلى زيادة تعصيب النواة جانب البطينية من طرف الألياف المقوسّة. إن كبر التغيرات التي يستحثها الليبتين يتجلى في المقارنة البيانية بين كثافة الألياف المقوسّة الموسومة بـ (Dil) التي تعصب المكوّن الخلوي الفسيح الأوسط للنواة جانب البطينية في فتران النمط الوحشي البالغة من العمر 12 يوماً ($n = 3$) من جهة وفي فتران Lep^{ob}/Lep^{ob} التي خضعت للمشي القسري ($n = 3$). وفي فتران Lep^{ob}/Lep^{ob} التي عولجت بالليبتين ($n = 3$) من جهة أخرى P ما في أقل من 0.001 بين فتران Lep^{ob}/Lep^{ob} والجراء الفأرية littermates ذات النمط الوحشي والحيوانات المعالجة بالليبتين. (B) لا ترمم المعالجة بالليبتين فساد مسارات (α -MSH) و (AgRP) في فتران Lep^{ob}/Lep^{ob} البالغة. فالوزن الليبتيني يقل كثافة ألياف AgRP ذات التفاعل المناعي (والتي يرمز لها بـ (AgRP-IR)) وكذلك تقل كثافة ألياف α -MSH ذات التفاعل المناعي (α -MSH-IR) في النواة الوطائية جانب البطينية لفتران Lep^{ob}/Lep^{ob} في اليوم 80 بالمقارنة مع كثافة هذه الألياف لدى الجراء الفأرية من النمط الوحشي. وتكشف التقديرات الكمية لكثافة الألياف (α -MSH) و (AgRP) عن أن معالجة فتران Lep^{ob}/Lep^{ob} البالغة بهرمون الليبتين لمدة عشرين يوماً (10 مليغرامات لكل كيلو غرام) في الفترة ما بين اليوم الستين واليوم الثمانين) لم تجعل كثافة ألياف α -MSH و AgRP ذات التفاعل المناعي لدى فتران Lep^{ob}/Lep^{ob} تصل إلى القدر الذي يميز الفتران ذات النمط الوحشي ($n = 3$ للمجموعة الواحدة). ترمز (V3) إلى البطين الثالث وتكون P أقل من 0.001 بين فتران Lep^{ob}/Lep^{ob} أو الفتران المعالجة بالليبتين والجراء الفأرية الوحشية النمط. وتشير إلى أن القيم الظاهرة هنا هي متوسطات SEM + وأن خطوط القياس تعادل 200µm في (A) و 160µm في (B).

تنظم مدخول الطعام واستهلاك الطاقة. ويظهر أن هذه الفعالية النمائية هي نشاط نوعي يخص مسارات ارتسامات النواة المقوسة الوطائية فقط، كما يقتصر على فترة ولادية ذات حساسية قصوى وتتوازي مع فترة الإفراز المرتفع لليبتين. أضف إلى ذلك أن هذه الفترة الحرجة critical period تحدث حينما تشق محاور النواة المقوسة الوطائية طريقها نحو أهدافها. ومع أننا لانعرف ما إذا كان الليبتين يغير إفصاح (تعبير) دالات الهداية الموضعية expression of local guidance cues في المنطقة جانب البطينية من الوطاء، فإن اكتشافاتنا في الزجاج (في المختبر) in vitro توحي بأن الليبتين يستحث نمو التوتوات المحورية عبر تأثيره على العصبونات المقوسة الوطائية بشكل مباشر. وبسبب إمكان وصول الليبتين بشكل مباشر إلى هذه المكونات الرئيسية للدارات الاستتبابية homeostatic circuits، فإن اندفاع الليبتين الولادية تمثل إيعازاً محيطياً محتماً لتوجيه نماء الدارات المركزية الحساسة للهرمونات أثناء الحياة بعد الولادية. وفي هذه الناحية، قد تماثل اندفاع الليبتين الولادية اندفاع الإفراز الستيرويدي الجنسي التي تحدث أثناء الحياة الولادية والتي يُعرف عنها أنها تخصص نماذج التشكل الثنائي الشكل dimorphic في الدماغ الأمامي للتدبيات بصورة جنسية (4.5.17). وتُظهر مكتشفاتنا أن لهرمون الليبتين تأثيراً برمجياً مشابهاً على بنيان الدارة العصبية الاستتبابية، الأمر الذي يزيد إمكان إسهام هذه الفعالية النمائية في نشوء البدانة المعتمدة على الليبتين في مرحلة الطفولة من خلال التأثير المباشر على الدماغ.



الشكل 3. يستحث الليبتين نماء التوتوات المحورية انطلاقاً من النواة المقوسة الوطائية بشكل مباشر (A)، مستبتبات منعزلة عضوية النمط organotypic تم أخذها من النواة المقوسة الوطائية لفران في اليوم السادس من العمر. وقد تم حضن هذه المستبتبات لمدة 72 ساعة مع الليبتين (تركيز 100 نانو غرام/ لكل ملتر) أو بدونه ثم جرى صبغها مناعياً immunostained بـ (بتا توبيولين IHI) الذي هو (الضد TuJ) والذي يلون المحاور. (DIV 3)= ثلاثة أيام في الزجاج (B)، يبين التحليل الكمي أن الليبتين يسبب زيادة بمقدار الضعف في كثافة الألياف المنبعثة من عراض النواة المقوسة الوطائية. أما القيم المبينة فهي متوسطات SEM+. وتكون P أقل من 0.001 بين الحيوانات الشاهدة والحيوانات المعالجة بالليبتين

بشدة في النواة الوطائية جانب البطينية لفران Lep^{ob}/Lep^{ob} في اليوم الثمانين بالمقارنة مع كثافتها عند نظرائها ذات النمط الوحشي (الشكل 2B). وكذلك لوحظت نقصانات في كثافة ألياف (α -MSH) لدى فران Lep^{ob}/Lep^{ob} (الشكل 2B). وعلى نقيض حاد مع النتائج المشاهدة عند الفران الحديثة الولادة، فإن معالجة فران الـ Lep^{ob}/Lep^{ob} البالغة بهرمون الليبتين لمدة عشرين يوماً لم تجعل كثافة ألياف AgRP و α -MSH ذات التفاعل المناعي لدى النواة جانب البطينية تصل إلى مستوياتها في النمط الوحشي (الشكل 2B). ويوحي عجز الليبتين عن تغيير كثافة ألياف AgRP و α -MSH ذات التفاعل المناعي في النواة الوطائية جانب البطينية لدى فران Lep^{ob}/Lep^{ob} البالغة بأن الفعل الإنمائي لهرمون الليبتين إنما يقتصر إلى حد كبير على الفترة حول الولادية perinatal.

تقدم هذه البيانات دليلاً مباشراً على أن الليبتين يلعب دور عامل أساسي في نماء الدماغ بحيث يُعزز تكوّن المسارات الوطائية التي تنقل إلى المناطق الدماغية فيما بعد إشارات (إيعازات) ليبتينية

REFERENCES

- [1] B. S. McEwen, E. R. De Kloet, W. Hastens, Physiol. Rev. 66, 1121 (1986).
- [2] j. Bernard J. Endocrinol. Invest. 25, 268 (2002).
- [3] J. H. Oppenheimer et al., Endocr. Rev. 8, 288 (1987).
- [4] M. D. Madeira, A. R. Lieberman, Prog. Neurobiol. 45, 275 (1995).
- [5] R. B. Simerty, Annu. Rev. Neurosci. 25, 507 (2002).
- [6] M. Schwartz, S. Woods, D. J. Porte, R. Seeley, D. Baskin, Nature 404, 661 (2000).
- [7] R. S. Ahead, C. B. Saber, J. S. Flier, J. K. Elmquist, Front. Neuroendocrinol. 21, 263 (2000).
- [8] J. M. Friedman, J. L. Haloes, Nature 395, 763 (1998).
- [9] B. M. Spegelman, J. S. Flier, Cell 104, 531 (2001).
- [10] J. M. Zeeman, J. K. Elmquist, Endocrinology 144, 3749 (2003).
- [11] C. Elias et al., J. Compaq. Neural. 423, 261 (2000).
- [12] J- K. Elmquist, R. S. Ahead, E. Maratos-Flier, J. S. Flier, C. B. Saper, Endocrinology 138, 839 (1997).
- [13] J. K. Elmquist, R. S. Ahead, C. F. Elias, J. S. Flier, C. B. Saber Proc. Mail. Aced. Sci. U.S.A. 95, 741 (1998).
- [14] C. T. Montague et al., Nature 387, 903 (1997).
- [15] K. Liu, J. Colman, R. B. Simerty, paper presented at the Ernst Annual Meeting of the Society for Neuroscience, San Diego, CA, 10 to 15 November 2001.

- [16] S. G. Bouret, S. J. Draper, R. B. Simerty, J. Neurosci. 24, 2797 (2004).
- [17] R. Ahead, D. Prabakaran, J. Flier, J. Class. Invest. 101, 1020 (1998).
- [18] A. Mistry, A. Swick, D. Romsos, Am. J. Physiol. 277, R742 (1999).
- [19] R. S. Ahead, S. M. Hileman, Raoul. Past. 92,1 (2000).
- [20] R. S. Ahead, C. Bjorback, S. Osel, J. S. Flier, Endocrinology 140, 2755 (1999).
- [21] C. Stepson, A. Swick, Beacham. Biophys. Res. Commun. 256,600 (1999).
- [22] M. G. Honig, R. I. Hume, Trends Neurosci. 12, 333 (1989).
- [23] Materials and methods are available as supporting material on Science Online.

* * *

إعادة تعريف الكيلوغرام*

أ. روبنسون

هو عضو في NPL في قسم علم القياس، المخبر الوطني للفيزياء،
تيدنغتون، المملكة المتحدة

ملخص

الكيلوغرام هو الوحدة الأخيرة المتبقية من منظومة الوحدات الدولية SI المعرفة بدلالة شيء مادي صناعي،
لكن تجربتين تسعيان لإيجاد معيار أساسي للكتلة.

الكلمات المفتاحية: منظومة الوحدات الدولية SI، دقة، ثابت أفوكادرو، ثابت بلانك، ميزان واط.

يُخَرَج الكيلوغرام أحياناً من قبوته
ويستخدم لمعايرة المعايير الكتلية الأولية لكل
من موقعي المعاهدة الدبلوماسية المعروفة
باسم ميثاق المتر metre convention. وقد
وقعت معظم الدول في العالم الصناعي
هذا الميثاق وحصلت كل دولة مُوقَّعة على
نسخة من كتلة الكيلوغرام. فلدى المملكة
المتحدة مثلاً النسخة رقم 18، وهي إحدى
النسخ الأصلية التي صُنعت عام 1894 - أي
بعد خمس سنوات فقط من صنع النموذج
الأصلي.

توجد في كل دولة منظومة تضمن إمكان
مقارنة كل قياسات الكتل بنسخة الكيلوغرام.
ففي مخبر الفيزياء الوطني (NPL) في المملكة
المتحدة نقيس معايير الكتلة لعدد صغير من
مخابر المعايرة، وهذه المخابر تصبح مسؤولة
عن توزيع النتائج إما إلى المستخدمين
النهائيين أو إلى مخابر معايرة أخرى. وهذا
يخلق سلسلة متصلة من القياسات تربط بين
الموازن في المحال التجارية والموازن الدقيقة

في الجامعات وفي الصناعة وبين النموذج الأصلي الوطني، وفي
النهاية بينها وبين الأسطوانة المعدنية في القبوة في سيفر.



كتلة صناعية - الطريقة الوحيدة لمعرفة كتلة جسم ما فعلاً هي
المتر إلى سيفر في فرنسا ومقارنة كتلة الجسم بالنموذج الأصلي
الدولي للكيلوغرام (الذي تظهر نسخة منه هنا) والكيلوغرام
هو الوحدة الأخيرة المتبقية من منظومة الوحدات الدولية SI.
المستندة إلى جسم مادي، لكن علماء القياس يبحثون عن تعريف
أكثر اتساقاً للكتلة.

توجد في قبوة في ضواحي باريس
أسطوانة صغيرة مصنوعة من البلاتين
والإيريديوم تتصف بخاصة فريدة هي أن
كتلتها لا يمكن أن تزيد أو تنقص. ليست
هذه الخاصة، على أية حال، نتيجة لفيزياء
جديدة لأن عمر هذه الأسطوانة أكثر من مئة
عام. لكن خواصها الفريدة ناشئة من كونها
النموذج الأصلي الدولي للكيلوغرام. وتعريف
الكيلوغرام في منظومة الوحدات الدولية SI
ينص على أن "الكيلوغرام هو وحدة الكتلة،
وهو يساوي كتلة النموذج الأصلي الدولي
للكيلوغرام".

وهذا يعني أن للأسطوانة دوماً كتلة 1 kg
حتى ولو أصبحت "أثقل" نتيجة للاتصاق
الغبار عليها من الجو، أو أصبحت "أخف"
نتيجة لتنظيفها. وإحدى النتائج البالغة
الأهمية لتعريف الكيلوغرام بدلالة جسم
مادي هي أنه إذا تغيرت كتلة هذا الجسم
فسوف تتغير كذلك قيم كل الكتل الأخرى
وكل المقادير المتعلقة بالكتلة في منظومة

الوحدات الدولية SI (الشكل 1). وهذا ليس بالوضع الجيد كما هو
واضح.

ويعود الفضل في حقيقة أن التعريف الحالي للكيلوغرام قد
استمر طويلاً ولم يسبب سوى مشاكل قليلة جداً إلى الفيزيائيين
والمثالوجيين الذين ساهموا في ولادة منظومة الوحدات الدولية SI،
وإلى أولئك الذين يصونونها الآن. ويحتفظ المكتب الدولي للأوزان
والمقاييس Bureau International des Poids et Mesures (BIPM) في
سيفر Se`vres بالنموذج الأصلي للكيلوغرام الذي تُبدل في حفظه
واستخدامه أقصى عناية.

أن أوان التغيير

الكيلوغرام هو المعيار الصناعي المتبقي الأخير في المنظومة SI.
فالتر الذي كان يعرف فيما مضى على أنه المسافة بين علامتين
دقيقتين على قضيب من البلاتين والإيريديوم، والثانية التي كانت
لها علاقة بدوران الأرض، أصبح الآن كلاهما معرفين بدلالة ثوابت
فيزيائية وذرّية. لقد أعيد تعريف المتر عام 1983 ليصبح الطول الذي

تعادل على الأقل 10 µg في 1 kg إذا كان ينتظر منها أن توفر تحسناً ملموساً مقارنة بالمنظومة الموجودة.

أضف إلى ذلك أن التعريف الجديد ينبغي ألا يكون مقيداً بالتقانة الحالية فيعيق التقدم المستقبلي في علم القياس. وهذا ما يمكن توضيحه، على سبيل المثال، بتعريف المتر والثانية. فالتر معرّف بتثبيت سرعة الضوء c التي هي ثابت أساسي. إن أكثر المساطر دقة لقياس الطول هي إذن طول موجة الضوء في الخلاء، التي هي c/f ، حيث f تواتر الضوء، وبما أن c ثابتة فإن أية تحسينات تطرأ على قياس تواتر الليزر سيكون لها أثر مباشر على دقة قياس الطول، دون أن نكون قد غيرنا تعريف المتر في حقيقة الأمر.

وعلى العكس من ذلك فإن تعريف الثانية يعني أن كل قياسات الزمن في المنظومة SI ينبغي أن تكون مرتبطة بذرة السيزيوم 133. وهذا يلغي استخدام ذرات أخرى أو انتقالات ذرية أخرى قد تكون أكثر ملائمة للضبط الدقيق للزمن، ما لم يغير تعريف الثانية. وتعريف المتر يعتمد، بالطبع، على تعريف الثانية، لكن تحديد الثانية حالياً دقيق جداً لدرجة أن أية مشاكل في الزمن ليست لها انعكاسات على قياس الطول.

من الكتلة الذرية إلى الكتلة الماكروسكوبية: ثابت أفوكادرو

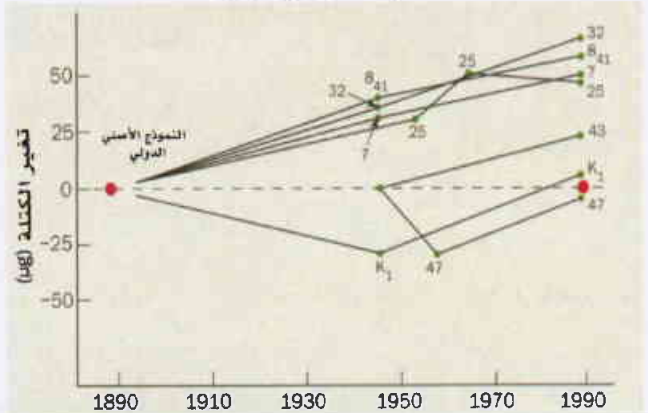
ما زالت الجهود التي تبذل لوضع الكيلوغرام على قدم المساواة مع المتر والثانية جارية منذ عدة سنوات، ويوجد الآن مرشحان للفوز كبديل. تعتمد الطريقة الأولى على قياس كتلة ذات مقياس كبير بدلالة كتلة ذرة السيليسيوم. وتعتمد الطريقة الأخرى على تعريف الكتلة بدلالة الطاقة، وذلك من قياس المعادل الميكانيكي للطاقة الكهربائية. ولكلا الطريقتين جذور عميقة في ثابت فيزيائي معين: ثابت أفوكادرو في حالة طريقة السيليسيوم، وثابت بلانك في حالة طريقة الطاقة.

في الطريقة الأولى تقاس كتلة جسم ماكروسكوبي بواسطة عدّ الذرات في عينة معينة. عندئذ يمكن ربط كتلة العينة مباشرة بكتلة الذرة. إلا أن تصميم جهاز يستطيع القيام بذلك فعلاً لا يزال أمراً غير عملي في الوقت الحاضر. وعض عن ذلك يجب أن يجري العدّ بطريقة غير مباشرة بالاستفادة من كمال الشبيكة البلورية.

تكمّن الفكرة في تحضير بلورة كروية ثم قياس قطرها والفواصل الشبكي. فإذا افترضنا أن البنية البلورية كاملة، كان بالإمكان تحديد الحجم الذي تشغله البلورة وذلك الذي تشغله ذرة داخل البلورة. ويتقسيم حجم البلورة على حجم الخلية الواحديّة (التي تحوي ذرة واحدة) يمكن حساب عدد الذرات في البلورة. ويعطي وزن البلورة عندئذ كتلة عدد معلوم من الذرات، ويربط إذن ما بين كتلة ذرية وأخرى ذات مقياس كبير. وهكذا توفر هذه التقنية طريقة لقياس ثابت أفوكادرو.

طبقت هذه الطريقة بنجاح مُميّز مجموعة أفوكادرو الدولية التي يرأسها بيتر بيكر P. Becker من مخبر المعايرة PTB في ألمانيا وتضم مخابر في كل من أستراليا وبلجيكا وألمانيا وإيطاليا واليابان والمملكة

1- باستثناء الكروغرامات



تتباعد كتلة النموذج الأصلي الدولي للكيلوغرام (الدائرة الحمراء) وكتل نسخها الرسمية (الخضراء) عن بعضها مع مرور الزمن مبيّنة المساوئ في التعريف الحالي للكيلوغرام (تدل الأرقام والأحرف على اسم ورقم كل نسخة). تخصص القيمة المبسوطة 1 kg. دوماً للنموذج الأصلي في كل مقارنة بينما عودت القيم المقيسة لكل من الكتل الأخرى بحيث تظهر أنها كانت لها في البداية الكتلة 1 kg بالضبط. فإذا ازدادت كتلة النموذج الأصلي ازداداً أسرع من ازدياد كتلة إحدى النسخ نقصت الكتلة المقيسة لتلك النسخة حتى ولو كانت تتكسب مادة إضافية. والطريقة الوحيدة للخروج من هذه الغضلة هي إعادة تعريف الكيلوغرام بدلالة ثوابت أساسية.

يقطعه الضوء في الخلاء خلال فترة زمنية مقدارها 1/792 458 299 من الثانية. وأعيد تعريف الثانية في عام 1966 لتصبح الفترة الزمنية المساوية إلى 9192 631 770 دوراً من أدوار الإشعاع المقابل للانتقال بين سويتي البنية فوق الدقيقة للحالة الأساسية لذرة السيزيوم 133.

تسمح هذه التعاريف للباحثين بإجراء قياسات في منظومة الوحدات الدولية SI دون الحاجة إلى المقارنة المباشرة مع "معياري رئيسي" وحيد. وهذا بالضبط ما نحتاج إليه في حالة الكيلوغرام. وسوف يزيل مثل هذا المعيار الجديد المشكلة المنطقية الواضحة المتعلقة بتعريف مقدار لا ينبغي له أن يتغير مع مرور الزمن أو تغير الظروف بدلالة جسم مادي يمكن لمادته أن تزيد أو تنقص. ولا بد من الإشارة إلى أنه قد لا يكون تعريف أية وحدة بدلالة الثوابت الأساسية أمراً في منتهى البساطة. وقد بينت القياسات الحديثة للضوء من الكوازارات البعيدة أن قيم بعض الثوابت الأساسية يمكن ألا تكون ثابتة في نهاية المطاف. لكن هذه التآرجحات، إن وجدت، هي دون مستوى جزء واحد من 10^{16} في السنة، وهذا أقل بكثير من مقدرتنا الحالية في مقارنة الكتل.

توجد، في الحقيقة، عدة طرق لإعادة تعريف الكيلوغرام بدلالة الثوابت الأساسية أو الكتل الذرية. ولكن التعريف الناجح يجب أن يكون موثوقاً كذلك. وبعبارة أخرى نحتاج إلى طريقة لقياس الكتل في مجال الكيلوغرام تكون دقتها عالية بصورة كافية لكي تحل محل المعيار المادي الحالي. ويبدو أن الأمر صعب جداً حين يتعلق بالكيلوغرام. يمكن حالياً مقارنة كتل كيلوغرام بدقة عالية جداً - أفضل من 1×10^{-9} على الرغم من أنه يُعتقد أن الاستقرار الطويل الأمد لمثل هذه الكتل هو أسوأ بخمسين مرة تقريباً من هذا. ولذلك فإن الطريقة القابلة للتطبيق لتجسيد الكيلوغرام ينبغي أن تتمتع بدقة

^{28}Si و ^{29}Si و ^{30}Si كتلتها الذرية النسبية معروفة بدقة كبيرة. ولكننا نحتاج لتحديد نسبها في البلورة إلى استخدام المطيافية الكتلية، حيث تحوّل عينة من السيليسيوم إلى تيار من أيونات السيليسيوم في الخلاء وهذا يتيح فصل النظائر الثلاثة بطريقة مغناطيسية لأن نسبة الكتلة إلى الشحنة لكل منها مختلفة. وتعيّن نسب النظائر في العينة الأصلية من نسب التيارات الأيونية لكل من النظائر. ويساهم الارتياح في قياس نسبة النظيرين ^{29}Si و ^{30}Si بدقة في كرة من ^{28}Si بنحو جزء من 10^7 في قياس ثابت أفوكادرو، ولذلك يساهم بارتياح يقدر بنحو $100 \mu\text{g}$ في قياس الكيلوغرام.

إن هدف مجموعة أفوكادرو هو الوصول إلى دقة جزئين من 10^8 . ولذلك فهي تخطط لتحسين دقة كل مرحلة من مراحل قياس ثابت أفوكادرو، مع توجيه انتباه خاص لقياس حجم كرة السيليسيوم وحجم الخلية الواحدية والوفرة النظرية. ويمكن الوصول إلى تحسين الأخيرة، على سبيل المثال، باستخدام تقنيات فصل كتلي نابذة مطورة لصنع كرة تحتوي على أكثر من 99.99% من ^{28}Si . وستكون تكلفة الكرة البلورية، حين تنتج، بين 1 و 2 مليون يورو.

الكتلة بدلالة الطاقة: ثابت بلانك

قد يبدو من المستغرب إعادة تعريف الكيلوغرام باستخدام العلاقة بين الكتلة والطاقة. فتحويل 1 kg من المادة مباشرة إلى طاقة يمكن أن يكون تجربة لا مثيل لها! لكن لتقنية الكتلة - طاقة عدة ميزات تتفوق بها على طريقة "كرة السيليسيوم". ففيها، أولاً، تقاس الكتلة مباشرة ولا تعتمد على شيء مادي صناعي. وثانياً، يمكن استخدامها للربط بين مجال من الكتل والثوابت الأساسية ببساطة بواسطة تغيير المقياس الفيزيائي للجهاز.

وقد أصبحت الآن هذه الطريقة لإعادة تعريف الكيلوغرام متضمنة في جهاز يعرف باسم ميزان واط. وقد اخترعه بريان كيبيل B. Kibble من المخبر الوطني للفيزياء NPL والميزان يقارن بين وزن جسم والقوة الكهرومغناطيسية التي يولدها ملف، من سلك يمر فيه تيار، في حقل مغناطيسي شديد (الشكل 3). فيكون وزن الجسم $m\text{g}$ ، حيث m هي الكتلة و g تسارع الثقالة، مساوياً إلى القوة التي يولدها السلك: Bil ، حيث B كثافة التدفق المغناطيسي و l التيار و a طول السلك.

يمكن قياس الكميات m و g و a بدقة عالية، لكن يستحيل تقريباً قياس B و l مباشرة. إلا أنه يمكن، بتحريك الملف ضمن التدفق بالسرعة u وقياس الفولطية المتولدة V ، حذف الجداء Bil باستخدام العلاقة $V = Blu$. أي أن الاستطاعة الكهربائية والاستطاعة الميكانيكية مرتبطتان بالعلاقة $Vi = mgu$ ، وهذا ما يعطي ميزان واط اسمه.

وبإمكاننا، إذا أعدنا ترتيب هذه المعادلة، استخراج كتلة الجسم: $m = Vi/gu$. ويمكن تعيين المقادير الموجودة في الطرف الأيمن بدقة عدة أجزاء من 10^9 بحيث يعطي قياس الكتلة ارتياحاً نهائياً أفضل من $5 \mu\text{g}$. نحصل على السرعة u باستخدام مقياس تداخلي ليزري إحدى مرآتيه على الملف والأخرى مثبتة على المغناطيس الذي يولد الحقل.



إحدى الطرق لتعريف الكيلوغرام هي حساب عدد الذرات في بلورة سيليسيوم لها الكتلة الاسمية 1 kg . هي طريقة "أفوكادرو" هذه ينبغي أن يقاس حجم البلورة بدقة. ويكون هذا أسهل ما يمكن إذا كانت البلورة ذات شكل كروي. قطع هذه البلورة من بلورة نقية مكورة كبيرة وصلها أخيم لايبستر A. Leistner (في الأعلى) والعاملون معه هي منظمة الكومنولث للعلوم والبحوث الصناعية (CSIRO) في أستراليا حتى جعلوها لا تحيد عن كرة مثالية بأكثر من 50 nm . ولو مددت البلورة حتى أصبحت بحجم الأرض لكان الضرب بين أعلى دروة واخفض وهدة فيها نحو 7 m .

المتحدة والولايات المتحدة. وكان الاختيار الطبيعي للمادة التي تصنع منها الكرة البلورية هو السيليسيوم لتوفر خبرة كبيرة في إنتاج بلورات وحيدة كبيرة الحجم من هذه المادة (الشكل 2).

يحدّد قطر الكرة باستخدام قياس التداخل الليزري، ومنه يمكن حساب الحجم بعد أن تؤخذ العيوب السطحية بالحسبان. ويحدد الفاصل الشبكي باستخدام القياس التداخلي لكل من الأشعة السينية والضوء. وفي التجربة تحرك عينة من السيليسيوم مثبتة بإحكام مسافة قصيرة تقاس بدلالة الفواصل الشبكية باستخدام القياس التداخلي للأشعة السينية وفي الوقت نفسه بدلالة الأمتار باستخدام القياس التداخلي الضوئي. والفاصل الشبكي هو بالضبط مسافة التحريك مقسومة على عدد الفواصل الشبكية. تقارن كتلة كرة السيليسيوم بعدئذ بكتلة كيلوغرام عياري باستخدام ميزان.

ونحتاج قبل أن نتمكن من ربط قياس الكتلة هذا بكتلة ذرة من ذرات السيليسيوم، ومن ثم الوصول إلى تعريف للكيلوغرام عن طريق ثابت أفوكادرو، أن نعرف الوفورات النظرية لمختلف نظائر السيليسيوم في البلورة. فالسيليسيوم الطبيعي يحتوي على مزيج من ثلاثة نظائر

فعلى سبيل المثال، الوزن والقوة والسرعة كلها مقادير متجهية، وهذا يعني أن الجهاز ينبغي أن يُضبط بإحكام شديد بصورة تكون معها متجهتا القوة والسرعة شاقوليتين وإلا لما تحققت المعادلة المذكورة سابقاً. وينبغي أن يعين الضبط الزاوي في الجهاز وأن يُحافظ على قيمته بدقة تبلغ 50 ميكرواديان أو أفضل من ذلك، وهذا أمر ممكن لكنه صعب. وتنشأ الصعوبة من حقيقة أن الجهاز بكامله يُشغل في الخلاء لحذف الآثار الناجمة عن الطفو في الهواء على قياس الكتلة وإبطال أثر الهواء لدى قياس السرعة. وكذلك يجب أن تبقى كثافة التدفق المغنطيسي وهندسة الملف ثابتتين خلال مرحلتي التجربة. وهذا يعني، بالنسبة إلى ميزان واط في مخبر NPL، أن درجة حرارة المغنطيس الدائم يجب أن تبقى مستقرة لأفضل من $10 \mu\text{K}$.

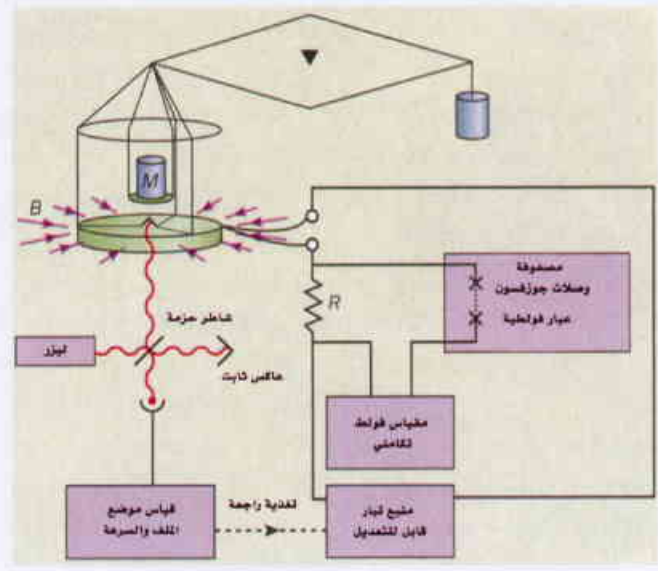
هناك ثلاثة موازين واط جاهزة للعمل في حيز الوجود: واحد في المخبر NPL وواحد في المعهد الوطني للمعايير والتقانة (NIST) في غيرتسبورغ وثالث في المكتب الفدرالي السويسري للقياس والإجازة (METAS) في برن. يستطيع ميزان NPL (الشكل 4) أن يزن كتلة 1 kg وهو يشغل حجماً قدره $2\text{m} \times 1\text{m} \times 2\text{m}$. وهو أصغر قليلاً من جهاز NIST، الذي يقيس أيضاً كتلاً في مجال الكيلوغرام. أما ميزان METAS فهو أيضاً أصغر ويعمل في مجال الكتل البالغة نحو 100 g. وهناك ميزان رابع قيد البناء حالياً في المكتب الوطني للقياس (BNM) في باريس، وخامس لا يزال في مراحل التخطيط الأولى له في BIPM. تستخدم كل موازين واط مبدأ العمل نفسه لكنها تختلف اختلافاً

4- عملية التوازن



يتيح ميزان واط للباحثين أن يعرّفوا الكيلوغرام من خلال المساواة بين الطاقة الميكانيكية والكهربائية. يُسَلَق الملف في الحقل القطري لمغنطيس من ثلاثة قضبان من البرونز الضفوري، متصلة باطار مثلث يتدلى من أحد ذراعي ميزان عادي. يمكن رؤية أسطوانة كتلة الكيلوغرام الاختبارية تماماً تحت الإهزاز، بينما المغنطيس محتوى ضمن حجرة الخلاء الأسطوانية في أسفل الصورة. وهذا الجهاز الموجود في مخبر الفيزياء الوطني في المملكة المتحدة، والذي يظهر في الصورة مع مؤلف المقال، هو واحد من ثلاثة موازين واط قيد التشغيل في العالم.

3- مبدأ ميزان واط



تعمل تقنية ميزان واط، لتعريف الكيلوغرام بدلالة الثوابت الأساسية، في مرحلتين: ينبغي، أولاً، وزن جسم كتلته الاسمية 1 kg، وهذا يتم بموازنة قوة الثقالة المؤثرة على الجسم بالقوة الكهرومغناطيسية التي يولدها ملف يمر فيه تيار في حقل مغنطيسي قطري (كما هو مبين في الشكل) وما إن يتحقق شرط التوازن هذا حتى تصبح كتلة الجسم متعلقة مباشرة بالتيار في الملف ويكتأفة التدفق المغنطيسي وبطول السلك في الملف. والتقديران الأخيران يصعب تعيينهما، لكن جداهما يمكن حذافه من العبارة إذا حُزك الملف في التدفق وقيست الفولطية المتولدة. وهذه هي المرحلة الثانية من تقنية ميزان واط (غير مبينة في الشكل). فإذا قيست الفولطية بدلالة مفعول جوزفسون واستنتج التيار من مفعول هول الكومومي أصبحت الكتلة معتمدة فقط على ثابت بلانك وعلى المتر والثانية وهذا يسمح لنا بأن نثبت ثابت بلانك ونصل إلى تعريف الكيلوغرام.

ويعين التسارع العائد للثقالة بطريقة مشابهة بواسطة قياس تسارع مرآة تسقط سقوطاً حراً في حجرة مخلاة. ولذلك فإن كلا من g و u لا تعتمدان إلا على تعريف المتر والثانية.

يستند قياس التوتر على مفعول جوزفسون، الذي تُولّد فيه فولطية عبر وصلة فائقة الناقلية أثناء وجود حقل أمواج مكروية. تكتم الفولطية عبر الفرجة في وحدات من $2e/hf$ ، حيث f تواتر الإشعاع الراديوي و h ثابتة بلانك و e شحنة الإلكترون.

أما التيار فيعين بواسطة تمريره في مقاوم وقياس هبوط الكمون الناتج بواسطة مفعول جوزفسون كذلك. وتقاس مقاومة المقاوم بواسطة مفعول هول الكومومي ولذلك إن قيمتها تصبح معروفة بدلالة النسبة h/e^2 . وهذا يعني أن العبارة النهائية للكتلة لا تحوي سوى ثابت بلانك والمتر والثانية إضافة إلى بعض العوامل العديدة. ولم يكن هذا الطريق التجريبي الأنيق الذي يربط بين الكتلة والثوابت الأساسية متاحاً قبل اكتشاف مفعولي جوزفسون وهول الكومومي.

ولما كانت تجربة ميزان واط تربط بين استطاعتين افتراضيتين كهربائية وميكانيكية فإنه ليس للعمليات المُبدّدة للطاقة - التي يمكن أن تسبب أخطاء كبيرة في المنظومات التي تقارن بين الاستطاعتين الكهربائية والميكانيكية الحقيقيتين - أي تأثير على النتيجة. ولكن هذا لا يعني على كل حال أنه لا توجد مثالب للجهاز. فالتحديات هنا، شأنها في ذلك شأن كل القياسات الميكانيكية التي تسعى لمثل هذا المستوى من الدقة، تكمن في التفاصيل.

الوحيدة التي نستطيع بواسطتها استخدام تقنية كرة السيليسيوم أو ميزان واط لقياس الكتلة دون العودة إلى عيار كتلة ماكروسكوبي. سوف يوفر تثبيت ثابت أفوكادرو تعريفاً بسيطاً للكيلوغرام بدلالة ذرة ^{12}C (أو ^{28}Si أو ^{29}Si ... إلخ). وسيؤدي بنا اختيار الحفاظ على الوضع الحالي - أي استخدام ذرة ^{12}C لتعريف ثابت أفوكادرو - إلى تعريف جديد للكيلوغرام مفاده "الكيلوغرام هو كتلة $5.018... \times 10^{25}$ ذرة كربون - 12 ساكنة وغير مرتبطة".

ومن جهة أخرى فإن تثبيت ثابت بلانك سوف يثبت العلاقة بين تواتر الفوتون وطاقته في منظومة الوحدات الدولية SI. وقد اقترح باري تايلور B. Taylor وبيتر موهر P. Mohr في NIST تعريفاً للكيلوغرام حسب السيناريو التالي: "الكيلوغرام هو كتلة جسم ساكن، الطاقة المكافئة له تساوي طاقة مجموعة من الفوتونات مجموع تواتراتها $1.35639... \times 10^{30}$ Hz". وميزة هذا التعريف أنه يغير تعريف الكيلوغرام فقط دون بقية الوحدات SI، لكنه يخفي الفيزياء اللازمة لتثبيت ثابت بلانك بواسطة إدخال التركيب c^2/h .

ويمكن أن يصحح هذا بواسطة تغيير أكثر جذرية في منظومة الوحدات الدولية SI. فإذا أعيد تعريف الجول، مثلاً، بحيث يصبح طاقة مجموعة من الفوتونات مجموع تواتراتها $1/6.6260... \times 10^{-34}$ Hz أمكن إعادة تعريف النيوتن عندئذ ليصبح "القوة التي حين تطبق وفق خط تأثيرها عبر مسافة متر واحد تنجز عملاً يساوي جولاً واحداً". ويصبح الكيلوغرام عندئذ "الكتلة التي تتسارع بمقدار متر واحد في الثانية المربعة حين تؤثر عليها قوة مقدارها نيوتن واحد". وسيكون لهذا تأثير عميق على المنظومة SI لأننا جعلنا الطاقة وحدة أساسية وأثرنا على تعاريف الوحدات الدولية SI الثلاثة كلها، ولكنها سوف تكون كذلك طريقة أكثر "انفتاحاً" لتعريف الكتلة بدلالة الطاقة.

إن إعادة تعريف الكيلوغرام - وربما النيوتن والجول أيضاً - ستستغرق سنوات عديدة، ومن الممكن أن يحل محل طريقتي كرة السيليسيوم وميزان واط اكتشاف فيزياء جديدة وتقانة جديدة، وعلى أية حال، إذا صمم التعريف الجديد للكيلوغرام بطريقة مناسبة فينبغي أن يدوم على الأقل قدر ما أدت أسطوانة البلاينيوم - إيريديوم دورها خلال 125 سنة الماضية.

بيناً في تفاصيل تشغيلها. وهذا النوع هو أمر جيد لأنه ينبغي أن يزيل الأخطاء الموجودة في واحد أو أكثر من الموازين كجزء من تصميمها الميكانيكي أو الكهربائي. فمنظومة BNM يفترض أن تزيل خاصة أخرى مشتركة بين التجارب وذلك بتضمينها مقياس ثقالة يُسقط ذرات عوضاً عن المرايا لقياس التسارع العائد للثقالة.

نتائج من التجارب

لقد نشر كل من NPL وNIST قيماً لثابت بلانك باستخدام موازين واط تُشغل في الهواء وليس في الخلاء وتعتمد على القيمة الموجودة للكيلوغرام. وكانت نتيجة NPL في عام 1988 هي $6.6260682 \times 10^{-34}$ Js. وكانت نتيجة NIST بعد مرور عشر سنوات متفقة مع السابقة وتساوي $6.6260689 \times 10^{-34}$ Js بارتياح قدره 0.9 من 10^7 .

وفي العام الماضي نشر بيتر بيكر والعالمون معه آخر قيمة لثابت أفوكادرو باستخدام طريقة كرة السيليسيوم لإعادة تعريف الكيلوغرام. وكانت القيمة التي حصلوا عليها هي 10^{23} mol^{-1} 6.0221353 بارتياح قدره 3.4 من 10^7 وهذا ما يمكن تحويله إلى قيمة لثابت بلانك تساوي 6.620761×10^{-34} Js وذلك باستخدام تركيبة من ثابت ريديبرغ وثوابت أخرى، بارتياح قدره 6 من 10^9 ، وهو ارتياح مهم في هذه الظروف.

تختلف هذه القيمة عن نتيجتي NPL وNIST بأكثر من جزء من 10^6 ، وبكلمات أخرى تختلف طريقتا كرة السيليسيوم وميزان واط بمقدار 1 mg في تعريفهما للكيلوغرام. ولكي تكون هناك فرصة واقعية لإعادة تعريف الكيلوغرام باستخدام إحدى الطريقتين لا بد من تفسير هذا الاختلاف. وهناك نتائج أخرى متوقعة من NPL هذا العام ومن مجموعتي NIST وMETAS في المستقبل القريب، فهذا وقت مثير لكل المعنيين بالأمر.

إعادة تعريف الكيلوغرام

لو كلت هذه الجهود المبذولة لإعادة تعريف الكيلوغرام بالنجاح لعنى ذلك أنه ينبغي تغيير منظومة الوحدات الدولية SI. وهذا يمكن أن يوفر فرصة لتثبيت ثابت ذري أو أساسي مثلما أتاح تعريف المتر تثبيت سرعة الضوء، ولاشك أن الاختيار بين الثوابت التي سيثبت أحدها هو بين ثابت أفوكادرو وثابت بلانك، لأن هذه هي الطريقة



صنع ليزرات ترودم هوة التراهترتز*

ج. ديفيز

من مدرسة الهندسة الإلكترونية والكهربائية، جامعة ليدز، المملكة المتحدة

إ. لينيلد

من مختبر كافنديش، جامعة كامبردج، المملكة المتحدة

ملخص

أدى بلوغ تقانة توليد إشعاع التراهترتز وكشفه غايتها في الكمال والنضج إلى ظهور تطبيقات جديدة من خلال العلوم الفيزيائية والحيوية والطبية.

الكلمات المفتاحية: إشعاع تراهترتزي، ليزر الشلال الكمومي، مطيافية تراهترتزية، منبع تراهترتزي.



تستطيع هذه المنظومة الموجودة لدى جامعة كامبردج أن تصور الأشياء باستخدام نبضات من إشعاع تراهترتزي.

الإسك بالتراهترتز

إن المظهر المثير للاهتمام بشكل خاص في الإشعاع التراهترتزي هو أن نبائط أنصاف النواقل التي تولد إشعاعاً عند تواترات أعلى وأدنى من هذا التواتر تعمل بطرق مختلفة كلياً. فعند تواترات أدنى، يمكن توليد الأمواج المكروية والأمواج المليمترية بواسطة نبائط "إلكترونية" كتلك التي توجد في الهواتف النقالة. أما عند تواترات أعلى، فتولد الأشعة تحت الحمراء القريبة والضوء المرئي بواسطة نبائط "ضوئية" كالثنائيات الليزرية من أنصاف النواقل، حيث تقوم فيها الإلكترونات بإصدار الضوء عندما تقفز عبر الفرجة العصبية لنصف الناقل.

ولسوء الحظ، لا يمكن صنع أي من النبائط الإلكترونية ولا الضوئية بشكل ملائم كي تعمل في منطقة التراهترتز. إن مجال التواترات التراهترتزية كالإله يانوس - وهو إله اليونان ذو

دأب الفيزيائيون والمهندسون طوال القرن الماضي تقريباً علي ولوج عالم الطيف الكهرطيسي وإخضاعه لسيطرتهم تدريجياً. وانطلاقاً من الضوء المرئي، فقد تقدمنا خارج نطاقه، وطورنا تقنيات لتوليد وكشف الإشعاع الموجود عند تواترات أعلى وأدنى من التواترات التي تقع عند طرفي هذا الطيف. وكنا كلما تمكنا من السيطرة على منطقة تالية من الطيف، قمنا بتطوير تقانة لاستغلال الإشعاع الموجود هناك. فاشعة X على سبيل المثال، استخدمت بصورة روتينية لتصوير الأشياء الخافية. واستخدم الإشعاع تحت الأحمر القريب في اتصالات الضوء الليفي وفي قراءة الأقراص المتراصة compact-disc players، في حين تستخدم الأمواج المكروية لبث الإشارات من هواتفكم النقالة.

لكن يوجد جزء من الطيف الكهرطيسي ظل يقاوم بثبات تقدمنا. يقع هذا الجزء في منطقة التواترات التراهترتزية (التراهترتز THz وحدة لقياس التواتر وتساوي 10¹² Hz هرتز) التي تشمل تواترات تمتد من حوالي 300 GHz إلى 10 THz تراهترتز. وهذا يوافق أطوالاً موجية تقع تدريجياً بين 1 و 0.03 mm، وتقع بين مجالي الأمواج المكروية وتحت الحمراء من الطيف (الشكل 1). وعلى كل حال، فإن الصعوبات التي واجهها صنع منابع ومكاشيف تراهترتزية متراصة بشكل ملائم قد دلت على أن هذه المنطقة من الطيف لم يُشرع في استكشافها إلا في العقد الماضي.

الشكل 1 - فرجة التراهترتز



يشغل الإشعاع التراهترتزي تواترات تقع بين 300 GHz إلى 10 THz تقريباً. لذا فقد كان من الصعب توليده وكشفه بصورة ملائمة. لم يكن من الممكن لتبائط أنصاف النواقل التي تولد الضوء ما تحت الأحمر القريب والضوء المرئي، ولا للنبائط الإلكترونية التي تولد الإشعاع المليمترية والمكروموجي، أن تصنع بحيث يمكنها أن تصدر إشعاعاً بصورة فعالة في المجال التراهترتزي.

* نشر هذا المقال في مجلة Physics World - April, 2004، وتمت ترجمته في هيئة الطاقة الذرية السورية.

تدعى الباعث (المُصدِر) الناقل ضوئياً photoconductive emitter، الذي طوره ديفيد أوستن D. Auston والعاملون معه في مختبرات AT & T Bell. تتألف النبضة من قطعة صغيرة من بلورة نصف ناقلة، مثل زرنخيد الغاليوم. يؤمن الإلكترونات المعدنيان المرسبان على البلورة حقلاً كهربائياً كبيراً عبر سطحها. تُطلق بعد ذلك على البلورة نبضات قصيرة جداً من ضوء الليزر، تقع عادة في المجال 10 إلى 200 fs فمتوتانية. إذا كانت الفوتونات تمتلك طاقة كافية - وغالباً ما يستخدم الضوء تحت الأحمر - فإنها تثير الإلكترونات فتحتاز هذه الأخيرة فرجة العصابة في نصف الناقل وتخلق أزواجاً من الإلكترونات والثقوب بالقرب من سطح البلورة. إن ثنائي القطب dipole المتغير الذي ينتج من تسريع هذه الأزواج من الإلكترونات والثقوب في الحقل الكهربائي المطبق يولد نبضة إشعاع ذي تواترات واقعة في النطاق التراهترتيزي. إن المميزات الدقيقة لهذه النبضات تعتمد على تصميم الباعث الناقل ضوئياً وعلى الأجزاء التي يتركب منها، كما تعتمد أيضاً على الترتيبات التجريبية.

وإجراء قياسات طيفية، يُجمَع الإشعاع التراهترتيزي ثم يُسدّد ويبرأ على عينة (الشكل 2a)، فيمكن بعدئذ كشف الإشعاع النافذ من العينة أو المنعكس عنها ليعطي معلومات موثوقة عن بنية العينة عند نقطة التبئير. ويمكن كذلك إنشاء صورة ثنائية البعد 2D image للمادة وذلك بتحريك العينة تدريجياً عبر الحزمة باستعمال خطوات ينفذها محرك. لهذه التقنية مميزات (فصل) يبلغ حوالي 0.3 mm عند 1 THz، علماً أن للتواترات المختلفة قيم ميز مختلفة.

يمكن كشف الإشعاع النافذ بعدد من الطرق المختلفة. فإحدى الخيارات أن نُجمَع الإشعاع ونبره على بلورة معاينة كهروضوئية electro-optic sampling (EOS) crystal، مثل تيلوريد الزنك. يتغير الانكسار المضاعف لهذه المادة عندما تُعرَّض لحقل كهربائي للإشعاع التراهترتيزي، وهذا يعني أن قرينة الانكسار مختلفة على امتداد المحاور المختلفة للبلورة. وهكذا، يمكن كشف الانكسار المضاعف بتعرض البلورة لفلقة من نبضة إشعاع تحت الأحمر القريب من رتبة الفمتوتانية. تغير البلورة استقطاب الفلقة، الذي يمكن قياسه باستخدام تجهيزات ضوئية نموذجية. وهكذا، بمعرفة الاستقطاب يصبح من الممكن تعيين الانكسار المضاعف ومن ثم تعيين الحقل الكهربائي الآني للإشعاع التراهترتيزي، وفي الحقيقة، يتناسب التغير في الاستقطاب طردياً مع كبر قيمة الحقل الكهربائي التراهترتيزي.

وتسمح هذه الترتيبات التجريبية أيضاً بمراقبة الحقل الكهربائي للنبضة التراهترتيزية عندما يتغير مع الزمن. تُنجز هذه المراقبة بتغيير طول المسار الضوئي للنبضة السابرة باستخدام مرآة محكومة بالحاسوب، التي تعمل على تأخير وصول النبضة السابرة بمقدار متغير. تدوم النبضة السابرة بضعة أعشار الفمتوتانية فقط، في حين تستطيع النبضة التراهترتيزية أن تدوم مدة أطول. وعليه فبالاعتماد على طول المسار الضوئي تقوم النبضة السابرة باختبار جزء مبكر

الوجهين الذي كان قادراً على النظر في اتجاهين بآن واحد - يقع بين المنطقتين الإلكترونية والضوئية من الطيف الكهرطيسي. وعليه فإن صنع منبع تراهترتيزي يُعد عملاً مثبطاً للعزم لأنه يقتضي العمل في مجال فشلت فيه تقانات الحالة الصلبة القائمة.

ومع ذلك، فإن الباحثين مفتونون بالإشعاع التراهترتيزي، ليس فقط بسبب ما يُتوقع له من تطبيقات عديدة ممكنة في التحسس (الاستشعار)، والتصوير والمطيافية من خلال العلوم الفيزيائية، والطبية والحيوية، بل ربما أخيراً في الاتصالات أيضاً. إن الإشعاع التراهترتيزي مفيد بشكل خاص في دراسة اهتزازات الجزيئات ودوراناتها إذ يقع الكثير منها في هذا المجال من الطاقة. لذا فبإمكانه أن يقدم بصمات ومعالم كيميائية جديدة للجزيئات. كما يستطيع الإشعاع التراهترتيزي أن يحاكي إثارات بين جزيئية معينة وبذلك لايسبر الأنواع الجزيئية لوحدها، بل أيضاً الطريقة التي تتأثر فيها الجزيئات مع وسطها المباشر. وفي الحقيقة، عندما نعبر من المجال تحت الأحمر نزولاً إلى منطقة الأمواج المليمترية، فإن تصوير الجوامد يصبح أقل اعتماداً على أنماط اهتزازية نوعية - وأكثر اعتماداً على الاختلافات في نفاذ الإشعاع الجرمي أو امتصاصه أو انعكاسه.

للإشعاع التراهترتيزي ميزة أخرى هي أنه يستطيع أن يخترق مواد عاتمة ضوئياً عديدة كالأوراق والبلاستيك والملابس. وعلى هذا يمكن استخدامه لتصوير أو تحسس الأجسام المخفية. والإشعاع التراهترتيزي أيضاً هو إشعاع غير مؤين ويتبعثر أقل من الضوء المرئي والضوء تحت الأحمر القريب، مما يجعله مفيداً للتصوير الطبي [1]. والفلكيون مهتمون أيضاً بالمجال التراهترتيزي من الطيف، لأسباب يرجع أغلبها إلى أن شدة الخلفية الناجمة عن الأمواج المكروية الكونية - وهي صدى الانفجار العظيم - تبلغ ذروتها عند الطرف الأخفض من مجال التواترات التراهترتيزية.

مطيافية التراهترتيز في نطاق الزمن

نظراً لمعرفة الباحثين بتطبيقاتها العديدة، فإنهم حريصون على تطوير منظومات مناسبة لتوليد وكشف ومناولة إشعاع التواتر التراهترتيزي. كما أنهم يريدون أيضاً أن ينشئوا طرائق لدراسة هذه المنطقة من الطيف الكهرطيسي غير المستكشفة من قبل. لكن علم الباحثين بالصعوبات التي تواجهها عملية صنع منابع تراهترتيزية من الحالة الصلبة، جعلهم يركزون على تقنية تدعى المطيافية التراهترتيزية في نطاق الزمن terahertz time-domain spectroscopy أو التصوير النبضي التراهترتيزي terahertz pulsed imaging، التي طورها لأول مرة مارتن نوص M. Nuss والعاملون معه في مختبرات AT&T Bell في منتصف التسعينيات من القرن الماضي. ولقد أصبحت هذه التقنية منذ ذلك الحين حصان الشغل في بحث التصوير التراهترتيزي والمطيافية.

إن الجزء المركزي في هذه التقنية هو نبضة من نصف ناقل

ما فوق 30 THz. لقد استعمل شين هذا المقياس الطيفي (مقياس الطيف) التراهرتزي لدراسة السيدين cytidine المتعدد التبلور، الذي هو جزء من جزيء الـ DNA. أظهر الطيف 19 نمطا اهتزازيا مختلفا على الأقل تصل إلى 20 THz (الشكل 2c). وتتضمن هذه "أرجح" wagging مجموعتي N-H و NH₂، بالإضافة إلى تشوه حلقاتها الجزيئية. إن هذه الأنماط مهمة لأنها شديدة الحساسية للرابطة الهيدروجينية البيجزيئية (بين الجزيئات)، وبذلك تقدم بصمة فريدة للحالة الشكلية (التكوينية) للجزيء وآثار بيئته المحلية.

تطبيقات المطيافية والتصوير في مجال التراهرتز

إن للتصوير والمطيافية في مجال التواترات التراهرتزية تطبيقات ممكنة عديدة، وكانت حديثاً موضوع مجلد كامل من philosophical Transactions of the Royal Society [3]. فعلى سبيل المثال، يطور بيترهارينغ بوليفر P.H.Bolivar وزملاؤه، لدى RWTH في آخن بألمانيا، تقنيات قائمة على التراهرتز لتصنيف المادة الوراثية. لقد لاحظ فريق يوليفر فرقا جليا بين الإشعاع الذي ترسله أفلام رقيقة من DNA مهجنة (مضاعفة الخيط) والنظراء غير الأسوياء (أحادي الخيط) من هذا الدنا DNA.

عزا الباحثون الاختلاف إلى أنماط الاهتزاز الإضافية في الجزيء المضاعف الخيط، ولذلك أمكن استخدام التقنية لتعيين التكوين الوراثي لجزيء غير معروف من الدنا أحادي الخيط، بتقدير

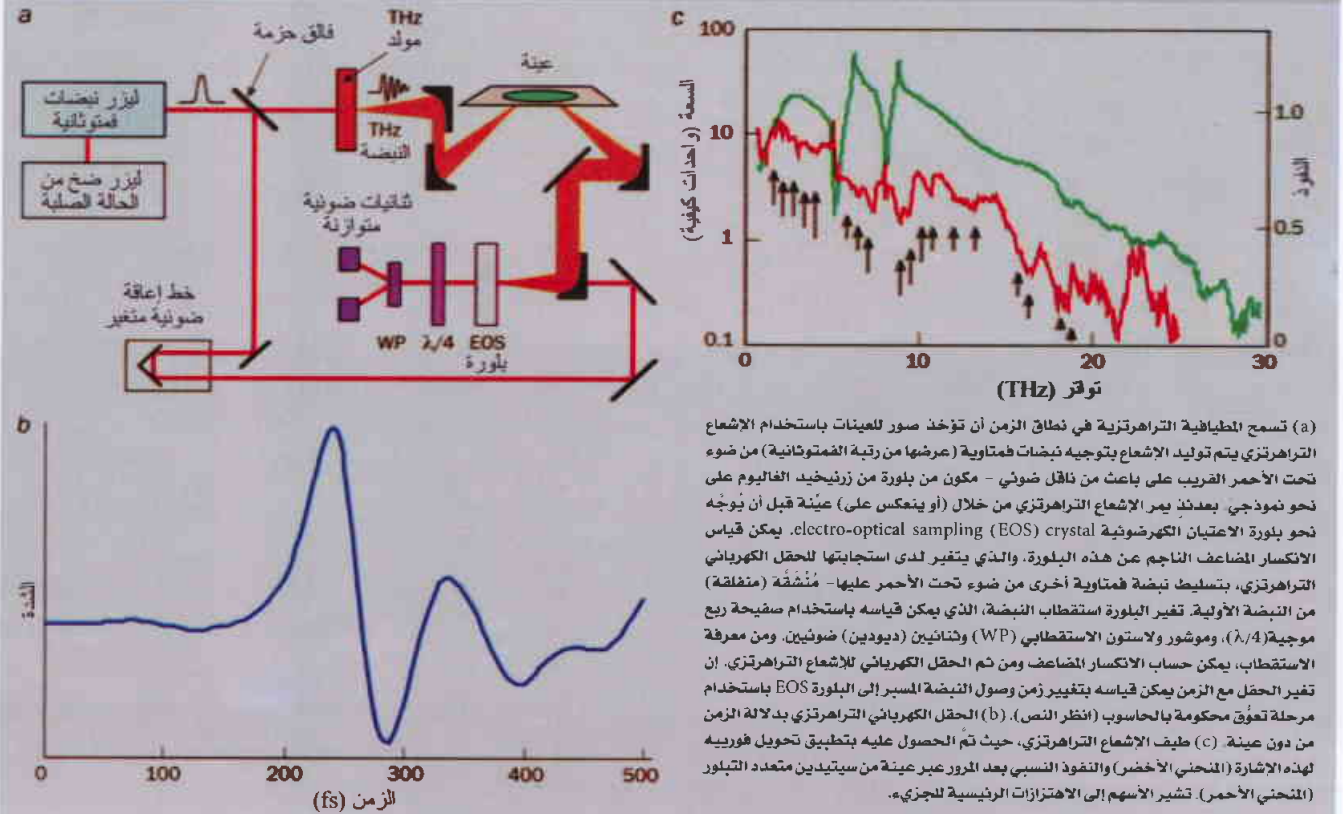
أو متأخر من الحقل الكهربائي التراهرتزي لدى مروره عبر البلورة EOS.

إن ما ينتهي إليه المرء هو رسم بياني للإشارة التراهرتزية كتابع للزمن (الشكل 2b)، ويمكن بعدئذ الحصول على طيف تواتر الإشعاع بتطبيق تحويل فورييه على هذه الإشارة. إن المطيافية التراهرتزية في نطاق الزمن terahertz time-domain spectroscopy هي تقنية كشف مترابط coherent detection technique لأنها تقيس كلا من سعة وطور النبضة التراهرتزية المارة عبر العينة أو المنعكسة عنها وبالتالي يمكن الحصول على معامل امتصاص العينة أو قرينة انكسارها.

إن هذه التقنية ليست هي الطريقة الوحيدة لتصوير الأجسام بالإشعاع التراهرتزي، رغم أنها ربما تكون هي الأفضل رسوخا وتوطيدا. كما أنها تشكل أساس المنظومات التجارية بالنسبة للتصوير والمطيافية التراهرتزين، تلك المنظومات التي أطلقتها حديثاً ترا فيو ليتد TeraView Ltd - وهي شركة أنشأها دون أرنون D. Arnone والعاملون معه في Toshiba Research Europe Ltd في كمبريدج، بالولايات المتحدة، عام 2001.

وباستعمال تنوع من الإجراءات التحريية المبينة في الشكل 2a، استطاع ياو- تشون شين Yao-chun Shen وزملاؤه في مختبر كنفديش، في كمبريدج، أن يولدوا نبضات تراهرتزية ذات عرض عصابي غير مسبوق يحتوي على مركبات تواتر مفيدة تمتد إلى

الشكل 2 - المطيافية التراهرتزية



لو تغيرت بصورة خفية الصفات الكيميائية أو البنيوية لمادة خطيرة.

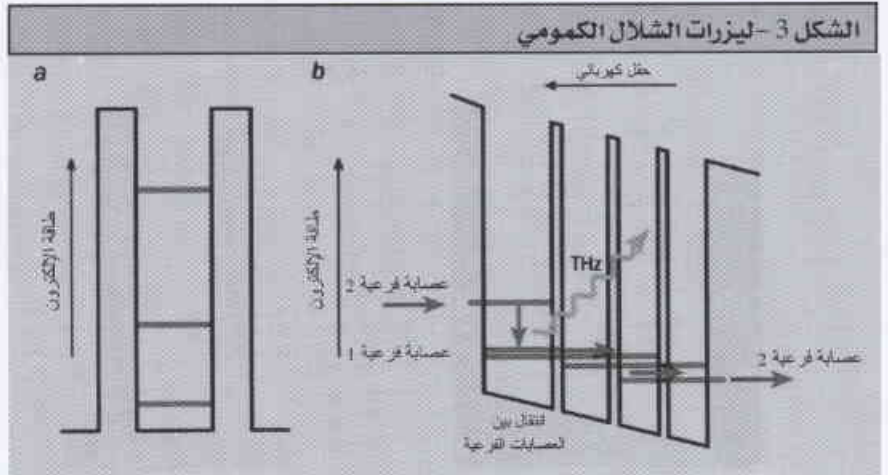
لقد اكتشف دان فاندرو وايد D. van der Weide والعاملون معه في جامعة ويسكونسين-ماديسون، على سبيل المثال، أن الأجسام المعدنية وغير المعدنية تعكس الإشعاع التراهرتزي بقوة أشد بكثير من الجلد. كما أنهم قاسوا أيضاً الإشعاع المنعكس عن مقادير صغيرة من متفجرات بلاستيكية، ووجدوا أن لهذه المواد ثوابت عزل مختلفة جداً في مجال التواتر 1 إلى 500 جيجاهرتز. وقد وضعوا أيضاً أبواغاً spores من العصيات السيرومية Bacillus cereus - وهي محاك للجمرة - في مغلقات، ووجدوا أن الإشعاع المرسل كان مختلفاً بشكل ملحوظ عن المغلقات التي تحتوي على مواد أخرى كالسكر والنشاء والطحين ومسحوق الطلق talcum powder.

توحي كل هذه التجارب بأنه يمكن استخدام الإشعاع التراهرتزي للكشف من بعد عن مثل هذه التهديدات رغم أن ذلك يشكل هدفاً مرغوباً، لكن المشكلة هي أن الماء في الجو يمتص الإشعاع التراهرتزي بقوة لا بأس بها. ويمكن لتلك المشكلة أن تجعل إنجاز المطيافية التراهرتزية أو تصوير مادة ما من الأمور الصعبة إذا كانت على مسافة بعيدة من الكاشف.

تتضمن الدراسات الأخرى التي تجري قدماً في الوقت الراهن عملاً يقوم به فيليب تادي Ph. Taday من ترا فيو لمتد، وهو الذي كان يبحث في إمكان استخدام المطيافية التراهرتزية لدراسة المنتجات الصيدلانية في موضعها الأصلي خلال التصنيع. وفي الوقت نفسه كان هارتموت روسكوس H. Roskos من جامعة جوهان ولفانغ جويثي في فرانكفورت بألمانيا، يطور منظومة مسح scanning system لتقييم النواتج والخدوش والفجوات وغيرها من العيوب الموجودة على سطح الفولاذ المسحوب rolled steel والمعادن الأخرى. ويهدف فريقه أيضاً إلى تطوير تقانة تصوير تراهرتزي يمكن استخدامها على خط الإنتاج أثناء عمليات التصنيع. وأخيراً، كان إكسي- تشنغ زانغ X.C. Zhang من معهد رنسلر للبوليتكنيك في نيويورك يستخدم إشعاعاً تراهرتزيًا ليعرّف الرقاقات الواقية التي كست مكوك الفضاء التابع لـ NASA. يريد زانغ أن يحدد ما إذا كانت المواد المكونة قد تقشّرت، وفيما إذا كان باستطاعة الإشعاع التراهرتزي أن يقدم أي معلومات حول حادث كولومبيا المروع في العام الماضي.

دور ليزر الشلال الكوموي

رغم تلك الإنجازات، فإنه ما تزال هناك حاجة ماسة (حاسمة) لمصادر ومكاشيف تراهرتزية ذات طاقة عالية. إن مثل هذه المعدات



(a) صنع أول مرة في منتصف التسعينيات من القرن العشرين، حيث تتألف ليبرات الشلال الكوموي من مئات الطبقات المتعاقبة من أنصاف نواقل ذوات الفرجات العنصائية العالية والمنخفضة والتي تشكل سلسلة من "الأيبار الكوموية" التي لا يتجاوز خزن الواحدة منها بضع ذرات. فالمادة ذات الفرجة العنصائية الضيقة يمكن أن تكون زرنخيد الغاليوم (GaAs). بينما المادة ذات الفرجة العنصائية الواسعة يمكن أن تستمد من زرنخيد الغاليوم الألمنيوم (AlGaAs). فإذا كانت كل طبقة من GaAs رقيقة بما فيه الكفاية، تنطلق سويا طاقة الإلكترونات المسموح بها في عصابة نقل هذه الطبقة إلى سلسلة من العصابات الفرعية. (b) عندما يطبق حقل كهربائي يستطيع الإلكترون الذي يحقن في البنية أن يهبط من عصابة فرعية عالية الطاقة إلى عصابة فرعية منخفضة الطاقة ويصدر فوتوناً في هذه العملية من الممكن الآن صنع مثل هذه النابض التي تصدر إشعاعاً ليزرياً تراهرتزيًا.

مدى إحكام ارتباطه بجزيئات اختبار أحادية الخيط معلومة. وقد دُعمت الاكتشافات التجريبية بالحسابات التي تنبأت بعدد التجاوبات في مجال التواتر التراهرتزي ترافقها إثارات ضمن العمود الفقري لجزيئات الدنا المضاعفة الخيط. إن الفائدة (الميزة) الكبيرة للتقنية تكمن في أنه يمكن دراسة جزيئات الدنا دونما حاجة إلى إلحاق جزيئات اختبار صغيرة، كما هي الحال عادة في البيولوجيا الجزيئية. الجانب السيئ هو أن العينات السميكة نسبيًا مطلوبة كي يتفاعل الإشعاع بصورة كافية مع المادة لينتج إشارة قوية بما يكفي.

يطور الآن بوليفر وفريقه مقاربات بديلة، تشمل ترسيب أشربة معدنية رقيقة على سطح عازل وكسوتها بطبقة من الدنا. يمكن لإشعاع تراهرتزي أن يوجّه ضمن الأشربة، وهذا يزيد من المسافة التي يتأثر فيها الإشعاع مع الدنا، ونتيجة لذلك، فإن الشيء المتميز هو الحاجة إلى مادة أقل لإنتاج إشارة قوية. وفي الحقيقة، نحتاج إلى 15^{10} مول فقط - أي حوالي 100 بليون جزيء، وهو تقريباً نفس ما نحتاجه بطرائق أكثر تقليدية مثل مطيافية الدنا المفلورة. إن التقنية حساسة بما فيه الكفاية حتى لاختيار طفرات في أسس (مكوّنات) إفرديّة على سلسلة الدنا.

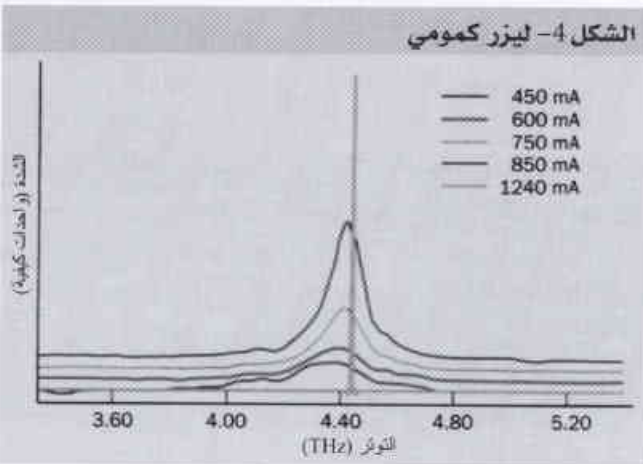
هناك مجال آخر لتزايد الاهتمام يتضمن استخدام الإشعاع التراهرتزي لكشف أجسام محجوبة كالأسلحة المعدنية وغير المعدنية، أو المتفجرات، أو حتى العوامل البيولوجية كالجمرة anthrax. يمكن للإشعاع التراهرتزي أيضاً أن يخترق أنواعاً عديدة من سياجات غير معدنية ويميّز المعادن من البلاستيك. وبالإضافة إلى ذلك، هناك منابع متعددة للإشعاع التراهرتزي تصدر في مجال واسع من التواترات، وهذا يعني أنه يمكن اختيار بصمات طيفية خاصة في العينات. من ميزات هذه التقنيات أنها تستطيع أن تعمل حتى

إن أول ليزرات الشلال الكمومي، الذي تمّ صنعه في مختبرات بل عام 1994، كان تواتره 71 THz تراهرتز، وهذا يقع في منتصف مجال ما تحت الأحمر. ومنذ ذلك الحين بدأ تصنيع ليزرات الشلال الكمومي التي تصدر ضوءاً يقع تواتره في منتصف ما تحت الأحمر، وتعمل في درجة حرارة الغرفة وعند تواترات تهبط إلى 12.5 THz. وهذه الليزرات متوفرة الآن تجارياً من شركات مثل Alps Lasers في نيوتشاتل في سويسرا. إن لبعض ليزرات الشلال الكمومي الأكثر حداثة مناطق فاعلة تنتقل فيها الإلكترونات عبر رزمة من العصابات الفرعية القليلة التباعد تدعى عُصيبة miniband. وهذا يعني أنه يمكن استخدام كثافة تيار للإلكترونات أعلى كثيراً، وهذا بدوره يولد حرماً أكثر سطوعاً وتألّفاً.

ولكن، على العموم إن صنع ليزرات الشلال الكمومي التراهرتزية ليس أمراً سهلاً. خاصة وأنه يمكن أن تحتاج إلى حوالي 1000 بئر كمومية مستقلة ويمكن أن تستغرق أكثر من 10 ساعات كي تنمو. من الأسباب الداعية للحاجة إلى العديد من الطبقات هو أن المرء وهو ينتقل إلى التواترات المنخفضة، فإن عدد الفوتونات التي تمتصها الحاملات الحرة يزداد متناسباً مع مربع طول موجة الإشعاع، هذا عدا عن الفوتونات الصادرة على هيئة ضوء ليزر. لذلك نحتاج إلى ربح كبير، وهذا يمكن تحصيله بإنماء العديد من الوحدات الفاعلة.

أول ليزر تراهرتزي نصف ناقل في العالم

جرى عرض أول ليزر شلال كمومي تراهرتزي في عام 2002 من قبل أعضاء عاملين في اتحاد تزويد شبكات المناطق اللاسلكية بمصدرات ومكاشيف تراهرتزية Wireless Area Networking of Terahertz Emitters and Detectors والتي تكتب اختصاراً وتُبتد (WANTED)، ويدعم من برنامج الإطار 5 للمفوضية الأوروبية، جرى تأليف الاتحاد من باحثين من جامعات كمبريدج، ونيوتشاتل، وليل



أُخرج من ليزر الشلال الكمومي الأول في العالم يعمل عند تواترات تراهرتزية، حيث جرى تطويره من قبل باحثين من الاتحاد وتُبتد WANTED التابع لـ EC3 في عام 2002 مع ازدياد تيار السوق، يضيق انتشار تواتر الضوء الصادر وترتفع الشدة حتى الوصول إلى عتبة الليزر. الليزر كان يعمل عند تواتر قدره 4.4 THz تراهرتز، وكانت له ذروة قدرة خرج تقارب 2 mW عندما يعمل في الدرجة 5 K.

سنتقود إلى منظومات أصغر وأرخص تستطيع أن تحصل على صور بسرعة أكبر بكثير ومن مسافات بعيدة عن العينة. قد يكون ليزر الشلال الكمومي أحد الحلول الممكنة. يُصدر هذا النوع من الليزرات ضوءاً بتواتر يعتمد على مكوناته [2]، وقد كان جيروم فيست G. Faist وفديريكو كاباسو F. Capasso والعاملون معهما في مختبرات بل هم رؤاد هذا العمل في التسعينيات من القرن الماضي. وعلى كل حال، لقد تم حديثاً، ولأول مرة، تطوير ليزرات الشلال الكمومي التي تصدر ضوءاً ذا تواترات تراهرتزية.

تتألف ليزرات الشلال الكمومي من مئات من الطبقات المتعاقبة المكونة من أنصاف نواقل ذات فجوات عصابية عالية ومنخفضة، ثخانة كل طبقة منها لا تتجاوز ثخانة بضع ذرات فقط. المادة ذات الفرجة العصابية المنخفضة هي في الأغلب زرنخييد الغاليوم (GaAs)، بينما يمكن أن تكون المادة ذات الفرجة العصابية العالية $Al_xGa_{1-x}As$ الموجودة على كل من جانبي المادة ذات الفرجة العصابية المنخفضة. يمكن إنماء مثل هذه البنية الطبقيّة بدقة تصل إلى الدقة في القياس الذري باستخدام تقنية تدعى التنضيد بالحرمة الجزئية. إذا كانت كل طبقة من طبقات زرنخييد الغاليوم رقيقة بما فيه الكفاية - نموذجياً حوالي بضعة نانومترات - فإن سوياط الطاقة الإلكترونية المسموح بها في عصابة نقله تنقل إلى سلسلة من العصابات الفرعية (الشكل 3a). وتحت تأثير الحقل الكهربائي يستطيع إلكترون يُحقن في طبقة زرنخييد الغاليوم أن يهبط (يسقط) من عصابة فرعية ذات طاقة عالية إلى عصابة فرعية ذات طاقة منخفضة، ويصدر فوتوناً نتيجة لهذه العملية.

إن ليزر الشلال الكمومي هو في الحقيقة سلسلة من "آبار الكمون" المستقلة هذه، جُمعت معاً لتصنع وحدات فاعلة. إذا جعلنا حواجز $Al_xGa_{1-x}As$ رقيقة بما فيه الكفاية، فباستطاعة الإلكترون أن يعبر من وحدة فاعلة إلى الأخرى. وفي كل مرة يقوم فيها الإلكترون بذلك يهبط إلى مستوى طاقة أخفض ويصدر فوتوناً (الشكل 3b). وبهندسة ملائمة للثخن ولتركيب الطبقات في الوحدات الفاعلة، يمكن تفصيل طاقة الانتقال لتغطي مجالاً واسعاً من التواترات تبدأ من منتصف ما تحت الأحمر نزولاً حتى المجال التراهرتزي.

تستطيع ليزرات الشلال الكمومي أن تحتوي على حوالي 100 وحدة فاعلة مُكدّسة بعضها فوق بعض. وفي الحالة العامة، تكون الوحدات الفاعلة المتعاقبة موصولة بمجموعة صغيرة من الآبار المُقرنة (تسمى مناطق حقن) بحيث تتحول الإلكترونات من منطقة فاعلة إلى المنطقة التي تليها بأعلى كفاءة ممكنة. يقوم كل إلكترون بإعادة الكرّة ويولد عدداً من الفوتونات أثناء تشلشله عبر النبيطة. ومن البدهي للتأكد أن هذه البنية تعمل كليزر يجب أن تُصمّم بحيث ينشأ انعكاس إسكاني population inversion في كل منطقة فاعلة، وهو تحدّ لا يمكن تجاهله. كما ينبغي أن يتم تشغيل النبيطة بحيث تشكل جوفاً ليزرياً ملائماً.

معهد ماستشوسيتس للتقانة في الولايات المتحدة. يعمل هذا الليزر التراهيريزي عند درجة حرارة 130 K محطماً بذلك الرقم القياسي. ويختلف تصميمهم قليلاً عن تصميم فريق وُتد. إن الانعكاس السكاني اللازم لحدوث الليزر معرّز في التصميم وذلك بنزع الإلكترونات من سوية الليزر الأخفض جعلها تصدر اهتزازات شبكية، تعرف بالفونونات. وفي أمكنة أخرى، يعمل عدد من المجموعات على تطوير مكاشيف لليزرات الشلال الكوموي ذات الموجة المستمرة.

إن كل هذه التطورات في ليزرات الشلال الكوموي التراهيريزية والتي حدثت جميعاً في السنتين الأخيرتين، تقودنا إلى التفاؤل بإمكان حدوث تطبيقات عملية قريباً لهذه النيطة.

نظرة إلى المستقبل

من المحتمل أن تكون السنوات القليلة القادمة من الأوقات المثيرة بالنسبة للباحثين في المجال التراهيريزي. فمنابع الإشعاع الجديدة، والتطويرات الجديدة في منظومات التصوير والمطيافية، والكثير من التطبيقات الجديدة، كل هذا سيكون بشير خير للتقانة التي ستبدو مزدهرة خلال العقد القادم وما يليه.

في فرنسا، والمدرسة العليا في بيزا وبوليتكنيك تورينو في إيطاليا، وشركتین هما Thales and Tera View Ltd.

إن نيطة وُتد WANTED لها وحدة فاعلة مكونة من ثلاثة آبار كوموية. وإن كل مجموعة مؤلفة من ثلاثة آبار تتعاقب مع مناطق حقن مؤلفة من أربع آبار كوموية. ونظراً لازدياد تيار السوق فقد ضاق انفراج انتشار الضوء المنبعث وزادت الشدة حتى تم بلوغ عتبة الليزر (الشكل 4). وعند هذه النقطة سلكت النيطة سلوك ليزر حقيقي له تواتر مميز 4.4 THz في النمط النبضي. وكان له نزوة قدرة خرج تبلغ 2 mW عند 5 K ويمكن أن تعمل حتى الدرجة 45 K.

ومنذ ذلك الحين كان التقدم سريعاً، وقد درست عدة ليزرات شلال كوموي تراهيريزية، لكل واحد منها ميزاته المختلفة. فليزر الاتحاد وُتد على سبيل المثال، أظهر وجود موجة مستمرة بخرج قدرة يبلغ 20 mW يعمل فوق الدرجة 77 K. وبشكل هذا خرقاً حاسماً لأنه يعني أن الليزرات التراهيريزية يمكن أن تستخدم مع الأزوت السائل بدلاً من الهليوم السائل، الغالي الثمن. كما تعمل هذه الليزرات في مجال من التواترات يمتد من 4.4 THz نزولاً حتى 2.3 THz.

وفي أثناء ذلك، طور بنيامين ويليامز B. Williams، وكينج هيو Q. Hu والعاملون معهما ليزر شلال كوموي بتواتر 3.4 THz في

REFERENCES

- [1] D. Arnone, C. Ciesla and M. Pepper 2000 Terahertz imaging comes into view Physics World April pp.35-40.
[2] F. Capasso et al. 1999 Quantum cascade lasera Physics World June pp.27-33.

المراجع

- [3] A.G. Davies, E.H. Linfield and M. Pepper (ed) 2004. The terahertz gap: the generation of far-infrared radiation and its applications Phil. Trans. R. Soc. A 362 195-414.



☆ المتانة فوق العالية والناقلية الكهربائية العالية في النحاس

لي لو، يانغفينغ شين، كزيان هوشين، ليهوا كوان، ك. لو
مخبر شينيانغ الوطني لعلم المواد، معهد بحث المعادن، الأكاديمية الصينية
للعلوم، شينيانغ 110016، جمهورية الصين الشعبية

ملخص

إن الطرائق المستخدمة في تقوية المعادن تسبب على العموم تناقصاً جلياً في الناقلية الكهربائية، بحيث إنه لا بد من إيجاد تسوية بين الناقلية والمتانة الميكانيكية. لقد اصطنعنا عينات نحاسية نقية ذات كثافة عالية من توائم (متماثلات) متنامية من المقياس النانوي. وأظهرت هذه العينات قوة شدّ تفوق ما يقارب عشرة أضعاف قوة الشد التي يبديها النحاس العادي غير المصقول، مع احتفاظها بناقلية كهربائية تماثل ما يبديه النحاس النقي. وتنشأ هذه القوة الفائقة من الصد الفعال للحركة الانفصامية الذي تمارسه التحويم التوأمية المترابطة العديدة ذات المقاومة الكهربائية الضعيفة جداً، الأمر الذي لا ينطبق على حالة أنماط أخرى ذات تحويم حبيبية.

الكلمات المفتاحية: تقوية المعادن، الناقلية الكهربائية، توائم متنامية من المقياس النانوي، النحاس غير المصقول، النحاس النقي.

وبالتالي تزيد المقاومة الكهربائية للمعدن. ففي المواد الناقلة، تكون هاتان الخاصيتان الأساسيتان - الناقلية الكهربائية العالية والمتانة الميكانيكية العالية - متناقضتين [4-2].

إن مفتاح الحصول على معادن قوية ولكنها ناقلة هو إيجاد بنية مجهرية مناسبة تمنع فيها الحركات الانفصامية بشكل فعال ويُخفّض فيها تبعثر الإلكترونات الناقلة إلى أدنى حد. فمن المعروف أن التخم التوأمي (TB) twin boundary، وهو نوع خاص من التخم المترابط، يكون قادراً على منع الحركة الانفصامية، مثل التحويم الحبيبية التقليدية GBs [6.5]، غير أن المقاومة الكهربائية لتحويم توأمية TBs مترابطة تكون أخفض بقدر رتبة واحدة تقريباً منها في حالة التحويم الحبيبية التقليدية GBs [7]. وبناء عليه، فإذا احتوى المعدن على كثافة عالية من التحويم التوأمية يتوقع له أن يكون أقوى فعلاً دون أن يفقد ناقلية الكهربائية العالية.

ليست العيوب التوأمية غير شائعة في الطبيعة، فهي تتشكل عن طريق مقاربات متنوعة كالتشوه اللدن والتحول الطوري والتلدين الحراري وعمليات فيزيائية أو كيميائية أخرى تتم في تنوع كبير من المعادن والسبائك. وعن طريق تقنيات المعالجة هذه، يمكن اصطناع بنى توأمية نانوية بأشكال ضخمة.

لقد جرى اصطناع عينات نحاسية عالية النقاوة من توائم متنامية من المقياس النانوي باستخدام تقنية التوضّع (الترسّب) الكهربائي النبضي من كهمل كبريتات النحاس $CuSO_4$ [8] (للحصول على تفصيلات انظر المرجع [9] والجدول S1). دلت المشاهدات التي

غالباً ما يتطلب العديد من تطبيقات المواد الناقلة وجود ناقلية كهربائية ومتانة ميكانيكية عاليتين في آن واحد معاً. ومن ناحية ثانية، تكون المعادن النقية والعالية الناقلية كالفضة والنحاس والألمنيوم طرية جداً. غير أن تقوية strengthening المعادن باستخدام مقاربات عديدة، بما فيها أشابة المحاليل الصلبة والشغل على البارد والتنعيم بالقذف الحبيبي، تقود إلى تناقص واضح في الناقلية. فمثلاً، يمكن بإشابة النحاس النقي مضاعفة متانته مرتين أو ثلاث مرات، لكن ناقلية الكهربائية لا تتجاوز حينئذ 10 إلى 40% من ناقلية نقياً [1].

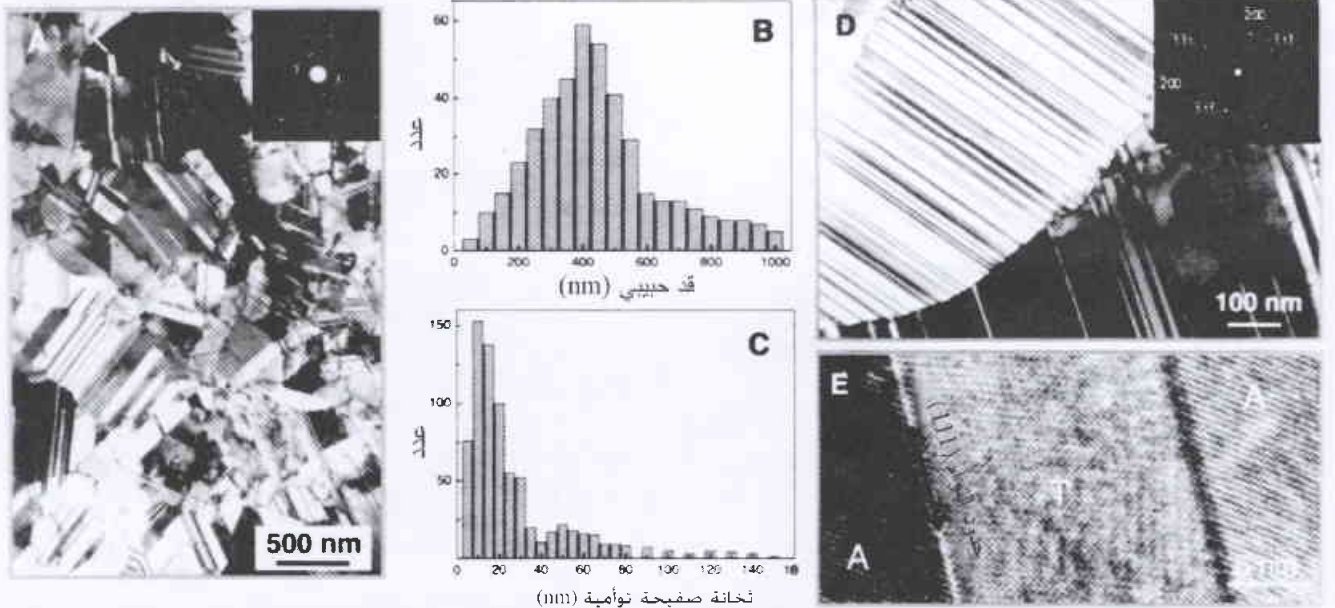
تتوقف متانة صلب ما على مقاومته للتشوه اللدن (اللين) وعلى تحسّسه لتركيبه الكيميائي وبنية المجهرية. ويتم التشوه اللدن للمعادن التقليدية المتعددة البلورات بشكل أساسي بوساطة انفصام شبكي داخل الحبيبات المنفردة. فقد طوّرت عدة منهجيات للتقوية تقيد الحركة الانفصامية. فمثلاً، يخدم التنعيم بالقذف الحبيبي في زيادة التحويم الحبيبية (GBs) grain boundaries التي تشكل عوائق لحركة الانفصام ضمن الحبيبي، مما يجعل المادة أصلد تجاه التشوه. كما أن أشابة المحلول الصلب أو إدخال طور تقوية ثانٍ يعتبران فعالين أيضاً في تشكيل عوائق لحركات الانفصام الشبكي. وكذلك تنتج التقسية عن الإجهاد اللدن، لأن زيادة الانفصامات التي تتولد تمنع حصول نشاطات انفصالية لاحقة.

إن جميع مقاربات التمتين هذه التي تعتمد على إدخال أنماط مختلفة من العيوب (GBs) أو الانفصامات أو العيوب النقطية أو أطوار التقوية، تزيد أيضاً تبعثر إلكترونات النقل عند هذه العيوب،

العينة، وهو ما يتوافق مع مشاهدات سابقة عند عينات نحاس مترسب كهربائياً ذات توائم متنامية [10]. لقد درست الاستقرارية الحرارية لعينة نحاس مترسب من خلال اختبار البنية الشرائحية التوأمية عند درجات حرارة عالية. فوجد أن ثخانة الشريحة التوأمية تبدأ عندما يبدأ التلدين المتساوي الحرارة للعينة المترسبة على هذا النحو فوق الدرجة 250°C (خلال مدة 300 ثانية).

إن آلية تشكل التوأم في ناتج الترسيب الكهربائي ليست مفهومة تماماً حتى الآن. ومن وجهة نظر ترموديناميكية، فإن تشكل التوأم يُخفّض الطاقة البسطحية الكلية، لأن فائض الطاقة في التخوم التوأمية المترابطة يكون أصغر بكثير من الفائض منها في حالة التخوم الحبيبية التقليدية ذات الزاوية العالية. تُفضّل التوائم أن تتنوّى nucleate عند التخوم الحبيبية أو عند الترابطات الثلاثية (TJs) من أجل تخفيض طاقات التخم الحبيبي وذلك من خلال تبدل في توجه التوأمة المحرّصة. ورغم تشكل زيادة من التخوم الحبيبية، فإن مجموع الطاقات البسطحية (بما فيها GBs و TJs) ستتناقص بسبب التوأمة twinning. تخضع عملية التوأمة لآلية حركية، وتتحكم شروط الترسيب بكل من معدل التئوبية ونماء التوائم. تظهر مشاهداتنا التجريبية أنه عندما يكون معدل الترسيب عالياً (مثلاً، بوجود شدة تيار عالية أو قيمة pH كبيرة في المحلول) و/أو درجة حرارة الترسيب منخفضة، يزداد احتمال تشكل التوائم. وذلك لأنه مع ارتفاع معدل الترسيب و/أو مع انخفاض درجة الحرارة ستتشكل GBs و TJs ذات طاقات زائدة أعلى بسبب محدودية الارتخاء، وبالتالي سيكون معدل تئوبية التوائم أعلى ليخفّض الطاقة

تمت بمجهرية النفاذ الإلكتروني (TEM) transmission electron microscopy (الشكل 1) أن النحاس المترسب على هذا النحو يتكون من حبيبات غير منتظمة المظهر (غالبيتها متساوية المحاور في الأبعاد الثلاثة) مع توجه عشوائي (انظر مخطط الانعراج الإلكتروني في الشكل 1A). تراوحت قدود الحبيبات بين 100 nm و $1\mu\text{m}$ ، مع قيمة وسطية تساوي 400 nm تقريباً (الشكل 1B). تشتمل كل حبيبة على كثافة عالية من التوائم المتنامية من النمط $(111)/(112)$. أظهرت قياسات ثخانة الشرائح الرقيقة عبر الاتجاه (110) رصد توزع واسع يراوح بين عدة نانومترا و حوالي 150 nm (الشكل 1C)، ويعود ذلك إلى أنه وفق هذا الاتجاه، لا يكون إلا التوأمان (111) و $(\bar{1}\bar{1}\bar{1})$ قائمين، في حين يكون التوأمان $(11\bar{1})$ و $(\bar{1}11)$ مائلين نحو السطح. ويظهر توزع ثخانة الشريحة الرقيقة ذروة عند 15 nm تقريباً، وهو يقابل تقريباً وسطي ثخانة الصفيحة الرقيقة للتوأمين القائمين. يتغير الطول الهندسي للشريحة التوأمية الرقيقة من حوالي 100 nm إلى حوالي $1\mu\text{m}$ (قطر الحبيبة). تفصل التوائم المتنامية العالية الكثافة حبيبات دون المكرونية في أبعادها إلى توائم نانو مترية الثخانة وبنى صفيحية رقيقة وطائية matrix. وتظهر مشاهدات TEM المقربة وصور TEM العالية الاستبانة high resolution أن غالبية TBs مترابطة تماماً وباترة من حيث البنية الذرية (الشكل 1D، E). لا يمكن هنا كشف الانفصامات الشبكي في غالبية الشرائح الرقيقة، إنما تمت ملاحظة انفصامات قليلة في الشرائح النخينة، وهذا ما يتوافق مع نتائج انعراج الأشعة السينية حيث لوحظ إجهاد شبكي مهم (على المستوى الذري). يظهر مخطط انعراج الأشعة السينية وجود نسيج (110)، مؤكداً في



الشكل 1- مشاهدات TEM للبنية المكونة النموذجية في عينة نحاس مترسب على هذا النحو. تبيان صورة TEM ساطعة الخلفية الشكل (A) ومخططات الانعراج الإلكتروني (أعلى ويمين الصورة) أن حبيبات بحجم دون ميكروية متساوية المحاور تقريباً مع توجهات عشوائية وتفصلها GBs بزوايا عالية. إن التوزيعات الإحصائية للقد الحبيبي (B) وللخانة الشريحة توأم / وطاء (C) قد تم الحصول عليها من عدة صور TEM لنفس العينة. تشير مخططات الانعراج الإلكتروني [أعلى ويمين الصورة (D)] إلى أن التوائم في كل حبيبة متوادية بعضها مع بعض في المستويات (111) (D)، وتظهر الصور TEM عالية الاستبانة (E) أن التوائم تتبع تلمسلاً من نوع ATATA... مع عناصر توامة مائل. $A_1(111)/(112)$ و $T_1(111)/(112)$.

واحدة منهما في حالة عينات النحاس غير الصقيل (القد الحبيبي) على طبيعة TBs ونسبة طاقة TB إلى طاقة GB ($\alpha = \gamma_{TB} / \gamma_{GB}$). ويمكن الحصول على كثافة توأمية عالية في حالة معادن أخرى أو سبائك قيم α فيها أصغر (كما في حالة طاقات تكس العيوب المنخفض) تحت ظروف نظيفة، كما في حالة الكوبالت وأنواع الفولاذ الذي لا يصدأ.

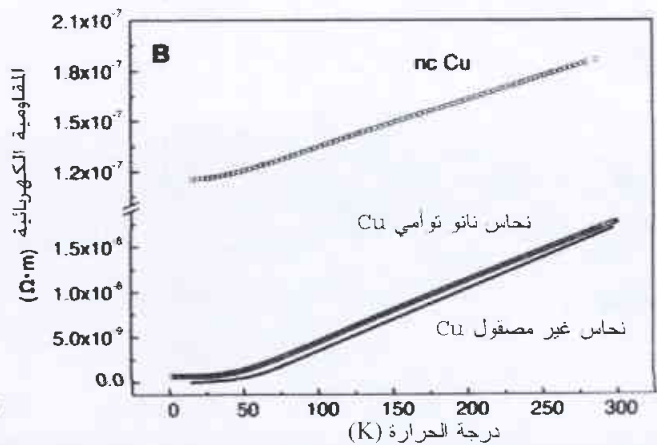
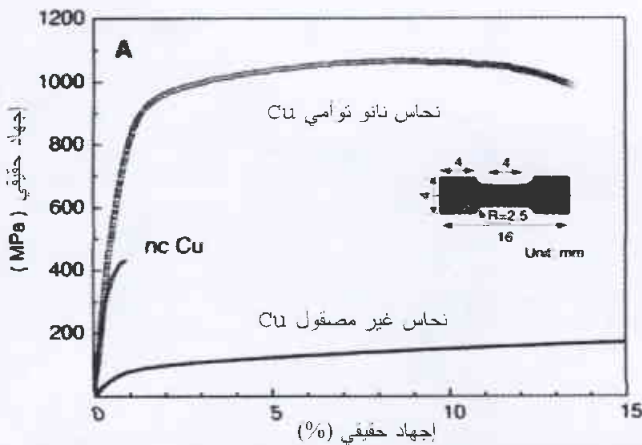
وفيما يخص آلية تشكل التوائم، تعد تقنية الترسيب الكهربائي النبضي مناسبة للتوصل إلى بني توأمية نانوية، بينما تعد عملية الترسيب الكهربائي بالتيار المستمر (المتواصل) التقليدي غير مناسبة. تختلف عملية الترسيب الكهربائي النبضي عن عمليات التيار المستمر التقليدية بشكل أساسي في ارتفاع ذروة كثافة التيار، وفي التناوبات بين زمني الاشتعال والتوقف. تسمح تقنية الترسيب الكهربائي النبضي بتحلل كهربائي مع تيار عالي الكثافة جداً (أكبر بعدة مراتب منه في حالة التحلل الكهربائي بالتيار المستمر) يدوم فترة زمنية قصيرة (0.02 ثانية): أي أنه يحصل معدل ترسيب عالٍ جداً خلال زمن الاشتعال. يمكن عملياً استعادة تركيز الأيونات Cu^{2+} في جوار المهابط، والذي يتناقص كثيراً بعد معدل الترسيب العالي، قبل نبضة الترسيب التالية، عن طريق الهجرة الأيونية التي تحصل أثناء فترة الانطفاء الكبيرة نسبياً (ثانيتين). لذلك، فإن الترسيب الكهربائي النبضي يزيد كثافة مواضع التوأم بسبب كثافة التيار العالية خلال زمن الاشتعال، بينما يوقف النمو، ويدعم تجديد التوأم خلال زمن الانطفاء، مما يسهل تشكل توائم متعددة.

يبرز الشكل 2 B قياس تبعية المقاومة الكهربائية (ρ) لدرجة الحرارة في عينة نحاس مترسب على هذا النحو ذات توائم نامية من المقياس النانوي، بالمقارنة مع قيمتها في عينة غير مصقولة [9]. ففي كلتا العينتين، تتناقص المقاومة الكهربائية خطياً مع تناقص درجة الحرارة حتى حوالي الدرجة 70 K. واكتشف وجود تبعية حرارية لاخطية للمقاومية (تحت الدرجة 70 K وذلك بسبب سيطرة تبعثر التخوم الحبيبية في هذا المجال من درجة الحرارة). تكون المقاومة الكهربائية لعينة النحاس التوأمي النانوي قريبة جداً منها في عينة النحاس غير المصقول على كامل مجال درجة الحرارة المقيس. وأعطت القياسات المتكررة مقاومة كهربائية في درجة حرارة الغرفة (ρ_{293K}) تساوي $1.75 \pm 0.02 \times 10^{-8}$ ohm·m في حالة النحاس التوأمي النانوي، بالمقارنة مع $1.69 \pm 0.02 \times 10^{-8}$ ohm·m في عينات

البيسطحية الكلية. ويبدو بوضوح أن تشكل التوائم يتوقف أيضاً وبشدة على طبيعة TBs ونسبة طاقة TB إلى طاقة GB ($\alpha = \gamma_{TB} / \gamma_{GB}$). ويمكن الحصول على كثافة توأمية عالية في حالة معادن أخرى أو سبائك قيم α فيها أصغر (كما في حالة طاقات تكس العيوب المنخفض) تحت ظروف نظيفة، كما في حالة الكوبالت وأنواع الفولاذ الذي لا يصدأ.

وفيما يخص آلية تشكل التوائم، تعد تقنية الترسيب الكهربائي النبضي مناسبة للتوصل إلى بني توأمية نانوية، بينما تعد عملية الترسيب الكهربائي بالتيار المستمر (المتواصل) التقليدي غير مناسبة. تختلف عملية الترسيب الكهربائي النبضي عن عمليات التيار المستمر التقليدية بشكل أساسي في ارتفاع ذروة كثافة التيار، وفي التناوبات بين زمني الاشتعال والتوقف. تسمح تقنية الترسيب الكهربائي النبضي بتحلل كهربائي مع تيار عالي الكثافة جداً (أكبر بعدة مراتب منه في حالة التحلل الكهربائي بالتيار المستمر) يدوم فترة زمنية قصيرة (0.02 ثانية): أي أنه يحصل معدل ترسيب عالٍ جداً خلال زمن الاشتعال. يمكن عملياً استعادة تركيز الأيونات Cu^{2+} في جوار المهابط، والذي يتناقص كثيراً بعد معدل الترسيب العالي، قبل نبضة الترسيب التالية، عن طريق الهجرة الأيونية التي تحصل أثناء فترة الانطفاء الكبيرة نسبياً (ثانيتين). لذلك، فإن الترسيب الكهربائي النبضي يزيد كثافة مواضع التوأم بسبب كثافة التيار العالية خلال زمن الاشتعال، بينما يوقف النمو، ويدعم تجديد التوأم خلال زمن الانطفاء، مما يسهل تشكل توائم متعددة.

تظهر اختبارات لشد رقاقات النحاس المترسب على هذا النحو، والتي جرت في درجات الحرارة العادية [9] قوة شد عالية جداً (الشكل 2A). تصل قوة حصيلة الشد σ_y (عند 0.2% من الحيد) إلى ما يساوي 900 ميغا باسكال، في حين كانت قوة الشد القصوى (σ_{UTS}) 1068 ميغا باسكال؛ علماً أن هاتين القيمتين أعلى بقدر مرتبة



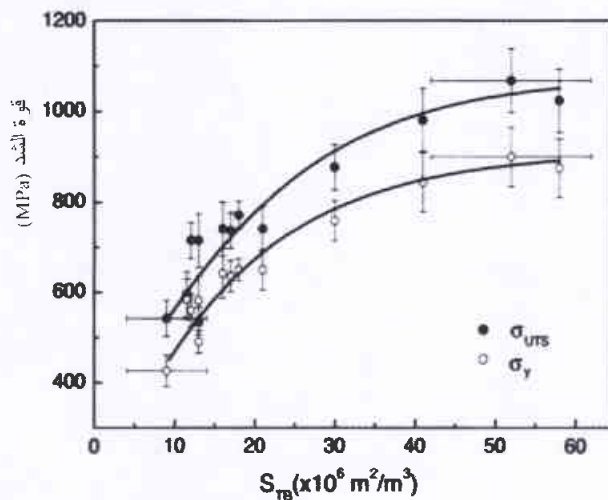
الشكل 2- يعرض الشكل (A) منحنى شد إجهاد-الطاقة لنموذجي لعينة نحاس مترسب على هذا النحو مع توائم نانوية بالمقارنة مع منحنى آخر لعينة نحاس متعدد البلورات غير مصقول (مع قد حبيبي وسطي أكبر من 100 ميكرومتر) وعينة نحاس بلورة نانوية (nc) مع قد حبيبي وسطي حوالي 30 nm [11]. يظهر الشكل الضمني هندسة عينة الشد من أجل عينة تآؤمية لنحاس مترسب (B)؛ هو نصيب قطري الانحناء. يظهر الشكل (B) تبعية المقاومة الكهربائية (ρ) لدرجة الحرارة في عينة نحاس تآؤمية مترسب على هذا النحو وعينة نحاس غير مصقول مقبسة في مجال درجة حرارة يتراوح بين 0 و 296 K. وللمقارنة، تضمن الشكل أيضاً نتائج قياس المقاومة الكهربائية لعينة نحاس تآؤمي بلوري وقد حبيبي وسطي بمقدار 15 mm.

النحاس غير المصقول (وقد ذكرت الأدبيات العلمية قيمة تساوي $1.67 \times 10^{-8} \text{ ohm m}$ في حالة نحاس عالي الناقلية خال من الأكسجين oxygen-free high conductivity (OFHC) [2]). وهذا يعني أن الناقلية الكهربائية في درجة حرارة الغرفة للنحاس النانوي التوأمي كانت حوالي $96.9 \pm 1.1\%$ للنحاس المرجعي الدولي الملدن (IACS) international annealed copper standard [15]، أي أقل بحوالي 5% فقط منها في حالة النحاس OFHC [2]. وكان المعامل الحراري المقيس للمقاومية عند الدرجة 20°C مساوياً $20 \times 10^{-11} \text{ K}^{-1}$ 6.78 ± 0.10 من أجل النحاس التوأمي النانوي $6.90 \pm 0.10 \times 10^{-11} \text{ K}^{-1}$ للنحاس غير المصقول. تتوافق كلتا القيمتين بشكل جيد مع القيمة الواردة في الجدول 10^{-11} K^{-1} 6.8×10^{-11} للنحاس OFHC [2]. يشكل فرق المقاومة الكهربائية المتبقية فيما بين العينتين عندما تقترب درجة الحرارة من 0 K (0 ohm m) $6.8 \pm 1.0 \times 10^{-10}$ (المكرومترية) والبنية التحتية عالية النعومة (الصفائح التوأمية ذات المقياس النانوي) في العينة التوأمية النانوية. وللمقارنة، فقد تم أيضاً قياس المقاومة الكهربائية لصفائح النحاس النانوي ببلورية (مع GBs تقليدي وقد حبيبي وسطي من مرتبة 15 nm) المصنعة بواسطة التبعثر المغنطيسي، في نفس المجال من درجة الحرارة (الشكل 2B).

فكانت قيم المقاومة على كامل مجال درجة الحرارة أعلى بمرتبة واحدة على الأقل منها في حالة عينة النحاس النانو توأمي. ونظراً لكون عيوب الشبكة البلورية تعمل كمراكز تبعثر لإلكترونات النقل في المعادن، فإن زيادة عدد العيوب يزيد المقاومة. وقد لوحظ تجريبياً أن المقاومة الكلية لمعدن ما (ρ_{total}) هي مجموع المساهمات من الاهتزاز الحراري (ρ_i) والشوائب (ρ_p) والعيوب الشبكية كالانفصالات و (ρ_g) من GBs، وهذا ما يعرف بقاعدة ماتيسين Mattiessen، والمعبّر عنها بالعلاقة:

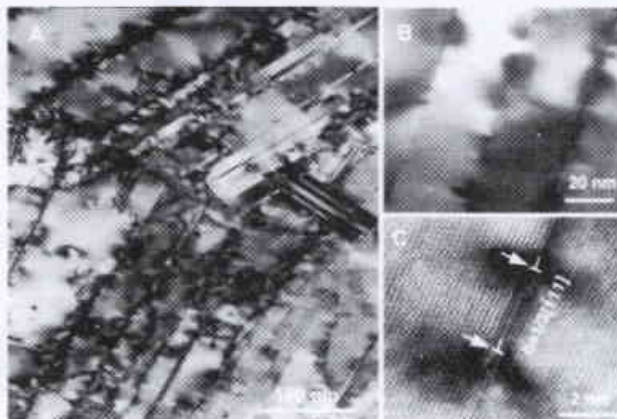
$$\rho_{\text{total}} = \rho_i + \rho_p + \rho_g$$

لدى مقارنة عينة النحاس المترسب على هذا النحو والعينة غير المصقولة، يمكن للمرء أن يرى بأن الفرق الوحيد في المقاومة الكلية يكمن في الحد المعبر عن العيوب الشبكية. ونظراً لإمكانية إهمال الفرق في كثافة الانفصام الشبكي بين هاتين العينتين، فإن الزيادة في المقاومة في النحاس التوأمي النانوي قد تعزى إلى مساهمتي GBs و TBs. فقد أعطى قياس المقاومة الكهربائية في درجة حرارة الغرفة



الشكل 3- رسم بياني لمتانة حبيبة الشد المقيس (σ_y) واجهاد الشد الأعظمي (σ_{UTS}) لعينتي نحاس مترسب على هذا النحو لهما كثافتان توأمتان مختلفتان بدلالة المساحة الكلية لـ TBs في وحدة الحجم (S_{TB}) المحددة من مشاهدات TEM.

الشكل 4- صورة TEM ساطعة الخلفية نموذجية لعينة مجهدة ذات توائم نانوية بعد اختبارات الشد (A) ومشاهدة مقربة للتخوم TBs مملوءة بالانفصالات (B). يظهر (C) صورة TEM عالية الاستبانة لـ TB مع انفصالات هرانك (b)، تمتل معامل بيرجرز (Burgers)



يعرض الشكل 4A صورة TEM نموذجية للعيينة المجهدة (بعد اختبارات شدية)، يظهر فيها كثير من الانفصالات المحددة بالتقابل مع كثافة انفصام ضعيفة في العينة المترسبة على هذا النحو (الشكل 1D). وتدل المشاهدات المقرية أن معظم الانفصالات تقع عند TBs، مع مبادعة تمتد من بضعة نانومتترات إلى بضع عشرات منها، حيث يُرى قليل منها داخل الطبقات الصفيحية، كما هو مبين في الشكل 4B. لم يكن توزع الانفصالات منتظماً، لأن كثيراً من الانفصالات شوهد عند الطبقات الثخينة الفاصلة بين TBs، وقليلاً منها شوهد عند الطبقات الرقيقة الفاصلة. ويمكن أن يعود مصدر عدم التجانس في توزع الانفصالات إلى أثر ثخانة الطبقة وكذلك إلى توجهات الحبيبات المختلفة. تكشف مشاهدات TEM الإحصائية العالية الاستبانة في منطقة واسعة من العينة المشوهة أن غالبية انفصالات TB هي إما انفصالات فرانك Frank (111) (1/3) غير الانزلاقية، كما يوضحه الشكل 4C) أو انفصالات شوكلي Shockley الانزلاقية (1/6(121)). فقد وجد على بعض التوائم TBs عدة انفصالات شوكلي منعزلة مع بعضها، تؤدي إلى انحناء TBs تتوافق هذه المشاهدات في البنية المكروية مع آلية التشوه المناقشة أعلاه، وفق تفاعل تفكك انفصامي $1/2(101) \rightarrow 1/6(121) + 1/3(111)$. ومع ذلك، لا يمكن استبعاد تفاعلات انفصام أخرى ويمكن أيضاً أن تكون فعالة في التقوية. فيحتاج الأمر إلى أبحاث معمقة حول آلية التشوه اللدن في العينة الحالية النانو توأمية.

إن تراكم الانفصام في العينة خلال التشوه اللدن هو المسؤول عن عمل التقسية الواضح في منحنى إجهاد الشد، الذي قد يؤدي أيضاً إلى زيادة في المقاومة بسبب انفصالات تبعثرية إضافية. تؤكد قياسات المقاومة الكهربائية أن المقاومة في حرارة الغرفة قد تزايدت بحوالي 11% بعد التشوه الشدي.

التوائم (الشكل 3). وهذا ما يقدم دلالة مباشرة على الأثر التمتيني للتحوم TBs في عينة النحاس.

لقد درست تقوية المعادن بواسطة التوائم، وتبين أن تأثر الانفصالات الانزلاقية مع TBs يلعب دوراً مهماً. وكانت تحقيقات سابقة قد أشارت إلى أن وجود التوائم يعيق انتشار انزلاق الحزم، متضمناً أن TBs المترابطة الموجودة تسلك إلى حد ما كتخوم حبيبية إذ تعمل كعوائق لانتشار الإجهاد [5]. لقد جرى تطوير التفصيلات الميكانيكية لهذا السلوك الملحوظ. فمثلاً، لنعتبر حالة وجود حزمة منزلقة (111) تتأثر مع التوأم (111) في العينة المقصودة، فيمكن أن يؤكد بعضهم أن الانزلاقات (011) 2/1 قد تنتشر عبر التوأم، في حين أن حركة الانزلاقات (110) 2/1 و (101) 2/1 قد تُمنع عند TBs. غير أن هذه الانفصالات يمكن أن تنتشر عبر التوائم إذا كانت ستخضع للتفاعلات بين الانفصالات، مثل $1/2(101) \rightarrow 1/6(121) + 1/3(111)$. مع هذا التفاعل، يتحرك انفصام فرانك غير الانزلاقي non-glissile Frank dislocation عند TB. ويمكن أيضاً حدوث تفاعلات انفصام أخرى في المعادن المكعبة المركزية الوجوه. تكون تفككات الانفصام غير مؤاتية طاقياً وقد تتطلب تركيزاً في الإجهاد عند تآثرات حزمة توأمية منزلقة، مما يؤدي إلى التقوية. لقد أثبت أيضاً أثر TBs في التمتين، إذ يعمل كموانع قوية لحركة الانفصام، من خلال مشاهدة في الموقع بمجهرية نفوذ الإلكترونات (TEM) لعملية التشوه في عينة لبلورة نحاس نانوية [19]. وبالتالي، فإنه يمكن اعتبار التوائم معيقات داخلية لحركة الانفصالات قد يكون لها أثر تقوية مشابه لأثر GBs [20]. يمكن إسناد قابلية السحب الضخمة المشاهدة في عينة النحاس الحالية بشكل كمي إلى امتصاص كثافة عالية من الانفصالات عند TBs، كما هو واضح في العينة المجهدة الواقعة تحت المشاهدات TEM.

* * *

أخبار علمية



مماثل بين النظريات الكونية والمشاهدات المختبرية التي تفشل في الكشف عن المادة التي يظن أنها تجعل معظم الكون متماسكاً. إن مثل هذه التناقضات تترك الفيزيائيين يشعرون بأنهم يفتقدون جزءاً كبيراً من الصورة .

لقد ولدَ النظريون سبباً من الجسيمات والقوى الافتراضية لملء هذه الفراغات، غير أن هذه الخواطر تواجه مشكلة تتمثل في أنها لو كان يسهل العثور عليها لكان قد شاهدها بعضهم في السابق. لذلك يتعين على الفيزيائيين التجريبيين أن يقطعوا أشواطاً طويلة غير عادية ليجدوها. فعليهم بناء مكاشيف فائقة الحساسية وحمايتها من عالم الضجيج، كما أن عليهم التأكد من أنهم لا يغالطون أنفسهم فيقولون برؤية شيء ما غير موجود فعلاً، وفوق هذا وذاك عليهم أن يتحلوا بالصبر.

فالفيزيائي إريك أدليبيرغر من جامعة واشنطن في سياتل، استطاع أن يعلم الصبر لقديس. إذ أمضى العقد الماضي يراقب نواصاً يتحرك في مختبره. وتستهمل مجموعة أدليبيرغر النواصات لاختبار سلوك الثقالة عند المقاسات الصغيرة جداً - حيث تتضارب قوانين أينشتاين مع ميكانيك الكم. ويقول: "توجد أفكار كثيرة تتنبأ بظهور قوى جديدة تتظاهر من هذه التجارب".

إن هذه النواصات تنتقل حول نفسها أثناء دوران الأرض بدلاً من أن تنوس إلى الأمام والوراء. ففي إحدى هذه المنظومات، يختبر وزنان متطابقان في كل شيء عدا عن أن أحدهما مصنوع من الرصاص والآخر من النحاس لرؤية ما إذا كان شد الثقالة مختلفاً بينهما. ولو حصل ذلك، فإن هذا سيقاوض إعلان غاليله الأسطوري القائل بسقوط كرتين من مادتين مختلفتين نحو الأرض بالسرعة نفسها. وقد تشير أيضاً إلى وجود فيزياء جديدة تحكم الثقالة في المقاسات الصغيرة. وعلى سبيل المثال، تتنبأ نظرية الأوتار (وهي إحدى الصلات الممكنة بين الثقالة والعالم الكومي) بوجود جسيمات قد تغير من قوانين الثقالة فوق المسافات القصيرة.

صغير وقابل للكشف

كان أدليبيرغر، قبل أن يُقبل على دراسة الثقالة، يعمل في الفيزياء النووية حيث تحتاج التجارب إلى مئات الباحثين وحسبما يقول فإن عمله في النواصات قد أكسبه الفردية. ويضيف قائلاً: "في هذا النوع من التجارب، لا تكون أنت جزءاً صغيراً من شيء كبير، بل تشعر فعلاً أنه ملكك حقاً".

لقد استغرقت النواصات سنوات من التشذيب المتأن. ونراه يقول: إنها "من صنف يشبه الطفل في تنشئته". فأوزان الاختبار تكون عاطلة من الناحية الكهربائية، ويتم استخدام أطنان من الرصاص لوقايتها من حقول ثقالة الأجسام المجاورة، مثل الهضبات والأبنية.

وحتى مع التخطيط المتقن، فقد كان على مجموعة أدليبيرغر أن

أمضى بعض الفيزيائيين عقوداً وهم يبحثون عن أندر الحوادث الجارية في الكون - فلم يروا شيئاً. لكن توقعهم للاصطياد لم يخبُ أبداً. ويسأل جيوف برومفيل، في هذا المقال، عما يجعلهم يستمرون في ذلك.

مازال بلاس كابريرا يتذكر يوم فالانتاين من عام 1982 عندما دخل مختبره، بعد ظهر يوم أحد، ليعلن هذا الفيزيائي الشاب عن اكتشاف يُوقف دقات القلب. فقد أحس مكشافه المصنوع محلياً لتوه شيئاً لم يره أحد قبله، إنه جسيم يدعى وحيد القطب المغنطيسي magnetic monopole. وقد تابع كابريرا لمدة ثلاث سنوات تالية تحسين تجربته في جامعة ستانفورد بكاليفورنيا، وبدأ في ذلك الوقت كما لو أن مثابرتة قد أعطت أكلها. وفي هذا الصدد يستذكر قائلاً: "لقد بدا الأمر مثيراً حينئذ". لكنه حتى الآن وبعد انقضاء أكثر من عشرين عاماً لم يستطع رؤية وحيد قطب ثان.

قد يمضي معظم العلماء سنوات منتظرين بجنون نتيجة يمكن أن لا تتحقق أبداً، غير أن عدداً صغيراً من الفيزيائيين يقومون بهذا وحسب. فيكرسون سنوات أو حتى عقوداً باحثين عن جسيمات وقوى افتراضية.

إن ما يجعلهم يستمرون في ذلك هو تكريسهم حياتهم للفيزياء الأساسية إضافة إلى هوسهم بالميكانيك الغريبة التي بينونها لتحقيق أهدافهم، مع فرصة للاستقلال عن مجموعات المسرعات الضخمة التي تهيمن على معظم "فيزياء الجسيمات". ويقول جيورجيو غراتا: "إنها كالمخدرات، تدمن عليها ولا تستطيع تركها"، ونشير هنا إلى أنه من جامعة ستانفورد سيبدأ قريباً البحث عن نوع من التفككات النووية يحدث مرة تقريباً كل ترليون سنة. ويغض النظر عن الانتكاسات في التمويل وعن الإنذارات الكاذبة من حين لآخر، فإن العديد من هؤلاء الباحثين ذوو سيرة علمية ناجحة، بالرغم من فشل مكاشيفهم في تسجيل أي جسيم.

"وبغض النظر عن الانتكاسات بسبب التمويل وعن الإنذارات الكاذبة من حين لآخر، فإن العديد من هؤلاء الباحثين ذوو سيرة علمية ناجحة، بالرغم من فشل مكاشيفهم في تسجيل أي جسيم".

يعود أحد أسباب إحرازهم الاحترام إلى تساؤلاتهم التي تتناول أسئلة محيرة كانت قد تركت بدون جواب من ثورات القرن الماضي في الفيزياء. فالنظرية النسبية العامة لأينشتاين شرحت الركائز الداخلية للثقالة، كما قاد ميكانيك الكم إلى نموذج معياري يستطيع التنبؤ بالتفاعلات بين الجسيمات الدقيقة كالكواركات - ولكن محاولة ضمهما معاً تقودك إلى شرثرة رياضية غامضة. وينشأ عدم توافق

* نُشر هذا الخبر في مجلة Nature، 6 May 2004، وتمت ترجمته في هيئة الطاقة الذرية السورية.

عددهم إلى أربعمئة باحث في الاختصاص ذاته تدرك هذه المجموعة عدم تحمّل الخداع. فيقول فايس "لدينا مجموعة من الشروط الفيزيائية علينا اتخاذها في التصدي للحادثة بجدية". ولكن الضجيج (مثل الضجيج الحراري والارتجاجات الميكانيكية) قد يزيغ الإشارة ويقدم حوادث قد تكون حقيقية وقد تكون مجرد وهم. ويضيف قائلاً: "وعندئذ ستجدنا، نلعب نفس لعبة بلاس كابريرا".

إن اكتشاف كابريرا في يوم فالانتاين، تركه يتخذ قراراً صعباً. صحيح أن للمغانط أقطاباً شمالية وجنوبية، لكن بعض النظريين ولعقود من الزمن تنبؤوا بوجود بضعة أقطاب وحيدة شمالية أو جنوبية تجوب الكون فرادى. وهذه يمكن أن تفسر الجزء الأعظم من مادة الكون المفقودة. وهي (أي المغانط) ستجعل الفيزيائيين يعيدون التفكير في النموذج المعياري الذي لا يتنبأ بوحيدات القطب. لقد كان كابريرا يدرك إشكالية اكتشافه. فمع أن هذا الاكتشاف يتفق مع التنبؤات النظرية، ولا توجد أخطاء تجريبية يمكن أن تفسر النتيجة. إلا أن مجرد حادث وحيد - لا يكفي لقلب الأفكار الراسخة.

المواد العاتمة

وفي النهاية، كتب كابريرا ورقة علمية نشرت في المجلة المرموقة، فيزيكال ريفيو ليتترز (1982; 48, 1378-1381) (B. Cabrera Phy. Rev. Lett. 48, 1378-1381). لم يزعم فيها أنه وجد وحيد القطب، بل اكتفى بوصف مكشافه والحادثة. وقد قال العديد منا: "يا إلهي، لماذا فعل ذلك؟" حسبما يقول فايس. غير أن زملاء كابريرا اتفقوا مع مقاربتهم هذه. ويقول فايس: "لقد نشر ما لديه مبيناً بالضبط ما قام به". وقد دعا فايس كابريرا ليحاضر في فريق مرصد أمواج الثقالة حول ما يمكن فعله حينما يصادفون حادثة مشكوكاً فيها.

لم يحدث لنبيطة كابريرا أن حددت وحيد قطب آخر أبداً. فقد بنت مجموعته مكاشيف من الجيل الثاني والثالث، وكانت حساسية آخرها أكبر بألاف المرات من الأصلية، ولكنها خرجت صفر اليدين. ويقول: "لم نر مرة ثانية حادثة تشبه الأولى في أي من الأجهزة أبداً". و ينخفض بذلك "احتمال أن تكون الحادثة التي رأيناها هي فعلاً وحيد قطب".

إلا أن هذه النتائج السلبية لم تكن بدون ثمرة. فقد تحدت النظريين، بمن فيهم ألان غوت وهنري تاي، اللذين كانا يعملان في مركز مسرع ستانفورد الخطي، أن يبرهنوا سبب ندرة ظهور وحيد القطب. وقد أثرت هذه في أعمال غوت على نظرية الانتفاخ (التضخم) - تلك الفكرة القائلة بتوسع الكون توسعاً أسياً بعيد الانفجار العظيم تماماً. وقد أكدت المشاهدات الفلكية ذلك منذئذ، وأضحت النظرية إحدى دعائم علم الكون الحديث.

تحول كابريرا، أوائل التسعينيات، لبحث عن جسيمات أخرى قد تستطيع تفسير الكتلة المفقودة في الكون. مما قاده إلى البدء بمشروع "البحث عن المادة المظلمة القوية" الذي مازال مستمراً منذ

تتغلب على أحداث غير متوقعة. ففي أحد أيام تشرين الثاني الرطبة المبللة، وجد أحد الطلبة المتخرجين أن حقل الثقالة المحيط بالنوااسات بدا وكأنه ينمو يوماً بعد يوم بصورة غير متوقعة. كان ذلك كما يقول أديلبيرغر "نتيجة امتصاص الأرض للمطر، مما غير حقل الثقالة في المختبر".

ويضيف أديلبيرغر مفتخراً: "إن الفرق الذي نستطيع قياسه في حقول الثقالة الآن، يساوي قياس الفرق في المسافة بين نقطة عند مقدمة أنفي وأخرى تلوها بمقدار 1.6 نانومتر". ولكن وعلى مدى فاق عشر سنوات لم تكشف مجسات أديلبيرغر إلا مطر سيائل. مع ذلك، فإن هذا لم يزعجه في أدنى الحدود كما لم يسيء إلى سيرته العلمية المهنية. فقد أصبح أديلبيرغر عضواً في الجمعية الفيزيائية الأمريكية عام 1984، وانتخب عضواً في أكاديمية العلوم الوطنية عام 1994. وهو يعزو نجاحه إلى التأثير الذي أحدثته نوااساته في أفكار النظريين وإنه يدعي أن "للنتائج السلبية التي حصل عليها وقعاً حقيقياً في الفيزياء".

حدث خائب

وإن ما يجب على العاملين الاحترار منه في هذه التجارب، يتمثل في ما يمكن أن توقعه نتيجة إيجابية من خطر خداع الذات. فلقد شغلت هذه المسألة رينر فايس لمدة طويلة، وهو فيزيائي في معهد ماساشوسيتس للتقانة بكامبردج. إذ كرس سيرته للكشف عن أمواج الثقالة - تموجات خفيفة في حقل ثقالة الكون يمكن أن تكون ذات مضامين هائلة لعلم الكون إذا ما أمكن اكتشافها.

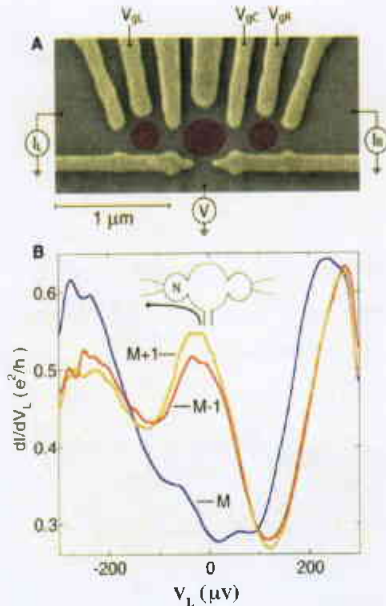
وهذا ما زعم مشاهدته جوزف فيبر، الفيزيائي من جامعة ميريلاند كولج بارك، وأواخر الستينيات. إذ قال إن أمواجاً ثقالية صدمت قضيباً ضخماً من الألمنيوم في مختبره مما جعل القضيب يرن كالجرس. غير أن النقاد أشاروا إلى أنه لو صح ذلك لكانت القدرة اللازمة، فالاستطاعة اللازمة لتوليد هذه الأمواج قادرة على محو درب التبانة كاملاً. وعلى ما يبدو، فقد وقع فيبر ضحية تحليله الإحصائي، وقد أحر هذا الجدل الحديث في مجال أمواج الثقالة لعدة عقود.

"ادعى أحد الفيزيائيين أن أمواج ثقالة صدمت قضيباً مصنوعاً من الألمنيوم فجعلته يرن كالجرس. إلا أن النقاد أشاروا إلى أن الاستطاعة اللازمة لذلك قادرة على محو درب التبانة كاملاً".

في العام الماضي دخل هذا المجال الأفكار السائدة حينما أُطلق من مرصد أمواج الثقالة الليزري التداخلي الذي بلغت كلفته 300 مليون دولار، والذي يتضمّن زوجين من المكاشيف أحدهما في لويزيانا والآخر في ولاية واشنطن، ليزران ضخمان لأمواج مكروية يأمل فايس بواسطتهما رصد أمواج الثقالة القادمة من درب التبانة المجاور. ومع ملايين الدولارات المصروفة بالإضافة إلى مؤهلين يصل

تأثر RKKY مع التآثرات الموضعية بين الشوائب والإلكترونات الناقلة الذي أدى إلى مفعول كوندو، وعندما يتغلب على تآثرات كوندو فإنه يمكن أن يؤدي إلى سوياوات مغناطيسية جرمية معقدة مثل الزجاج السبيني [14]. وقد ثبت عبر العقدين الماضيين أن جملة كوندو متعددة الشوائب مسألة نظرية غنية تبدي فيما تبديه من ملامح، تحوُّلاً طورياً كموماً بين مجالي كوندو و RKKY عند قيمة نسبة حرجة J/Tk من مرتبة الواحد (حسب البنية الهندسية المعنية) حيث J شدة تآثر RKKY و T_k درجة حرارة كوندو ذي الشائبة الواحدة [15-17]. بدأت النظرية الحديثة بتوسيع نموذج كوندو ثنائي الشوائب إلى جمل مزدوجة النقط الكمومية وما يتعلق بها من جمل سبين اصطناعي [18-24]. وقد استكشفت التجارب التنافس بين مفعول كوندو والتبادل في ثنائيات نقط كمومية مقترنة بشكل مباشر [7-8] ولكن لم يتم وصف تآثر غير موضعي شبيه ب RKKY يديره بحر إلكترونات متوسط في جملة اصطناعية.

يتألف الجهاز من نقطتين كموميتين محيطيتين صغيرتين مرتبطتين بنقطة كمومية مركزية أكثر كبراً كما في الشكل (1A) [25]. أجريت القياسات في براد تمديد ذي درجة حرارة إلكترونية أساسية نحو 85 ملي كلفن جرى تقديرها من قِمم حصار كولون موسعة حرارياً وتم قياسها عند النقطتين انفرادياً. وتعطي مطيافية انحياز



الشكل 1- (A) صورة مكروية إلكترونية ماسحة لجهاز مطابق في التصميم لنقطة مقبسة مع منحنيات بيضوية تمثيلية تشير إلى مواضع النقط عند تضروب البوابة. تغير فولطيتا البوابة V_{g1} و V_{g2} والطاقت والانفعالية في النقطتين اليمنى واليسرى. يقوم بتوليف الاقتران بين النقطة اليمنى والمنطقة المركزية. يمثل I_L و I_R التيارات المستمرة والمتناوبة المقبسة في النهاية اليسرى (L) والنهائية اليمنى (R) على التوالي. (B) التناقضية التفاضلية dI/dV_L للنقطة اليسرى من أجل عدد فردي من الإلكترونات N. فحينما تحوي النقطة اليمنى عدداً زوجياً من الإلكترونات M±1 تتضح قمة انحياز صفري في dI/dV_L مشيرة إلى حالة كوندو. وحينما تحوي النقطة اليمنى عدداً فردياً من الإلكترونات M يحدث كتم حالة كوندو في النقطة اليسرى. إن الحالات M-1, M, M+1 في النقطة اليمنى هي وديان حصار كولوني متعاقبة.



14 سنة: وقد وضع في العمل آخر مكشاف، محمياً من الإشعاعات بوضعه عميقاً داخل منجم مينسوتا، العام المنصرم. ويبدو أن كابريرا غير عابئ لعدم اكتشافهم أياً من هذه الجسيمات حتى الآن، فيقول: " إذا كانت هذه الجسيمات موجودة هناك فسوف نراها".

2- تحكم بالسبين غير موضعي وقابل للتوليف في جملة نقط كمومية مقترنة *

إن التآثر الفعال بين الشوائب المغناطيسية في المعادن والتي يمكن أن تؤدي إلى سوياوات أرضية مغناطيسية مختلفة غالباً ما تتنافس مع نزعة الإلكترونات في جوار الشوائب إلى حجب العزم الموضعي (وهو ما يعرف بمفعول كوندو). لقد تحققت أبسط الجمل التي تبدي غنى هذه المنافسة، وهي جملة كوندو ذات الشائبتين، على نحو تجريبي بشكل نقطتين كموميتين مقترنتين عبر منطقة ناقلة مفتوحة. وبنين هنا التحكم غير الموضعي بالسبين بكم تجاوزات كوندو وشطرها في إحدى النقطتين الكموميتين عبر تغيير عدد الإلكترونات في النقطة الأخرى والاقتران معها. وتوحي النتائج بمقاربة للتحكم غير الموضعي بالسبين قد تكون مهمة في المعالجة الكمومية للبيانات.

تبيّن أن النقط الكمومية المحجوزة في بوابات تُعدُّ جملاً هامة لدراسة أثر كوندو، وهو أثر حاذق متعدد الإلكترونات تقوم فيه الإلكترونات الناقلة في جوار شائبة سبينية بحجب السبين لتشكّل سوية أرضية جماعية في مصيدة عند درجات حرارة منخفضة [1]. وتكون العلاقة بين فيزياء كوندو والنقط الكمومية أكثر ما يمكن وضوحاً عندما يقوم عدد فردي من الإلكترونات محجوز في النقطة بلعب دور سبين مفرد مقترن باحتياطي الإلكترونات [2-5]. وقد حظيت مؤخراً ثنائيات نقط كمومية شبيهة بالجزئيات باهتمام واسع باعتبارها جملاً قابلة للتحكم لغرض دراسة التبادل بين سوياوات متموضعة مقترنة [6-8]، وباعتبارها لبنات بنى أساسية محتملة لمعالجة البيانات كموماً مع خطط مقترحة لاستخدام ثنائيات النقط الكمومية كمصادر للإلكترونات المتشابكة [9] ومن أجل عمليات بوابة كمومية ذات كيوبيتين 2 qubit [10].

من المعلوم في الجمل الجرمية أن الشوائب المغناطيسية المغمورة في بحر للإلكترونات إنما تتأثر بعضها مع بعض بواسطة تآثر سبين - سبين فعال معروف باسم تآثر رودرمان-كيتيل-كاسويا-يوشيدا RKKY الذي يتم في وسط الإلكترونات الناقلة [11-13]. ويتنافس

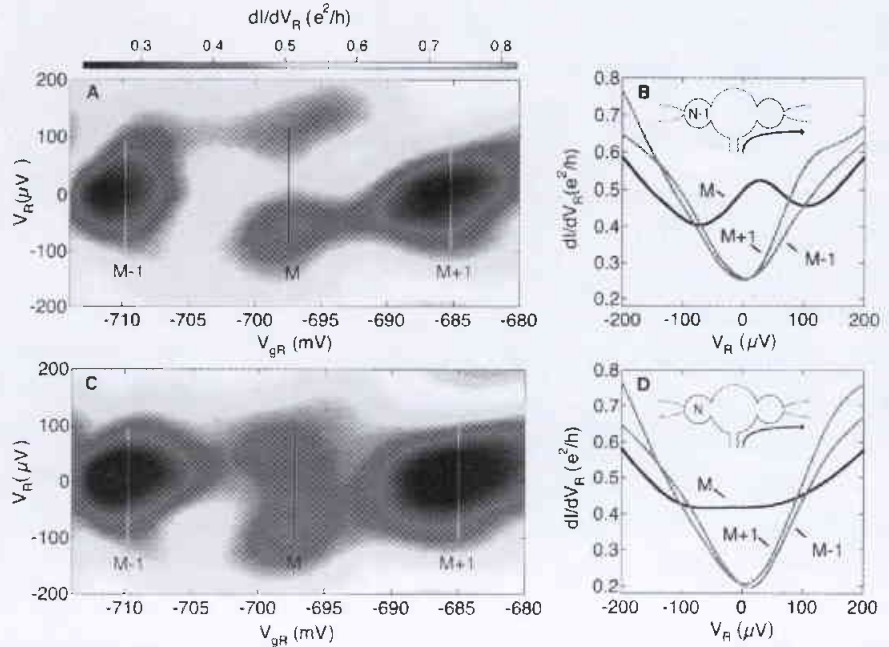
مرتبطاً بالإلكترونات الناقلة في النقطة المركزية وليس في النهايتين (الطرفيتين) اليمنى أو اليسرى. وتم توليف النقطة اليسرى بحيث تحتوي على عدد فردي N أو عدد زوجي $N \pm 1$ من الإلكترونات حسب تغيير الفولتية المطبقة على البوابة V_{gR} ؛ بينما جرى توليف النقطة اليمنى بحيث تحتوي إما على عدد فردي M أو عدد زوجي $M \pm 1$ من الإلكترونات حسب تغيير الفولتية المطبقة على البوابة V_{gR} .

جرت دراسة مفاعيل كوندو في مجال الاقتران غير المتناظر في كل من النقطتين المحيطيتين انفرادياً عبر فصل النقطة المحيطية الأخرى عن النقطة المركزية كلياً. وأبدت كل من النقطتين مزايا خاصة بمفعول كوندو بما في ذلك ازدياد الناقلية عبر وديان الحصار الكولوني الفردية، وقمة انحياز صفري في الناقلية التفاضلية $dI/dV_{L(R)}$ في الوديان الفردية، وتوافق

كيفي بين تبعية ارتفاع الوادي لدرجة الحرارة والنظرية. وحينما كانت أي من النقطتين في واد زوجي الانشغالية، فإن إعادة اقترانها مع النقطة المركزية (الذي جعل في البداية صفراً) لم يؤثر كيفياً في علامات مفعول كوندو في النقطة الأخرى.

ظهرت حالة أكثر إثارة حين احتوت كلتا النقطتين عدداً فردياً من الإلكترونات وتأثرت سويات كوندو في النقطتين المحيطيتين. ويبيد الشكل 1B المقارنة المعنية: عندما تحوي النقطة اليمنى عدداً زوجياً من الإلكترونات فإن وادي الحصار الكولوني الفردي (N إلكترونات) في النقطة اليسرى يبدي بصمات كوندو بما في ذلك قمة انحياز صفري dI/dV_L واضح. أما عندما تحوي النقطة اليمنى عدداً فردياً من الإلكترونات فإن بصمات كوندو في النقطة اليسرى تغيب بما في ذلك قمة الانحياز الصفري. ويعيد الانتقال التسلسلي إلى الوادي الزوجي الثاني في النقطة اليمنى بصمات كوندو في النقطة اليسرى. وإننا نفسر غياب بصمات كوندو في الحالة الفردية-الفردية كمؤشر على أن تآثر RKKY بين النقاط يتغلب على مفعول كوندو مشكلاً إما حالة سبين كلي صفري (لا تملك مفعول كوندو) أو حالة سبين واحد ذات مفعول كوندو أصغر بكثير عند درجة الحرارة المقيسة.

يبين الشكل 2 المفعول نفسه مع عكس أدوار النقطتين، مقيساً في مجال مختلف لفولطيات البوابة. وكما هو متوقع فإننا نلاحظ الآن كتم مفعول كوندو في النقطة اليمنى (يظهر في مخطط بياني كامل لـ dI/dV_R كتابع لـ V_{gR} و V_R) عندما يكون في النقطة اليسرى عدد



الشكل 2- (A) تظهر الناقلية التفاضلية dI/dV_R للنقطة اليمنى كتابع لكل من V_R و V_{gR} ميزة الانحياز الصفري عند انشغالية فردية M . تحوي النقطة اليسرى هنا عدداً زوجياً من الإلكترونات $N-1$. أما (B) تظهر شرائح مأخوذة من وسط الوادي في (A) قمة انحياز صفري من أجل انشغالية فردية M هي النقطة اليمنى فقط، وأما (C) فتظهر dI/dV_R للنقطة اليمنى كتابع لكل من V_R و V_{gR} في حال عدد زوجي من الإلكترونات في النقطة اليسرى. إن كتم قمة الانحياز الصفري في الوادي الأوسط واضح. وأما (D) فإنها شرائح مأخوذة من وسط الوادي في (C) تبدي كتم قمة الانحياز الصفري في الحالة فردية-فردية (بمعنى إشابة ثنائية).

فولتية على النقطتين اليمنى واليسرى في مجال الحصار الكولوني طاقة شحن كولونية $U \sim 88 \mu\text{eV}$ وتباعد سويات $\Delta \sim 100 \mu\text{eV}$ لكنتا النقطتين. كما جرى قياس الناقلية التفاضلية $dI/dV_{L(R)}$ للنقطة اليسرى (L) واليمنى (R) في أن واحد بتطبيق إثارة انحياز فولتية V تتألف من dc وإشارتين بـ 11 هرتز و 27 هرتز على الطرف المفتوح (الأسفل) للنقطة المركزية وقياس التيار المتناوب عند 11 هرتز والتيار المستمر عند الخزان الأيسر، والتيار المتناوب عند 27 هرتز والتيار المستمر عند الخزان الأيمن (كلاهما عند الأرضية الافتراضية). وتسمح نمذجة جملة النقط الثلاث كمقسم فولتية باستخلاص الفولطيتين المستمرتين $V_{L(R)}$ اللتين تنخفضان عبر كل من النقطتين اليمنى واليسرى.

ويجعل نقطة التماس السفلى في وضع نموذج مترد سبينياً وتام الناقلية (الناقلية على المستوى المستقر $2e^2/h$ حيث c^2/h تمثل كم الناقلية (conductance quantum) أمكن تشكيل النقطة المركزية بحيث تلعب دور منطقة محصورة، مع بقائها ناقلة ومفتوحة، وتقرن بين النقطتين المحيطيتين. ولقد تم وضع (شدتي) اقتران النقطتين المحيطيتين اليسرى واليمنى في مجال الحصار الكولوني غير المتناظر مع (شدتي) اقتران نفقي $\Gamma_{L(R)}^{(c)}$ باتجاه المنطقة المركزية (c) عاليتين نسبياً، وتم وضع (شدتي) اقتران "خارجي" $\Gamma_{L(R)}^{(l)}$ مع النهايتين (الطرفيتين) (l) ضعيفتين $(\Gamma_{L(R)}^{(l)} \ll \Gamma_{L(R)}^{(c)}) \sim \Delta_{L(R)}$. وقد أجري ذلك لضمان أن يكون أي أثر كوندو ملاحظ في النقط المحيطية

ضمن المجال $B_{||} \sim 2-4 \text{ T}$ مع ميل يبلغ نحو $70 \mu\text{eV/T}$. وهذا الميل أكبر بمعامل ~ 1.5 مما هو متوقع لأجل معامل g ل GaAs الذي يبلغ نحو 0.44، ولكنه متوافق مع قياسات معامل g في أجهزة أخرى مصنوعة من نفس الرقاقة. ويبيد كل من حالي النقطة المفردة والنقطة المقترنة تقوية غير متوقعة لقمة الانحياز الصفري مع $B_{||}$ قبل ملاحظة الانقسام (من أجل $B_{||} < 2T$). إن هذا غير مفهوم في الوقت الحاضر وستتم دراسته في هندسات أجهزة أكثر ملاءمة في بحث مستقبلية.

لقد أوضحنا التحكم المترابط لسبينات النقط الكمومية عبر تآثر غير موضعي شبيه بـ RKKY، وتوحي النتائج الحالية بمقاربة للتحكم غير الموضعي بالسبين والمصيدة [28-30] يمكن أن تكون هامة لتغيير سلم المعالجة الكمومية للمعلومات في الحالة الصلبة بما يتعدى قيود تبادل أقرب جار.

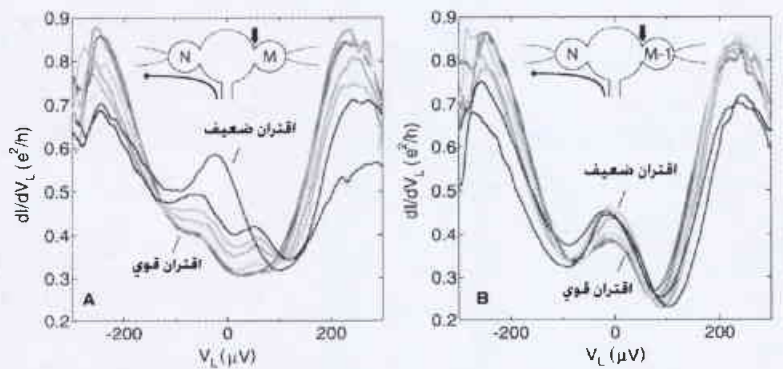
3- ارفع درجة الحرارة *

تتطور صورة أكثر وضوحاً حول ما يجعل بعض المواد فائقة الناقلية في درجات الحرارة العالية، ومعها تأتي تلميحات حول كيفية تصميم مواد ذات درجات حرارة تحوّل أعلى.

تصف الناقلية الفائقة التي تم اكتشافها منذ مئة عام مضى مرور التيار الكهربائي في المعادن بدون مقاومة. فأكثر المعادن لا تصبح فائقة الناقلية إلا إذا تم تبريدها إلى مجال العشر درجات من الصفر المطلق تقريباً. ولكن اكتشاف مواد تصبح فائقة الناقلية بدرجات حرارة أعلى بكثير في عام 1987 قد أحيى الحلم القديم بتحقيق الناقلية الفائقة بدرجة حرارة الغرفة في يوم من الأيام.

يكمن أحد أسرار النواقل الفائقة ذات الدرجة الحرارية العالية في الصلة بين بنيتها البلورية الطباقية وبين درجات حرارة التحوّل transition (التي تصبح عندها فائقة الناقلية). وتضم هذه المواد السيراميكية طبقات متعددة من أكسيد النحاس الفائق الناقلية مفصولة بعضها عن بعض بمواد عازلة. إنها نوع من "بلاوة" فائقة الناقلية. وحينما تعلم الفيزيائيون تركيب نماذج أكثر تعقيداً من هذه المواد، بدءاً بطبقة واحدة أولاً ثم اثنتين ثم ثلاث طبقات فائقة الناقلية، ارتفعت درجة حرارة التحوّل الفائق الناقلية فجأة من نحو 40 كلفن في مواد أحادية الطبقة إلى 130 كلفن في المواد الثلاثية الطبقات [21] (الشكل 1). ولكن الأمر توقف عند ذلك الحد طيلة عقد تقريباً، إذ لسوء الحظ تزيح إضافة طبقات جديدة درجة حرارة التحوّل نحو الأخفض مجدداً. ترى ما الخطأ؟

يقترح شاكرافارتى Chakravarty وكي Kee وفولكر Völker تفسيراً للأمر [3]. تجمع نظريتهم تبصرات متعددة لفيزياء الناقلية



الشكل 3. (A) الناقلية التفاضلية عبر النقطة اليسرى من أجل عدة قيم لشدة الاقتران بين النقطة اليمنى والمنطقة المركزية. تحوي كل من النقطتين اليسرى واليمنى عدداً فردياً من الإلكترونات N و M على التوالي. يكون تجاوب الانحياز الصفري في النقطة اليسرى مكتوماً كلياً عند الاقتران الشديد. ويقل الكتم كلما ضعف الاقتران بحيث يصبح تجاوب الانحياز الصفري ظاهراً كلياً في الاقتران الضعيف. إن انقسام القمم المكتومة منسجم عبر مجال من (قوى) الاقتران. (B) الناقلية التفاضلية عبر النقطة اليسرى من أجل عدة قيم لقوة الاقتران بين النقطة اليمنى والمنطقة المركزية من أجل عدد زوجي من الإلكترونات $M-1$ في النقطة اليمنى. تُظهر هذه الرسوم تجاوب انحياز صفري قوي عبر كل وديان الاقتران. ويشير السهم المتجه إلى الأسفل في الشكل الداخلي إلى موقع تعبير قوة الاقتران.

فردية من الإلكترونات (الشكل 2B و 2D). ولدى جعل الانشغالية في النقطة اليسرى زوجية بنزع إلكترون واحد، تُستعاد بصمة الانحياز الصفري لمفعول كوندو في النقطة اليمنى (الشكل 2A و 2C).

وحيثما تحوي كلتا النقطتين عدداً فردياً من الإلكترونات فمن الممكن توليف كتم قمة الانحياز الصفري في إحدى النقطتين بشكل مستمر عبر تغيير قوة الاقتران المركزي للنقطة الأخرى. ويبين الشكل 3A الناقلية التفاضلية dI/dV_L للنقطة اليسرى حينما يجري توليف الاقتران $P_R^{(e)}$ بين النقطة اليمنى والمنطقة المركزية بدءاً من الشديد نحو الضعيف عبر تغيير فولطية بوابة الاقتران V_{gc} . ونشير هنا إلى أن قمة الانحياز الصفري لكوندو في النقطة اليسرى تنقسم أولاً قبل أن تُكتم كلياً عندما تقترب النقطة اليمنى بالنقطة المركزية. وبالمقابل فعندما تحوي النقطة اليمنى عدداً زوجياً من الإلكترونات فإن قوة اقترانها لا تكون ذات مفعول كبير على قمة الانحياز الصفري للنقطة اليسرى (الشكل 3B). ويُعدُّ انقسام قمة الانحياز الصفري بصمة ترابط كمومي بين حالات كوندو في النقطتين المحيطيتين [22]. [26]. ويقابل مقدار هذا الانقسام انقساماً في فولطية مصدر-مصرف source-drain voltage مقداره نحو 0.12 meV ، وهو لا يعتمد كثيراً على اقتران النقطة اليمنى إذا ما ظهر. إن هذا الانقسام مساوٍ لعرض قمة الانحياز الصفري في النقطة اليسرى (العرض الكامل عند منتصف القيمة العظمى $\sim 0.1 \text{ mV}$ عند $T_k \sim 0.6 \text{ K}$) قبل أن تقترب النقطة اليمنى. بيد أنه من غير المعروف حتى الآن فيما إذا كان تشابه المقاييس بين عرض قمة كوندو والانقسام ظاهرة عامة. إن الآلية الفيزيائية التي تسبب الانقسام ومدى ارتباط مقداره بقوة تآثر RKKY ليس بالأمر المحلول [26].

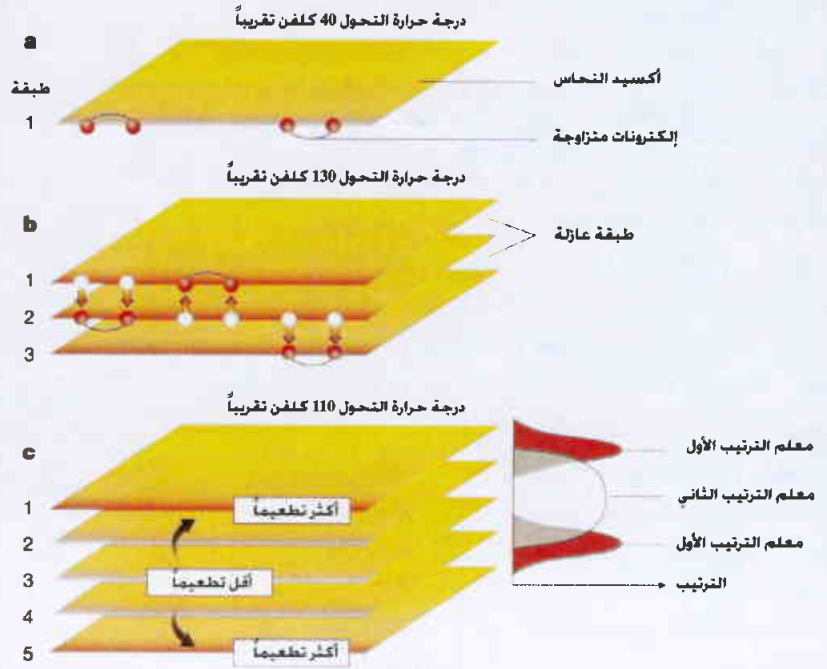
يبيد كل من بنياني النقطة المفردة والنقطة المقترنة [27] بشكل تقريبي انقسام القمة الخطي كتابع للحقل المغناطيسي في المستوي

الناقل الفائق. ويتمثل أحد الجوانب اللافتة للنظر لدى الناقل الفائقة ذات الدرجة الحرارية العالية أن هذه المواد أقرب إلى العوازل منها إلى المعادن من عدة نواح. فالمركبات الأم للناقل الفائقة ذات الدرجة الحرارية العالية تكون عازلة، ولا تكتسب الناقلية الفائقة إلا بعد إدخال حوامل شحنة إضافية (إلكترونات أو نظائرها الموجبة التي هي الثقوب) إلى المادة عبر تطعيمها doping كيميائياً. وقد تنبأ الفيزيائيون اليابانيون أوتا Ohta وتوهياما Tohyama وميكاوا Maekawa منذ بضع سنوات بأن الشحنة سيعاد توزيعها في المواد ذات الناقلية الفائقة ذات الدرجة الحرارية العالية والمؤلفة من عدة طبقات بحيث أن التطعيم في الطبقات الداخلية سيكون في الواقع أقل منه في الطبقات الخارجية. وقد تم إثبات هذه الفكرة بقياسات NMR [7.6] لبروفيل التطعيم عبر الطبقات المتعددة.

ولكن ما يقع في لب أفكار النظرية الجديدة هو ما يطلق عليه اسم معلم الترتيب order parameter. وقد كان الفيزيائي الروسي ليف لانداو L. Landau أول من أدرك أن المادة عندما تطوّر أشكال ترتيب جديدة فإنه يمكن وصف الحركة الجماعية لمكوناتها من الجسيمات بمتحولات دعاها "معالم الترتيب". وتكمن مرتبة نهج معلم الترتيب الخاص بلانداو في أنها تعني أن الخواص الجماعية ذات المقياس الكبير لمنظومة ما يمكن فصلها بسهولة عن التفاصيل الفظة للحركة الماكروسكوبية. وباستخدام هذه الفكرة أمكن للاندوا وفينالي جينزبورغ V. Ginzburg تطوير نظرية معلم ترتيب للخواص الماكروسكوبية للناقل الفائقة قبل عقد من تصميم آلية مزوجة الناقلية الفائقة من قبل جون باردين J. Bardeen وليون كوبر L. Cooper وروبرت شريفر R. Schrieffer.

إن الناقل الفائقة ذات الدرجة الحرارية العالية أكثر تعقيداً بكثير من نظيراتها ذات الدرجة الحرارية المنخفضة. وهناك عدة مؤشرات على أن خواصها الفريدة ناجمة عن التنافس بين أكثر من نمط واحد من معالم الترتيب. وما زالت الترابطات الإلكترونية المسؤولة عن الناقلية الفائقة ذات الدرجة الحرارية العالية لغزاً غامضاً، ولكن شاكرافارتي وزملاءه [3] يلتفون على هذه المشكلة غير المحلولة باستعمال نهج معلم الترتيب لتحليل التأثير بين الناقلية الفائقة في كل طبقة من المادة.

لقد صهر المؤلفون هذه الأفكار الخاصة بالمرور النفقي ونقل الشحنة transfer والترتيب معاً في علاقة بسيطة ل (لانداو-



الفايئة ذات الدرجة الحرارية العالية وتصل بين ثلاثة مفعولات مهمة: المفعول النفقي tunnelling، وتوزع الشحنة بين الطبقي interlayer charge distribution، والترتيب المخفي hidden order. فالعنصر الأول في تحليل شاكرافارتي وزملاءه هو الانتقال النفقي tunneling للإلكترون بين الطبقات فائقة الناقلية. إذ تكون الإلكترونات داخل الناقل الفائق مترابطة في أزواج. وعندما تقترب طبقتان فائقتا الناقلية إحداها من الأخرى، يمكن لهذه الأزواج أن تمر في النفق، أو أن تقفز من طبقة إلى أخرى (يقصد بالمرور في النفق هنا الحركة الآلية الكمومية لجسيم/موجة عبر حيز مكاني ممنوع في الميكانيك التقليدي). ويقرن هذا المفعول النفقي بين المادتين الفائقتي الناقلية ويدعى اقتران جوزفسون بحسب اسم مكتشفه.

قبل نحو عشر سنوات من الآن (في نظرية ثبت الآن بطلانها) اقترح شاكرافارتي وسودبو Sudbø وأندرسون Anderson وسترونغ Strong أن المرور النفقي بين الطبقي هو المصدر الحقيقي للناقلية الفائقة ذات الدرجة الحرارية العالية [4]. وقد أحيا شاكرافارتي وزملاءه [3] فكرة الاقتران بين الطبقي ولكنهم الآن يحاجون بأن اقتراحنا كهذا - على الرغم من أنه ليس المحرك الرئيس وراء الناقلية الفائقة في الطبقات - يعد مسؤولاً عن رفع درجة حرارة التحول عند الانتقال من مواد أحادية الطبقة إلى مواد ثلاثية الطبقات. ويراعي المؤلفون أيضاً [3] كيفية توزع الشحنات بين طبقات

فكل سطح من جسمك بدءاً من الجلد وحتى أغشيتك الخلوية تهمهم بنشاط كهربائي.

لقد أدرك البيولوجيون منذ أكثر من مئتي عام أن النبضات العصبية تُبث كهربائياً. لكنهم لم يبدؤوا إلا حديثاً جداً باستراق السمع إلى المهمة الكهربائية لبقيّة أعضاء جسمك. واكتشفوا أن الكهرباء، في شكل حقول كهربائية، تلعب دوراً حيوياً في عدة عمليات بيولوجية بدءاً من التنامي الجنيني حتى الانقسام الخلوي وتجدد الأعصاب وترميم الجروح. ويقول كولن ماك كيج C. McCaig، من جامعة أبردين في المملكة المتحدة الذي كان يعمل في مجال التأثيرات البيولوجية للحقول الكهربائية منذ الثمانينيات: "إن هذه الظاهرة واسعة التطبيق وأنا أعتقد أننا لم نحقق إلا النزر اليسير في أمر بالغ الصون تطويراً وواسع الاستخدام عملياً."

إن أول تنويه بأن الحقول الكهربائية يمكن أن تؤثر في سلوك خلايا فرادى ظهر في عام 1920 عندما بين الباحث الدانمركي، سفين إنغفار S. Ingvar، أن تطبيق حقل كهربائي خارجي قد جعل عصبونات فروج مستتبنة تنمو باتجاه محدد. وقد شهدت الأعوام التي أعقبت ذلك أيضاً من دراسات مشابهة. لكن العديد منها أنجز بطريقة غير متقنة، وتعرقل على مدى سنوات تفسير النتائج بسبب نقص تقنيات التسجيل الملائمة، وتلوّث المستبتبات بمنتجات ثانوية إلكترونية، والارتباب بشدة الحقول الكهربائية وأحياناً بسبب تعقيد الخلايا التي هي قيد الدراسة. إن حقيقة إفراط بعض الباحثين الأوائل في ادعائهم بشأن التأثيرات الشفائية للحقول الكهربائية في تجدد العصب والطرف كانت محدودة الفائدة. أما بعد ذلك في الأربعينيات فقد أشار بول فايس P. Weiss، وهو بيولوجي بارز ذو نفوذ في جامعة شيكاغو، إلى أنه لم يتمكن من تحقيق نتائج إنغفار ثانية واستنتج أن الحقول الكهربائية ليس لها تأثير في الخلايا.

لقد فتر البحث في التأثير البيولوجي للحقول الكهربائية تدريجياً وتم إغفاله. ويتضح ذلك في قول البيولوجي المتخصص في الخلايا، ميخائيل ليفين M. Levin، من معهد فورسيز Forsyth Institute في بوسطن بولاية ماساتشوستش بأنه: "في الفترة الأولى عندما كان الناس مهتمين بهذا الموضوع، لم تكن لديهم أدوات جزيئية وحينما أقلعت البيولوجيا الجزيئية كانت هذه النتائج الرائعة في طبي النسيان". ولكن ثمة عجب بسيط وهو أن قلة قليلة من العلماء يعتقدون اليوم أن الحقول الكهربائية ذات شأن فيزيولوجي كبير، وأقل من ذلك عدداً من يبحث في هذا المجال.

بيد أنه في العقدين الماضيين حدث إحياء وطيد ويطيء في بحوث الحقل الكهربائي، ويقوم حالياً فريق صغير من البيولوجيين بتبيان أن الحقول الكهربائية تلعب دوراً مهماً في البيولوجيا.

وبالعودة إلى عام 1981، قرر كينيث روبنسون K. Robinson من جامعة بورديو في لافايت الغربية بولاية إنديانا، تكرار تجربة إنغفار

جينزبورغ) تخصّ الطاقة الكليّة للجملّة، وبالنظر إلى ما وراء الترتيب المتعلق بالكترونات مترابطة، فإن الفكرة الأساسية في نظريتهم تتمثل في أنه بالنسبة لأكثر من ثلاث طبقات من أكسيد النحاس ينشأ معلم ترتيب منافسٌ ثانٍ في الطبقات الداخلية الأقل تطعياً ويخفّض درجة حرارة التحوّل الفائق الناقلية. وبمواصلة خصائص المادة ذات الطبقة الواحدة واستخدام بروفيّل التطعيم المقيس، أمكن لهم حساب كيفية تغيّر درجة حرارة التحوّل الفائق الناقلية حسب عدد الطبقات وحصلوا على توافق نوعي جيد مع البيانات التجريبية.

ويتمثل تنبؤ رئيسٌ لنظرية شاكرافارتي وزملائه [3] في وجوب أن تكون الفرجة الزائفة pseudogap أكبر في الطبقات الداخلية لناقل فائق متعدد الطبقات. ففي النواقل الفائقة الاعتيادية تنشأ فرجة في الطيف الطاقوي الإلكتروني حينما تتزاوج الإلكترونات؛ وكلما علت درجة حرارة التحوّل في المعدن كلما كبرت الفرجة. ولكن النواقل الفائقة ذات الدرجة الحرارية العالية تخرق هذه القاعدة: فالمواد الأقل تطعياً - ذات درجات حرارة التحوّل المنخفضة - تولّد في الواقع فرجة أكبر من المواد ذات التطعيم بشكل مثالي وحتى في درجات الحرارة العالية حيث لا تكون بعد قد أصبحت فائقة الناقلية. إن طبيعة ما دُعي باسم الفرجة الزائفة هذه مسألة تكتنفها خلافاً عميقة [7]. ولكن حسب إحدى المدارس الفكرية فإنها (أي الفرجة الزائفة) تنجم عن معلم ترتيب ثانٍ يتنافس مع الناقلية الفائقة، تماماً كما تخيل شاكرافارتي وزملائه [3]. وهناك تجارب متعددة قيد التنفيذ [10] سيمكن لها في المستقبل القريب أن تختبر هذه الفكرة وربما تسير طبيعة الترتيب الخفي ضمن الطبقات.

من المزايا الجذابة لهذه النظرية الجديدة [3] أنها تجمع عدة أفكار سائدة حول الناقلية الفائقة ذات الدرجة الحرارية العالية وتؤمن تعليلاً بسيطاً لسبب ارتفاع درجة حرارة التحوّل في البداية ثم هبوطه كلما ازداد عدد الطبقات الفائقة الناقلية. وإنه لأمر مثير في الواقع أن يصبح بإمكاننا الآن فهم سبب محدودية درجات حرارة التحوّل في هذه المواد الطبقيّة الغربية. وانطلاقاً من هذا الفهم يصبح منظور إمكانية تصميم مواد بدرجات حرارة تحوّل أعلى أكثر واقعية.

4- الجسم يحمل كهرباء *

لا يقتصر الأمر على أعصابك، بل تلعب الكهرباء دوراً أساسياً في العديد من العمليات الحيوية بدءاً من التام الجروح حتى وضع خارطة للجسم.

هل أخبرك أحد مؤخراً أنك تحمل كهرباء؟ نعم، هذا صحيح. إن كل سمّ من مسامك ينضح كهرباء. ولا بد أن كل تلك الأيونات التي لديك تقوم أنت بضخها. وهنا لا نتحدث عن النبضات العصبية فقط؛

وحتى فترة متأخرة، لم يبيّن أحد وجود أي وظيفة لمثل هذه الحقول. ولكن تم التغلب على هذه الهبة في عام 2002 حينما أثبت فريق ماك كيج أن الحقول المتولدة بصورة طبيعية تلعب دوراً أساسياً في التئام الجروح في قرنية عيون الجرذان. (تُبّت جلسة الأكاديمية الوطنية للعلوم، المجلد 99، ص 13577). ففي القرنيات السوية تضخ الخلايا الظهارية أيونات البوتاسيوم والصوديوم ذات الشحنة الموجبة نحو الداخل وتطرّد أيونات الكلور ذات الشحنة السالبة نحو الخارج، مولدة بذلك كموناً كهربائياً شدته نحو 40 ملي فولط. ولكن إذا ما تم خرق الظهارة، يتدفق تيار كهربائي عبر الجرح محدثاً حقلاً كهربائياً شدته نحو 40 ملي فولط لكل مليمتراً واحد ويمتد هذا الحقل نصف مليمتراً عبر سطح القرنية.

أثبت فريق ماك كيج الآن أن هذا الحقل الكهربائي يعرّز الالتئام عن طريق التأثير في سلوك الخلايا المجاورة. فالخلايا التي تنقسم انقساماً فعّالاً والتي تعمل على رقع الأذية تستخلص معلومات مهمة فراغية من الحقل الكهربائي. فهو يجعلها تنقسم على طول المستوى المتعامد مع الحقل، دافعاً بذلك خلايا جديدة إلى داخل الجرح. فإذا قمت بإلغاء الحقل يستمر انقسام الخلايا، لكن باتجاهات عشوائية. وما إن تزيد شدة الحقل بطريقة صناعية، حتى تبدأ أكثر الخلايا بعداً من الجرح بالانقسام هي أيضاً حسب هذا المستوى.

وكذلك فإن العصبونات تستخدم كذلك الحقل الكهربائي للقرنية في مساعدتها على بناء نفسها من جديد. ووجد فريق ماك كيج

لعام 1920 مرة ثانية. وبدلاً من استخدام حزم كبيرة من العصبونات تحتوي على آلاف الخلايا، استتبت روبنسون عصبوناً منفرداً لضدع. فوجد أن ذلك العصب حسّاس بشدة للحقل الكهربائي - وأن أذرع الطويلة التي تشبه الخيط وتدعى المحاور العصبية، نمت بحماس باتجاه الإلكترود السالب. ويقول روبنسون، الذي كان يدرس الحقول الكهربائية منذ ذلك الحين: "لقد بينا أن الخلايا استطاعت الاستجابة لهذه الحقول الكهربائية الصغيرة مما جعل من المعقول تصوّر إمكانية إسهام حقول كهربائية طبيعية أثناء تنامي أو ترميم العصبونات". ويضيف ماك كيج، الذي كان أحد أعضاء فريق روبنسون، قائلاً: "لم أستطع أن أتخيل بحق أن مثل هذا التأثير العميق ليس له أساس فيزيولوجي. وقد حيرني أن معظم البيولوجيين صرفوا النظر عن بحثه باعتباره قليل المردود".

لقد أكدت دراسات غفيرة منذ ذلك الحين أن الحقول الكهربائية المطبقة خارجياً يمكن أن تؤثر في سلوك الخلايا المستتبتة، مما يؤثر في طريقة هجرتها وتشكلها ونموها. وكذلك ثمة عودة لفكرة إمكانية وجود فوائد طبية للحقول الكهربائية، فبعد تجارب ناجحة على الحيوانات، يسعى فريق في مركز لأبحاث الشلل في جامعة بورديو بقيادة ريتشارد بورغينز R. Borgens، إلى تشجيع التئام أذيات النخاع الشوكي باستخدام حقل كهربائي خارجي.

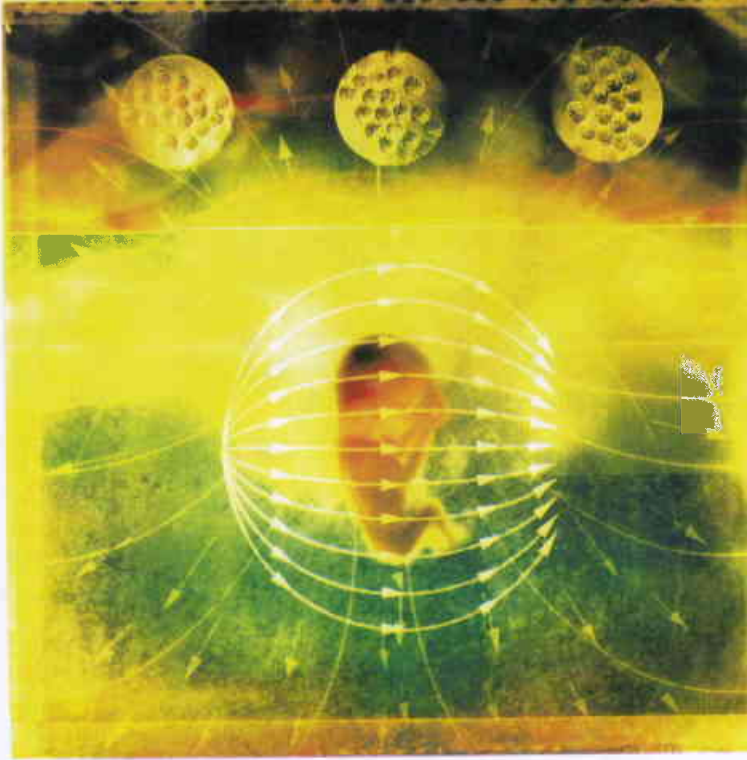
لكن إثبات تأثير الحقول الكهربائية المطبقة خارجياً في المادة الحية كإثبات شأنها من الناحية البيولوجية. ولتحقيق ذلك، لابد من تبيان أن الحقل الكهربائي المتولد داخلها يؤدي شيئاً ما مهماً.

إن الحقول الكهربائية المتولدة داخلها هي ناتج حتمي للمنظومات البيولوجية، فالأغشية الخلوية والظهائر - وهي ملاء مسطحة من الخلايا مثل الطبقة الخارجية من جلدك وبطانة أمعائك - تضخّ الأيونات روتينياً من أحد الجانبين إلى الجانب الآخر، محدثةً بذلك ممالات في الكمون الكهربائي. وهذا ما يجعلها تشبه المدخرات المشحونة، مع زيادة في الأيونات السالبة في أحد الجانبين والأيونات الموجبة في الجانب الآخر. وكل ما يلزم من أجل تدفق التيار هو قنّية channel تنفتح واصله بين الجانبين إما بسبب أذية أو بصورة مقصودة. وحيثما يوجد تيار يتدفق، لابد من قيام حقل كهربائي حتماً (انظر الصورة).

قاس الباحثون الحقول الكهربائية المتولدة بصورة طبيعية في متعضيات حية تتراوح بين الجراثيم والبشر، وفي منظومات بيولوجية تتراوح بين خلايا مستتبتة وأجنة تكون فيها الظهارة الفاصلة بين الأيونات هي أول نسيج وظيفي يتشكل. وتتراوح شدة الحقل نموذجياً بين 10 و100 ملي فولط لكل مليمتراً واحد. ولكن يمكن أن تصل الشدة أحياناً إلى 1600 ملي فولط لكل مليمتراً واحد.



"معظم بيولوجي التشكل والتنامي طرحوا هذه الفكرة جانباً لأنهم لا يستطيعون مواءمتها مع الأفكار الراهنة عن الكيفية التي يحدث فيها هذا التشكل والتنامي".



ترتبط الخلايا الظهارية، وتعتبر ضرورية لتحقيق اللاتناظر الصحيح. وعندما أعاق ليفين هذه الملتقيات الفجوية عن طريق استخدام العقاقير أو الأضداد لم تعد الجينتان Sonic hedgehog و Nodal تعبران عن نفسيهما لاتناظرياً. بل عوضاً عن ذلك تم التعبير عن الجينتين بشكل متساو على كلا جانبي الخط المتوسط.

فكر ليفين أنه يجب أن يكون هناك جزيء ما ينطلق عبر الملتقيات الفجوية ويؤسس هذا الممال الكيميائي، ولديه الآن دليل على أن القوة المحركة وراء حركة هذا الجزيء هي حقل كهربائي. فقد نفع الأجنة في صباغ متفلور حسّاس للفولطية واستطاع رسم خريطة الخواص الكهربائية المميزة للظهارة. فوجد أن للخلايا الموجودة على الجانب اليميني من الخط المتوسط كموناً غشائياً يفوق بكثير ماتملكه الخلايا الموجودة على الجانب الأيسر؛ وهو فرق يبلغ نحو 20 ملي فولط، الأمر الذي يعني وجود حقل كهربائي عبر الخط المتوسط.

ثم اكتشف ليفين أن هذا الحقل الكهربائي يعتمد على توزيع غير متساو لمضخة أيونية غشائية (تدعى أتيياز البوتاسيوم والهيدروجين) تضخ أيونات الهيدروجين (H^+) نحو خارج الخلية وتقايضها بأيونات البوتاسيوم (K^+). وبعدئذٍ تتسرب أيونات البوتاسيوم بشكل منفعل نحو خارج الخلية جاعلةً الأداخل سالب الشحنة بالمقارنة مع الخارج. هذا وتمتلك الخلايا الموجودة على الجانب الأيمن من الخط المتوسط عدداً من هذه المضخات يفوق ماتملكه الخلايا الموجودة على الجانب

أن الحقل المتولد بصورة طبيعية في قرنية متأذية قادر على تحفيز الأعصاب على النمو نحو الجرح.

ويلى ذلك كيف تحسّ الخلايا وتستجيب للحقول الكهربائية؟ لا أحد يعلم، ولكن ماك كيج يعتقد أن الحقول الكهربائية يمكن أن تجذب لبييدات أو بروتينات مشحونة في الأغشية الخلوية. إذ يقول: "هذه بالتأكيد ضرورية، لكننا لا نعرف حتى الآن جزيئاً بمفرده يلزم بوجه مطلق، فربما توجد عدة جزيئات". وثمة احتمال آخر حسب قول روبنسون وهو أن قنوات الكالسيوم المنظومة في الغشاء والتي تنفتح تبعاً لتغيرات الفولطية يمكن أن تحول الحقول المغنطيسية إلى شلال تأسيري signalling cascade. ويمكن أن يسبب الحقل انفتاح قنوات الكالسيوم مما يسمح باندفاع دفقة الكالسيوم إلى داخل الخلية. ويدوره يقوم الكالسيوم بتنشيط جزيء مرسل ثان وهكذا دواليك على طول سلسلة تأسيرية. ويدرك العلماء الآن أن الكالسيوم مهم في استجابات الخلية للحقول الكهربائية لأنه حينما يُنزع أو حينما تضاف حاصرات الكالسيوم calcium blockers إلى الخلايا في المستنبت، فإنها لاتعود تستجيب للحقول الكهربائية.

لايعتبر ترميم القرنية هو المنظومة الوحيدة التي تبينت فيها أهمية الحقول الكهربائية الفطرية. ففي العامين الأخيرين برهن ليفين أن هذه الحقول تلعب دوراً في التشكل الجنيني ولاسيما في إقامة اللاتناظر اليميني - اليساري.

انظر في المرأة فسترى كم هو جسمك متناظر! ففي كل جانب يوجد عين وأذن ومنخر وذراع ويد ورجل وقدم. ولكن إذا حدقت في الداخل ستلاحظ أن أعضاءك (بما فيها دماغك ورتيك) ليست متناظرة على الإطلاق.

لقد عرف البيولوجيون ردحاً طويلاً من الزمن أن أساس هذا التناظر وراثي؛ فهناك جينتان تشكليتان هما: Sonic hedgehog و Nodal، تفصحان عن نفسيهما في الجانب الأيسر وليس في الجانب الأيمن. وهذا يدفع بعض الخلايا في الجانب الأيسر إلى أن تصبح عضلة قلبية بينما تنمو جاراتها في الجانب الأيمن لتعطي الكبد. ومن الواضح أيضاً أن هذه الاختلافات في التعبير (أو الإفصاح) الجيني تسبقها وتستهلها ممالات كيميائية. ولكن ما لا نعرفه يتمثل في الشيء الذي ينشئ الممال الكيميائي بادئ ذي بدء، وهنا، كما يعتقد ليفين الآن، يكون الجواب هو الحقل الكهربائي.

وبالاشتراك مع روبنسون، درس فريق ليفين أجنة فراريج في مرحلة الأدمة الظاهرة epiblast stage، عندما تتألف هذه الأجنة من ما يتعدى جيب ظهاري بقليل. فهذه المرحلة هي التي تبدأ عندها الأجنة تبدي الاختلافات في التعبير الجيني عبر "الخط المتوسط" الذي يفصل بين جانبيها الأيمن والأيسر.

لقد اشتبه ليفين لأول مرة بوجود دور للحقول المغنطيسية في هذا الشأن حينما وجد أن قنّيات صغيرة جداً (تدعى ملتقيات فجوية)

المشكلات تتمثل في أن الأغلبية الكبيرة من الدراسات حتى الآن ذات علاقة متبادلة؛ فالباحثون وصفوا الحقول الكهربائية وربطوها بأحداث مهمة، لكنهم لم يستطيعوا إثبات أن هذه الحقول كانت سببية causal وليست مجرد ناتج ثانوي. أما أكثر الدراسات حداثة فيما يتعلق بترميم القرنية وعدم التناظر (الأيسر والأيمن) فقد أخذت تشرع بتبيان كون الحقول الكهربائية تحمل بحق معلومات حيوية (فراغية) spatial مهمة. ولكن مع ذلك، يشكو مؤيدو مبدأ الحقول الكهربائية من استمرار إغفال البحوث في هذا الصدد. ويقول روبنسون: "لقد طرح معظم البيولوجيين التشكّيين هذه الفكرة جانباً لأنهم لم يستطيعوا أن يلائموا مع الأفكار الراهنة حول آلية التشكل".

وحسبما يرى روبنسون وآخرون فإن المطلوب هو دمج البحوث الخاصة بالحقول الكهربائية مع علم الوراثة الجزيئي. ويضيف قائلاً: "يجب علينا أن نبين مستهدفات الحقول الكهربائية. وهذه مسألة رئيسة في فهم كيف تحسّ الخلايا الفرادي وتستجيب للحقول الكهربائية. ونحن نملك الآن الأدوات اللازمة لاستجلاء ذلك".

هذا هو سبب تحوّل اهتمام روبنسون من الضفادع إلى ذبابات الفاكهة. وهكذا يفهم الكثير من علم الوراثة التطوري لهذه الذبابات بحسب قوله الذي يرى بأنه سيكون من الأسهل بكثير إظهار كون الحقول الكهربائية عاملاً مسبباً في التشكل.

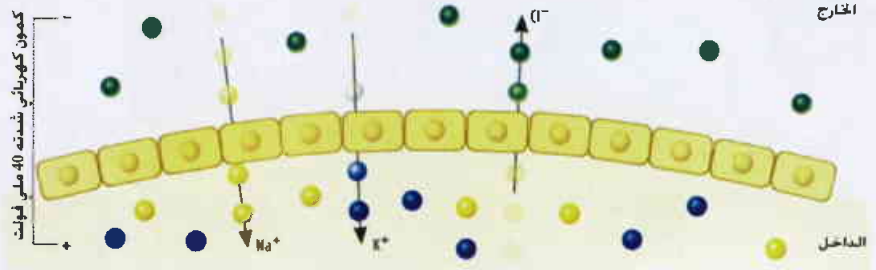
وفي أحدث تجربة له طبّق روبنسون حقولاً كهربائية على أرومة عصبية لذبابة الفاكهة؛ وهي شريط صغير من نسيج جنيني يتطور إلى جهاز عصبي تنمو في طبق. وباستخدام حقل كهربائي شدته 2 ملي فولت فقط لكل قطر خلية، استطاع تغيير التوجيه الأمامي - الخلفي في الأرومة العصبية. وفي الجنين الحي للذبابة تكون الأرومة العصبية محاطة بظاهرة ذات كمون شدته من 30 إلى 50 ملي فولت عبرها. وكما يقول روبنسون فإن النتائج توحي بأن الحقل الكهربائي قد يروّد الأرومة العصبية النامية بدلالات حيوية فراغية. ويعتزم في خطوته التالية أن يستخدم الكمون الكهربائي في جنين حي لمعرفة ما يفعله هذا الكمون لتنامي وتشكل الجهاز العصبي.

وفي تلك الأثناء تحوّل ليفين إلى الدودة المسطحة Dugesia japonica لدراسة دور الحقول الكهربائية في عملية التجدد regeneration. فإذا قطعّت الدودة المسطحة في الوسط فإن كلا النصفين ينمو من جديد ليستكمل الرأس أو الذيل وتصبح بعد ذلك دودتين. وعلى مدى مئات السنين تساعل العلماء كيف تعرف النهاية المقطوعة ما إذا كانت ستؤول إلى رأس أم ذيل. وفي الخمسينيات

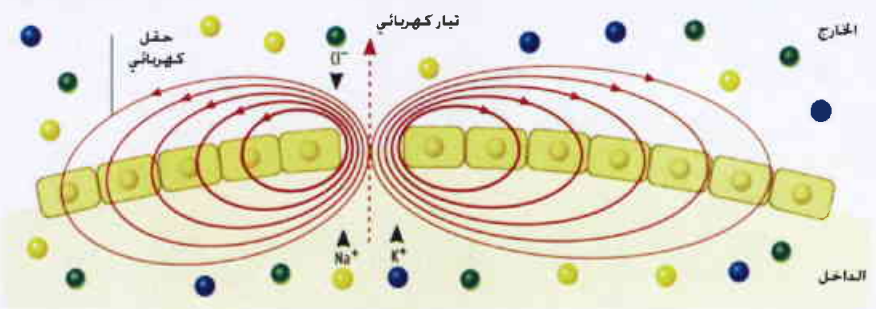
"هنالك إحياء لفكرة إمكانية أن يكون للحقول الكهربائية فوائد طبية. ويسعى أحد الأفرقة البحثية لاستخدامها في تشجيع التام الأذيات الشوكية".

كيف تولّد طبقة من الخلايا حقلاً كهربائياً

تنشئ المضخات الأيونية مالا كهربائياً



إذا انفتحت قناة، سيندفع تيار ينشئ حقلاً كهربائياً



الأيسر. فإذا ما جرى إخماد هذه المضخات صنعياً لا يختفي الحقل الكهربائي فقط، بل يختفي كذلك التعبير الجيني اللامتوازن، وتنمو الأعضاء في هذه الأجنة عشوائياً في كلا الجانبين (Cell)، المجلد 111، ص 77).

إن ما يبقى مجهولاً هو اللغز الذي يستجيب للحقل الكهربائي للجنين. وأياً كان هذا الجزيء، فإنه يجب أن يكون صغيراً بالقدر الكافي لمروره الحشري في الملتقيات الفجوية، وينبغي أن يحمل شحنة كهربائية في شروط الجسم السوية. كما أن ما يسبب عدم التناظر في توزيع الأتيياز غير واضح أيضاً. ولكن مع ذلك، أحدث ليفين اختراقاً علمياً مهماً تمثّل بإثبات أن الحقل الكهربائي يلعب دوراً حاسماً وغير معروف سابقاً في تضخيم الإشارة التشكلية developmental signal.

ومع ذلك لم يقنع الجميع بذلك. إذ يقول كليفورد تابين C. Tabin، وهو متخصص في بيولوجيا التشكل بجامعة هارفارد، بأن العديد من البيولوجيين يوافقون على أن الحقول الكهربائية تؤثر في سلوك الخلية، ولكن معظمهم يشك بأنها تستخدم كدالات حيوية spatial cues. ويضيف قائلاً: "لم أر أي بحث مقنع حول هذا التأثير. يضاف إلى ذلك، وجود تاريخ طويل لأبحاث سيئة في هذا المجال تثبط استثارة المرء بدراسات جديدة".

أما روبنسون فيجيب قائلاً: "ليس لدي أي مشكلة كبيرة في ذلك، وعلينا يقع العبء في حل القضية". ونشير هنا إلى أن إحدى

إصابة المرأة بالاكتئاب ازداد صغر حجم الحصين عندها، لم يكن ممكناً تفسير النتائج بوساطة النظرية الرئيسية "القائدة" للاكتئاب، والتي تقبل أن هذه الحالة يسببها نقص مستويات نواقل عصبية تدعى الأمينات الأحادية في الدماغ. فهذه الجزيئات الصغيرة ومن ضمنها السيروتونين - تمرر الإشارات من عصبون إلى العصبون التالي له، لذلك فإن استنفادها يجعل التخاطب الدماغي يسير ببطء. ويبدو أن نجاح هذه الفرضية لا لبس به بعد النجاح الكبير الذي أحرزه استعمال العقاقير المضادة للاكتئاب، والتي صنفت تبعاً لتأثيراتها في النواقل العصبية. وعلى سبيل المثال، صنف عقار بروزاك Prozac كمثبط انتقائي لإعادة قبط reuptake السيروتونين (SSRI)، لأنه يرفع مستويات السيروتونين. ثم وجدت أدوية مثل NARIs تزيد مستويات النور أدرينالين وأخرى مثل SNARIs وNASSAs ترفع مستويات النورأدرينالين والسيروتونين معاً.

لقد صمدت النظرية نحو 40 عاماً، وأصبحت مرجعاً في الثقافة العامة. ولكن بدا أن الفروق التشريحية ستنتسفها. لقد كان واضحاً على الدوام أن الاكتئاب أكبر من أن يكون مسألة نضوب لنواقل عصبية، وناهيك عن الإمكانية المشوشة بأن الاكتئاب يمكن أن يسبب عطياً دماغياً مستديماً أو أن يتسبب عن هذا العطب.

ومع أنه ما من أحد يماري بفكرة لعب كيمياء مثل السيروتونين دوراً مهماً في تنظيم المزاج، فقد بدأت المكتشفات تثير الشكوك حول صحة نظرية الأمينات الأحادية الخاصة بالاكتئاب. ويقول جورج زوبينكو G. Zubenko الخبير في وراثته الاكتئاب في جامعة بترسبورغ في بنسلفانيا: "كنا نقول لمرضاة المصابين بالاكتئاب أن لديهم القليل من السيروتونين وأن الشفاء ممكن بمعاوضته". ثم يستطرد قائلاً: "إنها تبدو حكاية جذابة وبسيطة ولكنها بالتأكيد غالباً ما تكون غير صحيحة".

وعلى سبيل المثال، مع أننا نعرف أن جرعة واحدة من عقار مضاد للاكتئاب تكفي لرفع مستويات الناقل العصبي في غضون ساعات، فإنه يجب في العادة الانتظار بضعة أسابيع قبل حدوث أي تفريج للمرض. وعلى الرغم من أن مضادات الاكتئاب الحديثة قد تملك القليل من الآثار الجانبية مقارنة مع العقاقير الأقدم منها، فإنها يصعب أن تكون علاجاً شافياً بإعجاز. فحوالي النصف فقط من المرضى الذين تناولوا هذه العقاقير أحرزوا شفاءً تاماً من الأعراض، يُعزى بعض هذا التحسن إلى مفعول غفل placebo قوي. والأكثر إقلاقاً يتمثل في أن الركن الأساسي من هذه النظرية لم يثبت بشكل مباشر على الإطلاق. ففيما عدا عدد قليل من المرضى المصابين بالاكتئاب بشدة، تبقى مستويات الأمينات الأحادية في أدمغة معظم المرضى سوية المقدار. ولا يبدو أن معطيات شيلين قد جعلت الأمور تبدو أكثر وضوحاً.

من القرن الماضي اكتشفوا أن القرار يمكن أن يتأثر بحقل كهربائي مطبق خارجياً، فإذا طبقت في أحد الاتجاهين لتعطي رأساً تنمو الشدفة دوماً لتعطي رأساً، وإذا عكست القطبية ينمو ذيل على الدوام. وهذا ما يدفع للتفكير بأن الحقول الكهربائية الفطرية يمكن أن تضطلع بظاهرة التجديد لدى الدودة.

أثبت ليفين مؤخراً أنه يوجد ممال gradient فولطية طبيعي بين ذيل الدودة المقطوع والمكان الذي كان فيه رأس الدودة قبلاً. وبعد ست ساعات من قطع الرأس تتجمع مضخات أتيناز أيونات البوتاسيوم والهيدروجين في موقع الجرح، وتعد هذه المضخات ضرورية لتشكيل ممال الفولطية. فإذا حوصرت هذه المضخات يخفتي ممال الفولطية ويعطي الجرح عوضاً عن ذلك ذيلًا ثانياً.

والآن يجهد معظم باحثي الحقل الكهربائي في جعل علمهم هذا على قدم المساواة مع ميادين البيولوجيا الأخرى. ولكن بعضهم يتطلع إلى جوائز أكبر. وعلى المدى الطويل، كما يقولون، يمكن أن يؤدي البحث إلى اكتشافات طبية مهمة كالعقاقير التي تسرع الالتئام، أو المعالجات الكيميائية التي تساعد في التئام الجروح أو تجدد الأعصاب. ويقول ليفين: "أعتقد أن فهم الطاقات الكهربائية الحيوية الداخلة في سيرورات الحياة ستنجح إمكانيات تعادل في عظمها أو تفوق تلك الناجمة عن الثورات الحديثة في علم الوراثة الجزيئي".

5- تشريح اليأس *

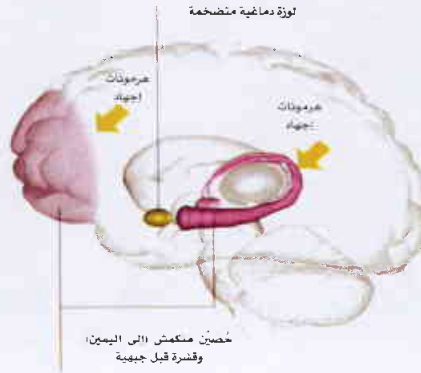
لقد أدى اكتشاف تلف في أدمغة مرضى الاكتئاب إلى إلغاء نظريات سائدة منذ وقت طويل حول شروط هذا الاختلال. ولكنه يمكن أن يقودنا إلى معالجات أكثر نجاعة.

لقد ظن معظم الناس أن الطبيعة النفسية إيفت شيلين Y. Sheline كانت تضيق وقتها هدرًا. ففي أواخر 1990، حينما أخذت المسوح الدماغية ذات الميز العالي تشيع بشكل واسع، قررت شيلين دراسة تشريح أدمغة مرضاها المصابين بالاكتئاب. وفي حينها كان الرأي السائد يتمثل في أن سبب الاكتئاب يكمن في اختلال توازن كيميائي بالدماغ، لذلك لم تجد شيلين في البداية تمويلًا لمشروعها. وهذا ما دفعها للقول "أنها سارت حقاً ضد مسار التفكير في ذلك الزمن".

ولكنها في نهاية المطاف، تدبرت مع زملاء لها في جامعة واشنطن في سانت لويس الحصول على منحة صغيرة small grant لإجراء مسح "تصويري لأدمغة" 10 نساء يعانين من نوب اكتئاب كبرى معاودة و10 حالات شاهدة control تضاهيها. ومما يدعو للدهشة ملاحظة أن المنطقة الدماغية المدفونة عميقاً تحت نصفي الكرتين المخيين، والمعروفة باسم الحصين hippocampus، كانت أصغر حجماً بنحو 15% في النساء المصابات بالاكتئاب. وأنه كلما طالت مدة

الدماغ القسب

يمكن للاستعداد الوراثي أو للرضح trauma أن يؤدي إلى تضخم مفرط، لتؤثر الدماغية، وهي منطقة دماغية تحكم الانفعالات وتؤدي فعاليتها المفرطة إلى تلف الحصين، والتأثير في مقدرته على تنظيم هرمونات الإجهاد القوي، التي يمكن أن تؤدي كذلك مناطق أخرى من الدماغ.



الجبهة prefrontal cortex التي يعتقد أنها تلعب دوراً مهماً في السرحان الفكري السلبي وفي نماذج التفكير المضطرب الأخرى للاكتئاب، وجد الباحثون عصبونات صغيرة شاذة ونقصاً في خلايا الدعم الدماغية المعروفة بالدبق العصبي glia. وفي الوقت نفسه، فإن لوزة الدماغ amygdala التي تعتبر بنية دماغية تتحكم في تعابير الخوف والقلق تكون أشد ضخامة عند كثير من مرضى الاكتئاب. ومع أنه من غير الواضح بعد أن الإجهاد مسؤول أيضاً عن هذه التغيرات، فإن هذه الأخيرة يمكن أن تعد نقطة البدء في تفسير صنوف الأعراض التي يشعر بها المرضى.

ولكن لم تمنح هذه المكتشفات سبباً للتفاؤل، فالإكتئاب الذي لم نزل نصف أعراضه الكبرى "والى حد كبير" بلغة نفسية، أصبح فجأة يشارك في ملامح أمراض تنكسية عصبية خطيرة مثل داء بركنسون والزهايمر. فالتلف الدماغي أصعب على المعالجة بكثير من معالجة عدم التوازن الكيميائي، ولابد من نظرية جديدة تستوعب هذه المكتشفات الجديدة المعقدة. فما الذي، على سبيل المثال، قدح منظومة الإجهاد لتصل الطريق في المقام الأول؛ ولماذا يرتكس بعض الناس للإجهاد على هذا النحو، بينما يواجه آخرون دون أن تظهر عليهم علامات المرض؟

وفي جامعة يال تحول رونالد دومان R. Duman للتفكير بطرق لتكثيف النظريات القديمة بحيث تأخذ بالحسبان المكتشفات الدماغية الحديثة. ومما شجعه على ذلك أن بعض المعالجة بعقار بروزاك ومضادات الاكتئاب الأخرى تكون على الأغلب ناجحة جداً، الأمر الذي يدعو للاعتقاد أن نظرية الأمينات الأحادية لم تكن خاطئة كلياً. وكذلك، لوحظ أن العقار بروزاك وبعض العقاقير الأخرى تزيد مستويات مادة تعرف باسم: العامل المغذي العصبي المشتق من الدماغ brain-derived neurotrophic factor (أو اختصاراً BDNF) في الحصين. وقد صنفت هذه المادة في الأصل مع عوامل النمو المعنوية في نماء الجهاز العصبي، إلا أننا نعلم الآن أنها مهمة في تكفل عصبونات دماغ الفرد البالغ وحمايتها. لذلك، اقترح دومان وزميله جورج هينينغر G. Henninger وإريك نستلر E. Nestler (الذنان يعملان الآن في مركز ساوث وسترن الطبي التابع لجامعة تكساس بدلاس) فرضية تدعى: "الفرضية المغذية العصبية للاكتئاب" neurotrophic theory of depression والتي نستطيع بمقتضاها أن نغزو التأثيرات المضادة للاكتئاب لأدوية مثل بروزاك إلى الطريقة التي تبقى فيها هذه العقاقير الخلايا حية في الحصين.

وبعد مرور ثلاث سنوات على بحث شيلين ظهر اكتشاف دماغي مهم أدى إلى دمج جميع المعطيات في تصور كلي جديد. فخلال

إذ جاء تفسيرها المفضل معتمداً على نظرية صاغها روبرت سابولسكي R. Sapolsky من جامعة ستانفورد في كاليفورنيا وبريوس ماكينون B. McEwen من جامعة روكفلر في نيويورك. فخلال فترة الثمانينيات من القرن الماضي أظهر هذان الأخيران انكماش الحصين في أدمغة الحيوانات التي تتعرض لإجهاد stress مزمن. وعلى سبيل المثال، تموت ذكور القردة التابعة (الخاضعة) التي كانت تتعرض باستمرار للمشاق من قبل الأفراد المهيمنة في قطيعها خلال مراحل العمر المبكرة بالمقارنة مع أنداها. يضاف إلى ذلك ما لوحظ من نقص كبير في أعداد الخلايا في حصين أدمغتها.

واستجابة للإجهاد، تطلق بعض خلايا الدماغ المتخصصة شلالاً من إشارات هرمونية تحث الغدة الكظرية على توليد هرمون الكورتيزول، المعروف بكونه ستيروئيد شديد الفعالية. ونذكر أن هذا الهرمون يلعب دوراً مهماً في المحافظة على حياة الفرد حين يُقدح في مواقف "الكر أو الفر" fight or flight الحادة عبر استنفار مخزونات الطاقة في الجسم. ولكن سابولسكي وماكينون يعتقدان أن التأثير المتراكم للكورتيزول يدمر الجسم والدماغ (انظر جسم وروح). فهو يقلم الاستطالات (الخلوية) العظوية ذات التفرعات الرهيفة التي تُعرف بالتغصنات والتي تتلقى عبرها عصبونات الحصين مدخولاتها من الخلايا الأخرى، وقد يدمر بعض الخلايا الأخرى تدميراً كلياً. ولما كان الحصين السليم يقوم بدور مخمد لإفراز الكورتيزول، فإن عطبه، يوقف عمل صمام إقفال حاسم crucial shut-off valve، ويُطلق عنان دورة فيزيولوجية معيبة.

ونعرف جيداً منذ زمن بعيد ارتفاع مستويات الكورتيزول لدى البشر المصابين بالاكتئاب، وقد ولد ذلك شعوراً عند شيلين أن مرضاها المصابين بالاكتئاب إنما كانوا يعانون من انكماش حصيني كالذي يشاهد في الحيوانات. ولكن، كيف يمكن تفسير أعراض الاكتئاب؟ إن وظيفة الحصين الرئيسية تكمن في التعلم والذاكرة. ومع أن مرضى الاكتئاب قد تتنامى لديهم اضطرابات ذاكرة، ولكن هذا ليس العرض symptom الأكثر وضوحاً. صحيح أن الحصين يقيم اتصالات له مع مناطق الدماغ الأخرى المسؤولة عن ضبط المزاج والوجدان، ولكن يبدو من الصعوبة القبول بأن عطب الحصين وحده يمكن أن يولد كل هذه التشكيلة المتنوعة من الأعراض المشاهدة. وعلى كل حال، لم يمض وقت طويل حتى أماطت دراسات أخرى اعتمدت على التصوير (المسحي) وفحص الجثة بعد الوفاة post mortem studies اللثام عن وجود اختلافات تشريحية في مناطق أخرى "غير الحصين" من أدمغة مرضى الاكتئاب. ففي القشرة المخية قبل

العقل والجسد

إن تأثيرات الاكتئاب في العقل معروفة جيداً، ولكن غالباً ما يغض الطرف عن أعراضه الجسدية. فعلى المدى الطويل، ثمة تشكيلة واسعة من المخاطر الصحية:

بالنسبة للعقل: مزاج مكتئب، هيجية، irritability انخفاض الثقة بالنفس، مشاعر ذنب وقنوط وتماهة، ضعف تركيز، عدم اكتراث بالملذات والجنس، ومن ثم خواطر انتحار.

بالنسبة للجسم: نقصان أو زيادة في الشهية، نقصان أو زيادة في الوزن، أرق أو الإفراط في النوم، نقص في الطاقة، تعب، ومن ثم ضعف عضلي.

تأثيرات ممكنة على المدى الطويل: استجابة مناعية ضعيفة، انسدادات شريانية، زيادة شحوم في البطن، سرطان، نوبات قلبية، ومن ثم سكتة دماغية.



الجسد والروح

تقول الطبيبة النفسية غليندا ماكوين من جامعة ماك ماستر في أونتاريو، بكندا: "لسوء الحظ غالباً ما يُوسم هذا الداء illness" ثم تتابع قائلة "إنه يركز انتباهنا على اضطراب المزاج ويجعلنا نتناسى باقي الجسد، إلا أن للاكتئاب عواقب تحت العنق وفوقه على حد سواء".

يعتقد بعض الباحثين أن أعراض هذا المرض تعكس عيوباً في منظومات أجسامنا الفيزيولوجية الأساسية الأكثر أهمية وتقول ماكوين: "فكل دافع أولي، يجعلنا نأكل أو ننام أو نمارس الجنس أو نعتني بأنفسنا بقصد البقاء أحياء، إنما يتأثر بالمجموع بهذا الداء". وتضيف ماكوين قائلة "لابد أن شيئاً ما يكاد أن يكون واسع الانتشار في أحد المستويات الأساسية". ويوافق على ذلك جورج زوبينكو من جامعة بتسبورغ في بنسلفانيا. ففي أثناء تسخيرها عائلات مصابة بالشكل الشديد للداء بغية إجراء دراسات وراثية، وقع على نموذج تحديري يتمثل في أفراد من هذه العائلات يموتون في سن أبكر بثماني سنوات وسطياً بالمقارنة مع عامة الناس. ويموت كثير من أطفالهم في السنة الأولى من أعمارهم بمعدلات أكبر بخمس مرات. ولا يمكن أن تُعزى هذه الإحصائيات إلى الانتحار أو القتل أو السرف بالمخدرات. ويقول زوبينكو: "إنهم يموتون نتيجة للأسباب ذاتها التي تقتل بقية الناس، كمرض القلب والسرطان والسكتة الدماغية ولكن في وقت مبكر كثيراً".

وفي أواسط العام الماضي اكتشف زوبينكو أن 81% من النساء المصابات باكتئاب شديد في إحدى العينات المدروسة كُنَّ يحملن طفرة في المورثة (الجيئة) التي تُرمَز (تكود) بروتين CREB. إن هذا يستطيع قُدح التكون العصبي ولكنه يؤثر أيضاً في الذاكرة والنظم اليوماوية (السرادية). والأهم من ذلك تأثيره في تنظيم إنتاج الغلوكوز في الكبد وسيطرته على إمدادنا بالطاقة. وتعبير آخر، فهو يؤثر في سيرورة process فيزيولوجية أساسية يمكنها التأثير في أجسادنا كاملة، تماماً حسبما تفترض ماكوين.

أما بربوس ماكوين من جامعة روكفلر في نيويورك فلديه تفسير آخر. إنه ينظر للاكتئاب على أنه علامة اضطراب في استتباب معايير allostasis، يهدف إلى التنسيق المتقن القائم بين الأجهزة العصبية والمناعية والهرمونية الموجودة في أجسامنا والتي تبقّيها ضمن المجال الفيزيولوجي الضيق الضروري للحياة. وعندما يتعرض أحد هذه الأجهزة لتحدٍّ ما من جانب ما أسماه ماكوين حمولة استتبابية مغايرة allostatic load كالإجهاد أو ربما قلة النوم وقلة الأكل وحتى ضغط الإنهاك في أثناء حياتنا اليومية، فإنه يكون على الأجهزة الأخرى أن تقوم بالمعاوضة، ولكن ثمة حدود لإمكانات الجسم على التلازم (التكيف). ويقول ماكوين: "إذا بدأت بتشخيص الاكتئاب فإن الحمولة الاستتبابية المخالفة قد تسبب جانباً كبيراً من التبدلات في باقي الجسم".

ولكن ماكين متفائل باكتشاف عقاقير جديدة تثبط الاستجابة للإجهاد، أو تصون أو تسد نقص العصبونات الحصينية وتقد الأرواح، "ويمكن لغزو الاكتئاب عند هذا المستوى أن يقضي بعضاً من هذه العواقب الثانوية المهمة التي تقتل الناس فعلياً".

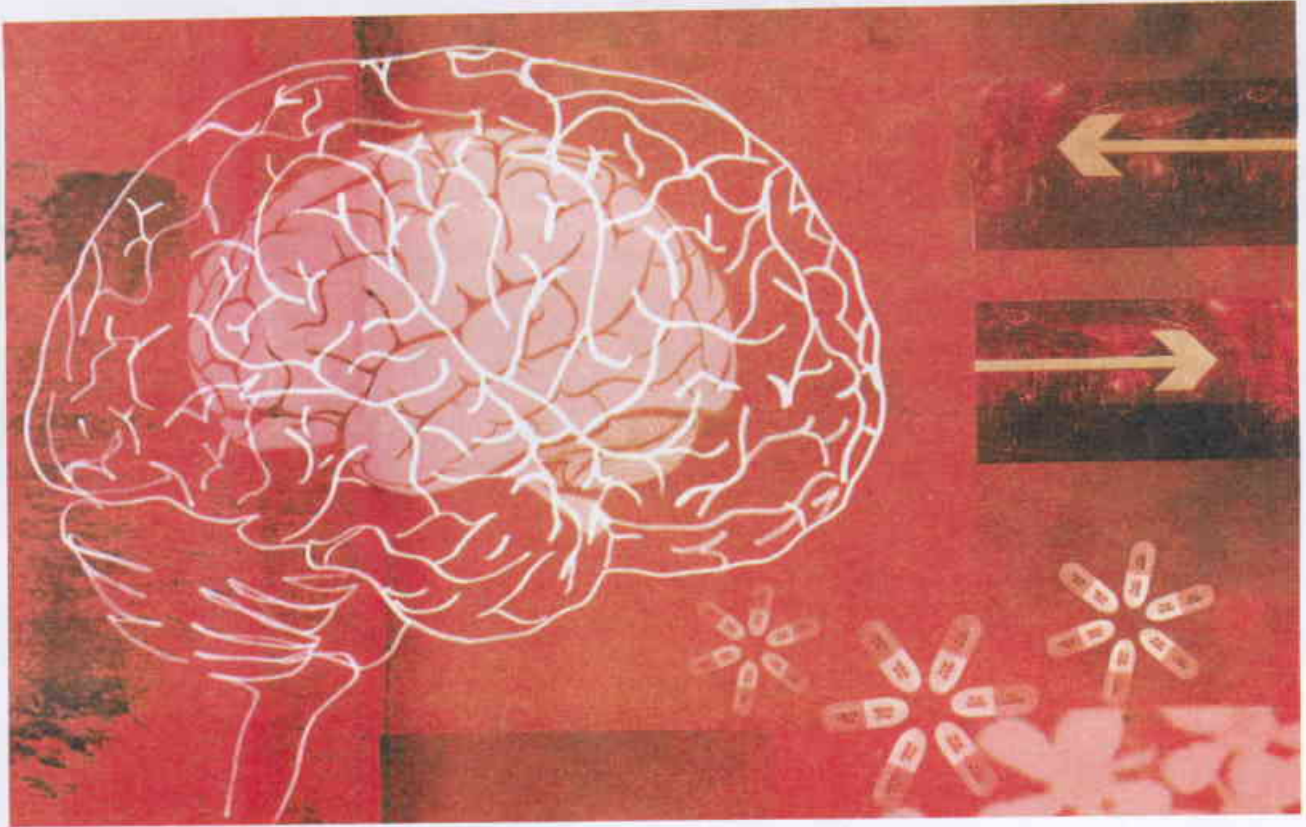
يبدو سيرورة التكون العصبي في الحصين (مجلة نيوسيانست 12 شباط).

ولإثبات العلاقة السببية ضَمَّ دومان جهوده إلى جهود رين هين R. Hen من جامعة كولومبيا في نيويورك في اختبار هذه الفكرة عند الفئران. فمن المعلوم أن نقل الفأر إلى بيئة جديدة يجعله قلقاً وتسوء تغذيته، ويعرف هذا التأثير بالاعتداء المكبوت بالمنبه غير المألوف. ولقد استخدمت هذه الملاحظة كنموذج "موديل" حيواني للاكتئاب والقلق. فحينما كان فريق البحث يعطي هذه الحيوانات عقاقير مضادة للاكتئاب أصبحت الفئران أقل قلقاً وعادت تغذيتها إلى الوضع السوي. ولكن إذا ما تعرضت هذه الفئران كذلك لجرعة صغيرة من الأشعة السينية موجّهة توجيهاً نحو الحصين بغية كبت التكون العصبي فيه فإن هذه الحيوانات تبقى بحالة قلق. ويوحى ذلك بأن التكون العصبي ربما يكون مفتاح المعالجة المضادة للاكتئاب.

واصل دومان عمله ليبين أن جميع أصناف مضادات الاكتئاب الأخرى، وكذلك المعالجة بالاختلاج الكهربائي electroconvulsive therapy (ECT) إنما تبعث على ولادة خلايا حصينية جديدة من خلال زيادتها مستويات العامل المغذي العصبي

للاعتقاد الذي ساد لفترة زمنية طويلة والذي يرى أن العصبونات الجديدة لا تتولد إلا خلال فترة التنامي الدماغي، وأن موت الخلايا العصبية في سن اليافع لا يمكن تعويضه؛ بين باحثون من فريقين مختلفين وكل على حدة بفارق شهور قليلة بينهما (وهما فريق فريد غيج F. Gage في معهد سالك بسان دياغو في كاليفورنيا، وفريق إليزابيث غولد E. Gould من جامعة برينسيبتون) أن حصين دماغ اليافع يستطيع بالفعل أن يولد خلايا دماغية جديدة، وبالتالي، فإن التلف الدماغي الذي يشاهد لدى مرضى الاكتئاب ربما لا يكون ناتجاً عن خلايا تموت، بل ناتجاً أيضاً عن نقص في ولادة خلايا جديدة، وهي سيرورة تدعى "التكون أو التخلق العصبي" neurogenesis. ومن خلال المزيد من الملاحظات العملية يبدو أن هذه السيرورة يمكن أن تكون عكسية reversible.

تلقف دومان سيرورة التكون العصبي واعتبرها امتداداً منطقياً لنظريته التي ترى أن مضادات الاكتئاب تبقّي الخلايا الحصينية حية عبر زيادة مستويات العامل المغذي العصبي المشتق من الدماغ (BDNF)، ويبين من خلال عمله بالتوازي مع زميل لفلود يدعى باري جاكوبس B. Jacobs في وقت لاحق أن عقار بروزاك يُحرّض على ما



وبالفعل، فقد بينَ دومان وزملاؤه أن بإمكانهم تماماً عكس التأثيرات السلوكية للاكتئاب عند الجرذان في غضون ثلاثة أيام فقط، وذلك بتسريب (بحقن) جرعة واحدة من BDNF داخل أدمغتها. صحيح أن الحقن داخل الدماغ البشري قلماً يكون عملياً، ولكن ثمة عقاقير تستطيع زيادة مستويات CREB و BDNF تعرف باسم مثبطات الفسفوثنائي استيراز. وتستعد شركة تعمل في هذا المجال (وتدعى Memory Pharmaceuticals في مونت فال بنيوجرسي) لمباشرة التجارب السريرية الأولى لأحد هذه العقاقير على المرضى المصابين بالاكتئاب. ونذكر أن هذه العقاقير التي صممت بالأصل لتقوية الذاكرة في حالات كداء الزهايمر. تبين الآن أنها ذات مفاعيل مضادة للاكتئاب لدى حيوانات المختبر.

ولكن لا يزال هناك بعض الألعاز تنتظر الحل، وبخاصة كيفية قدح هذه الحالة في المقام الأول. ويعتقد دينيس تشارني D. Charney (رئيس برنامج اضطرابات المزاج والقلق في المعهد الوطني للصحة العقلية بميريلاند) أن مفتاح الحل يكمن في ضخامة اللوزتين الدماغيتين. ووفقاً لرؤية تشارني فإن الهرمون الذي ينتجه الدماغ لاستهلاك إطلاق الكورتيزول من الغدة الكظرية خلال الإجهاد إنما يتم إنتاجه في لوزتي الدماغ كذلك حيث يؤدي فيهما وظيفة ناقل عصبي.

إن عمل هذا الهرمون كناقل عصبي (في اللوزتين) مستقل عن استجابة الإجهاد، ولكن تشارني وماكيون يستشفان أن الناس المؤهين للإصابة بالاكتئاب ينتجون كمية كبيرة منه، وإذا صادف

المشتق من الدماغ. وفي دراسات أخرى، أوضح غيج وكارل كوتمان C. Cotman من جامعة كاليفورنيا في إيرفين أن التمارين الفيزيائية (الجسدية) التي نعرف أنها تحسّن أعراض الاكتئاب عند البشر يمكنها أيضاً أن تحضّر التكون العصبي. ومن جهة أخرى، بينَ فريق دومان أن عقار بروزاك يحتاج إلى ثلاثة أسابيع تقريباً لإزالة أعراض اليأس despair عند الفئران الكئيبة، وأن هذا الزمن يعادل تماماً الزمن اللازم ليستطيع العقار تحريض التكون العصبي.

ومع أن التكون العصبي هو جوهر فعل البروزاك، فإن تأثير هذا العقار في مستويات السيروتونين يظل الخطوة الرئيسة الأولى. فإزدياد السيروتونين يرفع مستويات بروتين يعرف باسم CREB موجود بداخل الخلايا العصبية، وهذا يرفع بدوره مستويات العامل المغذي العصبي المشتق من الدماغ الذي يحضّر من جانبه أخيراً التكون العصبي.

بعد التسلح بهذه المعرفة، نشر دومان وغيره من الباحثين أن ثمة أكثر من طريق فعال لعلاج الاكتئاب. وأن أفضلها ذلك الذي يؤثر مباشرة في الشلالات الكيميائية التي تحدث بداخل الخلايا بدلاً من تداول النواقل العصبية في مستوى المشبك، وأن مثل هذه الطرائق المباشرة لا بد أن تكون أسرع مفعولاً وأقل تسبباً بتأثيرات جانبية. ويأمل الباحثون أن ذلك سيشفئ ملايين المرضى الذين لم يستجيبوا للعلاجات المتاحة حالياً. ويقول دومان: "إذا استطعنا استهداف بعض هذه المواضيع داخل الخلايا أعتقد بأن سيعدّ بأن ذلك يكون أشد فعالية بكثير".

ما هي أشكاله في البيئة؟

إن أكثر الأشكال الشائعة للزئبق والتي تظهر بشكل طبيعي في البيئة هي الزئبق المعدني والأملاح اللاعضوية التي تضم كبريتيد الزئبق، وكلوريد الزئبق، وكذلك ميثيل الزئبق. ويمكن للمتعضيات الدقيقة والعمليات الطبيعية المختلفة أن تغير شكل الزئبق في البيئة. فالزئبق المعدني يمكن أن يتحد مع عناصر أخرى ليؤلف مركبات الزئبق اللاعضوية. كما يمكن لمركبات الزئبق اللاعضوية أن تتحد مع الكربون لتؤلف مركبات زئبق عضوية. وبدورها يمكن أن تتغير مركبات الزئبق العضوية هذه إلى مركبات لاعضوية. ويُعدُّ ميثيل الزئبق أكثر الصيغ التي تتولد بواسطة هذه العمليات الطبيعية شيوعاً. لهذا المركب شأن خاص لأنه يستطيع أن يتراكم حيويًا من خلال السلسلة الغذائية. أي أن المتعضيات والنباتات الصغيرة تتناول ميثيل الزئبق كغذاء لها، ثم تتناول الحيوانات الأعلى منها في السلسلة الغذائية هذه النباتات والمتعضيات، وتتواصل العملية وتتزايد مستويات ميثيل الزئبق بارتقاء السلسلة الغذائية. وما يعتبر ذا أهمية خاصة هو التراكم الحيوي للزئبق في السمك والمحار بحيث يمكن أن يفوق تركيزه فيها بكثير نظيره في الماء المحيط وفي السمك الأدنى مرتبة في السلسلة الغذائية. بيد أن، الزئبق لا يتراكم حيويًا في نباتات الياقوت؛ ونشير هنا إلى أن النسبة المثالية للتركيز في النباتات إلى التركيز في التربة يقدر بـ 0.2 (أو 20%). وفي الولايات المتحدة يتراوح تركيز الزئبق في التربة المحتوية على المستويات الطبيعية للزئبق بين أقل من 0.02 من المليغرام إلى حوالي 6 مليغرامات من الزئبق لكل كيلو غرام من التربة (ملغم/كيلو). ويرشحُ الزئبق ببطء نوعاً ما، مع تركيز له في دقائق التربة يفوق بحوالي 10 إلى 100 ضعف تركيزه في الماء الموجود بين دقائق التربة. أما في الجو، فإن تراكيز الزئبق تتراوح من حوالي 0.01 إلى 0.02 الميكروغرام لكل متر مكعب من الهواء (مكروغرام/متر³).

ماذا يحدث له في الجسم؟

يمكن للزئبق أن يدخل الجسم بشكل أولي عبر استنشاق الهواء أو تناول الطعام أو ملامسة الجلد. أمّا كم الزئبق الداخل إلى الجسم وما يحدث له فإنه يعتمد على شكل الزئبق وطريقة التعرض (أي، عبر الهواء أو الطعام أو الجلد). فحيثما يتم استنشاق أبخرة الزئبق المعدني، يحدث امتصاص ما يوازي نسبة 80% منه. بعد عملية تناوله، مع العلم بأن امتصاصه بعد دخوله جهاز الهضم يكون أقل من 0.01% بالنسبة للزئبق المعدني، وأقل من 10% بالنسبة للزئبق اللاعضوي، وأكثر من 95% بالنسبة للزئبق العضوي. وكذلك يمكن أن يتم امتصاص الزئبق من خلال الجلد، ولكن تكون الكمية صغيرة إذا ما قورنت بالتنفس أو الابتلاع. حالما تدخل الجسم مركبات الزئبق المعدني والعضوية فإنها تصل بسهولة إلى معظم الأنسجة، بما في ذلك الدماغ؛ كما يصل الزئبق أيضاً إلى الجنين المكتمل في

وجود استعداد وراثي لتضخم لوزتي الدماغ المفرط وفعاليتها الزائدة لدى هؤلاء المؤهين، فإن ذلك يحاكي تأثيرات البقاء في حالة إجهاد مستمر. وبدوره، يمكن أن يباشر هذا الأمر دورة التلف في الحصين والقشرة المخية قبل الجبهية (انظر الدماغ المكتئب). ويقول تشارني أن العقاقير التي جرى تطويرها لكي تحصر block فعل هذا الناقل العصبي قد "أبليت بلاءً حسناً" في الدراسات على الحيوانات، وهو متفاؤل بأنها ستكون علاجاً ثميناً في معالجة الاكتئاب.

ولا يزال أمامنا طريق طويل نمشي، فالإكتئاب "مرض" معقد وربما يتضمن عدة جينات تعمل بتناغم مع قادحات بيئية. ووفقاً لما تراه الطبيبة النفسية غليندا ماكوين G. McQueen من جامعة مانشستر في هاملتون، بأونتاريو فإنه يوجد أربع طرق رئيسية في موضوع الاكتئاب وهي: الاستعداد الوراثي، والإهمال السرف abuse في المراحل المبكرة من العمر، وتصاغر بنى عصبية تحت وطأة الإجهاد الزمن طيلة العمر، وأخيراً التعرض لحدث رضحي كبير في سن البلوغ وتقول ماكوين: يختلف الوزن والاحتمال لكل واحد من هذه العوامل من فرد لآخر.

وختاماً، ربما يكون السبب الرئيس للاكتئاب مختلفاً باختلاف الناس، كما وقد يختلف سياق المعالجة الأمثل من شخص لآخر. "وأعتقد أن البحث الطويل جاهداً هو الذي سيشرجه بالدرجة الأولى".

6- الزئبق *

ما هو؟

الزئبق عنصر موجود في البيئة بشكل طبيعي، ويكون عادةً متحداً مع عناصر أخرى بشكل مركبات أو أملاح زئبقية. الزئبق المعدني هو معدن أبيض لماع مائل إلى الفضي، ويكون سائلاً في درجة حرارة الغرفة. وإذا تم تسخينه ينتشر في الجو كغاز عديم اللون والرائحة. يتحد الزئبق مع عناصر أخرى ليشكل مركبات زئبق لاعضوية، يكون بعضها ذوآباً في الماء. وكذلك يتحد الزئبق مع الكربون ليؤلف مركبات زئبق عضوية مثل ميثيل الزئبق. ولأن الزئبق عنصر، فهو لا يتفكك ولا يمكن إتلافه.

كيف يستعمل الزئبق؟

يستعمل الزئبق المعدني لتوليد غاز الكور والصدود الكاوية، وكذلك لاستخراج الذهب من خاماته. وهو يستخدم في موازين الحرارة والحشوات السنية، والمذخرات (البطاريات)، كما تستعمل بعض مركبات الزئبق اللاعضوية ككريمات لتفتيح البشرة، مثل الكريمات والمراهم المعقمة وكعوامل مضادة للتعفن.

* نشر هذا الخبر في مجلة ANL, October 2001، وتمت ترجمته في هيئة الطاقة الذرية السورية.

القيم الكيميائية السمية		شكل الزئبق
أمثال لا سرطانية		
جرعة مرجعية عن طريق الاستنشاق	جرعة مرجعية عن طريق الضم	
0.000086 mg/kg في اليوم	لا يوجد	الزئبق المعدني
لا يوجد	0.0003 mg/kg في اليوم	كلوريد الزئبق
لا يوجد	0.0001 mg/kg في اليوم	ميثيل الزئبق
يفترض ان يكون مثل فينيل الزئبق	0.00008 mg/kg في اليوم	فينيل أسيتات الزئبق

لهذه النتائج وتسويتها إلى ملغم/ كيلوغرام في اليوم كأساس عند البشر.

ولإيضاح كيفية تطبيق الجرعة المرجعية (RfD)، يمكن لشخص يزن 150 باونداً أن يتناول بأمان 0.001 ملغم من ميثيل الزئبق يومياً دونما توقع أي تأثيرات مضرّة (2.2 باوند = 1 كغ أو 1.000 غ أو 1 مليون ملغ).

ما هي الحدود الحالية لما يتحرّر من الزئبق في البيئة وما يتعرّض له البشر منها؟

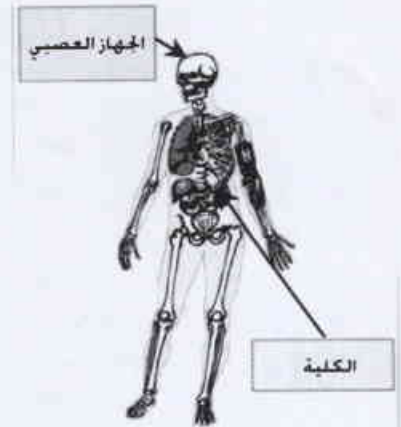
وللمساعدة في تتبع ما ينطلق من المنشآت إلى البيئة من الزئبق، تشترط تعديلات صندوق EPA لتمويل خطط الطوارئ وحقوق معرفة المجتمع تقديم تقرير سنوي عن انبعاثات مواد كيميائية معينة في الجو والماء واليابسة يندرج في كشف الانبعاثات السامة في البلاد ويدخل العديد من مركبات الزئبق في قائمة تلك التعديلات. أما الكميات المسموح بها فهي 1 باوند (0.454 كغ) للزئبق وسيانيد الزئبق؛ 10 باوندات (4.54 كغ) لنترات الزئبق وسلفات الزئبق وثيو سيانيد الزئبق، والنترات الزئبقية وفولينات الزئبق؛ و100 باوند (45.4 كغ) لأسيتات فينيل الزئبق.

لقد أقرت وكالة حماية البيئة (EPA) حداً يساوي 0.002 من المليغرام لكل لتر (ملغ/ لتر) للزئبق في مياه الشرب. ولا يدخل الزئبق ضمن قانون الهواء النظيف في الولايات المتحدة.

أما بالنسبة للهواء في المعمل، فقد عينت وزارة الصحة والسلامة الوظيفية حداً للتعرض مسموحاً به (PEL) يساوي 0.1 مليغرام لكل متر مكعب بالنسبة لبخار الزئبق اللاعضوي، و0.01 مليغرام/متر مكعب لمركبات الزئبق العضوية. وقد حددت وزارة الغذاء والدواء حداً نافذاً لدى الأسماك والمحار يساوي 1 ملغ من ميثيل الزئبق لكل 1 كغ من السمك.

أين يمكن أن نجد المزيد من المعلومات؟

يمكن العثور على المزيد من المعلومات عن الزئبق في المصدر الأساسي للمعلومات لهذا العرض الإجمالي والذي يحمل اسم (Toxicological Profile for Mercury) من إعداد الوكالة المسؤولة عن المواد السامة وسجل الأمراض (Toxic substances and Disease Registry) وهو متوفر على شبكة الإنترنت على موقع: <http://www.atsdar.cdc.gov/toxpro2.html>



تتأثر الأعضاء والأجهزة عندما يدخل الزئبق من خلال الطعام أو الماء أو الهواء

المرأة الحامل. ويتراكم الزئبق في الكليتين. أما في الدماغ، فيمكن أن يتحول الزئبق المعدني وميثيل الزئبق إلى شكل عضوي يختزن فيما بعد داخل الدماغ، ويميل الزئبق إلى البقاء في الجسم لأسابيع أو لشهور. ولكنه يغادر الجسم في النهاية عن طريق البول والبراز.

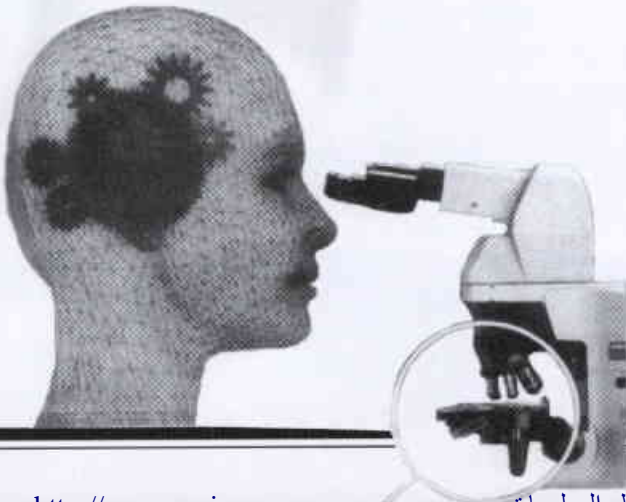
ما هي التأثيرات الصحية الأولية؟

الجهاز العصبي حساس جداً لكل أشكال الزئبق، بالرغم من أن الدماغ هو الأكثر حساسية للزئبق المعدني وميثيل الزئبق لأنهما يدخلان الدماغ بسهولة أكبر من دخول الزئبق اللاعضوي. ونذكر هنا أن التعرض للزئبق قد يسبب الارتعاشات (اختلاجات) وفقدان الذاكرة وتغيّرات في الشخصية والرؤية والسمع (ونورد في هذه المناسبة أن صانع القبعات في كتاب "أليس في أرض العجائب" يعرض تغيرات الشخصية التي شوهت في القرن الثامن عشر وصولاً إلى أوائل القرن التاسع عشر لدى أناس كانوا يعملون في صنع القبعات، عبر استخدام الزئبق لمعالجة الجلود). ويعتبر الأطفال والأجنة المكتملة حساسين بشكل خاص للتأثيرات الضارة للزئبق على الجهاز العصبي، إذ يمكن أن يتسبب التعرض للزئبق في تخزين متفاوت بين الطفيف والحاد للدماغ، بما في ذلك تأثيراته على سلوك الطفل وقدرته على التفكير والتعلم. وكذلك يتلف الزئبق الكليتين أيضاً. وبالرغم من أن الدراسات على الحيوانات تشير إلى أن كلوريد الزئبق وميثيل الزئبق يمكن أن يسبباً سرطاناً في الحيوانات المخبرية، فإننا لا نعلم إذا ما كانت تسبب السرطان لدى البشر الذين يتناولون هذه المركبات أكلًا أو يتنفسونها هواءً. بناءً على الدراسات الحيوانية، فإن وكالة حماية البيئة (EPA) تعرف كلاً من كلور الزئبق وميثيل الزئبق كمواد مسرطنة محتملة للإنسان.

ما هي الأخطار؟

لقد أوجدت وكالة حماية البيئة EPA قيماً سُمّية لتقدير خطر تكون تأثيرات لاسرطانية كنتيجة لاستنشاق أو ابتلاع الزئبق (انظر المستطيل أدناه) وتدعى القيمة السُمّية لتقدير التأثيرات اللاسرطانية باسم الجرعة المرجعية RfD، وتعتبر تقديراً لأعلى جرعة يمكن أن يتم تناولها في كل يوم بدون أن تسبب تأثيراً سرطانياً مضرّاً. لقد تم وضع هذه القيم السُمّية عبر دراسة حيوانات اختبار أعطيت جرعات عالية نسبياً من الزئبق خلال مدة حياتها، ومن ثم إجراء تعديل

ورقات البحوث



تأثير مستويات مختلفة من ملوحة مياه الري على نمو وتشكل العقد الجذرية وكفاءة تثبيت الآزوت الجوي في نبات السيسبان وعلى نمو نبات عباد الشمس باستخدام تقانة ^{15}N ★

د. فواز كردعلي - فريد العين
قسم الزراعة- دائرة تعذية النبات- هيئة الطاقة الذرية - ص. ب. 6091
دمشق- سوريا.

ملخص

دُرس تأثير مستويات مختلفة من ملوحة مياه الري على تشكل العقد الجذرية وإنتاج المادة الجافة وتثبيت الآزوت الجوي في نبات السيسبان *Sesbania aculeata Pers* وذلك في تجربة جرت في أصص. تراوحت الناقلية الكهربائية في معاملات مياه الري بين 1.1 و 33 dS/m. دُرس هذا التأثير أيضاً على نمو نبات عباد الشمس *Helianthus annuus L*. والذي استعمل، إضافة إلى ذلك، كنبات مرجعي لقياس كفاءة تثبيت الآزوت الجوي في نبات السيسبان وفق طريقة التخفيف النظيري للآزوت ^{15}N .

أدى ري النوعين النباتيين بمياه مالحة ذات ناقلية كهربائية أكثر من 4.03 dS/m إلى انخفاض في النمو، وكان التأثير في نبات السيسبان أكثر منه في نبات عباد الشمس. كما سبب ازدياد الناقلية الكهربائية في مياه الري انخفاضاً في إنتاج المادة الجافة للأجزاء الهوائية للنباتات أكثر منه في الجذور. استطاعت سلالات الريزوبيا المستوطنة في التربة تشكيل عقد على جذور نبات السيسبان في معاملات الري كافة ماعدا النباتات التي رويت بمياه ناقليتها الكهربائية 33 dS/m، حيث ثبت تشكل العقد الجذرية وتثبيت الآزوت الجوي معاً. في حين ازدادت معنوياً النسبة المئوية للآزوت الجوي المثبت في نباتات السيسبان المروية بمياه ناقليتها الكهربائية 4.03 dS/m مقارنة بالشاهد. أما في معاملات الري الأكثر ناقلية (حتى 12.3 dS/m) فقد كان التأثير سلبياً. بيّنت هذه النتائج إمكانية ري السيسبان *Sesbania aculeata* وعباد الشمس *Helianthus annuus* المزروعين في تربة مالحة بمياه مالحة ذات ناقلية كهربائية مقدارها 8.03 و 12.3 dS/m على التوالي، أو يمكن ري النوعين النباتيين بمياه ذات تراكيز متزايدة من الملوحة خلال فترة النمو.

الكلمات المفتاحية: السيسبان، عباد الشمس، ملوحة، تثبيت الآزوت الجوي.

مقدمة:

البقولية المتحملة للملوحة. يستعمل هذا النوع في استصلاح الأراضي المالحة نظراً لمساهمته في تحسين خصوبة التربة من خلال تزويد التربة بالمادة العضوية وزيادة إتاحة العناصر الغذائية في التربة وإزاحة بعض الأملاح المعدنية إضافة إلى تثبيت الآزوت الجوي [2]. إضافة إلى ذلك، تستطيع نباتات أخرى، مثل عباد الشمس [3] وأصناف من القمح المتحملة للملوحة [4] وغيرها، النمو بنجاح في بيئات مالحة، والتي تزرع لأهداف اقتصادية وغذائية. على سبيل المثال، يعد نبات عباد الشمس *Helianthus annuus* من المصادر الهامة للزيت النباتي في العالم وذلك بسبب احتوائه على حموض دهنية غير مشبعة [3]. ويعد نبات السيسبان من النباتات البقولية سريعة النمو وتستخدم أوراقه علماً لتغذية الحيوانات الزراعية [5]. وقد استعمل هذا النوع النباتي كنوع رائد في إعادة الغطاء النباتي

تعد ملوحة التربة ظاهرة واسعة الانتشار في العديد من المناطق المعتدلة والتي تؤدي إلى الحد من نمو النباتات حيث يسبب ذلك خروج مساحات كبيرة من الأراضي الزراعية من الاستثمار بسبب تراكم الأملاح في التربة. تعتبر الأراضي المتأثرة بالأملاح في حوض الفرات في سوريا كغيرها من الأراضي المنتشرة في العالم ذات أهمية كبيرة لإعادة استثمارها بهدف تلبية الاحتياجات الغذائية اللازمة للتزايد السكاني على سطح الأرض. تعد الزراعة المالحة من الطرائق الواعدة التي تعتمد على استعمال المصادر الوراثية وتحسين العمليات الزراعية بهدف الاستثمار الأفضل للأراضي المالحة ومياه الري المالحة [1].

يعد السيسبان *Sesbania aculeata* من المصادر الوراثية النباتية

الجدول 1: الخصائص الفيزيائية والكيميائية للتربة المستعملة

الخصائص	القيم
الرمل %	14.9
السلت %	25.5
الطين %	42.6
الناقلية الكهربائية E_c (dS/m)	20.0
pH	7.83
معدل امتزاز الصوديوم SAR (meq/L)	12.68
المادة العضوية %	1.01
CaCO ₃ %	19.28
N%	0.07
P(μg /g) الفسفور المتاح الأيونات (meq/L)	7.17
Cl ⁻	165
HCO ₃ ⁻	3.2
CO ₃	Trace
Na ⁺	71.3
K ⁻	0.94
Ca ⁺⁺	45
Mg ⁺⁺	18.27
CEC سعة التبادل الكاتيوني (meq. 100 g soil)	32.4
Na ⁺	1.4
K ⁻	0.26
Ca ⁺⁺	18.26
Mg ⁺⁺	12.00

المعهد النووي للزراعة والبيولوجيا NIAB في باكستان) في أصص سعتها عشرون كيلوغراما، مملوءة بتربة مالحة من الموقع المذكور في دير الزور. بلغ عدد الأصص أربعة وعشرين أصيصا لكل نوع نباتي، وضعت في ظروف مناخية طبيعية، بحيث احتوى كل أصيص على نباتين. أُضيف إلى كل أصيص ما يقابل 20 كغ N/هكتار من سماد كبريتات الأمونيوم المعلم $(^{15}\text{NH}_4)_2\text{SO}_4$ (بنسبة إغناء مقدارها 10.07%). وتم تنظيم عملية ري الأصص جميعا مع الحفاظ على عدم انخفاض رطوبة التربة عن حدود 70% من السعة الحقلية خلال التجربة.

معاملات الملوحة

رويت جميع النباتات، خلال الأسبوعين الأولين، بمياه عادية غير مالحة. ثم رويت، بعد ذلك، بتراكيز مختلفة من مياه مالحة، بعد أن تم تحضيرها بمزج مياه جوفية مالحة جلبت من منطقة حوض الفرات الأدنى (ناقليتها الكهربائية 33 dS/m) مع مياه غير مالحة (ناقليتها الكهربائية 1.1 dS/m). تم الحصول، بنتيجة المزج هذا، على مستويات مختلفة من ملوحة مياه الري التي بلغت ناقليتها الكهربائية 4.03، و8.03، و12.3 dS/m. وبالنتيجة، استعملت ست معاملات اختلفت بعضها عن بعض بمستوى الملوحة في مياه الري، وهي: 1.1 و4.03 و8.03 و12.3 و33 dS/m، أما في المعاملة السادسة، فقد رويت النباتات بتراكيز متزايدة من ملوحة مياه الري (بدءاً من 1.1 وحتى 33 dS/m) بفواصل زمنية مقداره خمسة عشر يوماً بين التركيز والآخر. وتم

إلى مساحات كبيرة من الأراضي المتأثرة بالملوحة حيث يتميز بقدرته على التكيف في ظروف مختلفة من التربة سواء أكانت التربة غدقة أم مالحة أم رملية أم طينية [6].

يسمى النوع *Sesbania aculeate* أيضاً باسم *Sesbania bispinosa* وتعتبر الهند والباكستان الوطنيين الأصليين لهذا النوع النباتي، وقد أدخل تجريبياً إلى سوريا عام 1997، لإعادة استثمار الأراضي المتأثرة بالأملاح، وإنتاج العلف وإنتاج الأسمدة الخضراء. ومن الجدير ذكره أن إدخال هذا النوع، إضافة إلى أنواع نباتية أخرى مثل عباد الشمس *Helianthus annuus* في التربة المتأثرة بالأملاح، قد حاز على نجاح جيد من حيث التأقلم في ظروف البيئة السورية. يتعلق تأثر نمو النباتات البقولية، عموماً، في البيئات المالحة بدرجة تحمل كل من الريزوبيا والنبات العائل للأملاح [8,7]. وقد بينت نتائج الباحثين أن للملوحة تأثيراً في خفض نمو العديد من النباتات البقولية مثل الحمص [9] وفول الصويا [10] والفول العادي [11] والفول السوداني [12]. وقد بينت النتائج، أن سبب عدم نجاح الأداء التعايشي في الظروف المالحة يعود إلى عوامل عديدة أهمها عدم قدرة النبات على النمو، وعدم قدرة بكتريا الريزوبيا على المعيشة حرة في التربة إضافة إلى عدم مقدرتها على إصابة الشعيرات الجذرية وتشكيل عقد جذرية فعالة وظيفياً [7-13].

على الرغم من نجاح زراعة بعض الأنواع النباتية المدخلة والمتحملة للملوحة في الأراضي المتأثرة بالملوحة في سوريا إلا أن ارتفاع ملوحة مياه الري يمكن أن تؤثر في أدائها. لذلك هدف هذا البحث إلى دراسة تأثير مستويات مختلفة من ملوحة مياه الري على تشكل العقد الجذرية وإنتاج المادة الجافة وتثبيت الآزوت الجوي في نبات *Sesbania aculeata* Pers، المزروع في تربة مالحة، وذلك في تجربة أصص. كما درس هذا التأثير أيضاً على نمو طراز وراثي جديد ومدخل من نبات عباد الشمس *Helianthus annuus* L. والذي استعمل، إضافة إلى ذلك، كنبات مرجعي لقياس كفاءة تثبيت الآزوت الجوي في النبات البقولية.

المواد والطرائق خواص التربة

جمعت التربة من حوض الفرات الأدنى من سوريا، وذلك من منطقة تبعد عشرين كيلومتراً جنوبي شرق مدينة دير الزور (20° 40' N 15° 35'E). بارتفاع مقداره 203 م عن سطح البحر. ويوضح الجدول 1 أهم الصفات الفيزيائية والكيميائية لهذه التربة. وتميزت هذه التربة بأنها سبق أن زرعت بنبات السيسبان فكون عقداً جذرية وفيرة.

زراعة النباتات وإضافة السماد المعلم

زرعت بذور النبات *Sesbania aculeata* Pers والطراز الوراثي (G-342) من نبات عباد الشمس *Helianthus annuus* L. (تم الحصول عليهما من

الجدول 3: تأثير زيادة ملوحة مياه الري في إنتاج المادة الجافة لنبات السيسبان *Sesbania aculeata* وعباد الشمس *Helianthus annuus*

<i>Sesbania aculeata</i>				
العاملة	أوراق (g/pot)	جذور (g/pot)	نسبة الأوراق للجذور	كمال النبات (g/pot)
EC1	19.45±0.76ab	3.48±0.23ab	5.65±0.37a	22.93±0.86a
EC2	20.83±1.49a	3.70±0.19a	5.63±0.27ab	24.53±1.64a
EC3	13.33±1.04c	2.70±0.09c	4.93±0.28bc	16.03±1.10b
EC4	08.18±0.36d	1.70±0.08d	4.82±0.10c	09.88±0.43c
EC5	03.60±0.60e	0.70±0.10e	5.13±0.13ab	04.30±0.70d
EC6	13.20±0.86c	2.72±0.21c	4.81±0.60c	15.95±1.16b
<i>Helianthus annuus</i>				
EC1	17.20±0.18a	1.43±0.17ab	16.08±0.95b	18.63±0.31a
EC2	15.75±1.23ab	1.53±0.16ab	10.51±0.85abc	17.28±1.36ab
EC3	14.45±0.93b	1.63±0.08a	08.93±0.66bc	16.08±0.95b
EC4	11.10±0.543c	1.18±0.05b	09.48±0.54bc	12.28±0.54c
EC5	05.30±0.70d	0.70±0.07c	07.85±1.27c	06.00±0.71d
EC6	14.18±0.71b	1.30±0.16ab	11.24±0.92ab	15.48±0.

التوسطات المشار إليها بأحرف متشابهة (ضمن العمود) لا تختلف معنوياً على مستوى ثقة 50%
EC2 4.03, EC3 8.03, EC4 12.3, EC5 33, EC6 و 1.1 وحتى 3.3 مليموز/سم.

وذلك على التوالي (الشكل 1). في المعاملة (EC6) التي رويت النباتات فيها بتركيز متزايدة من ملوحة مياه الري، كانت نسبة انخفاض إنتاج المادة الجافة 30% من إنتاج الشاهد، والتي تماثل القيمة المتحصل عليها جرأء ري النباتات بمياه مالحة ذات ناقلية كهربائية مقدارها 8.03dS/m وهذا يشير إلى أن النباتات أكثر تحملاً للملوحة في المراحل المتقدمة من النمو.

اعتماداً على نوع النبات، بين بعض الباحثين أن الإجهاد الملحي يسبب انخفاضاً واضحاً في نمو النباتات الحساسة للملوحة [16,15]، في حين لاحظ البعض الآخر وجود تنشيط في نمو النباتات المتحملة للملوحة عند استعمال مستويات منخفضة من الملوحة [17].

يعد عباد الشمس من النباتات المتوسطة الحساسية للملوحة، وقد تبين أن بعض الطرز الوراثية [1] تتصف بتحمل جيد للملوحة إذ يبلغ معدل انخفاض إنتاجها 50% في مستوى ملوحة مقدارها 19dS/m. وعطفاً على نتائج هذه الدراسة فإنه يمكن تصنيف الطراز الوراثي G342 لعباد الشمس من النباتات المتوسطة التحمل للملوحة حيث يستطيع النمو في تربة مالحة وريه بمياه مالحة حتى 12dS/m أو بمياه متدرجة بالملوحة (EC6)، (الشكل 1).

كان نبات السيسبان أكثر حساسية للملوحة من نبات عباد الشمس بحيث كان معدل انخفاض إنتاجه من المادة الجافة أكبر من عباد الشمس (من 20 إلى 100%). غير أنه اتصف بقدرة جيدة على النمو في تربة مالحة وريه بمياه مالحة بلغت ناقليتها الكهربائية 8dS/m بحيث كان معدل الانخفاض في المادة الجافة 30% فقط.

سببت المستويات المرتفعة لملوحة مياه الري -بوجه عام- انخفاضاً في نمو الأجزاء الهوائية، بدرجة أكبر من الجذور (الشكل 1). إن انخفاض إنتاج المادة الجافة لأوزان الجذور والمجموع الخضري ربما يعود إلى انخفاض مقدرة الجذور على امتصاص العناصر الغذائية

ترميز المعاملات الست السابقة بالرموز التالية: EC1 و EC2 و EC3 و EC4 و EC5 و EC6 على التوالي. ويبين الجدول 2 الناقلية الكهربائية والخصائص الكيميائية لمعاملات مياه الري المستعملة.

الجدول 2: الخصائص الكيميائية لمعاملات مياه الري المستعملة

معاملات ملوحة مياه الري					الخصائص
EC5	EC4	EC3	EC2	EC1	
33.0	12.3	8.03	4.03	1.1	Ec
8.0	8.2	8.2	8.1	8.3	pH
13.51	16.15	14.64	10.97	4.50	معدل امتزاز الصوديوم SAR (meq/L) الأيونات (meq/L)
255.5	79.8	56.4	22.8	4.2	Cl ⁻
0.8	0.7	0.8	0.8	0.8	HCO ₃ ⁻
Trace	Trace	Trace	Trace	Trace	CO ₃ ⁻
75.0	64.6	46.3	28.7	6.1	Na ⁺
0.28	0.11	0.08	0.08	0.09	K ⁺
2.5	7.5	2.5	2.5	2.5	Ca ⁺
59.0	24.5	17.5	11.2	1.1	Mg ⁺

حصاد النباتات والتحليل

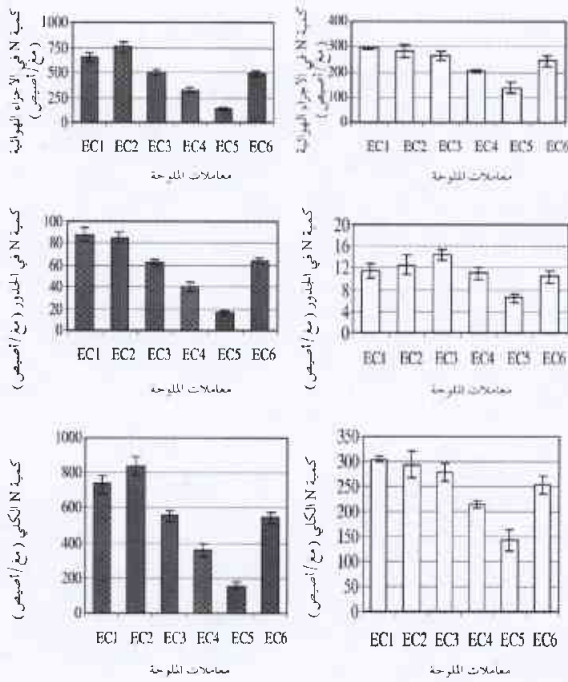
حصدت النباتات بعد 90 يوماً من الإنبات، وجرى تقدير الوزن الجاف للأجزاء الهوائية وللجذور في نباتي السيسبان وعباد الشمس. وتم تقدير عدد العقد الجذرية المتشكلة على الجذور الجانبية والرئيسية لنبات السيسبان. جفت العينات النباتية على درجة حرارة 70 مئوية لمدة ثلاثة أيام.

قدر الأزوت الكلي وفق طريقة كداهل. وحددت ¹⁵N/¹⁴N باستخدام جهاز المطياف الضوئي (Emission Spectrometer, Jasco-150, Japan). واستخدمت معادلة [14] لحساب النسب المئوية للأزوت المثبت. كما خضعت البيانات إلى تحليل التباين ANOVA وحسب أقل فرق معنوي على مستوى 0.05 لتبيان معنوية الفروق بين متوسطات المعاملات المدروسة.

النتائج والمناقشة

إنتاج المادة الجافة والأزوت الكلي

بلغت قيم المادة الجافة الكلية في نبات السيسبان 22.9 و 24.5 و 16 و 9.9 و 4.3 و 16 غ/أصيص، وفي نبات عباد الشمس 18.6 و 17.3 و 16.1 و 12.3 و 6 و 15.5 غ/أصيص، وذلك في المعاملات EC1 و EC2 و EC3 و EC4 و EC5 و EC6 على التوالي (الجدول 3). من الواضح في هذه البيانات أن زيادة ملوحة مياه الري قد أثرت في نمو النباتات. أبدى النوعان النباتيان عدم وجود استجابة معنوية في المعاملة EC2 (4.03 dS/m) على الرغم من أن إنتاج المادة الجافة في السيسبان كان أعلى من الشاهد في حين كانت القيمة أخفض في نبات عباد الشمس. سبب ري النباتات بملوحة أعلى لمياه الري 8.03، (dS/m) (EC5) 33، (EC4) 12.3، (EC3) 8.03، ومن 1 إلى 33 (EC6) انخفاضاً معنوياً في إنتاج المادة الجافة بمعدل 30 و 57 و 81 و 30% مقارنة بالشاهد وذلك في السيسبان، وبمعدل 14 و 34 و 68 و 17% في عباد الشمس



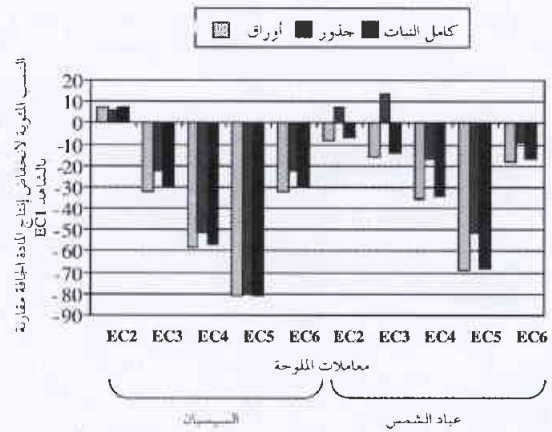
الشكل 2، تأثير مستويات مختلفة من ملوحة مياه الري في كميات الأزوت في نباتي السيسبان *Sesbania aculeata* وعباد الشمس *Helianthus annuus*. EC1 1.1. EC2 4.03. EC3 8.03. EC4 12.3. EC5 33 و EC6 من 1.1 وحتى 33 dS/m.

تشكل العقد الجذرية وكفاءة تثبيت الأزوت الجوي في

نبات السيسبان *Sesbania aculeata*

استطاعت سلالات الريزوبيا المستوطنة في التربة تشكيل عقد على جذور نبات السيسبان في معاملات الملوحة كافة، ماعدا النباتات التي رويت بمياه جوفية مالحة ذات ناقلية كهربائية (EC5) 33 dS/m، حيث لوحظ تثبيط كامل لتشكيل العقد الجذرية (الشكل 3).

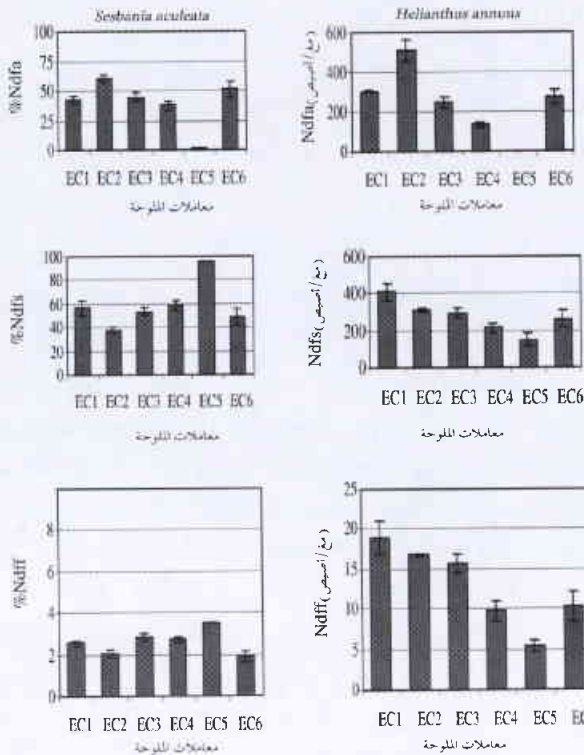
انخفض العدد الكلي للعقد الجذرية مع ازدياد ملوحة مياه الري، وبلغت نسب انخفاض العدد الكلي للعقد الجذرية 24 و 47 و 63 و 100% و 37% في المعاملات EC2 و EC3 و EC4 و EC5 و EC6 على التوالي. وكان الانخفاض أكثر حدة في العقد المتشكلة على الجذور الثانوية مقارنة مع العقد المتشكلة على الجذور الرئيسية (الشكل 4)، ولم يلاحظ وجود فروق معنوية في عدد العقد الجذرية على الجذر الرئيسي بين الشاهد EC1 والملوحة المنخفضة EC2. قد يعود انخفاض عدد العقد الجذرية إلى انخفاض في إنتاج المجموع الجذري بسبب الملوحة، وخاصة انخفاض عدد الشعيرات الجذرية على الجذور الجانبية مما يخفض قدرة الريزوبيا على الإصابة وتشكيل عقد جذرية. ونظراً لأن الانخفاض النسبي في عدد العقد الجذرية (مقارنة بالشاهد) لم يتجاوز 50% من عقد الشاهد في المعاملات EC2 و EC3 و EC6، فإنه يمكن ري نبات السيسبان بمياه مالحة تكون ناقليتها الكهربائية بين 4.03 و 8.03 dS/m، أو بمياه ذات تراكيز متزايدة من الملوحة (بين 1.1 و 33 dS/m) تدريجياً، للحصول على أداء تعاشي مقبول نسبياً [16,11].



الشكل 3، تأثير مستويات مختلفة من ملوحة مياه الري في النسب المثوية لانخفاض إنتاج المادة الجافة مقارنة بإنتاج المادة الجافة من إنتاج الشاهد EC1 في نباتي السيسبان *Sesbania aculeata* وعباد الشمس *Helianthus annuus*. EC2 4.03. EC3 8.03. EC4 12.3. EC5 33 و EC6 من 1.1 وحتى 33 dS/m.

[18]. كانت نسب الأجزاء الهوائية إلى الجذور shoot:root ratio في المعاملات المروية بمياه مالحة، عموماً، أقل من النسبة الملاحظة في الشاهد. حيث بلغت النسب في نبات السيسبان 4.82 و 4.93 و 5.13 في المعاملات EC3 و EC4 و EC5 على التوالي، في حين كانت في الشاهد 5.7. أما في نبات عباد الشمس فقد بلغت القيم 8.93 و 9.49 و 7.85 في المعاملات EC3 و EC4 و EC5 على التوالي، وكانت في الشاهد 12.48. تشير هذه النتائج إلى أن المجموع الجذري يعد عموماً أكثر تحملاً للملوحة، من الأجزاء الهوائية، إذ يسهم ذلك في قدرة الأنواع النباتية على المعيشة في الظروف المالحة. وهذا ما بيّنه عدد من الباحثين في فول الصويا [19]، وفي نبات العاقول (Alhagi pseudoalhagi) [17].

كانت كميات الأزوت الكلي في النوعين المدروسين منسجمة مع إنتاج المادة الجافة (الشكل 2). حيث بلغت قيم الأزوت الكلي في نبات السيسبان 735 و 836 و 557 و 358 و 156 و 548 مغ N/أصيص، وفي نبات عباد الشمس 305 و 294 و 279 و 214 و 144 و 254 مغ N/أصيص، وذلك في المعاملات EC1 و EC2 و EC3 و EC4 و EC5 و EC6 على التوالي (الشكل 2). ولم يؤد الري بمياه ذات ملوحة منخفضة (EC2) إلى إحداث تأثير معنوي على مقدار الأزوت الكلي في النوعين المدروسين، على الرغم من ارتفاع هذا المقدار (بشكل لا معنوي) في نبات السيسبان مقارنة بالشاهد، في حين أن الري بمياه أكثر ملوحة أدى إلى انخفاض واضح في كمية الأزوت المتراكم في النباتات، وكان التأثير أكثر حدة في نبات السيسبان (24 و 51 و 79% من الشاهد) منه في نبات عباد الشمس (9 و 30 و 53% من الشاهد) وذلك في المعاملات EC3 و EC4 و EC5، على التوالي. ولم تلاحظ فروق معنوية في كميات الأزوت بين المعاملات EC1 و EC2 و EC3 في نبات عباد الشمس.



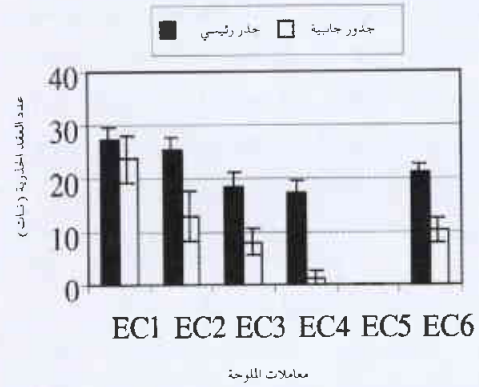
الشكل 4: تأثير مستويات مختلفة من ملوحة مياه الري في النسب المئوية لكميات الأزوت المثبتة (Ndfa) والأزوت الممتص من التربة (Ndfs) ومن السماد (NdfF) في نبات السيسبان. (معالجات الملوحة: EC1 1.1، EC2 4.03، EC3 8.03، EC4 12.3، EC5 33) من 1.1 وحتى 33 dS/m.

العناصر في رفع الكفاءة التثبيتية للأزوت الجوي، فقد بين [22] أن وجود العناصر الأثر في محاليل الزراعة يحسن من تثبيت الأزوت الجوي في الفصّة المعرضة إلى إجهاد ملحي.

لم يؤدّ ري السيسبان بمياه مالحة 8dS/m إلى تثبيط تثبيت الأزوت الجوي المعبر عنه كنسبة مئوية 44% أو على أساس كمي 247 مغ/أصيص، على الرغم من الانخفاض الحاصل في إنتاج المادة الجافة (الشكلان 1 و4).

أدى استعمال مستويات ملوحة مرتفعة في مياه الري 12.3dS/m إلى خفض النسبة المئوية للأزوت المثبت (37%) وكمية الأزوت المثبت (134 مغ/أصيص) وإنتاج المادة الجافة. غير أن انخفاض %Ndfa كان أقل حدة من نمو النبات (الشكلان 1 و4). أما عند ري النباتات بمياه مالحة متزايدة تدريجياً من 1.1 حتى 33dS/m فلم تنخفض %Ndfa (51%) وكمية الأزوت المثبت (274 مغ/أصيص) معنوياً وذلك مقارنة بالشاهد، على الرغم من وجود انخفاض معنوي في إنتاج المادة الجافة.

كانت نباتات السيسبان قد رويت بمياه غير مالحة خلال الخمسة عشر يوماً الأولى، وذلك قبل تطبيق معاملات الملوحة المختلفة مما ساعد على حدوث الخطوات الأولى من مراحل تشكل العقد الجذرية، لذلك كان تأثير الري بالمياه المالحة لاحقاً أقل في عملية تثبيت الأزوت الجوي منه في نمو النبات. فقد بين [23] أنه في الوقت الذي تتشكل



الشكل 3: تأثير مستويات مختلفة من ملوحة مياه الري على عدد العقد الجذرية في نبات السيسبان (Sesbania aculeata). (معالجات الملوحة: EC1 1.1، EC2 4.03، EC3 8.03، EC4 12.3، EC5 33) من 1.1 وحتى 33 dS/m.

تتطلب النباتات البقولية النامية في بيئة مالحة أن يكون كل من الريزوبيا حرة المعيشة والنبات العائل ذا قدرة على تحمل الملوحة [7]. لقد استطاعت السلالات المستوطنة في التربة، التي بلغت ملوحتها 20 مليموز/سم، أن تشكل عقداً جذرية فعالة مع نبات السيسبان Sesbania aculeata الذي أدخل حديثاً إلى منطقة الدراسة. لقد ذكر [20] أن الريزوبيا المسؤولة عن إحداث عقد جذرية لدى الجنس Sesbania هي سلالات سريعة النمو، بالرغم من وجود بعض العزلات ذات النمو البطيء، مما يشير إلى أن الريزوبيا المسؤولة عن تشكل العقد الجذرية لدى هذا الجنس النباتي قد تتبع أجناساً مختلفة، وهو استنتاج يتفق مع الذي اقترحه [21]. لذلك فإن نجاح تشكل العقد الجذرية في السيسبان بوجود الريزوبيا المحلية قد يعود إلى زراعة التربة بمحاصيل بقولية متنوعة كالفول والفصّة وذلك قبل تملحها.

بلغت النسب المئوية للأزوت المثبت في نبات السيسبان Sesbania aculeata 42 و 61 و 44 و 38 و 1 و 51% في المعاملات EC1 و EC2 و EC3 و EC4 و EC5 و EC6 على التوالي، في حين كانت الكميات المثبتة 303 و 511 و 247 و 131 و 1 و 274 مغ N/أصيص، بالترتيب السابق ذاته (الشكل 4). أدى ري نباتات السيسبان بمياه منخفضة الملوحة (4 dS/m)، على نحو غير متوقع، إلى زيادة كفاءة تثبيت الأزوت الجوي (%Ndfa) بمعدل 45%، وإلى زيادة في كمية الأزوت المثبت بمعدل 68%، مقارنة بالشاهد. وهذه الملاحظة، على حد علمنا، لم تلاحظ سابقاً.

كان للري بمياه مالحة (4.03 dS/m) في المعاملة EC2 تأثير إيجابي في إنتاج المادة الجافة والأزوت الكلي، غير أن هذا التأثير غير معنوي. ومن الملاحظ أن الاستجابة كانت مترافقة مع أثر تحفيزي للأزوت المثبت. ولكن السبب وراء زيادة الكفاءة التثبيتية للأزوت الجوي هذا صعب التفسير اعتماداً على بيانات هذا البحث، غير أنه يمكن أن يعود إما إلى زيادة إنتاج المادة الجافة (أكثر من الشاهد بحدود 7%) أو إلى وجود بعض العناصر الأثر في مياه الري، حيث تبين في العديد من الدراسات الدور الذي تلعبه هذه

تأثير مياه الري المالحة على مستوى ملوحة التربة

بيّن الجدول 4 قيم الناقلية الكهربائية للتربة بعد حصاد النباتات في معاملات الملوحة كافة. كانت قيم الناقلية الكهربائية في التربة في المعاملتين EC1 و EC2 قريبة من القيمة الأولية في التربة قبل الزراعة. ازدادت القيم في المعاملات ذات الملوحة الأكثر ارتفاعاً، وكانت أعلى قيمة في المعاملة EC5. وعلى الرغم من ارتفاع قيم الناقلية الكهربائية في التربة نتيجة الري بمياه عالية الملوحة، غير أنه من المتوقع أن لا تبقى القيم مرتفعة في الظروف الحقلية، فهطول الأمطار يمكن أن يخفض ملوحة التربة في منطقة انتشار الجذور. ففي دراسة حقلية على نبات القمح الشتوي، وجد [29] انخفاضاً في قيم الناقلية الكهربائية للتربة بعد هطول الأمطار. واستنتج الباحثان إمكانية استخدام مياه الصرف المالحة في ري القمح بدون أن تلحق ضرراً في خواص التربة. وبناءً على ذلك، من المفيد إجراء دراسات حقلية طويلة المدى تتعلق بدراسة تأثير الري بمياه مالحة على خواص التربة بهدف وضع استراتيجية مناسبة لاستخدام المياه المالحة في الري بهدف ديمومة استثمار الأراضي الملحية والمياه الجوفية المالحة في الإنتاج الزراعي.

الجدول 4، تأثير ملوحة مياه الري على الناقلية الكهربائية dS/m (ECe)، في التربة بعد حصاد السيسبان وعباد الشمس.

معاملات ملوحة مياه الري						النوع
EC6	EC5	EC4	EC3	EC2	EC1	
43.7b	52.8a	41.1b	28.2c	22.7cd	17.4d	Saculata
39.4b	46.4a	33.4bc	28.6c	20.8d	13.7e	Hannus

القيم ضمن - السطر- المشار لها بأحرف متشابهة لا تختلف معنوياً على مستوى ثقة 0.05.

الاستنتاجات

لهذه الدراسة أهمية تطبيقية في إدارة المياه ذات الخواص الرديئة في الترب المتأثرة بالملوحة. أدى ري نبات السيسبان *Sesbania aculeata* Pers ونبات عباد الشمس *Helianthus annuus* L بمياه مالحة بلغت قيمة ناقليتها الكهربائية أكثر من 4.03 dS/m إلى انخفاض في نمو النباتات، وقد كان هذا التأثير أكثر حدة في السيسبان منه في عباد الشمس. ونظراً لأن الانخفاض النسبي في إنتاج المادة الجافة نتيجة الري بالمياه المالحة لم يتجاوز 50% عن الشاهد، فإنه يمكن ري نباتات السيسبان *Sesbania aculeata* وعباد الشمس *Helianthus annuus* المزروعة في تربة مالحة، بمياه مالحة ذات ناقلية كهربائية مقدارها 8 dS/m بالنسبة للنوع الأول، و12 dS/m بالنسبة للنوع الثاني، أو يمكن ري النوعين النباتيين بمياه ذات تراكيز متزايدة من الملوحة خلال فترة النمو، وذلك للحصول على إنتاج مقبول نسبياً. استطاعت سلالات الريزوبيا المستوطنة في التربة تشكيل عقد على جذور نبات السيسبان في معاملات الملوحة كافة ماعدا النباتات التي رويت بمياه جوفية مالحة ذات ناقلية كهربائية 33 dS/m، إذ لوحظ تثبيط كامل لتشكل العقد الجذرية وكفاءة تثبيت الأزوت

فيه العقد الجذرية في نبات فول الصويا فإن عملية تثبيت الأزوت الجوي تكون أقل حساسية تجاه الملوحة مقارنة مع نمو النبات. وفي نبات البازلاء الهندية *Pigeonpea* تبين عدم تضرر كل من نمو وفعالية العقد الجذرية، عند بدء تشكلها، في أوساط مالحة وصلت ناقليتها الكهربائية إلى 8 dS/m [24].

يمكن تفسير التوافق التعايشي الناجح بين نبات السيسبان والريزوبيا المحلية من حيث تشكل العقد الجذرية وتثبيت الأزوت الجوي في التربة المدروسة (20 dS/m)، وخاصة عند الري بمياه منخفضة الملوحة بوجود سلالات من الريزوبيا المستوطنة في التربة ذات تحمل جيد للملوحة، مما يستدعي إجراء دراسة لعزل وانتخاب السلالة الفضلى منها، من حيث تحملها لمستويات مختلفة من الملوحة. وقد بين [25] أن اختيار وتمييز السلالات المتحملة للملوحة يمكن أن يشكل استراتيجية مناسبة لتحسين التعايش بين الريزوبيا والنبات البقولي في الظروف البيئية غير المناسبة. وقد بين [20] وجود اختلافات كبيرة بين الريزوبيا من حيث تحملها للظروف المالحة، فبعض سلالات الريزوبيا يستطيع النمو في محاليل ذات ناقلية كهربائية تصل إلى 43 dS/m، وكما أن الريزوبيا تعيش داخل الخلايا النباتية بوسط يكون تركيز المذيبات فيه أعلى من التركيز الموجود في التربة [20,27].

تبين من هذه الدراسة حدوث انخفاض واضح في إنتاج المادة الجافة وكمية الأزوت الكلي والمثبت في نبات السيسبان عند ريه بمياه مالحة تصل ناقليتها الكهربائية إلى أكثر من 8 dS/m. وكانت الاختلافات، بين معاملات الملوحة المدروسة عموماً، في كميات الأزوت المثبت (+68، -19، -56، -100، -18%) أكبر من الاختلافات في نسب الأزوت المثبت (+45، +6، +9، -98، +22%) مقارنة بالشاهد، وذلك في المعاملات EC2 و EC3 و EC4 و EC5 و EC6 على التوالي، الأمر الذي يبين اختلاف تأثير الإجهاد الملحي على كل من النمو وكفاءة تثبيت الأزوت الجوي. ويعتمد حساب كمية الأزوت المثبت في النباتات البقولية على إنتاج المادة الجافة، لذلك قد لا تكون الكمية المثبتة، أحياناً، مؤشراً يعتمد عليه لتقييم تأثير عوامل الإجهاد المختلفة على عملية تثبيت الأزوت الجوي بحد ذاتها. لذلك تُعدّ النسب المئوية للأزوت الجوي مقياساً أفضل نظراً لعدم ارتباطها غالباً بالمادة الجافة [28]، فالزيادة المعنوية في كمية الأزوت المثبت في المعاملة EC2 مقارنة بالشاهد، نجمت بشكل رئيسي عن تحسين النسبة المئوية للأزوت المثبت (+45%) على نحو أكبر من تحسين النمو (+7% من الوزن الجاف). وترافق ذلك مع انخفاض في كمية الأزوت الممتص من التربة، وبالتالي كانت الفروق في كمية الأزوت الكلي بين المعاملتين EC1 و EC2، غير معنوية. وهذا يشير إلى أن امتصاص الأزوت في الظروف المالحة يتأثر بمتطلبات النبات من هذا العنصر لدعم نمو النبات.

يُقْتَرَح من البيانات المذكورة أنفاً إمكانية الحصول على إنتاج نباتي مقبول من الناحية الاقتصادية وذلك من الترب المتأثرة بالملوحة بتوظيف إدارة عملية جيدة للري بمياه مالحة. غير أنه من المفيد إجراء دراسات حقلية بهدف وضع استراتيجية مناسبة لاستخدام المياه المالحة في الري بهدف ديمومة استثمار الأراضي الملحية والمياه الجوفية المالحة في الإنتاج الزراعي.

الجوي. ازدادت النسبة المئوية للأزوت الجوي معنوياً عند ري نباتات السيسبان بمياه معتدلة الملوحة (الناقلية الكهربائية 4 dS/m مقارنة بالشاهد. أما في معاملات الملوحة الأكثر ارتفاعاً (8.03 و 12.3 dS/m) أو الري التدريجي بمياه ذات تراكيز متزايدة من الملوحة فقد كان التأثير سلبياً ولكنه بسوية خفيفة، وكان تأثير نمو النبات بالملوحة أكبر من تأثير نسبة الأزوت المثبت.

REFERENCES

المراجع

- [1] Qureshi, R. H.; Barrett-Lennard, E. G. Saline Agriculture for Irrigated Land in Pakistan: A Handbook; Australian Center for International Agricultural Research, Canberra, Australia, 1998; 142 pp.
- [2] Qadir, M.; Qureshi, R. H.; Ahmad, N. Nutrient Availability in Calcareous Saline-Sodic Soil during Vegetative Bioremediation. *Arid Soil Res. Rehabil.* 1997, 11 (4), 343-352.
- [3] Francois, L. E. Salinity Effects on Four Sunflower Hybrids. *Agronomy. J.* 1996, 88 (2), 215-219.
- [4] Mass, E. V.; Poss, J. A. Salt Sensitivity of Wheat at Various Growth Stages. *Irrig. Sci.* 1989, 10, 29-40.
- [5] Khandaker, Z. H.; Steingass, H.; Drochner, W. Supplementation of Wheat Straw with Sesbania on Voluntary Intake, Digestibility and Ruminant Fermentation in Sheep. *Small Ruminant Res.* 1998, 28 (1), 23-30.
- [6] Sandhu, G. R.; Haq, M. I. Economic Utilization and Amelioration of Salt-Affected Soils. In *Membrane Biophysics and Salt Tolerance in Plants*. Qureshi, R. H., Muhammad, S., Aslam, M., Eds.; University of Agriculture, Faisalabad. 1981; 111-114.
- [7] Craig, G. F.; Atkins, C. A.; Bell, D. T. Effect of Salinity on Growth of Four Strains of Rhizobium and Their Infectivity and Effectiveness on Two Species of Acacia. *Plant Soil.* 1991, 133 (2), 253-262.
- [8] Mashhady, A. S.; Salem, S. H.; Barakah, F. N.; Heggo, A. M. Effect of Salinity on Survival and Symbiotic Performance between Rhizobium meliloti and Medicago sativa L. in Saudi Arabian Soils. *Arid Soil Res. Rehabilitation.* 1998, 12 (1), 3-14.
- [9] Elsheikh, E. A. E.; Wood, M. Effect of Salinity on Growth, Nodulation and Nitrogen Yield of Chickpea (*Cicer arietinum* L.). *J. Exp. Bot.* 1990, 41, 1263-1269.
- [10] Grattan, S. R.; Maas, E. V. Effect of Salinity on Phosphate Accumulation and Injury in Soybean. I. Influence of CaCl₂/NaCl Ratios. *Plant Soil.* 1988, 105 (1), 25-32.
- [11] Zahran, H. H.; Sprent, J. I. Effect of Sodium Chloride and Polyethylene Glycol on Root-Hair Infection and Nodulation of *Vicia faba* L. Plants by *R. Leguminosarum*. *Planta.* 1986, 167 (3), 303-309.
- [12] Nandwal, A. S.; Godara, M.; Kamboj, D. V.; Kundu, B. S.; Mann, A.; Kumar, B.; Sharma, S. K. Nodule Functioning in Trifoliolate and Pentafoliolate Mungbean Genotypes as Influenced by Salinity. *Biologia Plantarum.* 2000, 43 (3), 459-462.
- [13] Babber, S.; Sheokand, S.; Malik, S. Nodule Structure and Functioning in Chickpea (*Cicer arietinum*) as Affected by Salt Stress. *Biologia Plantarum.* 2000, 43 (2), 269-273.
- [14] Fried, M.; Middelboe, V. Measurement of Amount of Nitrogen Fixed by a Legume Crop. *Plant Soil.* 1977, 47 (3), 713-715.
- [15] Cordovilla, M. D.; Ocana, A.; Ligerio, F.; Lluch, C. Growth and Symbiotic Performance of Faba bean Inoculated with Rhizobium leguminosarum biovar Viciae Strains Tolerant to Salt. *Soil Sci. Plant Nutr.* 1996, 42 (1), 133-140.
- [16] Delgado, M. J.; Ligerio, F.; Lluch, C. Effects of Salt Stress on Growth and Nitrogen Fixation by Pea, Faba-bean, Common bean and Soybean Plants. *Soil Biol. Biochem.* 1994, 26 (3), 371-376.
- [17] Kurban, H.; Saneoka, H.; Nehira, K.; Adilla, R.; Premachandra, G. S.; Fujita, K. Effect of Salinity on Growth, Photosynthesis and Mineral Composition in Leguminous Plant *Alhagi pseudoalhagi* (Bieb). *Soil Sci. Plant Nutr.* 1999, 45 (4), 851-862.
- [18] Khan, M. G.; Silberbush, M.; Lips, S. H. Physiological Studies on Salinity and Nitrogen Interaction in Alfalfa. I. Biomass Production and Root Development. *J. Plant. Nutr.* 1994, 17 (4), 657-668.
- [19] Serraj, R.; Drevon, J. Effects of Salinity and Nitrogen Source on Growth and Nitrogen Fixation in Alfalfa. *J. Plant Nutr.* 1998, 21 (9), 1805-1818.
- [20] Giller, K. E.; Wilson, J. Nitrogen Fixation in Tropical Cropping Systems. CAB International. Oxon, UK, 1993; 313 Pp.
- [21] Boivin, C.; Ndoye, I.; Molouba, F.; De Lajudie, P.; Dupuy, N.; Dreyfus, B. Stem Nodulation in Legumes: Diversity, Mechanisms, and Unusual Characteristics. *Critical Rev. Plant Sci.* 1997, 16 (1), 1-30.
- [22] Esehie, H. A.; Rodriguez, V.; Elshafie, A. Biomass Production, Nodulation, Acetylene Reduction Activity of Alfalfa Grown under Salinity Stress. *J. Plant Nutr.* 1998, 21 (3), 489-503.
- [23] Singleton, P. W.; Bohlool, B. B. Effect of Salinity on The Functional Components of Soybean-Rhizobium japonicum Symbiosis. *Crop Sci.* 1983, 23 (5), 815-818.

- [24] Subbarao, G. V.; Johansen, C.; Jana, M. K.; Kumar Rao, J. V. D. K. Comparative Salinity of Symbiotically Dependent and Nitrogen-Fed Pigeonpea (*Cajanus cajan*) and Its Wild Relative *Alyosia platycarpa*. *Biol. Fertil. Soils*. 1990, 10 (1), 11-16.
- [25] Soussi, M.; Santamaria, M.; Ocana, A.; Liuch, C. Effect of Salinity on Protein and Lipopolysaccharide Pattern in a Salt Tolerant Strain of *Mesorhizobium ciceri*. *J. Applied Microb.* 2001, 90 (3), 476-481.
- [26] Singleton, P. W.; El Swaify, S. A.; Bohlool; B. B. Effect of Salinity on *Rhizobium* Growth and Survival. *Applied Env. Microb.* 1982, 44, 884-890.
- [27] Sprent, J. I. Effect of Drought and Salinity on Heterotrophic Nitrogen Fixing Bacteria and Infection of Legumes by *Rhizobia*. In *Advances in Nitrogen Fixation Research*; Veeger, C.; Newton, W. E., Eds.; Martinus Nijhoff/ Dr. Junk. W. The Hague. 1984; 295-302.
- [28] Danso, S. K. A. Review: Estimation of N₂ Fixation by Isotope Dilution. An Appraisal of Techniques Involving 15N Enrichment and Their Application-Comments. *Soil Biol. Biochem.* 1986, 18 (3), 243-244.
- [29] Sharma, D. P.; Rao, K. V. G. K. Strategy for Long Term Use of Saline Drainage Water for Irrigation in Semi-Arid Regions. *Soil Tillage Res.* 1998, 48 (4), 287-295.

إمكانية استعمال الكواشف البلاستيكية CR-39 كمقياس جرعة للأشعة فوق البنفسجية ★

د. رياض شويكاني، غسان رجا، عبد المنعم الصواف
قسم الوقاية والأمان- هيئة الطاقة الذرية - ص.ب 6091 - دمشق - سوريا

ملخص

تمت دراسة تأثيرات الأشعة فوق البنفسجية الشمسية (SUV) والأشعة البنفسجية من النوع A (UVA)، والمنتجة بواسطة محاكي الأشعة فوق البنفسجية الشمسية، على الكواشف CR-39. تم ذلك باستخدام ثلاث تقنيات:

1- أقطار آثار جسيمات ألفا وكثافة الآثار.

2- طريقة المسح الطيفي للنضودية بجهاز UV-Vis.

3- مطيافية تحويلات فورييه للأشعة تحت الحمراء FTIR.

تم تقسيم الكواشف إلى مجموعتين، عرضت المجموعة الأولى للأشعة فوق البنفسجية UV ثم التعريض لجسيمات ألفا أما المجموعة الثانية فقد عرضت لجسيمات ألفا أولاً ثم الأشعة فوق البنفسجية UV. أظهرت النتائج أن تأثير UVA على CR-39 غير واضح باستخدام هذه التقانات الثلاث. بينما كان هذا التأثير واضحاً عند استخدام أطياف UV-Vis و 1 وغير واضح عند استخدام متغيرات الأثر.

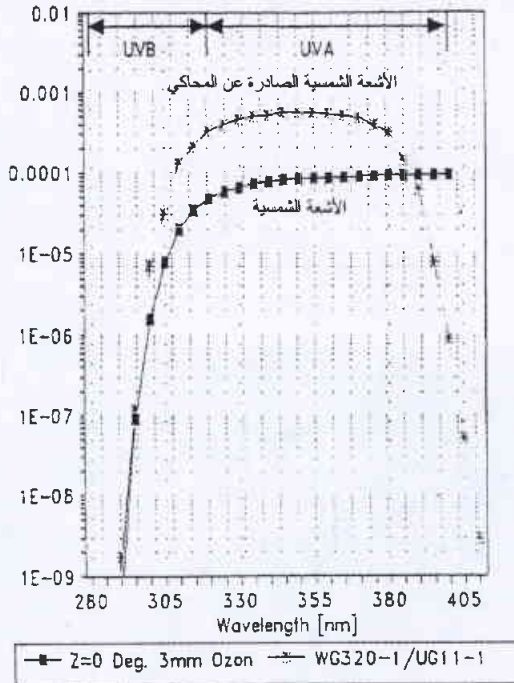
الكلمات المفتاحية: الكواشف البلاستيكية، CR-39، قطر الأثر، الأشعة فوق البنفسجية، المسح الطيفي للنضودية بالأشعة فوق البنفسجية المرئية، المسح الطيفي للنضودية بمطيافية تحويلات فورييه للأشعة تحت الحمراء.

مقدمة

تستخدم كواشف الأثر النووي في الحالة الصلبة التي يمكن فيها إظهار آثار الجسيمات المشحونة (بروتون وما فوق) باستخدام مظهر كيميائي مناسب في عدد من الفروع تشمل الفيزياء النووية والجيولوجيا وفيزياء الأشعة الكونية.

نشر أن الكواشف البلاستيكية المعرضة لأشعة غاما أو للأشعة فوق البنفسجية (التي لا تستطيع إحداث أي أثر بذاتها) تستطيع أن تؤثر على خصائص الآثار المسجلة على هذه الكواشف [1]. وهكذا تم إنجاز العديد من الدراسات على استخدام الكواشف البلاستيكية كمقياس جرعة لأشعة غاما. استخدمت معدلات حرك جسم الكاشف والأثر كمؤشر لهذا التأثير [2-5]. استخدمت أيضاً مطيافية UV-Vis و FTIR لدراسة أثر أشعة X- على CR-39 [6].

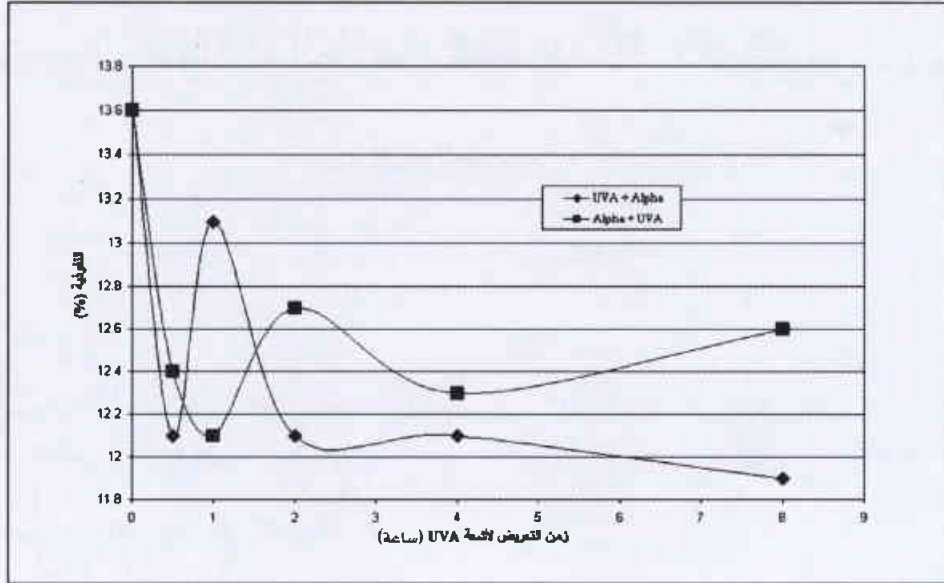
في هذا العمل تمت دراسة آثار SUV بمحاكي الأشعة فوق البنفسجية الشمسي وهو عبارة عن جهاز صناعة شركة SOLAR Light Company [7]. يبين الشكل 1 طيف الأشعة فوق البنفسجية UV الناتج عن أشعة الشمس بالمقارنة مع الطيف الناتج عن استخدام المحاكى. جرت دراسة تأثير تعرض CR-39 لنوعي الأشعة فوق البنفسجية المذكورين، وذلك باستخدام ثلاث تقنيات:



الشكل 1- مقارنة بين الأشعة فوق البنفسجية الصادرة عن هذا الجهاز (المحاكي) وبين تلك الناتجة عن الأشعة الشمسية.

* نُشرت ورقة البحث هذه في مجلة Radiation Measurements.

الشكل 2- نتائج قياسات
النفوذية باستخدام
طريقة FTIR للكواشف
البلاستيكية CR-39
المعرضة للأشعة فوق
البنفسجية من النوع
A عند طول موجة
3266.82 نانومتر.



يعطي مولد الأشعة فوق البنفسجية عند المسافة 10 سم جرعة
من 2.27 MED/min من SUV (MED هي جرعة الأشعة فوق البنفسجية
الأصفرية التي تسبب إريثما erythema) و 2.06 J/min من UVA. تم
حساب الجرعة النهائية باستخدام العلاقة المعروفة:

$$\text{الجرعة النهائية} = \text{معدل الجرعة} \times \text{الزمن (دقيقة)}$$

أخضعت كافة الكواشف لحك كيميائي باستخدام محلول ماءات
الصوديوم 6 N عند درجة الحرارة 70°C وذلك لمدة 6 ساعات، غسلت
الكواشف بعدها بالماء المقطر وجففت.

تم قياس أقطار الآثار باستخدام مجهر ضوئي بواسطة تكبير
مناسب. درست نسب نفوذية الكواشف باستخدام طرق UV-Vis
و FTIR. كانت هذه النسب بين كواشف معرضة وغير معرضة في
حالة تقانة UV-Vis وبين كواشف معرضة والهواء في حالة تقانة
FTIR.

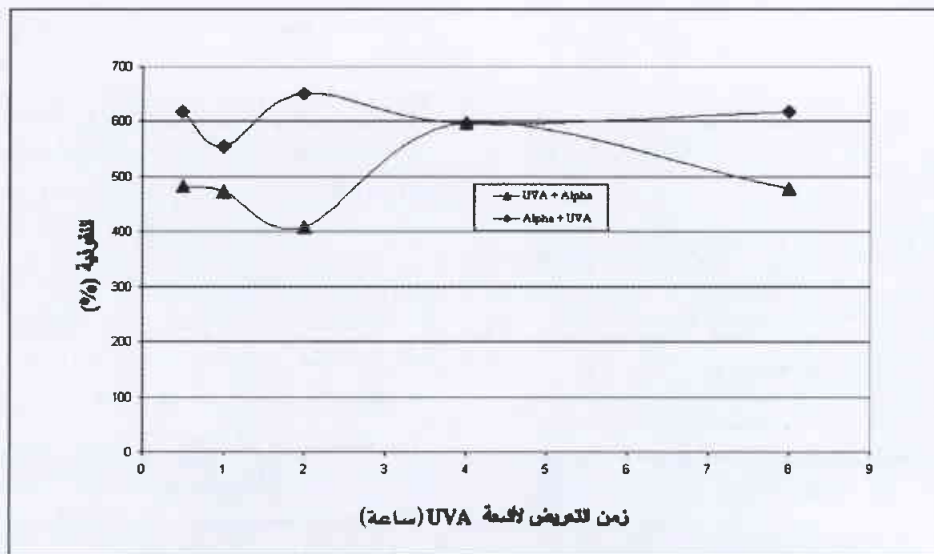
- 1- أقطار وكثافة الآثار.
- 2- مطيافية UV-Vis.
- 3- مطيافية FTIR.

الطرائق والقياسات

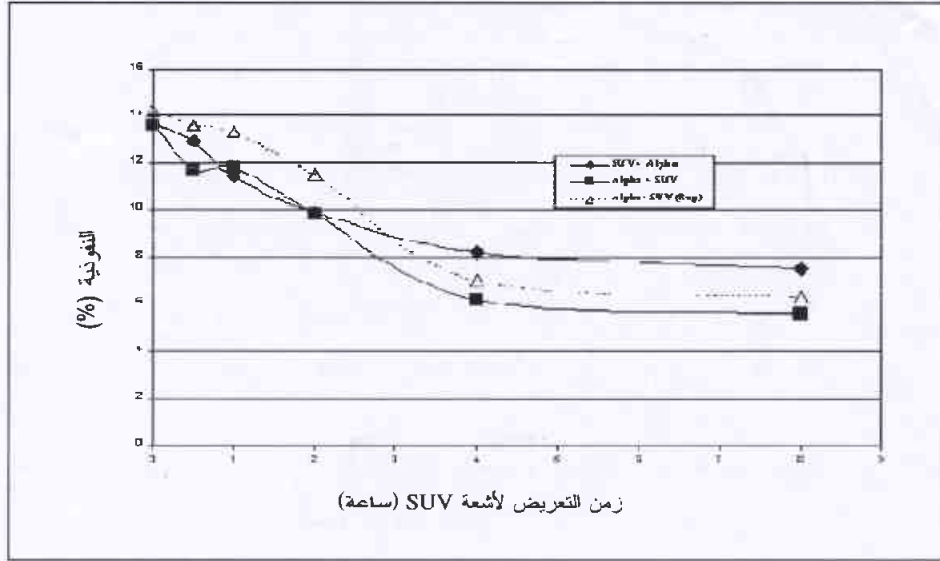
استخدمت مجموعتان من الكواشف البلاستيكية (كل واحدة 10
كواشف) بأبعاد 2cmx2cm. عرضت المجموعة الأولى للأشعة فوق
البنفسجية UV (5 كواشف لـ SUV و 5 لـ UVA). تم التعريض لفترات
زمنية مختلفة (0.5، 1، 2، 4، 8 ساعات) وعند مسافة ثابتة 10 سم من
خرج المنبع. بعدها تم تعريض هذه الكواشف لمنبع ألفا (^{241}Am 1667 α/s)
عند مسافة 1 سم ولمدة دقيقة واحدة.

أما المجموعة الثانية فقد عرضت بالعكس، أولاً لمنبع ألفا ثم
للأشعة فوق البنفسجية وبنفس الشروط كما في المجموعة الأولى.
أيضاً تم تعريض كاشفين لمنبع ألفا فقط وذلك للمراقبة.

الشكل 3- نتائج
قياسات النفوذية
باستخدام جهاز
UV-Vis للكواشف
البلاستيكية CR-39
المعرضة للأشعة فوق
البنفسجية من النوع
A عند طول موجة
حوالي 260 نانومتر.



الشكل 4- نتائج قياسات
النفوذية باستخدام
طريقة FTIR للكواشف
البلاستيكية CR-39
المعرضة للأشعة فوق
البنفسجية الشمسية
(SUV) عند طول
موجة 3266.82



والتعرض للأشعة فوق البنفسجية غير واضحة، وذلك بسبب التغيرات الصغيرة في قيم كثافة الأثر أو وسطي قطر الأثر. يعني ذلك أنه لا يمكن استخدام كثافة الأثر أو وسطي قطر الأثر كمؤشر للتعرض للأشعة فوق البنفسجية.

يظهر الشكلان 2 و 3 التغيرات في النفوذية للكواشف المعرضة للأشعة فوق البنفسجية وذلك باستخدام الطرق FTIR و UV-Vis عند طول الموجة 3266.82 nm و 260 nm على التوالي. يتضح من هذين الشكلين عدم وجود علاقة واضحة بين التغيرات في قيم النفوذية والتعرض لـ UVA سواءً كان هذا التعرض قبل أو بعد التعرض لجسيمات ألفا.

يظهر الشكلان 4 و 5 التغيرات في النفوذية المقاسة عند طول موجة 3266.82 nm للكواشف المعرضة لـ SUV، وذلك باستخدام طريقة FTIR وعند طول موجة 260 nm باستخدام طريقة UV-Vis على التوالي. يلاحظ من الشكلين وجود نوع من الترابط وذلك بين

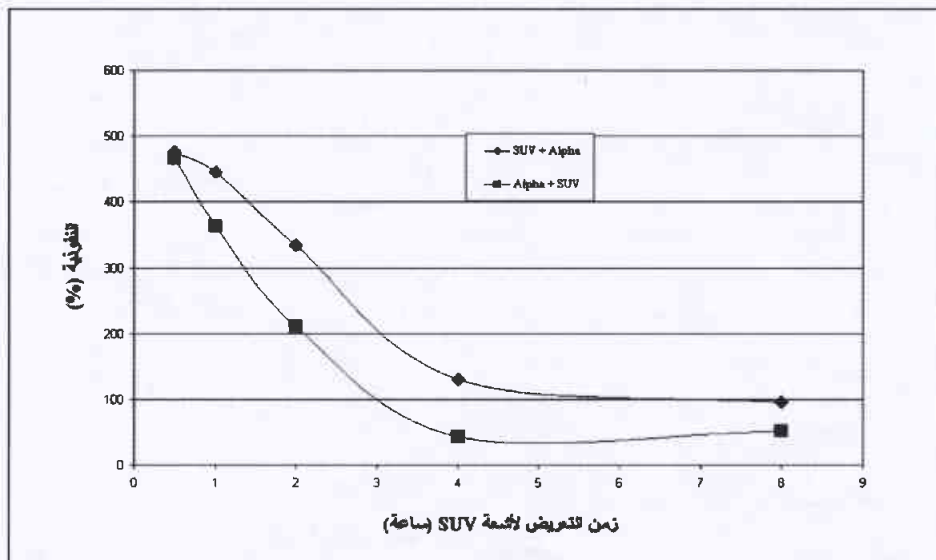
استخدمت قمة طول الموجة 260 ± 12 nm في طيف UV-Vis لمراقبة نفوذية الكاشف. في حين ظهر عدد من القمم في طيف FTIR ضمن المجال 2000-3500 nm، حيث تم اختيار القمة عند طول الموجة 3266.82 nm واستخدمت لمراقبة نفوذية الكاشف.

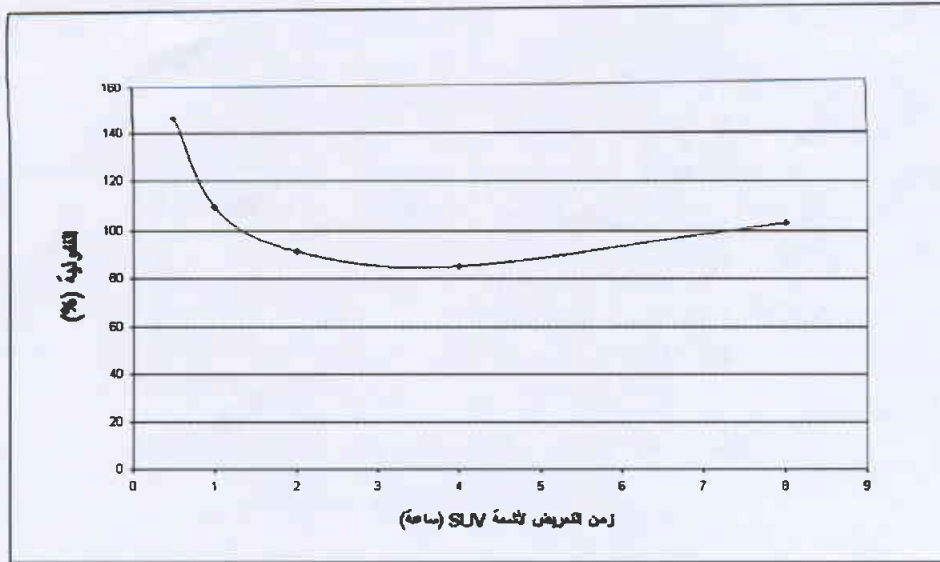
تم تحضير مجموعة إضافية أخرى من الكواشف (5 كواشف) وعرضت لـ SUV فقط وبنفس الشروط كما جرى في المجموعتين السابقتين. لم يتم تعريض كواشف هذه المجموعة لجسيمات ألفا ولم تحك كيميائياً. أيضاً أخضعت هذه المجموعة من الكواشف لدراسة النفوذية باستخدام كلتا الطريقتين السابقتين (UV-Vis و FTIR).

النتائج والمناقشة

أظهرت النتائج التي تم الحصول عليها من سيناريوهات التعرض للأشعة فوق البنفسجية المختلفة أن كثافة الأثر كانت ضمن المجال 5500 - 6500 أثر/سم²، بينما يبلغ وسطي أقطار الأثر 11 - 13 ميكرومتر. يبدو أن علاقة الترابط بين كثافة الأثر

الشكل 5- نتائج قياسات
النفوذية باستخدام
جهاز UV-Vis للكواشف
البلاستيكية CR-39
المعرضة للأشعة فوق
البنفسجية الشمسية
(SUV) عند طول موجة
حوالي 260 نانومتر.





أصبح زمن التعرض 8 ساعات. يظهر الشكل 6 منحنى تغير النفاذية مع زمن التعرض وذلك باستخدام طريقة UV-Vis. يمكن أن نلاحظ من هذا المنحنى أن النفاذية تتناقص أسياً مقابل زمن التعرض حتى 2 ساعة. لم تظهر طريقة FTIR أية تغيرات هامة في النفاذية التي كانت بحدود 18.5% (الشكل 7).

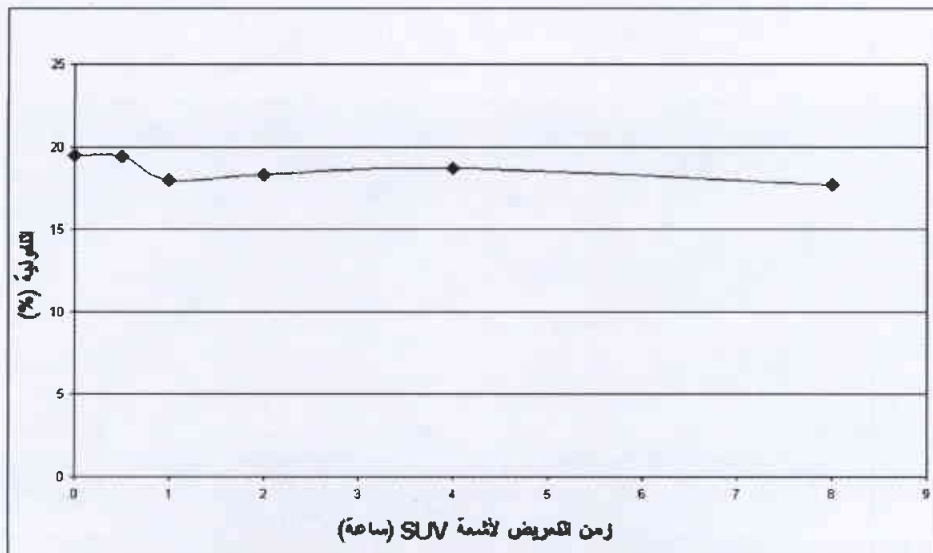
يمكن أن نلاحظ من الشكلين 4 و 5 وجود علاقة خطية واضحة بين نفاذية الكاشف والتعرض لـ SUV وذلك حتى زمن تعريض قدره 4 ساعات (يساوي التعرض للمحاكي لمدة 4 ساعات حوالي 40 ساعة تعرض للأشعة فوق البنفسجية الشمسية الطبيعية (انظر الشكل 1)). يمكن أيضاً أن نلاحظ من كلا الشكلين أن حساسية تقانة UV-Vis كانت أكثر بمائة مرة من حساسية تقانة FTIR.

الاستنتاج

يمكن الاستنتاج بأن استخدام كواشف CR-39 كمقياس جرعة الأشعة فوق البنفسجية ممكن من أجل الأشعة فوق البنفسجية

التعرض لـ SUV وقيم النفاذية الناتجة عن كلتا الطريقتين. على كل حال تمت ملاحظة فرق بسيط في القيم بين حالات التعرض $(\alpha + UV)$ و $(UV + \alpha)$. لكن بشكل عام كان السلوك نفسه ما عدا حالة $(\alpha + UV)$ باستخدام طريقة FTIR (الشكل 4). لذلك تمت إعادة هذه الخطوة بنفس الطريقة، وتم الحصول على نتائج أفضل. يعزى السبب في وجود فرق بين القياسين إلى الفرق في مساحة الكاشف حيث تسقط الحزمة الضوئية. لذلك يتطلب استخدام هذه الطريقة لتقدير التعرض لـ SUV تثبيت مساحة الكاشف حيث تسقط الحزمة الضوئية.

أظهرت مجموعة الكواشف التي تم تعريضها فقط لـ SUV نتائج مختلفة. عند استخدام طريقة UV-Vis، ظهرت فقط قمة واحدة عند طول الموجة 280 nm (من أجل أزمنة التعرض 0.5، 1، 2 ساعة) التي بدأت بالتناقص وذلك بازدياد التعرض لـ SUV حتى اختفت من أجل التعرض لأربع ساعات. ظهرت هذه القمة ثانية (230 nm) عندما



موضع الكاشف داخل كلا الجهازين، لذلك تكون النتائج الحاصلة قابلة للتكرار.

الشمسية SUV الصادرة عن جهاز المحاكاة الذي تم وصفه في هذا العمل. وهذا قابل للتطبيق فقط عند تنفيذ أي من التقنيتين UV-Vis أو FTIR. ووجد أنه من المهم جداً عند استعمال هذه التقانات تثبيت

REFERENCES

المراجع

- [1] Fleisher, R. L., Price, P. B., and Walker R. M., (1975). Nuclear Tracks in Solids: Principles and Applications. University of California Press, Berkeley, CA.
- [2] Chong, C. S., Marina, A. C., and Tan, L. F., (1993) "The effect of X-ray irradiation on track formation in LR-115 Type II track detector". Nucl. Tracks Radiat. Meas. 22, 101-104.
- [3] Sinha, D., Hhosh, S., Srivastava, A., Dedgaonkar, V. G. and Dwivedi, K. K. (1997). "Effect of gamma rays on PADC detectors", Nucl. Tracks Radiat. Meas. 28, 145-148.
- [4] Portwood, T., and Henshaw, D.L., (1986). "The effect of gamma dose on the alpha response of CR-39". Nuclear Tracks, 12, 105-108.
- [5] Shweikani, R., Durrani, S. A., and Tsuruta, T., (1993). Effect of gamma irradiation on bulk and track etching properties of cellulose nitrate (Daicel 6000) and CR-39 plastics. Nucl. Tracks Radiat. Meas. 22, 153-156.
- [6] Chong, C. S., Ishak, I., Mahat, R. H., and Amin, Y. M., (1997), "UV-Vis and FTIR spectral studies of CR-39 plastics irradiated with X-rays". Radiation Measurements, 28, 119-122.
- [7] SOLAR Light Co., 721 Oak Lane, Philadelphia, PA 19126-3342, E-mail: info@solar.com.

دراسة بنية وخصائص الوسط الكارستي لمنطقة اللامالو (مقاطعة إيرو- فرنسا)

★ باستخدام الرادار الجيولوجي

د. وليد الفارس

قسم الجيولوجيا - هيئة الطاقة الذرية السورية ص. ب. 6091 - دمشق - سوريا

د. ميشيل بكالوفيتش

جامعة مونبلييه الثانية - فرنسا

د. روجيه جيران

جامعة بيير وماري كوري (باريس 6) - فرنسا

ج. ف. ميشيل دوكان

معهد البحوث والتطوير - مونبلييه - فرنسا

ملخص

يقع موقع الدراسة (Lamalou site) على بعد 40 كم إلى الشمال من مدينة مونبلييه الساحلية في جنوب فرنسا، حيث تتألف صخور هذا الموقع من طبقة كلسية كارستية تحتوي على مجرى كارستي جوفي karst conduit يقع على عمق يتراوح ما بين 15 إلى 75 م تحت سطح الأرض، يخرج على شكل نبع كارستي عند التقاطع مع سطح الأرض في فترة الأمطار. يمتد هذا المجرى المائي لعدة مئات من الأمتار داخل الصخور الكارستية شديدة التشقق. يمكن الوصول إلى هذا المجرى الكارستي من السطح عن طريق شق أو مسلك طبيعي يخترق الصخور بشكل عمودي.

الهدف الرئيسي من هذا العمل العلمي هو دراسة وتحليل البنية الجيولوجية للطبقات الكارستية الواقعة بين سطح الأرض والمجرى الكارستي الجوفي من جهة، ومن أجل اختبار فعالية تطبيق طريقة الرادار الجيولوجي في بيئة كارستية من جهة أخرى. لقد أظهرت هذه التقانة بشكل جلي أنها ذات فعالية عالية في دراسة الأجزاء الكارستية القريبة من السطح والتي تمتد إلى أعماق لا تتجاوز 30 م، وخاصة عند غياب أو ندرة التوضعات الغضارية السطحية والتي يؤدي وجودها إلى تخامد الأمواج الرادارية بشكل كبير. في إطار هذه الدراسة، تم استخدام الرادار Pulse EKKO-100، وهو من إنتاج الشركة الكندية Sensors and Software، وكان تردد الهوائيات المستخدمة 50 ميغا هرتز. لقد أظهرت النتائج التي تم الحصول عليها من تفسيرات المقاطع الجيورادارية البنية المفصلة والدقيقة التي تميز بشكل عام البيئة الكارستية: نطاق الأبيكارست epikarst zone، سطوح التطبق وميولها، النطاقات المشققة والنطاقات القاسية. كذلك من خلال المقطع العمودي لأحد البروفيلات المنفذة، فقد استطعنا تحديد موقع الكهف الكارستي وأبعاده الجيومترية بدقة، حيث يقع عند عمق قدره 20 م من سطح الأرض. يعتبر هذا الموقع ذا أهمية كبيرة وذلك لكونه يسمح بتأكيد صحة ودقة تفسير المقاطع المنفذة من خلال مقارنتها مع البنية الحقيقية للموقع بفضل وجود مسلك طبيعي يصل إلى المجرى الكارستي والكهف الرئيسي، بالإضافة إلى وجود بئرين لبابين يقطعان الكهف الكارستي.

الكلمات المفتاحية: جيورادار، كارست، كهف كارستي، جنوب فرنسا.

مقدمة

وكذلك في دراسات الأوساط المائية الجوفية [7.6]، فضلاً عن دراسة حالات التلوث التي تحدث للمياه الجوفية [8. 9]. لقد بين العديد من الدراسات أن طريقة الاستكشاف بواسطة الرادار الجيولوجي هي الأكثر فعالية ودقة، خاصة في دراسات الكارست، من طرق جيوفيزيائية أخرى تقليدية، كالطريقة الجاذبية وطريقة المقاومة

في المجال الهيدروجيولوجي، طبقت تقانة الجيورادار أو الرادار الجيولوجي (Ground Penetrating Radar-GPR) من أجل تحديد النطاقات الكارستية المشققة، والشقوق والفوالق، بالإضافة إلى الكهوف والفجوات والمجاري الكارستية تحت السطحية [1.5.4.3.2.1]،

* نشرت ورقة البحث هذه في مجلة 97-106 (2002) 51 Journal of Applied Geophysics.

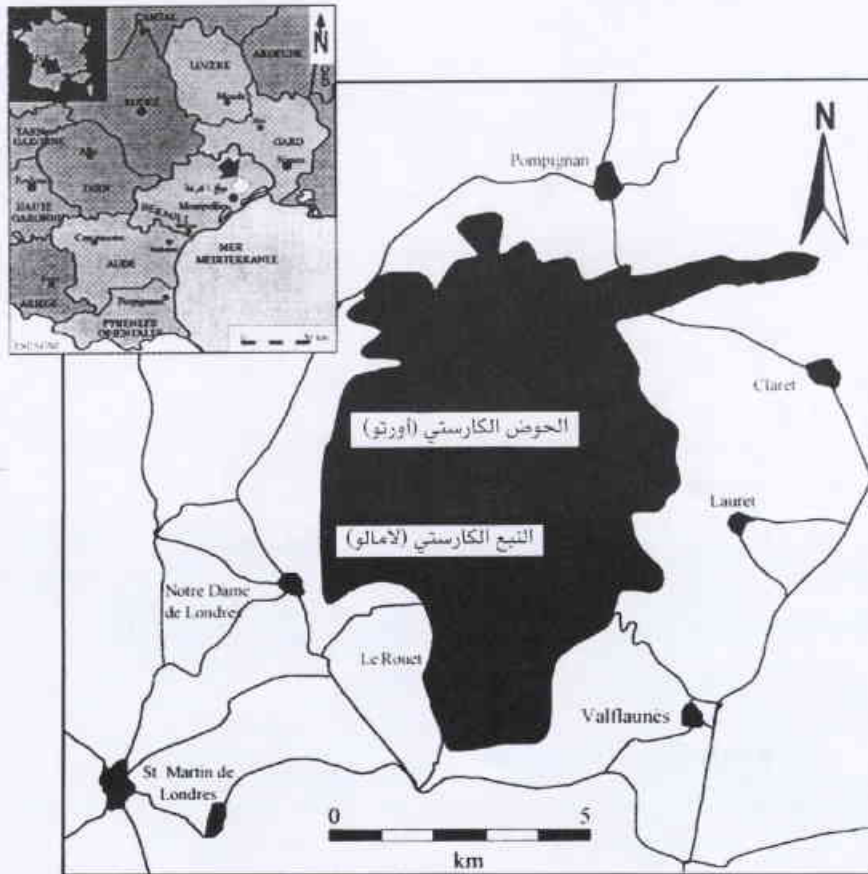
المنطقة بحدود 50 إلى 70 كم². يحدُّ موقع الدراسة من الغرب حوض سان مرتان دو لوندز Saint Martin de Londres، ومن الشمال الشرقي سهول بونبينا وكلايه plains de Pompignan et Claret، ومن جهة الجنوب قمة جبل سان لوب Pic Saint-Loup. يتراوح الارتفاع الطبوغرافي من 195م في الجنوب الغربي حتى 512م في الجنوب الشرقي. يسود المنطقة مناخ متوسطي يتميز بمطار غزيرة إلى معتدلة الغزارة خلال شهري تشرين الأول وتشرين الثاني وأمطار متوسطة إلى خفيفة خلال فصل الربيع يلي ذلك صيف شبه جاف يمتد من أيار وحتى آب. يغطي سطح المنطقة طبقة كثيفة من الغابات الطبيعية والتي تسود فيها أشجار السنديان والبلوط وأشجار حراجية أخرى. وبشكل عام، يتصف سطح المنطقة بعدم وجود أو ندرة التوضعات اللحقية أو الترابية التي تغطي الطبقات الكارستية باستثناء بعض المنخفضات الصغيرة المليئة بتوضعات غضارية يمكن زراعتها. تعود أعمار التشكيلات التي تؤلف طبقة الحجر الكلسي السطحية إلى الفالنجيان (كريتاسي أدنى)، تتوضع بتوافق فوق طبقات من المارل والحجر الكلسي المارلي تعود إلى البيرسیان (كريتاسي أدنى) والجوراسي العلوي (الشكل 2). يبلغ متوسط سمك

الكهربائية [11.10]. ومن أجل التعمق في مجال استخدام طريقة الجيوراډار في مجال دراسة الكارست، يمكن الرجوع إلى المراجع التالية: [12.13.14.15.16.17.18]. سوف نبين من خلال هذه الورقة العلمية أن الجيوراډار ليس فقط قادراً على وصف وبشكل مفصّل ودقيق النطاق السطحي المشقق ونطاق الرشح وإنما قادراً أيضاً على تحديد وبفاعلية كبيرة الكهف الكارستي الطبيعي وأبعاده الجيومترية.

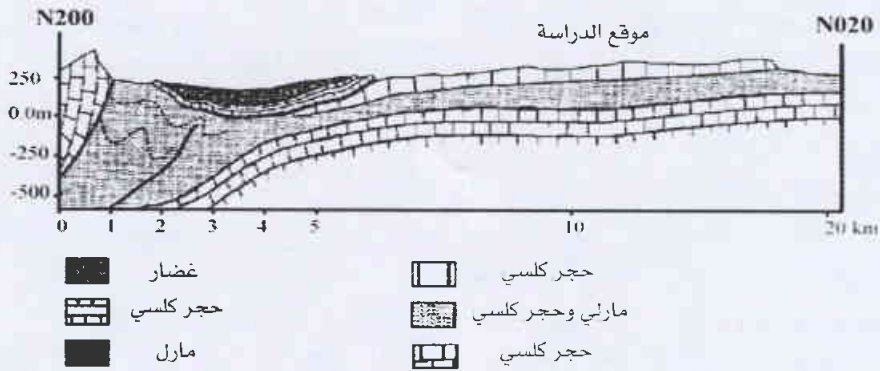
موقع الدراسة

في الفترة الواقعة بين عامي 1976 وحتى 1996، نُفذ العديد من الدراسات والبحوث العلمية الجيولوجية والهيدروجيولوجية والهيدروديناميكية والجيوكيميائية، بالإضافة إلى الجيوفيزيائية على الموقع الكارستي التجريبي في لامالو (experimental site of Lamalou) بهدف دراسة البنية العامة وآلية العمل الهيدروجيولوجية لهذا الوسط الكارستي [19.20.21.22.23.24].

يقع موقع الدراسة ضمن نطاق كارستي (Hortus karst plateau)، على مسافة 40 كم² إلى الشمال من مدينة مونبلييه في جنوب فرنسا (الشكل 1). تبلغ المساحة الكلية للتشكيلات الكارستية التي تغطي

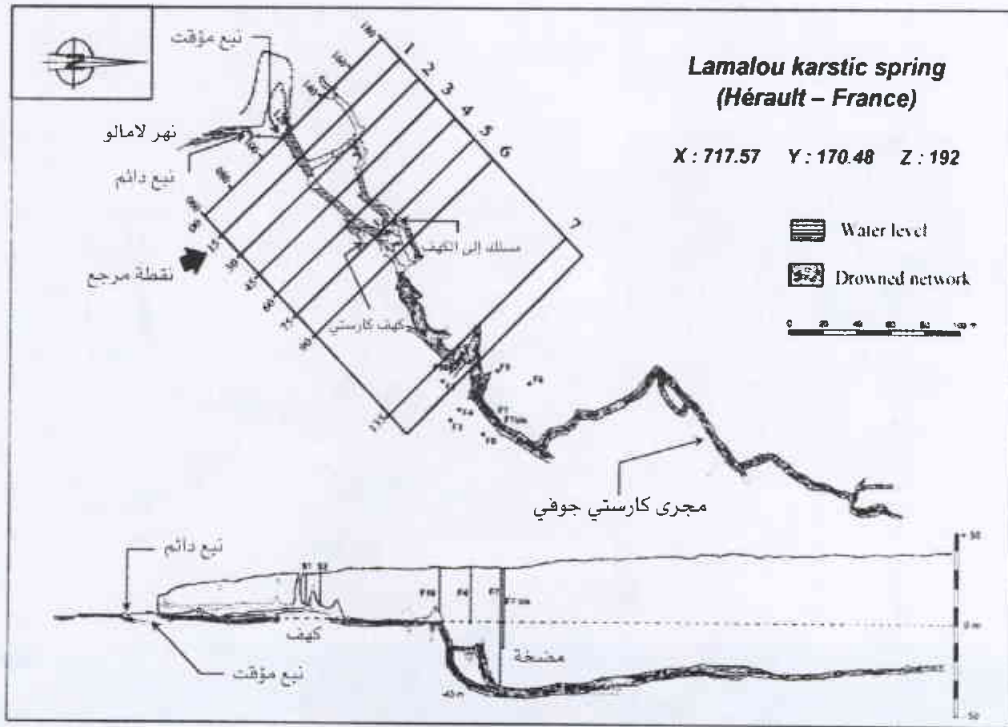


الشكل 1- الوضع الجيولوجي والجغرافي لموقع الدراسة التجريبي (Experimental site of Lamalou).



الشكل 2- مقطع جيولوجي للتشكيلات الرسوبية لموقع الدراسة.

الحجر الكلسي بحدود 80 إلى 100م [22]. تتميز الصخور الطبقات الكلسية بمسامية ضعيفة جداً (1.84%) ونفوذية شبه معدومة [22]. الرئيسي على عمق 18.2 و 18.5م. بين 32 إلى 80م بالإضافة إلى بئرين لبابين (S2, S1) يقطعان الكهف



الشكل 3- يمثل أماكن تنفيذ القياسات الحقلية للجيورادار (GPR) بالنسبة إلى المجرى الكارستي. F، آبار استكشافية؛ S1 و S2، آبار لبابية تقطع الكهف الكارستي.

خصائص الرادار المستخدم

من أجل تنفيذ القياسات الحقلية، تم استخدام الجيورادار Pulse EKKO-100 الخاص بالشركة الكندية Sensors and Software. حيث يتألف من وحدة تحكم مركزية (console) موصولة إلى حاسوب محمول من أجل التسجيل المباشر للمعطيات، ووحدة التحكم بحد ذاتها موصولة أيضاً إلى هوائي مرسل وآخر مستقبل بواسطة كوابل مصنعة من

تتم عمليات الرشح للمياه السطحية بشكل مباشر وكلي من خلال الشقوق العمودية التي تفصل البلوكات الصخرية باتجاه المجرى المائي الجوفي الذي يتطور على امتداد سطح تطبيق ستراتغرافي يفصل النطاق غير المشبع والنطاق المشبع (الشكل 3). يتسع هذا المجرى الكارستي بالقرب من مكان التصريف مشكلاً كهفاً كارستياً طبيعياً. الموقع مجهز بعشرة آبار استكشافية تتراوح أعماقها ما

في مجملها في الجزء الضحل من المجرى الكارستي الجوفي وبطول 120م لكل بروفيل.

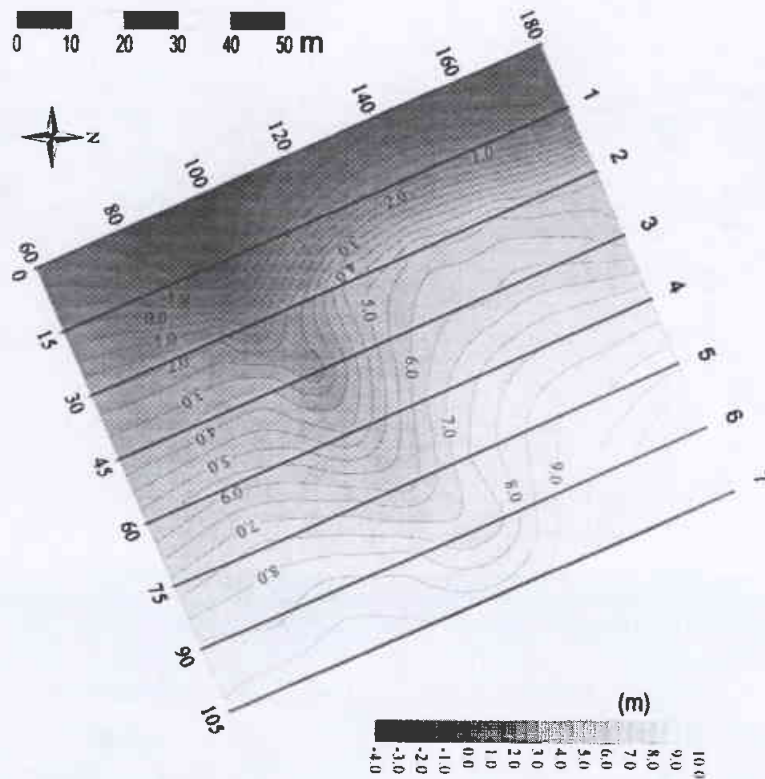
المعالجة والتفسير

من أجل الحصول على الوضع الحقيقي لمختلف البنى الجيولوجية للطبقات المخترقة، تم إجراء مسح طبوغرافي لجميع البروفيلات وكانت النقطة (x=15, y=60) من البروفيل الأول هي المحطة المرجع. يمثل الشكل 4 خريطة طبوغرافية للجزء المدروس، حيث يمكن تمييز ميل عام مساوٍ إلى 12 درجة باتجاه عمودي على بروفيلات القياس. في منتصف الشكل نلاحظ وبشكل جلي منخفضاً وعمق يتراوح بين 3 و 4م ويعرض من 5 إلى 10م يقطع جميع البروفيلات. يمكن أن يكون هذا المنخفض مرتبطاً بفالق ذي رمية ضعيفة أو بصدع كبير. من بين البروفيلات السبعة المنقذة سوف نعرض فقط البروفيل رقم 5، حيث تم تنفيذه مباشرة فوق الكهف الكارستي. يُبين الشكل 5 العديد من البنى التي تميز وسطا كارستياً نذكر منها:

استطاعة الجهاز	400 هونط
تردد الهوائيات	50 ميغا هرتز
طول الهوائي	2 م
خطوة القياس	0.5 م
نافذة زمن التسجيل	400 إلى 600 نانوثانية
مجال أخذ العينات	1600 نقطة ثانية
استطاعة البطاريات	12 هونط

الجدول 1- يمثل بارامترات القياس للرادار المستخدم

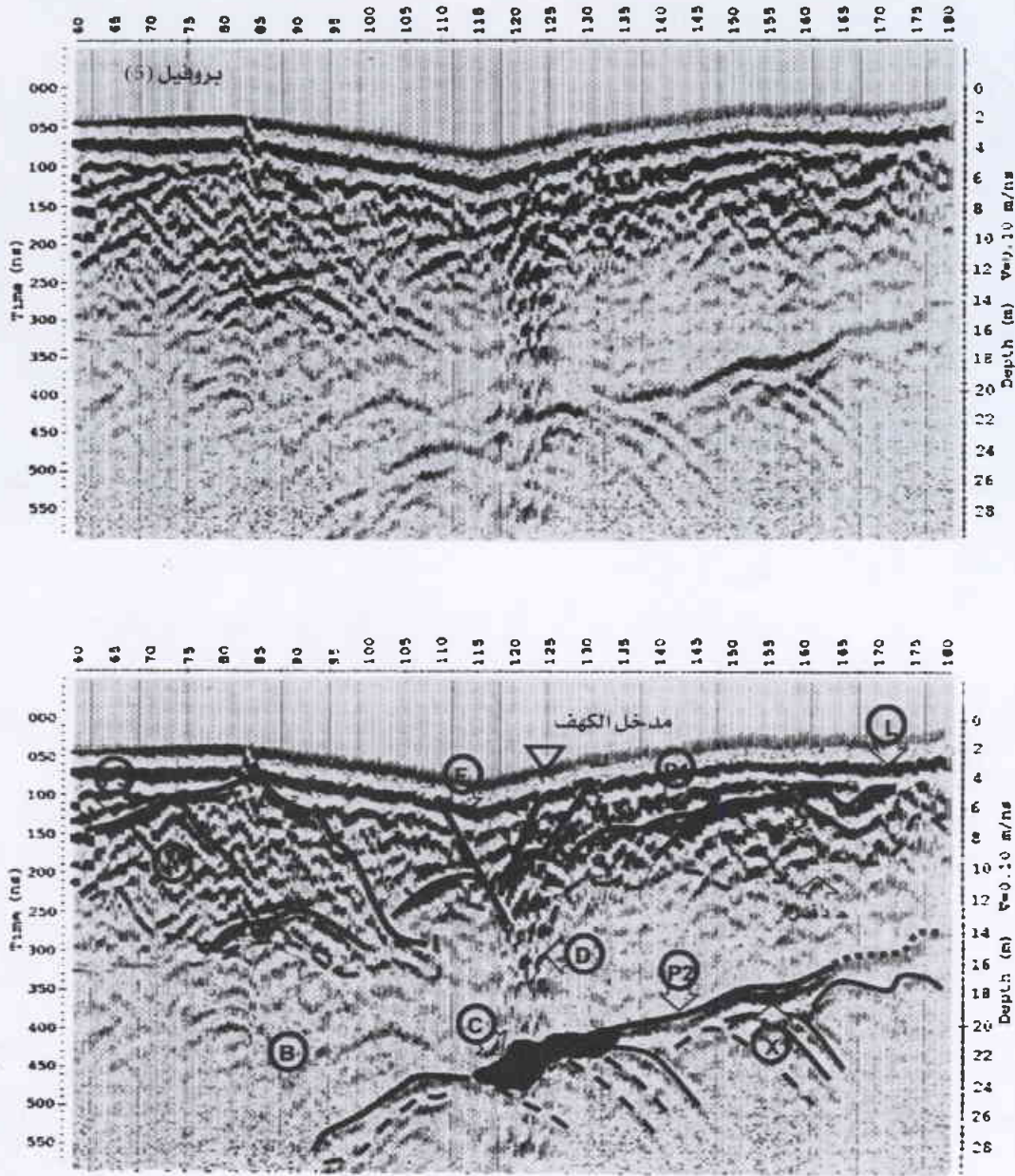
الآلياف الضوئية، انظر إلى بارامترات القياس المدرجة في الجدول (1). من أجل عدم حدوث تشويش وتداخل في الإشارات المرسله والمنعكسة، من الضروري إبعاد وحدة التحكم والحاسوب مسافة كافية عن الهوائيات. من أجل تقدير سرعة انتشار الأمواج الكهرومغناطيسية التي تخترق الصخور الكلسية، والتي يجب أن تؤخذ في الاعتبار أثناء إجراء القياسات، فقد تم تنفيذ بروفيل بطول 20م حسب تشكيل (Common Mid-Point)، حيث كانت السرعة المحسوبة



الشكل 4- تمثيل طبوغرافي ثنائي الأبعاد لنطاق قياسات الجيوراډار.

1. نطاق صخري ضحل (مشار له بالرمز A، الشكل 5). يتميز هذا النطاق بوجود العديد من السطوح العاكسة المرتبطة بوجود شبكة كثيفة من الشقوق والصدوع تفصل الكتل الصخرية، حيث يتراوح

ضمن هذه التشكيلات تساوي 0.1م/نانو ثانية¹. وتبعاً إلى هذه السرعة وإلى نافذة زمن التسجيل، فقد قُدِّر عمق الاختراق وكان بحدود 20 إلى 30م. عدد البروفيلات المنقذة في الموقع هي سبعة تقع



الشكل 5- تفسير البروفيل رقم 5 حيث، A: حجر كلسي مشقق (إبيكارست) B: حجر كلسي كتلي قاس؛ C: كهف كارستي طبيعي؛ D: مسلك طبيعي يصل الكهف الكارستي؛ F: فالق؛ L: كارن أو لايباز؛ P1، P2، P3: سطوح تطبق؛ X: كهف كارستي مكتشف.

يفصل بين طبقتين الأولى مؤلفة من حجارة مختلفة الأحجام متناثرة مع كتل صخرية مكانية شديدة التجوية، في حين أن الطبقة الأخرى مؤلفة من صخور كلسية كتلية، تظهر على شكل بلوكات صخرية شديدة التجوية ومكرسته يُطلق عليها اسم لايباز أو كارن (labiaz or karren)، يخضع سطح التطبق هذا في بعض الأماكن (الشكل 5) إلى تشويش أو انقطاع يمنع استمراره جزئياً ناتج عن وجود فالق أو شق كبير.

2. نطاق أكثر عمقاً يلي النطاق السابق، حيث يتراوح سمكه من 8 إلى 10م، مكون من حجر كلسي رمادي اللون قاس جداً مشار إليه بالرمز (B)، هذا النطاق محدود من الأسفل بسطح تطبق آخر (P2)

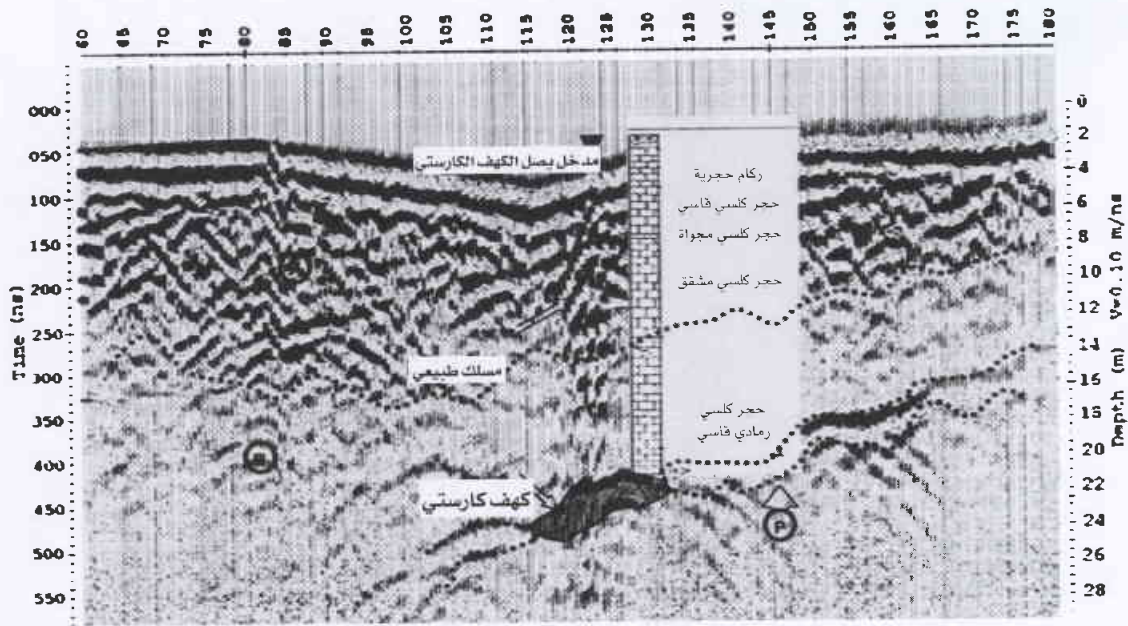
سمك هذا النطاق من 8 إلى 12م. يمثل هذا النطاق ما يُطلق عليه اسم الإبيكارست epikarst [25]، الذي يلعب دوراً مهماً ورئيسياً في عملية الرشح العمودي باتجاه النطاق غير المشبع والمشبع بالإضافة إلى أنه، وفي كثير من الأحيان، يمكن أن يتشكل ضمنه خزان مائي بالقرب من السطح. يمثل انحدار العاكس الرئيسي (سطح التطبق)، والمشار إليه بالرمز (P1)، الميل العام للتشكيلات الجيولوجية والذي تم التحقق منه بالقياس المباشر على السطح، حيث تراوحت قيمته بين 12° و 18°، يتقاطع هذا العاكس مع سطح الأرض في الجزء الأخير من منطقة الدراسة حيث دلت الملاحظة المباشرة على أنه سطح تطبق

وينبويًا بالإضافة إلى التطابق في السماكات الصخرية على النحو التالي (الشكل 6):

- ♦ طبقة رقيقة مكوّنة بقايا من الحجارّة الكلسية تمتد من 0 حتى 0.6م.
 - ♦ طبقة من الحجر الكلسي الأصفر (اللون الأصفر ناتج عن جريان المياه ضمن هذه الطبقة السطحية) المجوأة أحياناً والقاسية أحياناً أخرى، تحتوي على شقوق تمتد من 0.6 إلى 11م (نطاق epikarst).
 - ♦ طبقة من الحجر الكلسي القاسي رمادية اللون تمتد من 11 حتى 16.5م.
 - ♦ طبقة كارستية مكوّنة من الحجر الكلسي المشقق تشكل سقف الكهف الكارستي تمتد من 16.5 حتى نهاية البئر اللبائي.
- كانت قيم المسامية الكلية والمقيسة بواسطة مقياس المسامية الرئبيقي، ضعيفة جداً حيث تساوي 1.84% وهذا يعني أن دور النسيج

موازٍ لسطح التطبُّق السابق (P1)، المسافة التي تفصل بين السطحين هي 13 م، تمثل سمك الطبقة الوسطى. يُلاحظ ضمن هذا النطاق ضعف الإشارات الرادارية المنعكسة، وهذا يعود بالدرجة الأولى إلى غياب شبه كلي للسطوح العاكسة absence of reflectors وإلى وجود عدم تجانس فيزيائي وبنويي ضعيف (low physical and structural heterogeneity) بالمقارنة مع ما هو ملاحظ في النطاق السطحي.

وكما ذكر سابقاً من أن البروفيل الخامس منقذ مباشرة فوق الكهف الكارستي (C)، هذا الكهف يمكن الوصول إليه عن طريق مسلك عمودي (D)، مميز في مركز الشكل 5 بانعكاسات عمودية شديدة التباين بالنسبة لما يحيط بها، كما يظهر في هذا المقطع وبدقة عالية الكهف الكارستي الطبيعي بأبعاده الحقيقية، كما يتّضح أيضاً وجود كهف كارستي آخر (X) غير معروف من قبل، يُكتشف لأول



الشكل 6- مقارنة بين المقطع الجيوراداري 5 مع العمود الميتولوجي للبئر S2 المنقذ مباشرة فوق الكهف الكارستي. A : حجر كلسي مشقق أصفر اللون؛ B : حجر كلسي قاسي رمادي اللون؛ P : سطح تطبُّق.

الصخري شبه معدوم في عملية الرشح [20]، وأن معظم المياه التي ترشح إلى الأسفل باتجاه النطاق المشبع تتم بشكل رئيسي عن طريق الشقوق والمجاري الكارستية العمودية.

بعد تفسير كافة بروفيلات القياس، تمّ النزول إلى الكهف الكارستي وذلك من أجل إثبات صحة ما تمّ الحصول عليه من نتائج القياس، حيث تمّ التأكيد من الأبعاد الجيومترية ومن موضع الكهف، حيث وجد تطابق كلي ودقيق، كما تمّ التحقق أيضاً من أن الكهف الكارستي قد تشكل من تقاطع سطح تطبُّق وفالق شاقولي تلتها عمليات كرسنة قوية.

مرة في إطار هذه الدراسة، حيث يتوضع ويتطور على امتداد سطح التطبُّق (P2). جميع البنى والعناصر التي تمّ الكشف عنها وتفسيرها (النطاق السطحي epikarst، وسطوح التطبُّق، والنطاقات المشققة والقاسية المجرى والكهوف الكارستية) في البروفيل (5) يمكن ملاحظتها في بقية بروفيلات القياس المنقذة.

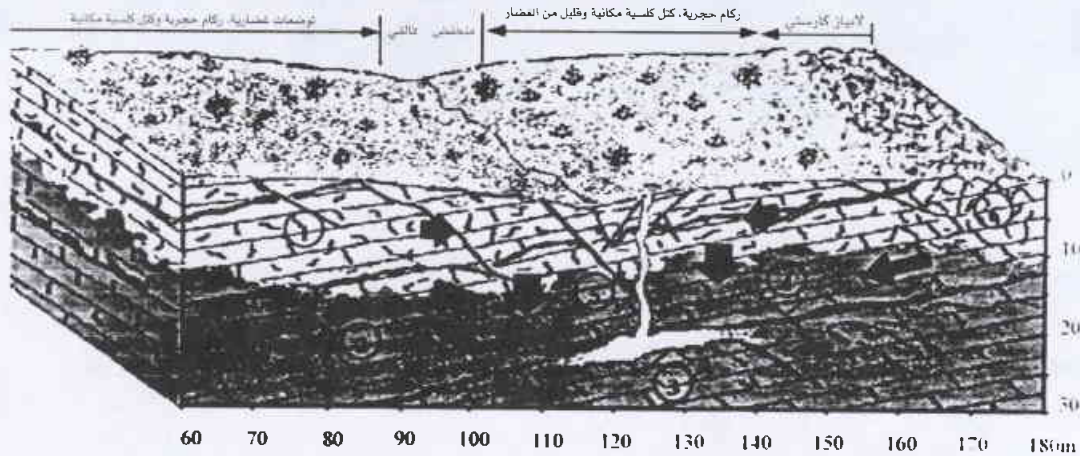
كذلك تمّ إجراء مقارنة دقيقة ومفصلة لمقطع البروفيل (5) مع اللبائ الصخري المستخرج من البئرين S1، S2 (الشكل 3) المنقذين مباشرة فوق الكهف الكارستي، حيث لوحظ تطابق تام ليتولوجياً

واستخدام ترددات رادارية منخفضة (50MHz)، جعل تطبيق تقانة الجيورادار فعالاً وذلك بسبب التخامد الضعيف للأمواج الرادارية وبالتالي عمق اختراق كبير.

إن إجراء مسح طبوغرافي لموقع الدراسة ساهم وبشكل فعال في إعادة بناء البنى الجيولوجية المسبورة وجعلها تأخذ مكانها ووضعها الحقيقي. قادت المقاطع الجيورادارية إلى إظهار معظم البنى الجيولوجية التي تميز وسطاً كارستياً قليل العمق (نطاقات كارستية مشققة، إبيكارست، سطوح التطبق وميولها، مجار كارستية) بالإضافة إلى ذلك فقد تم تحديد الكهف الكارستي الرئيسي الموجود

النموذج المقترح

استناداً إلى تفسير المقاطع الجيورادارية والآبار اللبائية بالإضافة إلى الملاحظة المباشرة على السطح وداخل الكهف الكارستي، تم بناء نموذج جيولوجي وذلك عن طريق الانتقال من المعطيات الجيوفيزيائية إلى معطيات جيولوجية على شكل نموذج ثلاثي الأبعاد (3D) الشكل (7)، يعرض مختلف العناصر الجيولوجية التي تم سبرها. يصف هذا النموذج أفقياً وعمودياً مختلف البنى التي يتميز بها الموقع الكارستي لامالو Lamalou بالقرب من نقطة التصريف، حيث يمكن أفقياً على السطح في الجزء المدروس تمييز ثلاث سحنات جيولوجية



الشكل 7- نموذج جيولوجي (synthetic) ثلاثي الأبعاد يظهر البنية العامة لموقع الدراسة (Lamalou site) مستنتج من تفسير المقاطع الجيورادارية ومن العمود الليتولوجي للآبار S1, S2،

على عمق أكثر من 20م تحت سطح الأرض. إن النتائج التي تم الحصول عليها من المقاطع الجيورادارية أثبتت صحتها من خلال مقارنتها مع الآبار اللبائية والملاحظات المباشرة على السطح وداخل الكهف الكارستي. وبالنتيجة يمكن الاستفادة من نتائج هذه الدراسة وتعميمها على أوساط كارستية مشابهة وخاصة الأوساط الكارستية لحوض البحر المتوسط.

المراجع

REFERENCES

- [1] Beres, M., Haeni, F.P., 1991. Application of ground penetrating radar methods in hydrogeologic studies. Ground Water 29, 375- 386.
- [2] Holub, P., Dumitrescu, T., 1994. Détection des cavités à l'aide de mesures électriques et du géoradar dans une galerie d'amenée d'eau. Journal of Applied Geophysics 31, 185-195.
- [3] Robert, A., de Bosset, C., 1994. Application du géoradar à la location de cavités, de nids de gravier et de zones karstiques. Journal of Applied Geophysics 31, 197- 204.
- [4] McMechan, G.A., Loucks, R. G., Zeng, X., Mescher, P., 1998.

تتعلق بثلاث طبقات كلسية ذات طبيعة متنوعة:

على امتداد 40م الأولى من النموذج، تغطي السطح طبقة غضارية رقيقة جداً، يبلغ سمكها عدة سنتيمترات، بالإضافة إلى أنقاض حجرية وكتل صخرية متناثرة هنا وهناك، هذا الجزء محدود بواد صغير يتوسط النموذج. في الجزء اليميني من الشكل، تنخفض نسبة التوضعات الغضارية وتزداد التوضعات الحجرية والكتل الصخرية. أما العشرون متراً الأخيرة من النموذج، فتتألف من كتل كلسية كارستية شديدة التشقق تشكل اللبائز.

عمودياً، يتألف النموذج المقترح من نطاق سطحي مشقق والذي يشكل نطاق epikarst سمكه يتراوح بين 8 إلى 12م، يلي هذا النطاق طبقة كلسية رمادية قاسية قليلة التشقق تشكل النطاق غير المشبع. هذان النطاقان مسؤولان عن عمليات الرشح ضمن الوسط الكارستي. على الحد الفاصل بين النطاق المشبع ونطاق الرشح، يتشكل الكهف الكارستي على امتداد سطح التطبق.

الخلاصة

إن عدم وجود توضعات ذات ناقلية كهربائية مرتفعة كالغضارية

- Ground penetrating radar imaging of a collapsed paleocave system in the Ellenburger dolomite, central Texas. *Journal of Applied Geophysics* 39, 1 -10.
- [5] Beres, M., Luetscher, M., Olivier, R., 2001. Integration of ground penetrating radar and microgravimetric methods to map shallow caves. *Journal of Applied Geophysics* 46, 249- 262.
- [6] Sellmann, P.V., Arcone, S.A., Delaney, A.J., 1983. Radar profiling of buried reflectors and the groundwater table. U.S. Army Cold Region Research and Engineering Laboratory Report, 83-11, 16 pp.
- [7] Arcone, S.A., Lawson, D.E., Delaney, A.J., Strasser, J.C., Strasser, J.D., 1998. Ground penetrating radar reflection profiling of groundwater and bedrock in an area of discontinuous perma-frost. *Geophysics* 63, 1573-1784.
- [8] Benson, A. K., 1995. Applications of ground penetrating radar in assessing some geological hazards: examples of groundwater contamination, faults, cavities. *Journal of Applied Geophysics* 33, 177- 193.
- [9] Atekwana, E.A., Sauck, W.A., Werkema Jr., D.D., 2000. Investigations of geoelectrical signatures at a hydrocarbon contaminated site. *Journal of Applied Geophysics* 44, 167-180.
- [10] Yelf, R. J., Creswell, L., 1988. Comparison of groundradar, microgravity, EM and methods for delineation of karstic sinkholes (4 - 32). Abstract Symposium EAEG 50th Meeting, 167 pp.
- [11] Chamberlain, A. T., Andrew, T. C., William, S., Chis, P., Roslyn, C., 2000. Cave detection in limestone using ground penetrating radar. *Journal of Archaeological Science* 27, 957-964.
- [12] Stangland, H. G., Kuo, S.-S., 1987. Use of ground penetrating radar techniques to aid in site selection for land application sites. 2nd Multidisciplinary Conference on Sinkholes and the Engineering and Environmental Impacts of Karst, Orlando (Florida), 9-11 February.
- [13] Roark, M.S., Lambert, D.W., 2001. Application of bistatic low frequency GPR for mapping karst features and bedrock topography. 8th Multidisciplinary Conference on Sinkholes and the Engineering and Environmental Impacts of Karst, Louisville (Kentucky, US), 1- 4 April.
- [14] Geraads, S., Omnes, G., 2002. Imaging karstic structures with GPR along a motorway under construction. 8th International Conference on Ground Penetrating Radar, Santa Barbara (California, US), 29 April -2 May.
- [15] Finetti, I. R., Pipan, M., Candotti, G., 1995. Advanced GPR exploration in karstic areas. 1st Environmental and Engineering Geo-physical Society-European Section Meeting, Torino (Italy), 25- 27 September.
- [16] Carpenter, P. J., Doll, W. E., Kaufmann, R. D., 1995. Identification of dolines and karst recharge points using geophysical techniques, Oak Ridge, Tennessee. Annual Symposium on the Application of Geophysics to Engineering and Environmental Problems, Orlando (Florida, US), 23- 26 April.
- [17] Valle, S., Zanzi, L., 1996. Radar tomography for cavities detection. Annual Symposium on the Application of Geophysics to Environmental and Engineering Problems, Keystone (Colorado, US), 28 April -2 May.
- [18] El-behiry, M. G., Hanafy, S. M., 2000. Geophysical surveys to map the vertical extension of a sinkhole: a comparison study. Annual Symposium on the Application of Geophysics to Environmental and Engineering Problems, Arlington (Virginia, US), 20 - 24 February.
- [19] Théron, R., 1976. Carte de fracturation du causse de l'Hortus au 1:1500. Inédit.
- [20] Bonin, H., 1980. Contribution à la connaissance des réservoirs aquifères karstiques, un exemple: Le causse de l'Hortus, un site expérimental: la source du Lamalou. Thèse de Doctorat, Université Montpellier II, 122 pp.
- [21] Chevalier, J., 1988. Hydrodynamique de la zone non saturée d'un aquifère karstique: étude expérimentale. Thèse de Doctorat, Université de Montpellier II, 212pp.
- [22] Durand, V., 1992. Structure d'un massif karstique. Relations entre déformation et facteurs hydro-météorologiques. Causse de l'Hortus, site des sources du Lamalou (Hérault). Thèse de Doctorat, Université Montpellier II, 207 pp.
- [23] Turberg, P., 1993. Apport de la cartographie radiomagneto-tellurique à l'hydrogéologie des milieux fractures. Thèse de Doctorat, Université de Neuchâtel, 132 pp.
- [24] Climent, H., 1996. Transport du radon à l'interface lithosphère - atmosphère: étude de l'influence des paramètres externes. Thèse de Doctorat, Université Montpellier II, 234 pp.
- [25] Bakalowicz, M., 1995. La zone d'infiltration des aquifères karstiques. Méthodes d'étude. Structure et fonctionnement. *Hydrogéologie* 4, 3 - 21.

تأثير نسبة الرمل إلى الإسمنت في انبثاق غاز الرادون من الخلطات الإسمنتية المحتوية على الراديوم ^{226}Ra ★

د.صلاح الدين تكريتي

قسم الفيزياء - هيئة الطاقة الذرية - ص.ب. 6091 - دمشق - سوريا

د.رياض شويكاني - أحمد فارس علي - غسان رجا

قسم الرقابة والأمان - هيئة الطاقة الذرية - ص.ب. 6091 - دمشق - سوريا

ملخص

مُزجت نسب مختلفة من الإسمنت البورتلاندي والرمل مع سائل كلور الراديوم لإنتاج عينات أسطوانية مشعة. اختير نوعان من الرمل (الكالسييتي والسليكاتي). ودرس انتشار غاز الرادون من العينات المصنعة السابقة الذكر. أشارت النتائج إلى أن انطلاق غاز الرادون من العينات المحتوية على الرمل الكالسييتي يتأثر بنسبة مزج الرمل. كما لوحظ أيضاً أن انطلاق غاز الرادون يتغير بتغير حجم حبات الرمل المستعمل. بعض هذه الملاحظات سجلت في العينات الحاوية للرمل السليكاتي. إضافة إلى ذلك، وجد أن انبثاق غاز الرادون من العينات الحاوية للرمل الكالسييتي يكون أقل من انبثاقه في حالة العينات الحاوية للرمل السليكاتي. وقد تم شرح النتائج بالاعتماد على تشكل فراغات حرة مغلقة في العينات المصنعة، هذه الفراغات تعطي غاز الرادون الإمكانية ليتفكك فيها أكثر من السماحية له بالانتشار منها إلى الوسط الخارجي.

الكلمات المفتاحية: النشاط الإشعاعي البيئي، النفايات المشعة، انبثاق غاز الرادون، خزن النفايات المشعة، الإحاطة، التصلب.

مقدمة

واسعة بالمواد المشعة الطبيعية (NORM). يتلوث الماء المرافق للنفط والموجود في خزانات النفط إشعاعياً بالملوثات الإشعاعية الطبيعية، لوجود سلسلة ^{238}U و ^{232}Th ، وبشكل أساسي لوجود نظائر الراديوم الناتجة من قابلية انحلالها في الماء، الأمر الذي يسمح بانتقالها مع النفط المستخرج [10]. يؤدي التوضع غير المناسب لهذا الماء إلى تلوث مناطق عديدة بالمواد المشعة (NORM). هذا النوع من التلوث الإشعاعي يتطلب أعمالاً علاجية وقياسات إعادة تأهيل بالاعتماد على التعرض الإشعاعي للسكان الموجودين في المنطقة والمعرضين لمخاطر التلوث الإشعاعي الناجم عن (NORM). فقد تم اعتبار التربة الملوثة بمقدار 5.2 Bq/g بالراديوم نفاية مشعة يجب التخلص منها [11].

الهدف من هذا العمل هو استخدام قياسات انبثاق غاز الرادون كوسيلة لتحديد أفضل نسبة مزج بين الإسمنت والرمل وكذلك دراسة أثر اختلاف أبعاد الرمل على حجب الرادون من الانطلاق من النفايات المتصلبة والمحتوية على الراديوم على أمل أن تساعد النتائج في وضع أفضل الشروط المثلى لتوضيب نفايات الراديوم أثناء تصلبها.

الأعمال العملية

استخدام الإسمنت البورتلاندي لتحضير جميع العينات، ومواصفات هذا الإسمنت المذكورة في الأعمال السابقة [9-11]. تم اختيار نوعين من الرمل لهذه الدراسة، حيث يستعمل الرمل

يتعرض أي شخص على وجه الكرة الأرضية إلى الأشعة الطبيعية. وأهم مصدر للإشعاع هو غاز الرادون ^{222}Rn [1]. ويعتمد تركيز غاز الرادون وعناصر التفكك الناتجة منه على تركيز المادة الأصلية المولدة له والتي تتمثل في الراديوم الناتج من تفكك اليورانيوم الطبيعي [2].

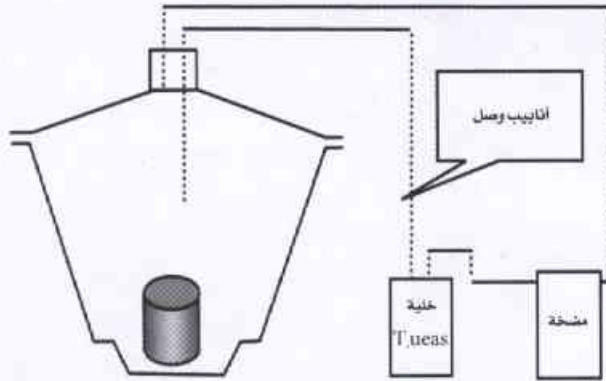
تتلخص الأهداف الأساسية لمعالجة النفايات المشعة في عزلها عن الوسط المحيط. وتعتمد عملية العزل على طبيعة العناصر المشعة الموجودة فيها وخواص النفايات المراد التخلص منها، كما تعتمد الدرجة العملية لعزل النفايات على التنفيذ الكامل لعملية التخلص مثل تقليص حجمها كي تخزن بشكل آمن [3]. إن عملية التصلب مع الإسمنت تمثل أفضل حل للتعامل مع النفايات المشعة لأنها آمنة وسهلة التنفيذ [4]. غير أن انتشار وانبثاق النظائر المشعة من أماكن توضعها يمثلان قمة المشاكل الجيوكيميائية والبيئية [5].

تم التعرف على غاز الرادون الذي ينبثق من الأرض ومن بعض المعادن والمركبات أثناء دراسة الراديوم في مطلع القرن العشرين [6, 7]. فقد أوضح [8] أن كمية غاز الرادون المنبثق تتناسب عكساً مع العمر النظيري للنموذج المدروس U - Pb. درست معامل انتشار غاز الرادون من عينات إسمنتية محاطة بطبقات مختلفة من الإسمنت سابقاً [9].

تعمل الصناعات النفطية الموجودة في سوريا على تلوّث مناطق

ومحالييل إزالة التلوث للتأكد من خلوها من أي تلوث محتمل أثناء إعادة استخدامها.

استخدمت الطريقة الفعالة (active method) لقياس زيادة تركيز الرادون داخل الحواضن مع الزمن [15] وذلك بسحب عينة من غاز الرادون من الحاضنة إلى خلية لوكس من نوع (EDA Instruments Inc. Toronto Canada). تعمل هذه الخلية على فصل دقائق الغبار وكذلك نواتج التفكك غير المرغوب بها الموجودة في جو الحاضنة [16]. ويعد ثلاث ساعات يعطي تفكك الرادون ثلاث جسيمات ألفا تكون كمؤشر على أن الرادون في حالة توازن مع بناته ذات الأعمار النصف القصيرة. ثم يقاس تركيز الرادون داخل خلية لوكس باستخدام العداد النووي (RDA-200). ويبين الشكل (1) المخطط العملي لقياس انبثاق غاز الرادون من العينات.



الشكل 1: عمل تجريبي لإطلاقات الرادون

أما قياس أشعة غاما الناتجة من ^{226}Ra , ^{214}Bi , ^{214}Pb فقد تم باستخدام كاشف الجرمانيوم النقي (Canberra). فقد أخذت قمم الطيف 186, 609, 351 keV الممثلة لـ ^{226}Ra , ^{214}Bi , ^{214}Pb على الترتيب. تم أخذ القياس خلال 20 دقيقة لـ ^{222}Rn و30 دقيقة لـ ^{226}Ra , ^{214}Bi , ^{214}Pb . كافة النتائج مدونة بشكل تعداد في الدقيقة (CPM).

النتائج والمناقشة

يبين الشكل 2 زيادة انبثاق غاز الرادون من العينات الأسطوانية المصنعة بدلالة نسبة الرمل الكالسيستي إلى الإسمنت. ويبدو واضحاً أن كمية غاز الرادون المنبثقة من العينات تزداد بزيادة نسبة الرمل الكالسيستي إلى الإسمنت حتى نسبة 20% ثم تنخفض إلى قيمة أقل من تلك في حالة نسبة الرمل 0%.

من أجل تحليل المعطيات الناتجة، تم تطبيق سلسلة من النماذج الرياضية والنظرية، وتعتمد هذه النماذج على آليات إنتاج وتفكك وانتشار غاز الرادون [12, 17, 18]. وقد تم اعتماد المقترحات التالية لشرح النتائج.

في حالة الرمل الكالسيستي، الذي يتشكل أساساً من كربونات الكالسيوم، كما أشارت إلى ذلك نتائج انعراج الأشعة السينية، مُرَج السائل المشع الحاوي للراديوم مع الإسمنت والرمل. لذلك، وخلال

مع الإسمنت في الخلطات الإسمنتية بشكل واسع في سوريا. تمت دراسة أطوار نوعي الرمل بواسطة انعراج الأشعة السينية. والتركييب التالي هو السمة المميزة لهما:

$$\text{Calcite} = 95\% (\text{CaCO}_3) + 5\% (\text{Ba, Sr, Al and other oxides}).$$

$$\text{Silica} = 92\% (\text{SiO}_2) + 8\% (\text{clay}).$$

وتم نخل عينة من الرمل لكلا النوعين لفصل كل حجم ومزجه مع الإسمنت بالنسب المطلوبة وبين الجدول النسبة المئوية لأبعاد الرمل المستعمل.

أبعاد حبيبات الرمل	45-125 μm	125-300 μm	300-850 μm
النسبة المئوية (كالسيت)	31.37	23.93	44.70
النسبة المئوية (سليكات)	8.25	75.50	15.25

النسبة المئوية لأبعاد الرمل المستعمل

ومن الناحية العملية، فقد استعمل الرمل العادي المستخدم في عمليات صب الإسمنت والذي أبعاد حبيباته ما بين (45-850 μm) وذلك لأنه عندما تكون الأبعاد ما دون 45 μm وما فوق 850 μm لا يعتبر رمالاً [13-14].

صنعت العينات المشعة على هيئة شكل أسطواني باستخدام قوالب بلاستيكية أبعادها 4.6×4.6 سم (قطر \times ارتفاع). حيث ملئت بالخلطات الإسمنتية الحاوية للنظير المشع ^{226}Ra . وحضرت الخلطة الإسمنتية على النحو التالي: أخذت الكمية المطلوبة من الإسمنت الجاف والرمل بنسب مختلفة وأضيف إليها الماء المقطر المحتوي على مركب كلور الراديوم RaCl_2 . وبناءً على هذه النتائج تم تحضير مجموعات العينات على النحو التالي: المجموعة الأولى إسمنت نقي 0% والمجموعة الثانية تحتوي على رمل كالسيستي صغير الأبعاد (أبعاده 45-125 μm) والمجموعة الثالثة تحتوي على رمل كالسيستي متوسط الأبعاد (أبعاده 125-300 μm) والمجموعة الرابعة تحتوي على رمل كالسيستي كبير الأبعاد (أبعاده 300-850 μm) والمجموعة الخامسة تحوي مزيجاً من رمل كالسيستي والمجموعة السادسة تحوي مسحوق رمل كالسيستي ناعم أبعاده أقل من 45 μm والمجموعة السابعة تحوي مزيجاً من رمل سليكاتي. وحضرت عينات المجموعات بنسب خلط مختلفة 10, 15, 20, 30, 40, 60, 80% رمل إلى إسمنت لكل حجم وعلى مكررين. كان تركيز النظير المشع في العينات الإسمنتية التي حضرت بحدود 250 Bq للعيبة الواحدة.

وضعت العينات المشعة في حواضن زجاجية محكمة الإغلاق سعتها 7 لتر، مزودة بفتحتي دخول وخروج وذلك من أجل الحصول على دارة مغلقة لسحب غاز الرادون من هذه الحواضن. وضعت العينات المصنعة في الحواضن لمدة 21 يوماً لحدوث التوازن الإشعاعي بين الراديوم والرادون ثم قيس غاز الرادون ثلاث مرات وأخذ المتوسط لقراءة العداد. وكانت الحواضن تنظف بغسلها بالماء

السطح عن طريق ظاهرة الانتشار. لذلك، من الممكن افتراض أن آلية انبثاق غاز الرادون ^{222}Rn على أنها عملية مشتركة ما بين الانتشار من الغلاف الكروي والانتشار من الغلاف الأسطواني. تتبع عملية الانتشار عملياً قانون فيك (Fick) التالي:

$$\frac{\partial C}{\partial t} = D \frac{\partial^2 C}{\partial x^2} \quad (1)$$

حيث تمثل C عدد ذرات الغاز المنتشرة في وحدة الزمن t و D هو ثابتة الانتشار. في حالة الغلاف الكروي، يأخذ البعد x معنى نصف القطر r ، وقانون فيك للانتشار من السطح الكروي يمكن كتابته كما يلي:

$$\frac{\partial c}{\partial t} = D \left(\frac{\partial^2 c}{\partial r^2} + \frac{2}{r} \frac{\partial c}{\partial r} \right) \quad (2)$$

ويكون الحل النهائي لهذه المعادلة بعد أخذ الشروط التالية:

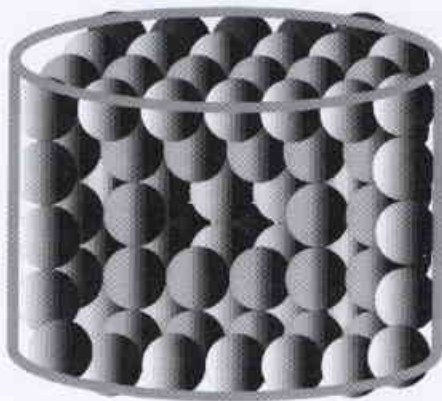
$$t = 0 \rightarrow c = c_0, \quad r = r_0$$

كما يلي:

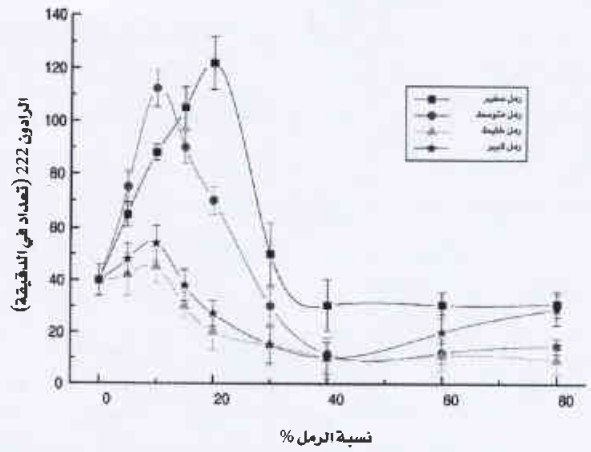
$$c_1 = c_0 \left[1 + \frac{2(r_0 + a)}{\pi r_0} \sum_{n=1}^{\infty} \left\{ \frac{(-1)^n}{n} \sin \left[\frac{n\pi r_0}{(r_0 + a)} \right] \exp \left[\frac{n^2 \pi^2 D_{(1)} t}{(r_0 + a)^2} \right] \right\} \right] \quad (3)$$

حيث c_0 تمثل تركيز الراديوم، r_0 نصف قطر حبة الرمل، a سماكة طبقة الإسمنت المغلفة و $D_{(1)}$ ثابتة الانتشار في الحالة الكروية. فبعد إضافة الرمل إلى الإسمنت هناك احتمال لتشكيل فراغات يتجمع ضمنها عدد من حبيبات الرمل. فإذا كان هناك N فراغ يمكن أن توجد ضمن العينة، بحيث يوجد فيها n جزيئة غاز رادون، وكان عدد جزيئات غاز الرادون المتوقع تفككها m ، فإن احتمال وجود جزيئات غاز الرادون المتوقع تفككها ضمن الفراغات يعطى بالعلاقة التالية (20):

$$P_m = \frac{n!}{m!(n-m)!} \left(\frac{1}{N} \right)^m \left(1 - \frac{1}{N} \right)^{(n-m)} \quad (4)$$



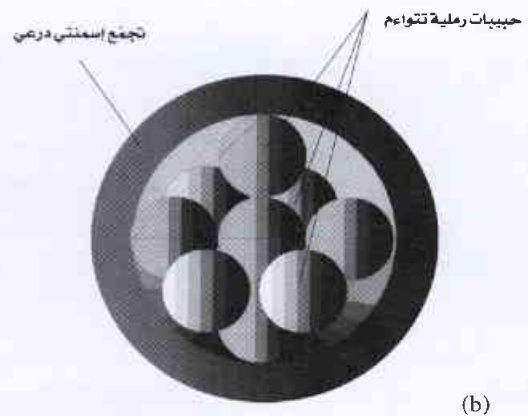
(a)



الشكل 2، المعطيات التجريبية لانبثاق غاز الرادون من العينات الحاوية للرمل بأبعاد مختلفة كتابع لنسبة الرمل المضاف

عملية التصلب، تم امتزاز الراديوم على حبات الرمل [19]. وتعود ظاهرة الامتزاز هذه لتفاعل التبادل بين مكونات الرمل والراديوم. سوف ينتج تفكك الراديوم غاز الرادون، الذي سوف ينتشر في الغلاف الإسمنتي المحيط. يمكن التحكم بهذا الانتشار عن طريق الفراغات والعيوب الموجودة خلال عملية التصلب [9].

افترضنا أن كل حبة من الرمل مغلفة بطبقة من الإسمنت المشع. يوضح الشكل (a) احتمال مواضع حبات الرمل المحاطة بغلاف إسمنتي مشع في العينة الأسطوانية. في هذه الحالة، سوف ينتشر الرادون ^{222}Rn المنتج من سطح الغلاف الإسمنتي المحيط بحبة الرمل خلال العينة الأسطوانية. وأيضاً، هناك احتمال لبعض هذه الحبيبات الرملية أن تتجمع معاً في غلاف واحد (cluster عنقود) كما هو موضح في الشكل (b). وهذه سوف تعطي غلغافاً إضافياً (كروياً) لذرات الرادون المنبعثة من داخل العنقود كي تنتشر من خلاله. وبالتالي، فإن معظم ذرات غاز الرادون ^{222}Rn المحبوسة ضمن العنقود سوف تتفكك أكثر من أن تنتشر. سوف تجد ذرات ^{222}Rn التي لم تتفكك ضمن العنقود ممراً مناسباً من خلال العينة وتصل إلى

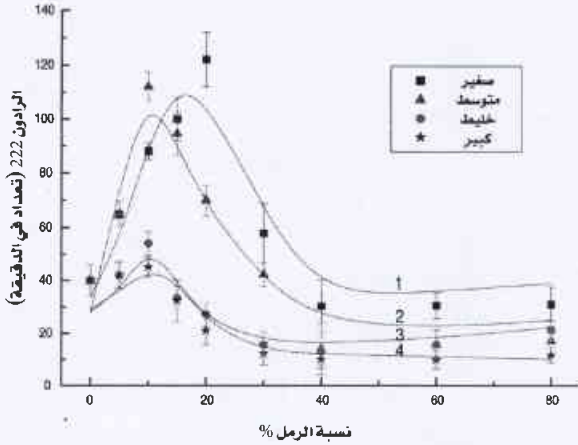


(b)

الشكل 3،

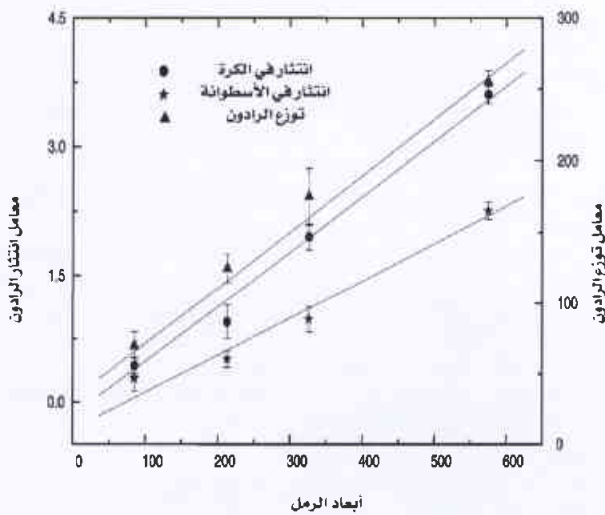
تمثيل فراغي لتوضيح توزيع حبيبات الرمل ضمن العينة الأسطوانية

تمثيل فراغي لتوضيح تجمع حبيبات الرمل ضمن غلاف إسمنتي واحد



الشكل 4، ملاءمة المعطيات التجريبية للعينات الحاوية للرمل بتطبيق العلاقات الرياضية كتاباً لنسبة الرمل المضاف (الخط المستمر القيم النظرية)

أما في حالة الرمل السليكاتي، فإن تحرر غاز الرادون من العينات يتبع نفس الظاهرة، لكن انبثاق غاز الرادون كان أعلى من انطلاقه في حالة الرمل الكالسيطي. يمكن شرح هذه الظاهرة بعدم إمكانية امتزاز هذا النوع من الرمل للراديوم لأن تركيبة الرمل السليكاتي مختلفة (كما هو مشاهد من قياسات انعراج الأشعة السينية). ومن ناحية ثانية، معدل إنتاج انطلاق الرادون يمكن أن يكون أعلى [22]. يوضح الشكل 6 الاختلاف في تحرير غاز الرادون من العينات المختلفة (كالسيت وسليكات) غير أن زيادة نسبة الرمل كمية قليلة تتجمع معاً في غلاف واحد يكون احتمال تفكك الرادون فيها أقل من حالة الرمل الكالسيطي.



الشكل 5، العلاقة ما بين ثوابت انتشار وتوزع الرادون وبين متوسط أبعاد الرمل المستعمل

خاتمة

يمكن لعملية تصليب السائل المشع الحاوي للراديوم ²²⁶Ra من تقليل انبثاق غاز الرادون ²²²Rn إلى البيئة. أشارت النتائج إلى أن

وتتعلق قيمة n بتركيز غاز الرادون الموجود ضمن الأسطوانة وفق ثابتة التوزع k، والتي تمثل توزع النظير المشع بين الكرة والأسطوانة كما يلي: $n = k_r C_{(Ra)}$. وبالتالي تحسب كمية غاز الرادون المنبثقة من العينة المدروسة، باعتبار أن λ ثابت التفكك الإشعاعي لغاز الرادون و w النسبة المئوية للرمل المضاف، كما يلي:

$$^{222}Rn(Em) = c_r P_m (w)^{N/n} \exp(-\lambda t) \quad (5)$$

وتأخذ الثوابت n، m، c قيماً مختلفة تبعاً لدقة الملاحة الرياضية أثناء تحليل المعطيات التجريبية. في الحقيقة المهم هو النسبة N/n التي تساوي $C_{(Ra)} / k_r$ ، والتي تعبر عن مدى ارتباط وجود الفراغات وجزئيات غاز الرادون المجتمعة ضمنها كتابع إلى ثابتة التوزع k. في حالة العينات الأسطوانية البعد x، في العلاقة (1)، تأخذ دالتين وهما الطول z ونصف القطر r، وبناءً عليه، يكتب قانون فيك للانتشار في حالة الأسطوانة كما يلي، مع الأخذ بعين الاعتبار أن ثابتة الانتشار، D، غير متغيرة مع الزمن.

$$\frac{\partial c}{\partial t} = D \left[\frac{\partial^2 c}{\partial r^2} + \frac{1}{r} \frac{\partial c}{\partial r} + \frac{\partial^2 c}{\partial z^2} \right] \quad (6)$$

يكون الحل النهائي لهذه المعادلة بعد أخذ الشروط التالية:

$$t = 0 \rightarrow c = c_0 = c \{^{222}Rn(Em)\}_{-t \leq x \leq +t, 0 \leq r \leq b}$$

$$^{222}Rn(Ex) = \frac{8c \{^{222}Rn(Em)\}}{\pi b} \sum_{n=0}^{\infty} \sum_{m=1}^{\infty} \left\{ \frac{J_0(\alpha_m b)}{(2n+1)\alpha_m J_1(\alpha_m b)} \times \sin \left[\pi \frac{2n+1}{2} \frac{\pi(a+b)}{2a} \right] \times \exp \left[- \left(\alpha_m^2 + \frac{(2n+1)^2 \pi^2}{4t^2} \right) D_{(2)t} \right] \right\} \quad (7)$$

حيث تمثل c_0 تركيز المادة المشعة المنتشرة ضمن الأسطوانة وهي غاز الرادون الصادر عن حبيبات الرمل $c \{^{222}Rn(Em)\}$ وطول الأسطوانة وقطرها b، حيث تعرف α_m على أنها جذور العلاقة $J_0(\alpha_m b) = 0$. يعرف Jo بتابع Bessel المتعلق بشكل العينة [21]. تمثل $^{222}Rn(Ex)$ تعداد غاز الرادون المنبثق المقيس عند زمن التوازن t في العينة و $^{222}Rn(Em)$ هو تعداد غاز الرادون الصادر عن الغلاف الكروي في زمن التوازن. وتمثل $D_{(2)}$ ثابتة انتشار غاز الرادون ^{222}Rn من العينة الأسطوانية (الشكل المدروس) و a سماكة الغلاف الإسمنتي.

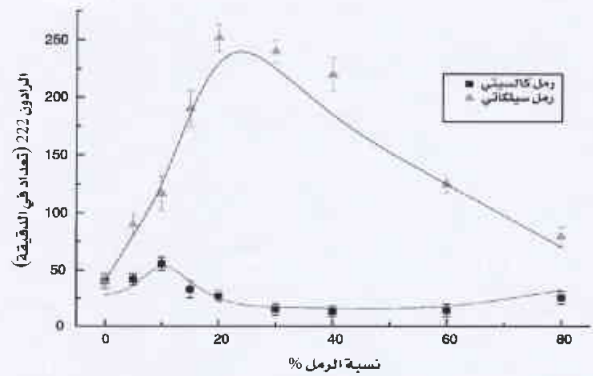
جاءت دقة ملاءمة المعطيات التجريبية باستخدام العلاقة (7) جيدة. ولذلك يمكن القول أن النموذج الموضوع يمكنه شرح نتائج العمل. وقد تم حساب قيم ثوابت $(D_{(1)}, D_{(2)}, N/k)$ بملاءمة النتائج التجريبية باستخدام المعادلة (7)، والجدول 3 يبين قيم هذه الثوابت. يبين الشكل 4 مدى تطابق القيم التجريبية مع القيم المحسوبة من المعادلة (7) والمرسومة بشكل خط مستمر وذلك أثناء ملاءمة المعطيات التجريبية. كما يمثل الشكل 5 العلاقة الخطية بين قيم ثوابت الانتشار وتوزع الرادون في العينات المدروسة وبين متوسط أبعاد حبيبات الرمل المستعمل.

تتفكك قبل أن تأخذ نصيبها من الفرار إلى الخارج. وهذا صحيح من أجل نسبة عالية من مزج الرمل إلى الإسمنت، حيث تتشكل فراغات كثيرة الأمر الذي يعطي احتمالاً كبيراً لغاز الرادون ^{222}Rn ليتفكك قبل انتشاره. في هذه الحالة، تكون الفعالية الإشعاعية التابعة لغاز الرادون ^{222}Rn ضمن العنقود صغيرة.

من جانب آخر، يتطلب العمل دراسات توضيحية كثيرة في المستقبل لإيضاح هذه الآلية المقترحة من قبلنا من أجل زيادة تركيز غاز الرادون ^{222}Rn المتشكل، الذي يمر بعدة حالات. عادة تجانس العينة وزمن التصلب، اللذان يحددان جزيئات الماء المتبقية، يمكن أن يكونا عاملين هامين في هذه الآلية.

نوع الرمل	متوسط أبعاد حبيبات الرمل (μm)	ثابتة الانتشار ضمن الكرة D_1 (cm^2/s)	ثابتة الانتشار ضمن الأسطوانة D_2 (cm^2/s)	N/kb
كالمسي	85	0.426×10^{-5}	0.287×10^{-5}	70
	213	0.931×10^{-5}	0.513×10^{-5}	125
	326	1.778×10^{-5}	0.926×10^{-5}	175
	575	3.503×10^{-5}	2.312×10^{-5}	255
سليكاتي	326	9.431×10^{-5}	5.783×10^{-5}	520

الجدول (1) يبين قيم الثوابت (D_1 , D_2) في العينات المدروسة



الشكل 6، ملاءمة المعطيات التجريبية للعينات الحاوية لنوعي الرمل بتطبيق العلاقات الرياضية كتاب نسبة الرمل المضاف (الخط المستمر القيم الرمزية)

أفضل نسبة للرمل مضافة إلى الإسمنت هي بحدود 40%. يمكن لعملية التصلب أن تشكل بعض العيوب في العينات. وكنتيجة لذلك، ينطلق غاز الرادون ويزداد بزيادة العيوب خاصة مع زيادة نسبة الرمل المضافة التي تعمل على رفع كمية الفراغات. وهذا ما يساعد غاز الرادون المتشكل ^{222}Rn على الانتشار ضمن هذه الفراغات بشكل سهل وينبثق من العينات إلى الوسط المحيط. غير أن زيادة نسبة الرمل تؤدي لتجمع بعض حبيبات الرمل معا في غلاف كروي واحد، مشكلة عنقودا. بعض ذرات الرادون المحتجزة ضمن العنقود سوف

REFERENCES

[1] UNSCEAR, (1977). "Source and effects of ionizing radiation. United Nations Scientific Committee on the Effect of Atomic Radiation, New York, United Nations.

[2] Murane, D. M. (1994). Model standard and techniques for control of radon in new buildings. Radiat. Prot. Dosim., 56, 5-7.

[3] Takriti, S., Othman, I., (1997). Diffusion coefficients of ^{90}Sr and ^{137}Cs in Syria rocks and the dependence on pH. Appl. Radiat. Isot. 48(8), 1157-1160.

[4] Takriti, S., Kheitou, M., and Ali, A. F., (1999), Migration study of radioisotopes incorporated in cement. Appl. Radiat. Isot. 50, 401- 406.

[5] Titayva, N. A., (1991), "Geochemistry of Natural Radionuclides in Hypergenesis Zone: The problems of Radiochemistry and Cosmology", Nauka, Moscow.

[6] Boltwood, B. B., (1970), On the ultimate disintegration products radioactive elements", P. 2. The disintegration products of uranium. Am. J. Sci., 23 (134), 77-88.

[7] Boltwood, B. B., (1908). "Radioactivity of uranium minerals", Am. J. Sci., 25 (148), 269-298.

[8] Homes, A., (1948). "The oldest known minerals and rocks", Edinburgh Geol. Soc. Bull., 14 (2), 435-441.

[9] Takriti, S., Shweikani, R., Ali, A. F., Hushari, M., Kheitou, M., (2001), "Diffusion of radon through varying thickness of cement used for disposal of radioactive waste". Appl. Radiat. Isot. 55, 115- 116.

[10] Shweikani, R., Suman, H., (2002). "Regulatory control in the rehabilitation of contaminated sites in Syria. International Conference on Safe Decommissioning for Nuclear Activities. 14-18 October, Berlin, Germany, CN-93(7-14)

المراجع

[11] Meinhold, A. F., Holtzman, S., Hamilton, L. D., (1995). Health risk assessment for radium discharged offshore in produced water", SPE 29728, PP 357-372.

[12] Takriti, S., Ali, A. F., (2002). "Initial distribution of ^{137}Cs in cement specimens and the effect of Leaching". J. Radioactive Waste Manage. Environ Restoration, 22/4, 1126-1136.

[13] Udden, J. A and Wentworth, C. K., (1988), "Sedimentary Petrology", eds Maurice E. Tucker, The Alden Press, Oxford.

[14] Whitten, D. G. A and Brooko, J. R. U., (1997), "The Penguin Dictionary of Geology", Penguin Books Ltd., Harmondsworth, middlesex, England.

[15] Shweikani, R., Al-Bataina B., Durrani, S. A., (1997). "Thoron and radon diffusion through different types of filter". Radiat. Meas, 28, 641- 646.

[16] Misdaq, M. A., Moustaadine, H., (1997). "A new method for determining the radon emanation coefficients and radon production rates". J. Radioanal. Nucl. Chem. 218 (1), 9 – 12.

[17] Adda, Y., Philibert, Y. J., (1966). "La Diffusion dans les Solides", T. 1-2. Presses Universitaires de France, Paris.

[18] Crank, J., (1975) "The Mathematics of Diffusion", 2nd Edition. Clarendon Press, Oxford (Chapter 3-4)

[19] Lea, F. M., (1983). "The Chemistry of Cement and Concrete", 3rd Edition, Edward Arnold Publisher Ltd. London.

[20] Takriti, S., Duplatre, G., (1988). "Thermal decomposition of KIO_4 and NaIO_4 in relation to solid state isotopic exchange reactions". J. Chem. Soc., Faraday Trans. 1. 84 (4), 2831 - 2841.

[21] Wanger, C., (1952), "Diffusion in Solids, Liquids and Gases", Academic Press, Paris, p.68-75.

[22] Rayski, B. M., Suarez, A. A., (1988). "Evaluation of homogeneity of radioactive waste forms: statistical criteria". Nucl. Chem. Waste Manage., 8, 235-241.

التقارير العالمية



تصميم واجهة التحكم COBRET في بيئة النوافذ لإجراء المعالجة البدئية واللاحقة للبرامجين COBRA-RERTR و PARET*

د. علي حنون، عفيف منذر، نضال غازي

قسم الهندسة النووية، هيئة الطاقة الذرية، ص.ب 6091، دمشق، سوريا

ملخص

في إطار اختبار وتأهيل واستخدام الكودات الحاسوبية في دراسات التصميم وتحليل الأمان العائدة لمفاعلات البحث، جرى تبني الكود الديناميكي PARET وكود التحليل الترموهيدروليكي COBRA-RERTR. وقد طورت في هذا العمل باستخدام لغة البرمجة Visual Basic واجهة التحكم (COBRA PARET) COBRET للعمل تحت بيئة النوافذ (Windows 98, 2000 and XP) نظراً للسهولة والمرونة التي تؤمنها هذه البيئة التخاطبية للمستثمر؛ علماً أن تنظيم وتخزين المعطيات يرتكز على قاعدة البيانات المرجعية MS Access المتوفرة كجزء من نظام MS Office. تتألف هذه البرمجية من معالج بدئي (Pre-Processor) ومعالج لاحق (Post-Processor). يؤمن المعالج البدئي واجهة عمل تسمح بتحضير ملف الدخل بشكل تفاعلي (interactive) لكل من البرنامجين، وقد زودت بكافة الوسائل التوضيحية الداعمة لتمكين المستخدم من التعامل بسهولة مع مختلف الحالات المراد تحليلها، إضافةً لتزويده بالتعليمات المساعدة (بما فيها كشف أخطاء الإدخال المنطقية) بما يؤمن التحضير المرحلي لمعلومات التلقين ويستغني في كثير من الحالات عن الاستعانة بدليل الاستخدام. كما تتمتع البرمجية، عن طريق تفعيل وسائط تلقين خاصة بإمكانية التفرع التلقائي لتفعيل الجداول والأجزاء التلقينية المتعلقة بالحالة المدروسة وهو ما يشكل مساعدة كبيرة للمستخدم وخاصة المبتدئ. أما المعالج اللاحق (Post-Processor) الذي زودت الواجهة به، فيسمح في حالة البرنامج COBRA بمعالجة وإظهار نتائج متحولات الجملة (درجة الحرارة، سرعة الجريان، محتوى البخار...) بشكل بياني كتابع للزمن أو لطول القناة المدروسة.

الكلمات المفتاحية: الكود COBRA-RERTR، الكود PARET، واجهة التخاطب COBRET، معطيات التلقين، معالج بدئي، ومعالج لاحق، المعاملات النترونية والترموهيدروليكية.

تحليل أسباب الخسارة في عامل الامتلاء

في الخلايا الشمسية ZnO/CdS/CuGaSe₂**

د. معين سعد، عمار قسيس

قسم الفيزياء، هيئة الطاقة الذرية، ص.ب 6091، دمشق، سوريا

ملخص

جرى في إطار هذه الدراسة إيضاح تأثير الوسائط التي تصف سلوك الخلية (عامل جودة الديود، تيار الإشباع، المقاومة التسلسلية، المقاومة التفرعية) على عامل الامتلاء. حُلَّت مميزات التيار-الجهد للخلايا الشمسية ZnO/CdS/CuGaSe₂ أحادية البلورة ذات قيم المردود $\eta = 3.5\%$, $\eta = 6.0\%$, $\eta = 6.7\%$, $\eta = 9.7\%$ ، باستخدام معادلة الديود الأحادي. نتج عن تطبيق حسابات

* تقرير مختصر عن دراسة علمية حاسوبية أُجريت في قسم الهندسة النووية، هيئة الطاقة الذرية السورية.

** تقرير مختصر عن دراسة علمية حاسوبية أُجريت في قسم الفيزياء، هيئة الطاقة الذرية السورية.

عامل الامتلاء على الوسائط الناتجة عن التحليل أن تأثير المقاومة التسلسلية في الظلام أكبر بشكل واضح منه تحت تأثير الضوء، حيث إن مقاومة تسلسلية بقيمة $R_{st} = 4.8 \Omega \text{ cm}^2$ تؤدي إلى انخفاض عامل الامتلاء بمقدار $\Delta ff = 4.4\%$. بينما يكون تأثير المقاومة التفرعية على عامل الامتلاء مهماً في الظلام بسبب ارتفاع قيمتها بالنسبة لجميع الخلايا المدروسة، إلا أنه يجب أخذها بعين الاعتبار في الإضاءة بسبب انخفاض قيم هذه المقاومة نسبياً تحت تأثير الضوء (يؤدي وجود مقاومة تفرعية بقيمة $R_{sh} = 6.5 E2 \Omega \text{ cm}^2$ إلى انخفاض في عامل الامتلاء بمقدار $\Delta ff = 3.6\%$). يؤدي ارتفاع قيمة كثافة تيار الإشباع تحت تأثير الضوء إلى خسارة جسيمة في عامل الامتلاء بالنسبة لجميع الخلايا المدروسة ($\Delta ff = 8.3\%$ على الأقل). لا يؤثر عامل جودة الديود على عامل الامتلاء في الحالة المثالية ($R_s = 0, R_{sh} = \infty$). في الحالة العامة يؤدي ارتفاع عامل جودة الديود إلى انخفاض قيمة عامل الامتلاء عندما يكون تيار الإشباع منخفضاً، وإلى ارتفاعه عندما يكون تيار الإشباع مرتفعاً بشكل واضح. إن قيم كل من تيار الإشباع وعامل جودة الديود في الظلام بالنسبة للخلايا المدروسة أعلى بكثير منها في الخلايا المبنية على أساس السيليسيوم و Cu(In,Ga)Se_2 . هذا هو أهم عامل مقيد لقيمة عامل الامتلاء وكفاءة الخلايا المبنية على أساس CuGaSe_2 .

الكلمات المفتاحية: خلايا شمسية، عامل الامتلاء، CuGaSe_2 .

مستويات الضجيج في مدينة دمشق*

د. محمد العودات، د. يوسف مسلماني

قسم الوقاية والأمان، هيئة الطاقة الذرية ص.ب 6091، دمشق، سوريا

ملخص

عُيِّنَت مستويات الضجيج الخارجي في 22 موقعاً في مدينة دمشق واستعمل في ذلك جهاز NC-10 (صنع شركة Neutrik الألمانية)، الذي يعيّن مستويات الضجيج بين 20 و 140 ديسيبل-A، وجرت القياسات في أوقات النهار كافة ابتداءً من الساعة السابعة صباحاً وحتى الساعة 21 مساءً. أوضحت النتائج أن متوسط مستويات الضجيج كانت أعلى من الحدود المسموح بها تبعاً لمنظمة الصحة العالمية، وتراوح بين 60 و 79.7 ديسيبل-A في المناطق السكنية، وبين 70.3 و 76.0 ديسيبل-A في المناطق السكنية التجارية، وبين 72.2 و 81.8 ديسيبل-A في الشوارع المكتظة بحركة المرور. كما أوضحت القياسات أن متوسط مستويات الضجيج الخارجي في المناطق التي توجد فيها بعض المستشفيات كان مرتفعاً وتراوح بين 74 و 78 ديسيبل-A، أما متوسط مستويات الضجيج داخل حرم المستشفيات، فتراوح بين 61 و 67.9 ديسيبل-A، والأمر نفسه كان بالنسبة لمتوسط مستويات الضجيج بجانب غرف المرضى، حيث بلغ معدلات 55.5 و 68.6 و 60.7 و 58.1 ديسيبل-A في مستشفيات الفرنسي والمجتهد والرازي والطللياني على التوالي، وهذا يفوق بكثير المستويات المسموح بها (40 ديسيبل-A). هذا وقد أوضحت هذه الدراسة أنه لا بد من اتخاذ كافة الإجراءات اللازمة لخفض مستويات الضجيج، وبخاصة في المناطق السكنية ومناطق المستشفيات.

الكلمات المفتاحية: مستويات الضجيج الخارجي، دمشق، ديسيبل، التلوث الضوضائي.

* تقرير مختصر عن دراسة علمية ميدانية أجرت في قسم الوقاية والأمان، هيئة الطاقة الذرية السورية.

تحضير مبادلات أيونية من بولي غول الفينيل المطعم بحمض الليمون وحمض السكسينيك بواسطة الإشعاع*

د. زكي عجي

قسم تكنولوجيا الإشعاع، هيئة الطاقة الذرية، ص.ب 6091، دمشق، سوريا

ملخص

حُضِرَت محاليل من تراكيز مختلفة لبولي غول الفينيل مع حمض الليمون أو حمض السكسينيك. عُرِضَت المحاليل المحضّرة لجرعات مختلفة من أشعة غاما وصلت حتى 100 KGy. دُرِسَت بعض المعاملات المهمة للهلام المحضّر منها: الانتباجية العظمى، نسبة الهلامة، الانفعال، مقاومة الشد، وكذلك السعة التبادلية لبعض الأيونات المعدنية (النحاس والنيكل والكوبالت). تبين البيانات أن الانتباجية العظمى للهلام المحضّر تزداد مع ازدياد الجرعة الممتصة عند كل تركيز مستخدم من الحمضين. تبين البيانات كذلك أن نسبة الهلامة تزداد مع ازدياد الجرعة الممتصة عند كل من الحمضين المستخدمين. نلاحظ كذلك أن زيادة تركيز الحمضين تؤدي إلى نقصان الانتباجية العظمى ونسبة الهلامة عند كل جرعة ممتصة. أما الجهد عند الانقطاع لعينات الهلام فيزداد مع ازدياد الجرعة الممتصة عند كل تركيز من الحمضين. يتناقص الانفعال للهلام المحضّر مع ازدياد الجرعة الممتصة ولا يوجد فرق جوهري بين تراكيز الحمض المستخدمة. تزداد السعة التبادلية لأيونات النحاس مع ازدياد الجرعة الممتصة، وكذلك لأيونات النيكل والكوبالت مع ازدياد تركيز الحمض المضاف. يُفسّر ذلك بازدياد المراكز المتفاعلة الحمضية المرتبطة مع سلاسل البوليمير.

الكلمات المفتاحية: بولي غول الفينيل، حمض الليمون، حمض الكهرباء (السكسينيك)، التطعيم الإشعاعي، مبادلات أيونية.

الكشف عن السرطان وتديبره باستعمال تقانة الـ RIA**

د. محمد عادل باكير، علي وائل عيسى، ديمة أبو ظاهر

قسم الطب الإشعاعي، هيئة الطاقة الذرية، ص.ب 6091، دمشق، سوريا

ملخص

يُعتبر المشروع RAW/6/007 أحد مشاريع التعاون الإقليمي مع الوكالة الدولية للطاقة الذرية والذي أُقِرَّ ضمن دورة عامي 1999-2000.

يهدف هذا المشروع بشكل رئيسي إلى تزويد الدول الأعضاء المساهمة في هذا المشروع بأدوات فعالة لتشخيص وتديبر السرطان من خلال استعمال الواسمات الورمية اعتماداً على التقانات المناعية الشعاعية. تُعتبر تقنية الـ RIA (المقايسة المناعية الشعاعية) من أكثر التقانات حساسية ودقة واقتصادية في قياس التغيرات في جزيئات البروتينات المختلفة في السوائل الحيوية في الجسم (الدم، البول، الخ) كما تفيد في الكشف المبكر عن السرطان.

* تقرير مختصر عن بحث علمي أُخِز في قسم تكنولوجيا الإشعاع، هيئة الطاقة الذرية السورية.
** تقرير مختصر عن عمل علمي تقني أُخِز في قسم الطب الإشعاعي، هيئة الطاقة الذرية السورية.

إن الكشف المبكر عن السرطان وبالتالي المعالجة المبكرة تسمح بتدبير أفضل لمرضى السرطان. ويهدف المشروع كذلك إلى مساعدة الدول المساهمة في إيجاد قواعد بيانات لانتشار السرطان لديهم والذي يمكن أن يؤدي إلى تطوير السجل المرضي للسرطان على المستوى الإقليمي.

شاركت في هذا المشروع ثماني دول من دول غرب آسيا وهي: إيران، الأردن، كازاخستان، الكويت، لبنان، سوريا، أوزباكستان، اليمن. جرى خلال هذا المشروع التطبيق السريري للواسمات الورمية التالية:

T.PSA (Total Prostate Specific Antigen)

F.PSA (Free Prostate Specific Antigen)

CEA (Carcino-Empryoic Antigen)

3 (Carbohydrate Antigen-CE 15)

AFP (Alpha Phetoprotein)

β HCG (β Human Gonadotropin)

والتي كانت من أهم الواسمات المشخصة للأورام.

الكلمات المفتاحية: واسمة ورمية، سرطان، مقياسة مناعية إشعاعية.

تقويم الأداء التعايشي لبعض السلالات الطافرة من فول الصويا الملحقة بسلاتين من بكتريا *Bradyrhizobium* *Japonicum* باستخدام تقنية ^{15}N *

د. فواز كرد علي، د. نزار مير علي، عماد النابلسي

قسم الزراعة، هيئة الطاقة الذرية، ص.ب 6091، دمشق، سوريا

ملخص

أجريت تجربة أصص لدراسة الأداء التعايشي لصنفين من نبات فول الصويا *Glycine max L* (A238 و A25) إضافة إلى أربع طفرات ناجمة من كل منهما مع سلالتين من بكتريا *Bradyrhizobium japonicum* (FA3 و RG) باستعمال طريقة التمديد النظيري للأزوت ^{15}N . من ناحية أخرى، استعملت تقانة الدنا المضخم عشوائياً RAPD لتقييم الاختلافات الوراثية بين نباتات فول الصويا المستعملة وللتأكد من اختلاف سلالتي الريزوبيا.

دلّت النتائج مجتمعة على أن تثبيت الأزوت في الأنظمة التعايشية يعتمد على الطراز الوراثي للنبات و السلالة البكتيرية، وأنه يمكن رفع كميات الأزوت المثبتة في فول الصويا بتحقيق توافق جيد بين الطراز الوراثي للنبات والسلالة البكتيرية الملائمة.

الكلمات المفتاحية: براديريزوبيوم جابونيكوم، فول صويا، طفرة، تقانة الدنا المضخم عشوائياً، تثبيت الأزوت الجوي، التمديد النظيري للأزوت ^{15}N .

* تقرير مختصر عن تجربة استطلاعية حقلية أُجريت في قسم الزراعة، هيئة الطاقة الذرية السورية.

إحداث وعزل وانتخاب طفرات بطاطا مقاومة لمرض اللفحة المتأخرة*

د. بسام الصفدي، د. محمد عماد الدين عرابي

قسم البيولوجيا الجزيئية والتقانة الحيوية، هيئة الطاقة الذرية، ص.ب. 6091، دمشق، سوريا

ملخص

أجري برنامج تربية طفرات لتحسين مقاومة البطاطا *Solanum tuberosum* لمرض اللفحة المتأخرة التي يسببها العامل الممرض *Phytophthora infestans*. فقد شُعبت ازدياعات explants مزروعة في الزجاج من الأصناف دراجا وسبونتتا وديامونت بجرعات 25 و30 و35 غراي. قُطعت السويقات النامية وأُعيدت زراعتها في الزجاج كل أسبوعين للوصول إلى الجيل الخضري الطافر الرابع MV_4 وذلك للتأكد من عدم وجود أنسجة كايميرية في المادة النباتية. جرى إكثار النباتات من أجل الحصول على أعداد كافية لتطبيق ضغط الانتخاب في الزجاج، حيث أخضع أكثر من 3000 نبات من الأصناف الثلاثة لضغط الانتخاب باستخدام تقانة الزراعة المشتركة. جرى تحضين نباتات من الجيل الخضري الطافر الرابع MV_4 مع ميسيليوم الفطر في مرطبات محتوية على بيئة MS المغذية. أكثرت النباتات المتحملة للمرض وأُعيد تحضينها مع الفطر لثلاثة أجيال متتالية. جرى إكثار وأقلمة النباتات المقاومة ومن ثم نقلت إلى أصص لتنمو تحت ظروف البيت الزجاجي، حيث جرى تلقيحها بعمر النبات الكامل عن طريق رش الأوراق بمعلق بوعي. تم الحصول على أكبر عدد من النباتات الطافرة المقاومة لمرض اللفحة المتأخرة من الصنف دراجا وعددها 10، في حين جرى الحصول على نبات واحد مقاوم من كل من الصنفين الآخرين سبونتتا وديامونت. تباينت النباتات الطافرة في قدرتها على إنتاج درينات، حيث تراوح عددها بين 13 و70 درينة. كما تباين وزن الدرينات من أقل من 1 إلى 35 غراما. سيجري إخضاع النباتات الطافرة إلى اختبارات حقلية من أجل اختبار مستوى مقاومتها لمرض اللفحة المتأخرة تحت الظروف الحقلية وبقية الصفات الزراعية.

الكلمات المفتاحية: بطاطا، لفة، طفرة، في الزجاج.

الخصائص الهيدروكيميائية والنظائرية للحوامل المائية الجوفية العميقة في منطقة جبل الحص من (حوض حلب)**

د. عبد الرحمن الشريدة

قسم الجيولوجيا، هيئة الطاقة الذرية، ص.ب. 6091، دمشق، سوريا

ملخص

على قاعدة استخدام تقنية النظائر البيئية والهيدروكيميائية، تمّت دراسة أنظمة المياه الجوفية العميقة في حوض حلب. أشارت النتائج إلى أن الملوحة العالية للمياه الجوفية العميقة (من 3 إلى 6 غ/ل) تعود بشكل أساسي إلى عامل الانحلال لصخور المتخزرات من أصل بحري. درجة الملوحة والتغيرات المكانية لها ترتبط بالإطار العام لحركة المياه الجوفية العميقة، حيث تزداد ملوحة المياه الجوفية العميقة بالاتجاه الموافق لحركة المياه الجوفية من الشمال والشمال الشرقي نحو الجنوب والجنوب الغربي وتكون أعلى ما يمكن في منطقة سهل المتخ. يشكل أيون السلفات ثلث المحتوى الملحي (1400 - 2000 ملغ/ل) في المياه

* تقرير مختصر عن دراسة استطلاعية حقلية أجريت في قسم البيولوجيا الجزيئية والتقانة الحيوية، هيئة الطاقة الذرية السورية.

** تقرير مختصر عن بحث علمي أجرى في قسم الجيولوجيا، هيئة الطاقة الذرية السورية.

الجوفية العميقة لحوض حلب، ولتحديد منشأ هذا الأيون، فقد أثبتت علاقة المحتوى النظائري ما بين $\delta^{34}\text{S}_{\text{SO}_4}$ و $\delta^{18}\text{O}_{\text{SO}_4}$ أن مصدره مرتبط بانحلال الجص وأن الإغناء الكبير لكل من الكبريت 34- والأكسجين 18- يرتبط بعمليات إرجاع السلفات التي تترافق بقيم متفاوتة التركيز من H_2S .

تظهر التراكيب النظائرية للمياه الجوفية العميقة $\delta^{18}\text{O} = -8.05 \pm 0.24\%$ و $\delta^2\text{H} = -53.0 \pm 1.72\%$ تجانساً كبيراً من حيث النضوب وتتميز بانحراف معياري قليل جداً. هذه القيم تتطابق مع القيم التي تم قياسها مع المحتوى النظائري لنهر الفرات عند مدخله في محطة جرابلس على الحدود السورية التركية. وقوع المحتوى النظائري للمياه الجوفية العميقة، بشكل قطب، على خط الهطول العالمي (WMWL)، مع قيم $d=10\%$ يؤكد بشكل عام على وحدانية مصدر التغذية والذي يتم من خلال التسرب عبر نطاقات التكشف في الجبال التركية ومنظومة الصدع مع نهر الفرات. كل المياه الجوفية العميقة خالية من التريتيوم ($<1\text{TU}$). التقدير الوسطي لزمن مكوث المياه الجوفية العميقة تم اعتماداً على استخدام الكربون $^{14}\text{C}_{\text{DIC}}$. القيم المنخفضة للكربون-14 ($<4\text{pmC}$) والمترافقة بقيم غنية بالكربون-13 $\delta^{13}\text{C} = -1.7\%$ تشير إلى مدى التطور الجيوكيميائي الذي تم على المياه الجوفية العميقة. تصحيحات كبيرة تم إدخالها على ^{14}C وهي ناتجة عن مختلف عوامل التمديد متضمنة انحلال الكربونات، وإرجاع السلفات وعمليات التبادل الأيوني مع الأمية الصخرية. مجمل آليات التمديد تم تحديدها كيميائياً على قاعدة معادلة توازن الكتلة لـ $\delta^{13}\text{C}$. نتائج هذا النموذج تشير إلى زيادة أعمار المياه الجوفية وفق مسار حركة هذه المياه وأن أعمار تلك المياه الجوفية تتراوح ما بين 8 إلى 11 ألف سنة قبل الآن.

الكلمات المفتاحية: مياه جوفية عميقة، ملوحة، سلفات، نظائر بيئية، حوض حلب، سوريا.

مكتب حماية مكتبة



1 - النَّبْض اليومي للحياة

LIFE'S DAILY BEAT*

تأليف: ابيرهارد غوينر

(ليون كرايتسمان Keritzman) فهو كاتب علمي كان قد تدرّب بالأصل ككيميائي حيوي وسبق له أن ألف كتاباً حول الورطات الاجتماعية لعالم الأربع والعشرين ساعة على مدى سبعة أيام أسبوعياً تحت عنوان [The 24 Hour Society] (البروفيل، لندن، 1999). لقد مزجت جهودهما المشتركة بنجاح بين شمول الكتابة ودقتها. ويجذب الكتاب اهتمام القارئ فوراً ويستأثر به حتى آخر سطر فيه. وحتى الموضوعات المعقدة مثل النموذج العام للميقاتية الجزئية يتم عرضها بطريقة مفهومة (مع أن بعض المقاطع يُفضّل قراءتها أثناء الطور اليوماوي الأكثر يقظة لدى القارئ). هذا ويعدّ الكتاب شاملاً وجامعاً بشكل رائع، إذ يغطي تقريباً جميع الجوانب المهمة للبحث في النظميات اليوماوية circadian والسنواتية circannual.

في بداية الخمسينيات من القرن الماضي اكتُشِف أن الطيور المهاجرة تستخدم نظميات يومية داخلية المنشأ تتعلق بتوجيه الشمس sun orientation وأن ذاكرة الوقت لدى النحل تعتمد أيضاً على نوسان يوماوي. حتى النظميات الفصلية فإنها تعتمد على المنظومة اليوماوية لقياس طول اليوم، لذلك أصبح واضحاً أن النظميات اليوماوية تكن مجرد نتائج ثانوية خالية المعنى للتنظيم البيولوجي، بل تؤدي بالأحرى وظائف مهمة كميقاتيات فعلية. وقد قدّمت هذه الرؤية الحافز المبدئي للبحث عن الآليات اليوماوية الأساسية. وكان الاكتشاف الأول قد ظهر في مختبر ميخائيل ميناكرا M. Menaker بأن الاستئصال الجراحي للغدة الصنوبرية (وبالتالي، غياب التذبذبات الدورية في مستويات الميلاتونين الذي تفرزه تلك الغدة) أزال النظمية اليوماوية عند العصفير المنزلية التي أُبقيت تحت نظام ضوء ثابت. وثمة تجارب متميزة - تذكر منها على سبيل المثال البدائل النظمية للميلاتونين، واغتراسات الغدة الصنوبرية، والتحليل في الزجاج (المخبرية) لإنتاج ميلاتونين الغدة الصنوبرية - أشارت بصورة مقنعة إلى أن العضو الصنوبري هو جزء أساسي في الناظمة اليوماوية الطيرية، فهو يسيّر نوااسات أخرى ويلعب دوراً أساسياً في تحديد طورها.

وكذلك ساعدت الأدوات المفاهيمية والميتودولوجية الموضوعية لتحليل الناظمة اليوماوية الطيرية في الكشف عن الدور الذي تلعبه النواة الوطانية فوق التصالبية (SCN) كناظمة يوماوية رئيسة عند الثدييات، وهذا هو جوهر الفصل الذي يحمل عنوان البحث عن الميقاتية، الذي يسرد النص كقصّة جريمة ويبعث الكثير من الإثارة والحيوية في هذا المجال. فعلى عكس الفقاريات الأخرى، يبدو أن

ثمة معارف بيولوجية قليلة تنامت بشكل هائل وناجح مثل البحث بالنظمية البيولوجية biological rhythmicity وغالباً مايشار إليها اليوم باسم البيولوجيا الزمنية (كرونيوبولوجيا). وتتمحور حول أشكال النظم اليوماوي المتمثلة في الدورات periodicities اليومية الداخلية المنشأ التي تشكل أساس جميع جوانب الحياة الرئيسة. وفي السنوات السبع الأخيرة احتلت الاكتشافات الكرونيوبولوجية ثلاث مرات المركز الثاني بين المتسابقين التسعة في اختراقات مجلة العلوم لذلك العام. ويزداد بشكل مستمر أعداد الباحثين العاملين، ومنشوراتهم، ومؤتمراتهم في هذا المجال. ويتمثل أحد أسباب نجاح هذا المجال في طبيعته المتعددة المعارف، ونظراً لكون جانب كبير من الحياة اليومية يتصف بالنظمية (في الواقع يمكن أن تكون النظميات اليوماوية ذات دلالة حياتية)، فإن البحث في النظميات قد استقطب علماء من مجالات متنوعة، بما فيها البيئة والفيزيولوجيا والبيولوجيا الجزيئية والطب النفسي والطب الصناعي وطب الشيوخ وبحوث النوم وعلم الأورام. ويخلق التأثير بين هذه المجالات جواً محفزاً على البحث.

بدأت القصة الحديثة لنجاح البيولوجيا الزمنية عام 1960 حينما جمعت إحدى ندوات Cold Spring Harbor المخصصة للميقاتيات البيولوجية الباحثين النظميين الأوائل المشتتين جنباً إلى جنب لتحديد الأهداف الملحة لهذا المجال ومفاهيمه المهمة، إذ كانت للتو أولى نماذج النوااس قد أصبحت متاحة وقيد الاستخدام في وصف ظواهر نظامية في البيولوجيا، وقد قدّمت هذه النماذج لغة مشتركة لجسر (لتجاوز) فجوات الاتصال بين المجالات المعرفية المختلفة.

لقد كان من الصعب متابعة التقدم السريع والمفاجئ في الأبحاث الكرونيوبولوجية. وحتى فترة حديثة جداً، افتقر هذا المجال إلى كتاب شامل وحديث، ونذر أن استطاع الجمهور ذو الاهتمام الوصول إليه. والآن تم سدّ الثغرة الأخيرة عبر كتاب نظميات الحياة Rhythms of Life، ويعتبر المؤلف الأول للكتاب (روسل فوستر R. Foster). مشتهراً بين المتخصصين في البيولوجيا الزمنية (الكرونيوبولوجيا) كخبير رائد في إدراك اليوماوي (السرКАДي)، وأما شريكه في تأليف الكتاب

* E. Gwinner: Von der Tann Strasse 7, D-82346 Andechs, Germany

- العرض والتحليل عن مجلة Science, 25 June 2004. وتمت الترجمة في هيئة الطاقة الذرية السورية.

والثدييات التي عاشت قبل 700 سنة تقريباً. من الناحية الأخرى، فإن جينات الميقاتية في النباتات تختلف تماماً عنها في الحيوانات، على غرار ما هو عليه الأمر لدى الفطور والجراثيم الزرقاء cyanobacteria. وتوحي هذه الفوارق بأن الميقاتيات البيولوجية تطورت أكثر من مرة أثناء تنوع الحياة. ولكن مع ذلك، فإن الآلية الأساسية لعروة تغذية راجعة سلبية ذاتية التنظيم وتشمل عدة جينات تبقى هي المستخدمة من قبل جميع هذه المتعضيات الحية. وقد ساعدت قياسات تعبير الجينات الميقاتية الدورية عن نفسها في تحديد النواصت اليوماوية المحيطة الكثيرة الموجودة في تشكيلة منوعة من الأعضاء والأنسجة وتسييرها ناظمت يوماوية.

لماذا إذن وجب تطوّر مثل هذه الأجهزة التنظيمية المتقنة لتصبح نظميات يوماوية شمولية الوجود؟ توحي الأدلة بأن المنظومة اليوماوية، بالإضافة إلى وظائفها النوعية، تهى ترتيباً زمنياً داخلياً بين النظميات الفيزيولوجية المتعددة، وهو ترتيب ضروري لصحة ولياقة المتعضيات الحية. ويوضح المؤلفان هذه الأهمية بأمثلة عن انزعاجات وأمراض تتعلق بشكل واضح بالخلل الوظيفي اليوماوي وتتضمن شذوذات في النوم واضطراباً عاطفياً فصلياً، ومشكلات ناجمة عن السفر جواً مسافات بعيدة أو عن أعمال المناوبة shift work. ومعظم هذه الحالات إنما تسببها الحضارة الحديثة. وتبين ما يحدث عندما تتعطل البنية الزمنية لأدائنا اليومي (المبني على منظومة يوماوية صارمة) وعندما نضطر للسلوك وكنا بدون ميقاتية بيولوجية. وفي أحد الملاحق، يقدم المؤلفان اقتراحات حول كيفية التغلب على الإتهاك الناجم عن الطيران لمسافات طويلة والذي يؤدي إلى اختلاف في النظميات اليوماوية. ولكن لسوء الحظ، يمكن أن تفيد إرشاداتهما في تخفيف المشكلة فقط ولكن بدون إزالتها. فهما يستشهدان بقول الكاتبين الأرجنتينيين س. دانلوب C. Dunlop و ج. كورتازار J. Cortazar، عندما تذهب (من أمريكا) إلى أوربة، يستغرق تأقلمك الواعي مدة تقارب ثلاثة أيام.

وإذا قبلنا الضلوع الشامل للنظميات اليوماوية في تنظيم الوظائف البيولوجية، فليس من المدهش إمكانية اعتماد نجاعة المعالجة الطبية على الوقت من اليوم. ويقدم المؤلفان بعض الأمثلة المذهلة عن ذلك في فصلهما حول المعالجة الكرونولوجية، التي تستكشف الاحتمال المرجح بأن "التوقيت ضروري". على سبيل المثال، هنالك أدلة على أن نجاح معالجات السرطان يمكن تحسينه حينما يتم تناول العقاقير بما يتوافق مع البيولوجية اليوماوية للمريض.

وبالإجمال، يقدم كتاب نظميات الحياة Rhythms of life نظرة شاملة شفافة وفعالة لموضوع مثير ذي تشعبات تتعلق بتشكيلة منوعة من المعارف البيولوجية.

لدى الثدييات موضعاً واحداً فقط للناظمة، وهو SCN. ولكن مع ذلك، فإن بنية هذه الناظمة معقدة، وتوحي الأدلة بأنها قد تؤوي أكثر من نوّاس واحد له خواصّ الناظمة.

أعاد المؤلفان، في مناقشاتهما حول مزامنة synchronization النظميات اليوماوية بالضوء، رواية اكتشاف مسار منفصل تُنقل بواسطته معلومات الضوء إلى الـ SCN: وهو المسلك الشبكي الوطائي retine-hypothalamic tract. كما عرضا الاكتشاف الحديث والمدهش على حدّ سواء لنمط جديد من المستقبلات الضوئية العينية، وهو الميلانوبسين melanopsin، الذي يلعب دوراً مهماً في المزامنة اليوماوية. ففي الثدييات تم وضع الميلانوبسين في الخلايا العقدية للشبكية الداخلية التي تشكل المسلك الشبكي الوطائي الذي يذهب مباشرة إلى الـ SCN. ويوضح هذا الاكتشاف سبب بقاء النظميات اليوماوية لفئران طافرة لا تمتلك عصياً rods ولا مخاريط cones في شبكياتها قادرة على أن تتزامن باستخدام الضوء دوماً. وفي الفقاريات غير الثديية تقوم المستقبلات الضوئية العينية بدور ثانوي فقط (إن وجد) في عملية التزامن هذه. إذ إن مستقبلاتها الضوئية اليوماوية تتوضع بدلاً من ذلك في العضو الصنوبري، أو العين الجدارية، أو في بضع مناطق من الدماغ.

ويروي فوستر وكرايسمان كيف أتاح تطوّر البيولوجيا الجزيئية للباحثين توسيع تحليل النظميات اليوماوية إلى مستوى الجينات. فاكشفت جينة ميقاتية يوماوية Per في ذباب الفاكهة Drosophila في عداد طفرات تقوم بتقصير أو تطويل الفترة اليوماوية أو تجعل الحيوانات لانظمية arrhythmic. ومن ثم، تم تطوير نموذج تغذية راجعة سلبي يتم فيه نسخ الرنا المرسال للجينة Per من جينة Per كي يتاح إنتاج بروتين PER. يتراكم البروتين PER في السيتروليزما ويدخل النواة حيث يثبّط المزيد من الرنا المرسال. ونظراً للتوقف إنتاج البروتين PER، فإن الجينة Per تتحرر من التثبيط ويعاود الرنا المرسال للجينة Per نسخها. وتبدأ الدورة ثانية. ومنذ ذلك الحين، اتضح أن الآلية هي في الواقع أكثر تعقيداً بكثير حيث تشترك فيها جينات أخرى، ولكن المبدأ العام، بأن الآلية المولدة للنظم إنما تتألف من عروة تغذية راجعة ذاتية التنظيم تشتمل على عدة جينات، يبدو قوياً. ويقدم المؤلفان شرحاً مفهوماً عن الأفعال الجزيئية للميقاتية، وأنا أنصح كل شخص سبق له أن وجد صعوبات في مواكبة التقدم في هذا المجال، بقراءة فصلهما هذا.

وكذلك، يغطي الكتاب جانباً تطويراً مهماً من البحث في الميقاتية اليوماوية الجزيئية. فالجينات المعنية بتوليد النظميات اليوماوية تتشابه في ذبابة الفاكهة Drosophila وفي الفأرة. ومن الواضح أن الميقاتية أيضاً كانت متماثلة تماماً لدى الأسلاف المشتركة للحشرات

2 - قبضة الثقالة: مسألة فهم قوانين الحركة والتناقل

THE GRIP OF GRAVITY: THE QUEST TO UNDERSTAND THE LAWS OF MOTION AND GRAVITATION*

تأليف: د. غوندا هيلكار
عرض وتحليل: ج. غوندا لاش

وُجِدَت الثقالة منذ اللحظة الأولى للزمان، ومنذ ذلك الحين طبعت الكون وستقرر من جانبها بالتاكيد تقريباً وبشكل مهيمٍ نهاية الكون. وقد أوليت الثقالة مقادير من الطاقة لا يُستَبَرُّ غورها منذ تلك اللحظة الأولى من الانفجار الأعظم. وبعد ذلك بحوالي 15 بليون سنة يمنح جزء ضئيل جداً من هُدْر الطاقة الجنس البشري فرصة الالتفات إلى الماضي ومحاولة فهم ما حدث وكيفية عمل الطبيعة الآن وما سيكون عليه مصير الكون مستقبلاً. وقد هيمنت مثل هذه التساؤلات على حياة النظريين والفلاسفة وعلماء الرياضيات والفلكيين والفيزيائيين عبر العصور.

وفي كتاب قبضة الثقالة *The Grip of Gravity* لمؤلفه الفيزيائي برايهكار غوندهالكار P. Gondhalekar يتقصى المؤلف استكشاف الإنسان قوانين الحركة والجاذبية عبر التاريخ، حيث تم تخصيص كل فصل لعلماء مختلفين من التاريخ. فلقد كان الإغريق من أوائل الشعوب التي بادرت إلى وضع وصف فيزيائي للكون. ومن بينهم كان أرسطو (384-322 ق.م) وهو أول من سلك اسم "الفيزياء" *physis* على دراسة الطبيعة. وربما كان أول عالم درس مفاهيم الحركة والعتالة والثقالة. أما الصورة التي قدمها أرسطو ومعاصروه عن العالم فقد كانت غير صحيحة، لكن مدرسته الفكرية - التي لاقت التشجيع والدعم من الكنيسة - هيمنت على العلوم الفيزيائية طيلة ألفي عام تلت أرسطو (انظر "هل كان أرسطو الفيزيائي الأول؟" للمؤلف ميخائيل رومان - روبنسون M. Rowan-Robinson في مجلة *Physics World January*، ص 15-16).

وفي حوالي عام 1500 وجه كوبرنيكوس Copernicus ضربة إلى صميم الدين المسيحي، إذ أحل محل مدارات الكواكب ذات المركزية الأرضية التي وضعها بطليموس كونا ذات مركزية شمسية. أما الراهب جيوردانو برونو Gi. Bruno فقد ذهب أبعد من ذلك خطوة أخرى، إذ فكّر بعدم وجود نقطة استقرار مطلقة، وبأن النجوم هي مراكز المنظومات الكوكبية الأخرى التي تبعد عن الأرض مسافات

شاسعة. وقد أعدم برونو بالخازوق الأمر الذي اعتذرت عنه الكنيسة الكاثوليكية أخيراً في شباط عام 2000. ولقد أوجد كبلر Kepler العلاقة الملمزة بين الرياضيات والمشاهدات عبر قوانينه الثلاثة المعروفة. وفي الحقيقة، ذهب كبلر إلى أبعد من ذلك، واكتشف تقريباً مفهوم التناقل gravitation. إذ أوحى بانجذاب الجسمين أحدهما إلى الآخر إذا وقعا خارج تأثير جسم ثالث، ومن باب الافتراض فإنه قد درس اعتماد قانون التربيع العكسي لهذه القوة على المسافة. وبعد ذلك بفترة ليست بالطويلة، استخدم غاليليو Galileo التجربة للإطاحة بحكم القوانين التأملية للطبيعة التي افترضها أرسطو والذي دام ألفي عام. وقد وضع غاليليو أسس العملية العلمية الحديثة التي ينبغي أن تقتزن فيها النظرية بالتجربة.

كان نيوتن Newton الذي ولد بعد عام واحد من وفاة غاليليو قد أطلع على كتابات كوبرنيكوس وتيكو براهي T. Brahe وكبلر وديكارت Descartes وغاليليو. وتمكن من مكاملة كل هذه المعارف، كما تمكن بإلهام من واقعة التفاحة الثانية المهمة والمزعومة، من صوغ القانون الكوني للتناقل. وأصبحت الثقالة فعلاً أنياً على مسافة معينة. وأصبحت حركيات علم الحركة kinematics والدينامية dynamics النيوتونيين العنصر الأساسي في فهم محيطنا اليومي. وكل من يشك في صحة قوانين الحركة لا يؤخذ على محمل الجد.

أما القفزة التالية في مشوار التقدم فقد جاءت مع أينشتاين في بداية القرن العشرين. إذ سبق لريمان أن افترض أن القوة يمكن أن تكون إحدى نتائج الهندسة. كما أوجد هندريك لورنتز Lorentz وهيرمان منوفسكي H. Minkowski المستلزمات الرياضية للنسبية relativity. واقترب هنري بوانكاريه H. Poincaré كثيراً من الميكانيك النسبي. وفي الواقع، أطلق على نظريته اسم مبدأ النسبية في عام 1904. وأكد أينشتاين أنه لم يكن يدري عن هذا العمل وأنه علم فقط بمساهمة بوانكاريه بعد 40 عاماً من وفاة فريشمان Frenchman.

وفي عامه الرابع 1905، حقق أينشتاين التقدم المفاجئ والكبير في المعرفة من خلال النسبية الخاصة وتوصل إلى المعادلة التي غيرت وجه العالم $E = mc^2$. وحلّت النسبية العامة في المقام الثاني وتعدّ الآن النموذج المعياري للثقالة. وقد اجتازت نظريات أينشتاين جميع الاختبارات التجريبية بتميز. ومن الممتع أن نقرأ عن الانحناء المتنبأ به لضوء النجم البعيد بواسطة الشمس بأنه كان في البداية خطأً (بمعامل اثنين)، ولكن أينشتاين أدرك خطأه الصغير هذا قبل أن تصبح التقنيات التجريبية حساسة بالقدر الذي يكفي لكشفه.

* P. Gondhalekar: Cambridge University Press 386pp, 2001.

ج. غوندا لاش: أستاذ جامعي زميل في مجال الأبحاث في فريق Eöt-Wash Gravity، قسم الفيزياء، جامعة واشنطن - سياتل - الولايات المتحدة الأمريكية. - العرض والتحليل عن مجلة *Physics World*, April 2002. وتمت الترجمة في هيئة الطاقة الذرية السورية.

لسيطرة الدين آنذاك. وقد تم تقديم جميع المساهمين في هذا المجال - بدءاً من أرسطو وحتى بلانك - بصور وصفية عن سيرتهم الذاتية، ويوصف حي لشخصياتهم والعديد من النواذر المنقولة عنهم. وقد وجدت ذلك على الأخص مرضياً من أجل الاطلاع على المساهمين في هذا المجال الذين لم يصلوا إلى مستوى الشهرة وغالباً لم يعطوا حق قدرهم، من أمثال جيوفاني بينيديتي G. Benedetti، عالم التجربة الإيطالي في القرن السادس عشر.

يتابع غوندهيلكار في كتابه وصف تاريخ هذا المجال لكنه يؤكد وبشدة على شرح العلم لغير الفيزيائيين. وتميز شرحه بالأناة والتطبيق والوضوح مع التنافس بين النظرية والتحقق بالتجربة الذي قُدِّم كمغامرة علمية مزدهرة. ويمثل الكتاب توازناً بين المفهوم والتفصيل وسيحتكم إلى شريحة عريضة من القراء. وقد خرج غوندهيلكار، من خلال العديد من الحبكات الثانوية المحكمة في السرد الرئيسي، بقصة شاملة ومتماسكة وحديثة عن استفساراتنا الطويلة لفهم الثقالة.

ولكن الخطأ الذي أشار إليه أينشتاين بأنه "خطؤه الفاضح"، إنما كان "الثابت الكوزمولوجي cosmological constant". أما الآن فإن هذا الثابت أخذ يعاد إدخاله لتعديل المشاهدات التي تتضمن إعتام النجوم المستعرة الضياء البعيدة. وكان أينشتاين حتى وفاته يحاول دوماً إنجاز الأبحاث التي تشغل اهتمام الفيزياء مثل: النظرية التي توحد الثقالة مع العالم الكمومي. وما تزال أولى أولويات الفيزياء الأساسية حتى اليوم تتمثل في محاولات التوحيد الواعدة المتمثلة في صياغة نظرية الخيط العشاري ten-dimensional string theory. ولسوء الحظ، لا توجد إمكانية للتحقق من هذه النظرية بالتجربة أو بالمشاهدة حتى الآن، على الرغم من قيام محاولات بهذا الاتجاه.

ويعدّ تفسير غوندهيلكار التاريخي لمسار الاكتشاف العلمي، الذي يغطي النصف الأول من هذا الكتاب موضع تفكير إلى حدٍ كبير. إذ يوضح كيف تشوّش العقبات هذا المسار المتمعج وغير المنتهي وكيف أن الأمر يتطلب عبقریات مثل نيوتن وأينشتاين لتحقيق قفزات التقدّم. هذا ويضع غوندهيلكار تصورات في سياقها التاريخي والثقافي، كاشفاً بذلك مدى خضوع التقدم العلمي المبكر

resistant to late blight whereas only one plant from each of the other 2 cultivars was resistant. Mutant plants varied in number of produced minitubers from 13 to 70. Also, weight of these minitubers varied from less than 1 to 35 grams. Selected mutant lines will undergo further testing under field conditions for *P. infestans* resistance and other agronomic characteristics.

Key Words

Potato, blight, mutation, *in vitro*.

★ A short report on a scientific study in the *Department of Molecular Biology and Biotechnology*, Atomic Energy Commission of Syria.

CHEMICAL AND ENVIRONMENTAL ISOTOPIC CHARACTERISTICS OF THE DEEP AQUIFERS SYSTEMS IN JABAL AL-HASS (ALEPPO REGION)★

A. AL-CHARIDEH

Department of Geology, Atomic Energy Commission, P. O. Box 6091, Damascus, Syria

ABSTRACT

Chemical and environmental isotopes have been used for studying the deep aquifer systems in the Aleppo region. The salinity of deep groundwater range between 3 to 6 g/l. study of salinity scenario reveals that the dissolution of evaporate rocks is the main factor of high salinity. The salinity amount is basically related to SO_4^- (1400 to 2000 mg/l), the relationship between $\delta^{34}\text{S}_{\text{SO}_4}$ and $\delta^{18}\text{O}_{\text{SO}_4}$ indicate that the origin of sulfate is gypsum dissolution, and the enrichment of $^{34}\text{S}_{\text{SO}_4}$ and $^{18}\text{O}_{\text{SO}_4}$ is related to the reduction of sulfate. The degree and space variation salinity is related by the direction flow of deep groundwater, the salinity increasing from north and northeast to south and southwest. The high values are found in the AL-Mouth area. The stable isotopes composition of deep groundwater ($\delta^{18}\text{O} = -8.05 \pm 0.24\%$, $\delta^2\text{H} = -53.0 \pm 1.72\%$) show a homogeneity depleted as well as low deuterium excess ($d = 10-13\%$) and vary modest standard deviation. These values is vary closed to the isotope composition values measured in the Euphrates river at the Syrian -Turkey border . The relationship between $\delta^{18}\text{O}$ and $\delta^2\text{H}$ of deep groundwater shows polar distribution pattern at the WMWL which emphasizes the unique origin of recharge from the Turkish ranges and the Euphrates faults system.

Deep groundwater is mostly ^3H -Free. Estimates of their mean subsurface residence times have been constrained on the basis of $^{14}\text{C}_{\text{DIC}}$. The low values of ^{14}C ($<4\text{pmC}$) with very enrichment of $\delta^{13}\text{C} = -1.7\%$ indicate the sever geochemical evolution. Significant corrections have been made for ^{14}C -dilution processes including , carbonate dissolution, sulfate reduction and matrix exchange. All dilution processes were quantified on the basis of geochemical and $\delta^{13}\text{C}$ mass balance equations. The results of this model show the increasing of water age according the Direction of groundwater flow pattern, and the main age range between 8 to 11ka BP.

Key Words

deep groundwater, salinity, environmental isotopes, Aleppo area, Syria.

★ A short report on a scientific study in the *Department of geology*, Atomic Energy Commission of Syria.

EVALUATION OF SYMBIOTIC PERFORMANCE OF SOME MUTAT LINES OF SOYBEAN INOCULATED WITH TWO BRADYRHIZOBIUM JAPONICUM STRAINS USING ^{15}N TECHNIQUE★

F. KURDALI, N. MIR-ALI, I. NABULSI

Department of Agriculture, Atomic Energy Commission, P. O. Box 6091, Damascus, Syria

ABSTRACT

A pot experiment was conducted to study the symbiotic performance of two soybean varieties and some of their mutants (that were obtained as a result of previous mutation breeding program) with two *Bradyrhizobium japonicum* strains (RG and FA3) using ^{15}N isotopic dilution method. Random amplified polymorphic DNA technique (RAPD) was used to study the genetic relationships among the soybean genotypes and to make sure that the two rhizobial strains are different.

Our results indicated that the performance of symbiotic N_2 -fixation in soybean was shown to depend on both plant genotype and rhizobial strain, and the amount of N_2 -fixation can be increased by combining the best plant genotypes and the most adapted strain.

Key Words

Bradyrhizobium japonicum, soybean, mutants, RAPD, N_2 -fixation, ^{15}N isotope dilution.

★ A short report on a scientific study in the *Department of Agriculture, Atomic Energy Commission of Syria.*

THE USE OF TISSUE CULTURE TECHNIQUES WITH IRRADIATION TO IMPROVE POTATO RESISTANCE TO LATE BLIGHT★

B. AL-SAFADI, M. I. E. ARABI

Department of Molecular Biology and Biotechnology, Atomic Energy Commission, P. O.Box 6091, Damascus, Syria

ABSTRACT

A mutation breeding program was conducted to improve potato (*Solanum tuberosum*) resistance to late blight disease caused by *Phytophthora infestans*. *In vitro* cultured explants from potato cvs. Draga, Diamant, Spunta were irradiated with gamma ray doses 25, 30, and 35 Gy. Growing shoots were cut and re-cultured every 2 weeks until the 4th generation (MV_4) to make sure no chimeral tissues still existed in the mutant material. Plantlets were subsequently propagated to obtain enough explants for *in vitro* selection pressure. Around 3000 plantlets from the three cultivars were subjected to selection pressure using co-culture technique. MV_4 explants were incubated in jars, containing MS medium, with mycelia of *P. infestans*. Surviving plantlets were propagated and re-incubated with the pathogen for three consecutive generations. Resistant plantlets were acclimatized and transferred to pots and grown under glasshouse conditions. Plants were later inoculated, at the adult stage, with sporangial suspension. Cultivar Draga produced the highest number of resistant plants. Ten plants of Draga appeared to be

PREPARATION OF ION EXCHANGE RESINS OF PVA GRAFTED WITH CITRIC OR SUCCINIC ACID USING RADIATION★

Z. AJJI

*Department of Radiation Technology, Polymer Technology Division, Atomic Energy Commission
P. O. Box 6091, Damascus, Syria*

ABSTRACT

Solutions of different concentrations of poly(vinyl alcohol) and citric acid or succinic acid were prepared. The solutions were exposed to doses up to 100 kGy. Some parameters of the prepared gels had been studied as: maximal swelling, gel fraction, strain %, tensile strength, and ion-uptake of some metal ions (Cu, Ni, Co).

The data show that the maximal swelling of the prepared gels increases by increasing the absorbed dose. The gel fraction of gels increases also by increasing the absorbed dose for both acids. Increasing of the acid concentration causes a lowering of the swelling and the gel fraction of the gels.

The mechanical measurements show that the stress at break of the prepared gels increases by increasing the absorbed dose for both acids. Further, The strain decreases by increasing the absorbed dose. The concentration of the acids does not affect these parameters significantly.

The ion uptake of copper ions increases by increasing the absorbed dose; the ion uptake of nickel and cobalt ions increases also by increasing acid concentration. This can be explained by increasing of the reactive acidic centers bonded to the polymer backbone.

Key Words

poly(vinyl alcohol), citric acid, succinic acid, radiation grafting, ion exchange resin.

★ A short report on a scientific study achieved in the *Department of Radiation Technology, Atomic Energy Commission of Syria.*

DETECTION AND MANAGEMENT CANCER USING RIA TECHNOLOGY★

M. A. BAKIR, A. W. ISSA, D. A. DAHER

Department of Radiation Medicine, Atomic Energy Commission, P. O. Box 6091, Damascus, Syria

ABSTRACT

The IAEA regional project RAW/6/007 was first approved in 1999-2000 programme session in order to provide the participating member states with effective tools for the diagnosis and clinical management of cancer. RIA is one of the most sensitive, precise and cost effective technologies for detecting tumours and measuring changes in protein molecular in biological fluids.

The early detection and treatment of cancer allows better clinical management of disease. The capability of carrying out these assays assists the participating countries in refining their epidemiological databases on cancer, which could improve the regional cancer registry. Eight west Asian countries were, Iran, Jordan, Kazakhstan, Kuwait, Lebanon, Syria, Uzbekistan and Yemen. A regional service was established for the tumour markers: Total PSA, Free PSA, β HCG, AFP, CEA, and CA 15-3 which were applied to the relevant cancers.

Key Words

tumour marker, cancer, RIA (radioimmunoassay).

★ A short report on a scientific research achieved in the *Department of Radiation Medicine, Atomic Energy Commission of Syria.*

ANALYSIS OF FILL FACTOR LOSSES IN ZnO/CdS/CuGaSe₂ SOLAR CELLS[★]

M. SAAD, A. KASSIS

Department of physics, Atomic Energy Commission, P. O. Box 6091, Damascus, Syria

ABSTRACT

In this work the effects of the parameters that describe the behavior of the cells (diode ideality factor, saturation current density, series and shunt resistance) on the fill factor have been demonstrated. Current-voltage characteristics of ZnO/CdS/CuGaSe₂ single crystal solar cells with solar conversion efficiency values of $\eta = 3.5\%$, $\eta = 6.0\%$, $\eta = 6.7\%$ and $\eta = 9.7\%$ have been analyzed using the single diode equation. Fill factor calculations using the achieved parameters revealed that the effect of the series resistance is much higher in the dark than under illumination, where a series resistance value of up to $R_{s1} = 4.8 \Omega \text{ cm}^2$ reduces the fill factor approximately $\Delta ff = 4.4\%$. Due to its high value the effect of the dark shunt resistance in all studied cells can be neglected. Under illumination the shunt resistance takes relatively low values, hence its effect on the fill factor must be considered (a value of $R_{sh1} = 6.5 \text{ E}2 \Omega \text{ cm}^2$ leads to a fill factor reduction of approximately $\Delta ff = 3.6\%$). The increase of the saturation current density under illumination brings about considerably high fill factor losses in all studied cells (at least $\Delta ff = 8.3\%$). The diode ideality factor does not affect the fill factor in the ideal case ($R_s = 0$, $R_{sh} = \infty$). In the real case a high ideality factor leads to a decreased fill factor, when the saturation current density is low, and to an increased one for too high values of the saturation current density. Already the dark saturation current density and the diode ideality factor in such cells are much higher than the ones in the cells based on silicon or Cu(In,Ga)Se₂. This seems to be the most substantial restriction to the fill factor, and so to the performance, of solar cells based on CuGaSe₂.

Key Words

solar cells, fill factor, CuGaSe₂.

[★] A short report on a scientific computer study achieved in the *Department of physics*, Atomic Energy Commission of Syria.

NOISE LEVELS IN DAMASCUS CITY[★]

M. AL- OUDAT, Y. MASLMANI

Department of protection and safety, Atomic Energy Commission, P. O. Box. 6091, Damascus, Syria

ABSTRACT

Outdoor noise levels were measured at 22 sites in Damascus city. Sound level meter Model NC-10 with a 20-140 dBA selectable range was used in the current investigation. At each site noise data were collected from 7 to 21 o'clock. The results showed that the noise levels were higher than WHO (World Health Organization) standard by 5-24.7 dB, 10-16 dB, 10-11 dB and 12-17 dB in residential, commercial, commercial-industrial, and Heavy traffic streets respectively. Indoor and outdoor noise levels in some hospitals were higher than WHO standard by 15-28 dB and 19-23 dB respectively. The study showed that the authorities administration must take necessary procedures to reduce the noise levels in residential regions and in the regions surrounding the hospitals.

Key Words

outdoor sound levels, Damascus, decibel, noise pollution.

[★] A short report on a scientific research achieved in the *Department of protection and safety*, Atomic Energy Commission of Syria.

ABSTRACT

Different ratios of Portland cement and sand were mixed with radium chloride to produce radioactive cylinder specimens. Two types of sand were used (calcite and silica). The release of radon from these samples was studied.

Results showed that radon release from the calcite-cement samples was affected by the sand mixed ratios. It was also noticed that the release changed with the size of the sand particles. Same trends were observed from silica-cement samples. In addition, it was found that radon exhalation from calcite-cement samples were less than that of silica-cement samples. The results were explained by the creation of closed free spaces in the samples, which gave radon atoms the possibility to decay in these free spaces rather than exhalation.

Key Words

radioactive waste, radon exhalation, waste disposal, shielding solidification.

* This paper appeared in *Radiation Measurements*, 2003.

REPORTS

DESIGNING THE USER INTERFACE COBRET UNDER WINDOWS TO CARRY OUT PRE- AND POST-PROCESSING FOR THE PROGRAMS COBRA-RERTR AND PARET ★

A. HAINOUN, A. MONTHER, N. GHAZI

Department of Nuclear Engineering, Atomic Energy commission, P. O. Box 6091, Damascus, Syria

ABSTRACT

In the framework of testing, evaluation and application of computer codes in the design studies and safety analysis of research reactors, the dynamic code PARET and the thermal hydraulic code COBRA-RERTR have been adopted.

In order to run the codes under windows and to support the user by pre- and post processing, the user interface program COBRET has been developed in the programming language Visual Basic 6 and the data used by it are organized and stored in a relational database in MS Access, an integral part of the software package, MS Office. The interface works in the environment of the Windows operating system and utilizes its graphics as well as other possibilities. It consists of Pre and Post processor. The pre processor deals with the interactive preparation of the input files for PARET and COBRA codes. It supports the user with an automatic check in routine for detecting logical input errors in addition to many direct helps during the multi mode input process. This process includes an automatic branching according to the selected control parameters that depends on the simulation modes of the considered physical problem. The post processor supports the user with graphical tool to present the time and axial distribution of the system variables that consist of many neutronics and thermal hydraulic parameters of the reactor system like neutron flux, reactivity, temperatures, flow rate, pressure and void distribution.

Key Words

COBRET, pre and post processor, user interface, neutronics, thermo hydraulics.

* A short report on a scientific computer study achieved in the *Department of Nuclear Engineering, Atomic Energy Commission of Syria*.

ANALYSIS OF THE KARST AQUIFER STRUCTURE OF THE LAMALOU AREA (HÉRAULT, FRANCE) WITH GROUND PENETRATING RADAR★

W. AL-FARES

Université Montpellier II, CNRS Hydrosciences, c.c. MSE, 2 place Eugène Bataillon, 34095 Montpellier Cedex 5, France

AECS, B.O. Box. 6091, Damascus, Syria

M. BAKALOWICZ

Université Montpellier II, CNRS Hydrosciences, c.c. MSE, 2 place Eugène Bataillon, 34095 Montpellier Cedex 5, France

R. GUÉRIN

UMR 7619 Sisyphe, Département de Géophysique Appliquée, Université Pierre et Marie Curie (Paris 6) case 105, 4 place Jussieu, 75252 Paris Cedex 05, France

M. DUKHAN

IRD, 911 avenue Agropolis, 34000 Montpellier, France

ABSTRACT

The study site at Lamalou karst spring (Hortus karst plateau) is situated 40 km north of Montpellier in France. It consists of a limestone plateau, drained by a karst conduit discharging as a spring. This conduit extends for a few dozen meters in fractured and karstified limestone rocks, 15 to 70 m below the surface. The conduit is accessible from the surface. The main goal of this study is to analyze the surface part of the karst and to highlight the karstic features and among them the conduit, and to test the performances of ground penetrating radar (GPR) in a karstic environment. This method thus appears particularly well adapted to the analysis of the near-surface (<30 m in depth) structure of a karst, especially when clayey coating or soil that absorbs and attenuates the radar is rare and discontinuous. A GPR pulse EKKO 100 (Sensors and Software) was used on the site with a 50 MHz antenna frequency. The results highlight structures characterizing the karstic environment: the epikarst, bedding planes, fractured and karstified zones, compact and massive rock and karrens, a typical karst landform. One of the sections revealed in detail the main conduit located at a depth of 20 m, and made it possible to determine its geometry. This site offers possibilities of validation of GPR data by giving direct access to the karstic conduit and through two cored boreholes. These direct observations confirm the interpretation of all the GPR sections.

Key Words

ground penetrating radar (GPR), karst, cave, epikarst, karst plateau, south of France.

★ This paper appeared in *Journal of Applied Geophysics* 51 (2002) 97-106.

THE EFFECT OF SAND/CEMENT RATIO ON RADON EXHALATION FROM CEMENT SPECIMENS CONTAINING ^{226}Ra ★

S. TAKRITI

Department of Physics, Atomic Energy Commission, P. O. Box 6091, Damascus, Syria

R. SHWEIKANI, A. F. ALI, G. RAJA

Department of Protection and Safety, Atomic Energy Commission, P. O. Box 6091, Damascus, Syria

PAPERS

EFFECT OF DIFFERENT WATER SALINITY LEVELS ON GROWTH, NODULATION, AND N₂-FIXATION BY DHAINCHA AND ON GROWTH OF SUNFLOWER USING A ¹⁵N TRACER TECHNIQUE*

F. KURDALI, F. AL-AIN

*Department of Agriculture, Plant Nutrition Division, Atomic Energy Commission, P.O. Box 6091
Damascus, Syria*

ABSTRACT

The Effect of different salinity levels of irrigation water (EC_w range 1.1 to 33 dS/m) on the nodulation, dry matter production and N₂ fixation by dhaincha (*Sesbania aculeata* Pers.) was investigated in a pot experiment. The same effect on the growth of sunflower (*Helianthus annuus* L.), which was also utilized as a reference crop for measuring N₂-fixation by the legume crop using the ¹⁵N-isotope dilution method, was also investigated. Irrigation with water having EC_w of more than 4.03 dS/m reduced plant growth, and the reduction was more pronounced in *S. aculeata* than in *H. annuus*. High levels of water salinity caused more inhibition in shoot than in root growth of both plant species. The indigenous rhizobial strains could form nodules on *Sesbania aculeata* grown under different salinity levels of irrigated water, except for those irrigated with high level of ground water salinity (EC_w 33 dS/m) where nodulation and N₂ fixation were completely inhibited. However, %N₂ fixation was significantly enhanced by a moderate salinity level (EC_w of 4.03 dS/m) in irrigated water, whereas small effects were obtained with higher water salinity levels (up to 12.3 dS/m). The results indicated that *Sesbania aculeata* and *Helianthus annuus* grown in saline soils can be irrigated either with saline water up to 8.03 dS/m and 12.3 dS/m, respectively, or with gradually increased levels of salinity for both of them.

Key Words

Sesbania aculeata, *Helianthus annuus*, Salinity, N₂-Fixation.

* This paper appeared in *Journal of Plant Nutrition*, (2002).

THE POSSIBILITY OF USING PLASTIC DETECTORS CR-39 AS UV DOSIMETERS*

R. SHWEIKANI, G. RAJA, A. A. SAWAF

Department of Protection and Safety, Atomic Energy Commission, P. O. Box 6091, Damascus, Syria

ABSTRACT

The effects of solar ultraviolet (SUV) and ultraviolet type A(UVA) produced by a solar UV simulator on CR-39 detectors were studied. This was done using three techniques:

1- Alpha tracks diameters and tracks densities, 2- UV-Vis spectrometry and 3- FTIR spectrometry. The detectors were divided into two groups, the first was exposed to UV and then to alpha particles, the second group was exposed to alpha particles first and then to UV.

The results showed that the effect of UVA on CR-39 was not clear using the three techniques. While, the effect of SUV was clear when using UV-Vis and FTIR spectrometric, and not clear when using track parameters.

Key Words

plastic detector, CR-39, track diameter, UV, UV-Vis, FTIR.

* This paper appeared in *Radiation Measurements*, 2002.

REDEFINING THE KILOGRAM★

I. ROBINSON

ABSTRACT

The kilogram is the last remaining SI unit that is defined in terms of a material artifact, but two experiments are under way to find a more fundamental measure of mass.

Key Words

SI system, accuracy, Avogadro constant, Planck constant, Watt balance.

★ This article appeared in *Physics World*, May 2004. It is translated into Arabic at the Atomic Energy Commission of Syria.

BRIDGING THE TERAHERTZ GAP★

G. DAVIES

Is in the School of Electronic and Electrical Engineering, University of Leeds, UK

E. LINFIELD

Is in the Cavendish Laboratory, University of Cambridge, UK

ABSTRACT

As the technology for generating and detecting terahertz radiation matures, new applications are being developed across the physical, biological and medical sciences.

Key Words

terahertz radiation (THz), quantum cascade laser, terahertz spectroscopy, terahertz source.

★ This article appeared in *Physics World*, April 2004. It is translated into Arabic at the Atomic Energy Commission of Syria.

ULTRAHIGH STRENGTH AND HIGH ELECTRICAL CONDUCTIVITY IN COPPER★

Lei Lu, Yongfeng Shen, Xianhua Chen, Lihua Qian, K. Lu

Shenyang National Laboratory for Materials Science (SYNL), Institute of Metal Research, Chinese Academy of Sciences, Shenyang 110016, P.R. China

ABSTRACT

Methods used to strengthen metals generally also cause a pronounced decrease in electrical conductivity, so that a tradeoff must be made between conductivity and mechanical strength. We synthesized pure copper samples with a high density of nanoscale growth twins. They showed a tensile strength about 10 times higher than that of conventional coarse-grained copper, while retaining an electrical conductivity comparable to that of pure copper. The ultrahigh strength originates from the effective blockage of dislocation motion by numerous coherent twin boundaries that possess an extremely low electrical resistivity, which is not the case for other types of grain boundaries.

Key Words

metal strengthening, electrical conductivity, nanoscale growth twins, coarse-grain copper, pure copper.

★ This article appeared in *Science*, April 2004. It is translated into Arabic at the Atomic Energy Commission of Syria.

ABSTRACTS OF THE ITEMS PUBLISHED IN THIS ISSUE

ARTICLES

FOUR DAYS THAT SHOOK THE WORLD★

K. RAVILIOUS

A Science Writer Based in Oxford

ABSTRACT

Just when you thought the dust had settled on the cause of the demise of the dinosaurs, there's a new type of catastrophe kicking it up again. Forget meteorites and mega-volcanoes, Verneshots are the real culprit, says Kate Ravilious.

Key Words

Dinosaurs, Meteorite, Mega-volcanoes, Verneshots, Atmosphere, Earth's crust, Mantle, Mega-volcanism, Continental flood basalt, Mass extinctions, Frasnian-Fammenian extinction, Permian, Triassic, Cretaceous-Tertiary boundary, impact, lava, Deccan Traps, Crater, Signatures, Shocked quartz crystals, Blobs, Microspherules, Iridium. Fullerenes, craton, Archean, Plate tectonics, Mantle Plume, Magma, Rift valley, Rifting, Super-Stratosphere, Micro-Verneshot, Shatter cones.

★ This article appeared in *NewScientist*, 8 May 2004. It is translated into Arabic at the Atomic Energy Commission of Syria.

TROPHIC ACTION OF LEPTIN ON HYPOTHALAMIC NEURONS THAT REGULATE FEEDING★

G. BOURET, S. DRAPER, R. SIMERLY

ABSTRACT








in adult mammals, the adipocyte-derived hormone leptin acts on the brain to reduce food intake by regulating the activity of neurons in the arcuate nucleus of the hypothalamus (ARH). Here, we report that neural projection pathways from the ARH are permanently disrupted in leptin-deficient (Lep^{ob}/Lep^{ob}) mice and leptin treatment in adulthood does not reverse these neuroanatomical defects. However, treatment of Lep^{ob}/Lep^{ob} neonates with exogenous leptin rescues the development of ARH projections, and leptin promotes neurite outgrowth from ARH neurons in vitro. These results suggest that leptin plays a neurotrophic role during the development of the hypothalamus and that this activity is restricted to a neonatal critical period that precedes leptin's acute regulation of food intake in adults.

Key Words



adipocyte-derived hormone leptin, arcuate nucleus of the hypothalamus, anorexigenic.

★ This article appeared in *Science*, April 2003. It is translated into Arabic at the Atomic Energy Commission of Syria.

TO CARRY OUT PRE- AND POST-PROCESSING FOR THE PROGRAMS COBRA-RERTR AND PARET

	ANALYSIS OF FILL FACTOR LOSSES IN ZnO/CdS/CuGaSe ₂ M. SAAD, A. KASSIS	81
	SOLAR CELLS	
	NOISE LEVELS IN DAMASCUS CITY	M. AL- OUDAT, Y. MASLMANI 82
	PREPARATION OF ION EXCHANGE RESINS OF PVA GRAFTEDZ. AJJI	83
	WITH CITRIC OR SUCCINIC ACID USING RADIATION	
	DETECTION AND MANAGEMENT CANCER USING RIA TECHNOLOGY	M.A. BAKIR, ET AL 83
	EVALUATION OF SYMBIOTIC PERFORMANCE OF SOME MUTANT	F. KURDALI, ET AL 84
	LINES OF SOYBEAN INOCULATED WITH TWO BRADYRHIZOBIUM JAPONICUM STRAINS USING ¹⁵ N TECHNIQUE	
	THE USE OF TISSUE CULTURE TECHNIQUES WITH IRRADIATION	B. AL-SAFADI, ET AL 85
	TO IMPROVE POTATO RESISTANCE TO LATE BLIGHT	
	CHEMICAL AND ENVIRONMENTAL ISOTOPIC CHARACTERISTICS	A. AL-CHARIDEH 85
	OF THE DEEP AQUIFERS SYSTEMS IN JABAL AL-HASS (ALEPPO REGION)	






SELECTED NEW BOOKS (Review and analysis)

	LIFE'S DAILY BEAT	BY: E. GWINNER 88
	THE GRIP OF GRAVITY: THE QUEST TO UNDERSTAND	BY: P. GONDHALEKAR 90
	THE LAWS OF MOTION AND GRAVITATION	OVERVIEW & ANALYSIS: J. GUNDLACH







ABSTRACTS OF THE ITEMS PUBLISHED IN THIS ISSUE IN ENGLISH 100

CONTENTS

ARTICLES





-  FOUR DAYS THAT SHOOK THE WORLD..... K. RAVILIOUS 7
-  TROPHIC ACTION OF LEPTIN ON HYPOTHALAMIC NEURONS THAT REGULATE FEEDING G. BOURET, ET AL 12
-  REDEFINING THE KILOGRAM I. ROBINSON 17
-  BRIDGING THE TERAHERTZ GAP G. DAVIES, E. LINFIELD 22
-  ULTRAHIGH STRENGTH AND HIGH ELECTRICAL CONDUCTIVITY IN COPPER LEI LU, ET AL 28

NEWS

-  THE WAITING GAME NATURE 35
-  TUNABLE NONLOCAL SPIN CONTROL IN A COUPLED-QUANTUM DOT SYSTEM SCIENCE 37
-  TURN UP THE TEMPERATURE NATURE 39
-  THE BODY ELECTRIC NEW SCIENTIST 41
-  THE ANATOMY OF DESPAIR NEW SCIENTIST 45
-  MERCURY ANL 49

PAPERS

(Published worldwide by the Syrian A. E. C. Staff)

-  EFFECT OF DIFFERENT WATER SALINITY LEVELS ON GROWTH, NODULATION, AND N₂-FIXATION BY DHAINCHA AND ON GROWTH OF SUNFLOWER USING A ¹⁵N TRACER TECHNIQUE F. KURDALI, F. AL-AIN 53
-  THE POSSIBILITY OF USING PLASTIC DETECTORS CR-39 AS UV DOSIMETERS R. SHWEIKANI, ET AL 61
-  ANALYSIS OF THE KARST AQUIFER STRUCTURE OF THE LAMALOU AREA (HÉRAULT, FRANCE) WITH GROUND PENETRATING RADAR W. AL-FARES, ET AL 66
-  THE EFFECT OF SAND/CEMENT RATIO ON RADON EXHALATION FROM CEMENT SPECIMENS CONTAINING ²²⁶Ra S. TAKRITI, ET AL 74

REPORTS

(Unpublished works of the Syrian A. E. C. Staff)

-  DESIGNING THE USER INTERFACE COBRET UNDER WINDOWS A. HAINOUN, ET AL 81

Notice: Scientific matters and different inquiries; subscriptions, address changes, advertisements and single copy orders, should be addressed to the journal's address:

Damascus, P.O.Box 6091 Phone 6111926/7, Fax 6112289, Cable; TAKA.

E-mail :aalam_al_zarra@aec.org.sy

Subscription rates, including first class postage charges :

a) Individuals	\$ 30 for one year
b) Establishments	\$ 60 for one year
c) for one issue	\$6

It is preferable to transfer the requested amount to:

The commercial Bank of Syria N-13 P.O. Box 16005 Damascus-Syria account N-3012/2

Cheques may also be sent directly to the journal's address.

The views expressed in any signed article in this journal do not necessarily represent those of the AEC of Syria, and the commission accepts no responsibility for them.

AALAM AL-ZARRA

JOURNAL OF THE ATOMIC ENERGY COMMISSION OF SYRIA



Managing Editor

Dr. Ibrahim Othman

Director General of A. E. C. S.

Editorial Board

Dr. Adel Harfoush

Dr. Ziad Qutob

94

19 th Year / NOVEMBER-DECEMBER /

2004

A journal published in Arabic six times a year, by the Atomic Energy Commission of Syria. It aims to disseminate knowledge of nuclear and atomic sciences and of the different applications of Atomic energy.